

مَوْسُوعَةُ الْإِلِكْتُرُونِيَّاتِ الصَّنَاعِيَّةِ الْعَمَلِيَّةِ - ١

# المدخلُ لعمَلِيَّاتِ للإِلِكْتُرُونِيَّاتِ الصَّنَاعِيَّةِ

إعداد

م. أَحْمَدُ عَيْبُ الْمُنْعَالِ

الكتاب : المدخل العملي للإلكترونيات الصناعية  
(موسوعة الإلكترونيات الصناعية العملية-١)

المؤلف : م. أحمد عبد المتعال

رقم الطبعة : الأولى

تاريخ الإصدار : ١٤٢٦هـ - ٢٠٠٥م

حقوق الطبع : محفوظة للنشر

الناشر : دار النشر للجامعات

رقم الإيداع : ٢٠٠٤/١٣٠٧٩

الترقيم الدولي : I.S.B.N: 977- 316-131- 5

العدد : ٢/٢٩

تحذير : لا يجوز نسخ أو استعمال أي جزء من هذا الكتاب بأي شكل  
من الأشكال أو بآية وسيلة من الوسائل (المعروفة منها حتى  
الآن أو ما يستجد مستقبلاً) سواء بالتصوير أو بالتسجيل  
على أشرطة أو أقراص أو حفظ المعلومات واسترجاعها دون  
إذن كتابي من الناشر .



دار النشر للجامعات - مصر

ص.ب (١٣٠) محمد فريد القاهرة ١١٥١٨

تليفون: ٤٥٠٢٨١٣ - تليفاكس: ٤٥٠٢٨١٢

E-mail: Darannshr@Link.net



المُدخلُ العامي  
للإلكترونيات الصناعية

بِسْمِ اللَّهِ الرَّحْمَنِ الرَّحِيمِ

بسم الله الرحمن الرحيم

﴿ رَبِّ أَوْزِعْنِي أَنْ أَشْكُرَ نِعْمَتَكَ الَّتِي أَنْعَمْتَ عَلَيَّ وَعَلَىٰ وَالِدَيَّ وَأَنْ أَعْمَلَ صَالِحًا تَرْضَاهُ وَأَصْلِحْ لِي فِي ذُرِّيَّتِي إِنِّي تُبْتُ إِلَيْكَ وَإِنِّي مِنَ الْمُسْلِمِينَ ﴾ (١٥)

[الأحقاف].

صدق الله العظيم

### شكر وتقدير

أتقدم بخالص الشكر للدكتور/ خالد السيد صالح - الأستاذ بكلية الهندسة جامعة عين شمس قسم القوى والآلات الكهربائية.

وكذلك أتقدم بخالص الشكر للمهندس/ حمدي السيد متولى.

كما أتقدم بالشكر الجزيل لكل من ساهم معنا في إعداد هذا الكتاب وجزاهم الله خير الجزاء.

المؤلف



## المحتويات

الموضوع	الصفحة
<b>الباب الأول</b>	
<b>أساسيات</b>	
١ / ١ - الوحدات العالمية SI	١٩
٢ / ١ - المضاعفات والأجزاء	٢٠
٣ / ١ - قانون أوم	٢١
٤ / ١ - القدرة المستهلكة	٢١
٥ / ١ - التيار المستمر والتيار المتردد	٢١
٦ / ١ - الموجات	٢٢
٧ / ١ - التردد والزمن الدوري	٢٣
٨ / ١ - خواص الموجات الجيبية	٢٤
٩ / ١ - دائرة المقاومة والمكثف	٢٥
١٠ / ١ - دائرة المقاومة والملف	٢٧
١١ / ١ - المفاضلات والمكاملات ذات المقاومة والمكثف	٢٨
١٢ / ١ - المرشحات الحاملة	٣٠
١٣ / ١ - قوانين كيرشوف	٣٠
١٤ / ١ - أجهزة القياس المتعددة الوظائف	٣١
١ / ١٤ - جهاز الآفوميتر ذات المؤشر	٣٢
٢ / ١٤ - جهاز الآفوميتر الرقمي	٣٥
١٥ / ١ - الأوسيلوسكوب	٣٧
١ / ١٥ - استخدام جهاز الأوسيلوسكوب العادي	٤٠

٤٣ ..... ١٦/١ - مولد الإشارات الأساسية (الدوال)

## الباب الثاني

### العناصر الإلكترونية الشائعة الاستخدام

٤٧	..... ١/٢ - المقاومات
٤٨	..... ١/١/٢ - المقاومات الخطية
٥٠	..... ٢/١/٢ - المقاومات غير الخطية
٥٢	..... ٣/١/٢ - طرق تشفير المعلومات الفنية للمقاومات الخطية
٥٥	..... ٤/١/٢ - توصيل المقاومات على التوالي والتوازي
٥٧	..... ٢/٢ - المكثفات
٦٠	..... ١/٢/٢ - طرق تشفير المعلومات الفنية للمكثفات
٦٣	..... ٢/٢/٢ - توصيل المكثفات على التوالي والتوازي
٦٤	..... ٣/٢/٢ - اختبار صلاحية المكثف
٦٦	..... ٣/٢ - الملفات
٦٧	..... ١/٣/٢ - توصيل الملفات على التوالي والتوازي
٦٨	..... ٢/٣/٢ - اختبار صلاحية الملف
٦٨	..... ٤/٢ - عناصر متنوعة
٦٨	..... ١/٤/٢ - المصهرات
٧٠	..... ٢/٤/٢ - المفاتيح البدوية
٧٣	..... ٣/٤/٢ - الضواغط
٧٣	..... ٤/٤/٢ - ريلهاات التحكم
٧٥	..... ٥/٤/٢ - المحولات
٧٦	..... ٥/٢ - الثنائيات (الموحدات)
٧٩	..... ١/٥/٢ - جداول اختبار الثنائيات

٨٢	..... دوائر التوحيد ٢/٥/٢
٨٧	..... ثنائى الزينر ٣/٥/٢
٩٠	..... اختبار صلاحية الثنائيات ٤/٥/٢
٩١	..... الترانزستور ثنائى القطبية BJT ٦/٢
٩٣	..... خواص الترانزستور الثنائى القطبية ١/٦/٢
٩٦	..... جداول اختيار الترانزستور ٢/٦/٢
٩٨	..... اختبار صلاحية الترانزستور ٣/٦/٢
٩٨	..... تطبيقات على استخدام الترانزستور فى التحكم ٤/٦/٢
١٠١	..... ترانزستور تأثير المجال الالتصاقى JFET ٧/٢
١٠٣	..... جداول اختيار ترانزستور JFET ١/٧/٢
١٠٤	..... اختبار صلاحية ترانزستور JFET ٢/٧/٢
١٠٥	..... ترانزستور تأثير المجال اكسيد المعدن شبه الموصل MOSFET ٨/٢
١٠٧	..... جداول اختيار ترانزستور MOSFET ١/٨/٢
١٠٨	..... اختبار صلاحية ترانزستور MOSFET ٢/٨/٢
١٠٩	..... تطبيق على استخدام ترانزستورات MOSFET فى التحكم ٣/٨/٢
١١١	..... الترانزستور الاحادى الوصلة UJT ٩/٢
١١٢	..... عمل الترانزستور الاحادى الوصلة UJT ١/٩/٢
١١٣	..... المذبذب المتراخى باستخدام UJT ٢/٩/٢
١١٥	..... اختبار صلاحية ترانزستورات UJT ٣/٩/٢
١١٦	..... الترانزستور الاحادى الوصلة القابل البرمجة PUT ١٠/٢
١١٧	..... المذبذب المتراخى باستخدام PUT ١/١٠/٢
١١٨	..... اختبار صلاحية PUT ٢/١٠/٢
١١٩	..... الموحد السليكونى المحكوم (الثيرستور) SCR ١١/٢

١٢١	١/١١/٢ - طرق إطفاء الثايرستور SCR
١٢٢	٢/١١/٢ - زاوية إشعال الثايرستورات
١٢٣	٣/١١/٢ - تطبيقات على استخدام الثايرستور فى التحكم
١٣٣	٤/١١/٢ - جداول اختيار الثايرستورات
١٣٤	٥/١١/٢ - اختبار صلاحية الثايرستور
١٣٥	١٢/٢ - العناصر العاملة بعد الانهيار الفوقى
١٣٥	١/١٢/٢ - الدياك Diac
١٣٦	٢/١٢/٢ - المفتاح السليكونى الثنائى الاتجاه SBS
	٣/١٢/٢ - المفتاح السليكونى الأحادى الاتجاه SUS والموحد الرباعى
١٣٨	الطبقات
١٣٩	١٣/٢ - الترياك Triac
١٤١	١/١٣/٢ - تطبيقات على استخدام الترياك فى التحكم
١٤٧	٢/١٣/٢ - جداول اختيار الترياك
١٤٧	٣/١٣/٢ - اختبار صلاحية الترياك
١٤٨	١٤/٢ - الإلكترونيات الضوئية
١٤٨	١/١٤/٢ - الثنائى الباعث للضوء LED
١٥٢	٢/١٤/٢ - الثنائى الضوئى LAD
١٥٣	٣/١٤/٢ - الترانزستور الضوئى
١٥٤	٤/١٤/٢ - الثايرستور الضوئى
١٥٤	٥/١٤/٢ - المقاومة الضوئية LDR
١٥٥	٦/١٤/٢ - الخلايا الشمسية
١٥٧	٧/١٤/٢ - عناصر الارتباط الضوئية العازلة
١٥٩	٨/١٤/٢ - اختبار العناصر الإلكترونية الضوئية



١٦٠ ..... ٩/١٤/٢ - تطبيقات على استخدام الإلكترونيات الضوئية

### الباب الثالث

#### الإلكترونيات الرقمية

١٦٥	..... ١/٣ - مقدمة
١٦٧	..... ٢/٣ - الدوائر المتكاملة الرقمية
١٦٧	..... ١/٢/٣ - الدوائر المتكاملة الرقمية (عائلة TTL)
١٧٠	..... ٢/٢/٣ - المخارج المختلفة للبوابات المنطقية (عائلة TTL)
١٧٤	..... ٣/٢/٣ - الدوائر المتكاملة الرقمية (عائلة CMOS)
١٧٨	..... ٣/٣ - البوابات المنطقية
١٧٨	..... ١/٣/٣ - بوابة AND
١٨٠	..... ٢/٣/٣ - بوابة OR
١٨٠	..... ٣/٣/٣ - العاكس Inverter والعازل Buffer
١٨١	..... ٤/٣/٣ - بوابة NAND
١٨٢	..... ٥/٣/٣ - بوابة NOR
١٨٣	..... ٦/٣/٣ - بوابة XOR
١٨٤	..... ٧/٣/٣ - بوابة XNOR
١٨٥	..... ٨/٣/٣ - بوابات شملت للإشغال
١٨٨	..... ٩/٣/٣ - البوابات العامة
١٨٩	..... ١٠/٣/٣ - الدوائر المتكاملة للبوابات
١٩٠	..... ١١/٣/٣ - تطبيق (جهاز استشعار مستوى السوائل)
١٩١	..... ٤/٣ - الفلابات Flip Flops
١٩١	..... ١/٤/٣ - القلاب R - S
١٩٣	..... ٢/٤/٣ - القلاب D

١٩٦	٣ / ٤ / ٣ - القلاب JK
١٩٨	٣ / ٤ / ٤ - إزالة ارتداد المفاتيح Switch Debouncing
٢٠١	٣ / ٤ / ٥ - تطبيق (لوحة إعلانات بإضاءة نابضة)
٢٠٣	٣ / ٥ - دوائر الإمساك Latches
٢٠٥	٣ / ٥ / ١ - تطبيق (دائرة إنذار لأربعة خزانات سوائل)
٢٠٧	٣ / ٦ - أنظمة الأعداد والأكواد
٢٠٨	٣ / ٦ / ١ - نظام الأعداد العشرية
٢٠٨	٣ / ٦ / ٢ - نظام الأعداد الثنائية
٢٠٨	٣ / ٦ / ٣ - نظام الأعداد الثمانية
٢٠٩	٣ / ٦ / ٤ - نظام الأعداد السداسية عشر
٢٠٩	٣ / ٦ / ٥ - الأعداد العشرية المكودة ثنائياً BCD
٢٠٩	٣ / ٧ - العدادات Counters
٢١٠	٣ / ٧ / ١ - العدادات غير المتزامنة
٢١٣	٣ / ٧ / ٢ - العدادات المتزامنة
٢١٣	٣ / ٧ / ٣ - الدوائر المتكاملة للعدادات
٢٢١	٣ / ٨ - مسجلات الإزاحة Shift Registers
٢٢١	٣ / ٨ / ١ - مسجلات الإزاحة ذات الدخل والخرج المتوالى SISO
٢٢٢	٣ / ٨ / ٢ - مسجلات الإزاحة ذات الدخل المتوالى والخرج المتوازي SIPO
٢٢٣	٣ / ٨ / ٣ - مسجلات الإزاحة ذات الدخل المتوازي والخرج المتوالى PISO
٢٢٤	٣ / ٨ / ٤ - مسجلات الإزاحة ذات الدخل والخرج المتوازي PIPO

٢٢٥	..... الدوائر المتكاملة للمسجلات	٥ / ٨ / ٣
٢٢٨	..... Encoders	٩ / ٣
٢٣٠	..... الدوائر المتكاملة للمشفرات	١ / ٩ / ٣
٢٣٢	..... Decoders	١٠ / ٣
٢٣٣	..... الدوائر المتكاملة لمفشرات الشفرة	١ / ١٠ / ٣
٢٣٩	..... تطبيق عملي (لوحة إعلان بإضاءة متحركة)	٢ / ١٠ / ٣
٢٤٠	..... تطبيق عملي (عداد النبضات اللامستقر من 0 - 9)	٣ / ١٠ / ٣
٢٤٢	..... تطبيق عملي (عداد النبضات المستقر من 0 - 9)	٤ / ١٠ / ٣
٢٤٣	..... Code Convrters	١١ / ٣
٢٤٣	..... Multiplexer (MUX)	١٢ / ٣
٢٤٥	..... Memories	١٣ / ٣
٢٤٨	..... الدوائر المتكاملة للذاكرات	١ / ١٣ / ٣
٢٥٣	..... تطبيق عملي (لوحة الإعلانات المبرمجة)	٢ / ١٣ / ٣
٢٥٦	..... CMOS	١٤ / ٣

#### الباب الرابع

##### مكبرات العمليات

٢٦١	..... مقدمة	١ / ٤
٢٦٤	..... المصطلحات الفنية لمكبرات العمليات	٢ / ٤
٢٦٥	..... الدوائر الأساسية لمكبرات العمليات	٣ / ٤
٢٦٦	..... المكبر العاكس	١ / ٣ / ٤
٢٦٧	..... المكبر غير العاكس	٢ / ٣ / ٤
٢٦٨	..... مكبر الوحدة	٣ / ٣ / ٤
٢٦٨	..... المكبر الجامع العاكس	٤ / ٣ / ٤

٢٦٩	..... ٥/٣/٤ - المكبر الفرقى
٢٦٩	..... ٦/٣/٤ - مقارنة الجهد
٢٧٢	..... ٧/٣/٤ - المكبر المكامل
٢٧٤	..... ٨/٣/٤ - المكبر المفاضل
٢٧٥	..... ٩/٣/٤ - محول الجهد لتيار
٢٧٦	..... ٤/٤ - تطبيق عملي (التحكم في سرعة محرك مؤازر تيار مستمر)

#### الباب الخامس

##### المذبذبات والمؤقتات الزمنية

٢٨١	..... ١/٥ - مقدمة
٢٨١	..... ٢/٥ - المذبذبات العديمة الاستقرار
٢٨٢	..... ١/٢/٥ - المذبذبات العديمة الاستقرار والتي تحتوى على عواكس
٢٨٤	..... ٢/٢/٥ - المذبذبات البلورية العديمة الاستقرار
٢٨٥	..... ٣/٢/٥ - مذبذبات مكبرات العمليات العديمة الاستقرار
	..... ٤/٢/٥ - المذبذب العديم الاستقرار والذي يحتوى على بوابة
٢٨٧	..... Schmitt NAND
٢٨٨	..... ٣/٥ - المذبذبات الأحادية الاستقرار
	..... ١/٣/٥ - المذبذبات الأحادية الاستقرار التي تحتوى على بوابات
٢٨٨	..... منطقية
٢٩٠	..... ٢/٣/٥ - الدوائر المتكاملة TTL للمذبذبات الأحادية الاستقرار
٢٩٢	..... ٤/٥ - الدوائر المتكاملة CMOS للمذبذبات
٢٩٤	..... ٥/٥ - دائرة المؤقت المتكاملة 555
٢٩٥	..... ١/٥/٥ - عائلة المؤقتات 555
٢٩٧	..... ٢/٥/٥ - المذبذب العديم الاستقرار باستخدام المؤقت 555

٣٠٠	..... ٣/٥/٥ - المؤقت 555 كمذبذب أحادي الاستقرار
٣٠١	..... ٦/٥ - المؤقت الزمني الدقيق ZN1034E
٣٠٤	..... ٧/٥ - المؤقت الزمني المبرمج XR-2240

#### الباب السادس

##### مصادر القدرة المستمرة

٣٠٩	..... ١/٦ - مقدمة
٣١٠	..... ٢/٦ - دوائر مصادر القدرة الأساسية غير المنتظمة
٣١٢	..... ٣/٦ - مصادر القدرة ذات المنظمات المتوازية
٣١٢	..... ٤/٦ - مصادر القدرة ذات المنظمات المتوالية
٣١٤	..... ٥/٦ - منظمات الجهد المتكاملة ذات الأطراف الثلاثة
٣١٤	..... ١/٥/٦ - المنظمات ذات الخرج الثابت
٣١٨	..... ٢/٥/٦ - المنظمات ذات الخرج القابل للمعايرة
٣٢٠	..... ٦/٦ - المنظمات المتكاملة ذات الجهد والتيار القابل للمعايرة

#### الباب السابع

##### التضمين بالنبضات

٣٢٥	..... ١/٧ - مقدمة
٣٢٥	..... ٢/٧ - التضمين بنبضات متغيرة في السعة (PAM)
٣٢٦	..... ٣/٧ - التضمين بنبضات متغيرة العرض (PWM)
٣٢٧	..... ٤/٧ - التضمين بنبضات متغيرة التردد (PFM)

#### الباب الثامن

##### تنفيذ الدوائر الإلكترونية

٣٣١	..... ١/٨ - لوحة التجارب Bread Board
٣٣٢	..... ٢/٨ - لوحات الدوائر المطبوعة

٣٣٣	٣/٨ - خطوات تنفيذ دائرة إلكترونية على لوحة بوجه واحد من النحاس ..
٣٣٣	١/٣/٨ - التخطيط على الورق من جهة تثبيت العناصر ..
٣٣٤	٢/٣/٨ - نقل مخطط التوصيل جهة لوحة النحاس للوحة ..
٣٣٨	٣/٣/٨ - التحميض والتثقيب ..
٣٣٩	٤/٣/٨ - تثبيت العناصر الإلكترونية ..
٣٤١	٥/٣/٨ - لحام المكونات الإلكترونية ..
٣٤٤	٦/٣/٨ - طريقة استبدال العناصر الإلكترونية النالفة ..
٣٤٧	٤/٨ - خطوات تنفيذ دائرة إلكترونية بوجه واحد من النحاس الفوتوغرافى ..
٣٤٨	٥/٨ - تطبيق عملى على تنفيذ اللوحات المطبوعة بوجه نحاس عادى ..
٣٥٠	٦/٨ - تطبيق عملى على تنفيذ اللوحات المطبوعة بوجهى نحاس ..
٣٥٣	٧/٨ - العدد وأجهزة القياس ..
٣٥٩	ملحق (١) : الرموز الإلكترونية المستخدمة تبعاً للنظام الأمريكى ANSI ..
٣٦٢	ملحق (٢) : قاموس المصطلحات الإلكترونية (إنجليزى - عربى) ..
٣٧٤	المراجع ..

## الباب الأول أساسيات





## أساسيات

### ١ / ١ - الوحدات العالمية SI:

إن نظام الوحدات العالمية SI يبنى على الوحدات الأساسية الموضحة بالجدول (١-١).

الجدول (١-١)

الكمية	الوحدة	الاختصار
التيار	Ampere	A
الطول	Metre	M
شدة الضوء	Candela	Cd
الكتلة	Kilogramme	Kg
درجة الحرارة	Degree Kelvin	*K
الزمن	Second	S

أما باقي الوحدات فإنها تشتق من الوحدات العالمية الأساسية. وبعض الوحدات المشتقة تبقى كما هي والآخر يتغير اسمه. والجدول (٢-١) يبين الوحدات المشتقة والمستخدمه في الهندسة الكهربائية والإلكترونية.

الجدول (٢-١)

الكمية	الوحدة	الاختصار	الوحدة المكافئة
السعة	Farad	F	$ASV^{-1}$
الشحن	Coulomb	C	A.S
الطاقة	Joule	J	Nm
القوة	Newton	N	$KgmS^{-1}$
التردد	Hertz	HZ	$S^{-1}$
الحث	Henry	H	$VSA^{-1}$
الجهد	Volt	V	$WA^{-1}$
القدرة	Watt	W	$JS^{-1}$
المقاومة	Ohm	$\Omega$	$VA^{-1}$

## ٢ / ١ - المضاعفات والأجزاء :

فى كثير من التطبيقات تكون الوحدة الأساسية أو المشتقة إما كبيرة جدا أو صغيرة جدا، مما يستدعى استخدام مضاعفات لهذه الوحدات أو أجزاء من هذه الوحدات، وذلك للتقليل من عدد الأصفار المستخدمة والجدول ( ٣-١ ) يبين أهم المضاعفات والأجزاء المستخدمة .

الجدول ( ٣-١ )

المضاعف أو الجزء	الوحدة	الدلول
تيرا	T	$10^{12}=1000000000000$
جيجا	G	$10^9=1000000000$
ميغا	M	$10^6=1000000$
كيلو	K	$10^3=1000$
سنتى	C	$10^{-2}=0.01$
ملى	m	$10^{-3}=0.001$
ميكرو	$\mu$	$10^{-6}=0.000001$
نانو	n	$10^{-9}=0.000000001$
بيكو	P	$10^{-12}=0.000000000001$

مثال : الجدول ( ٤-١ ) يعرض قيماً لبعض الكميات الكهربائية واختصاراتها .

الجدول ( ٤-١ )

الكمية	القيمة المختصرة	القيم قبل الاختصار
تردد موجه	3.5KHZ	3500HZ
المقاومة	1.5M $\Omega$	1500000 $\Omega$
سعة مكثف	100nF	0.000000100F
شدة تيار	35 $\mu$ A	0.000035A
حث ملف	30mH	0.030H

### ١ / ٣ - قانون أوم Ohm's Law :

قانون « أوم » يعطى العلاقة بين فرق الجهد  $V$  وبين طرفى مقاومة  $R$  يمر فيها تيار شدته  $I$ ، وهو كالتالى:

$$V = IR \quad (V) \rightarrow 1.1$$

حيث إن:

$V$	فرق الجهد بالفولت (V)
$R$	المقاومة بالأوم ( $\Omega$ )
$I$	التيار بالأمبير (A)

فإذا كان فرق الجهد بين طرفى مقاومة مقدارها  $1.2K\Omega$  هو  $12V$  فإن شدة التيار هى:

$$I = V/R$$

$$= 12/1.2 \times 1000 = 0.01A$$

### ١ / ٤ - القدرة المستهلكة Consumed Power :

عند مرور تيار كهربى  $I$  فى مقاومة  $R$  تتولد كمية من الحرارة، وهذه الحرارة تمثل القدرة المستهلكة فى هذه المقاومة، وتعرف من العلاقة التالية:

$$P = I^2 R \quad (W) \rightarrow 1.2$$

فمثلا: إذا مر تيار شدته  $5A$  فى مقاومة مقدارها  $1\Omega$  فإن القدرة المستهلكة فى هذه المقاومة تساوى:

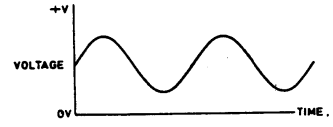
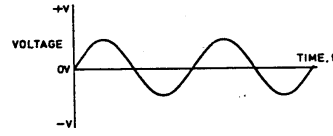
$$P = (5)^2 \times 1 = 25W$$

### ١ / ٥ - التيار المستمر والتيار المتردد Direct and Alternating Current :

التيار المستمر: هو التيار الذى يمر فى اتجاه واحد، وذلك من النقطة الأعلى جهدا إلى النقطة الأقل جهدا، علما بأن اتجاه مرور الإلكترونات هو عكس اتجاه مرور التيار، وأهم مصادر التيار المستمر البطاريات؛ وذلك لأن قطبيتها ثابتة بصفة مستديمة. أما التيار المتردد: فهو التيار الذى يمر فى اتجاهين، فيمر فى الاتجاه الأول لفترة

زمنية معينة، ثم بعد ذلك يمر في الاتجاه العكسي لفترة زمنية أخرى، ويتكرر ذلك طول فترة مرور التيار المتردد. وقد يتساوى زمن مرور التيار في الاتجاهين الأمامي والعكسي، وقد يختلف. وهذا يعتمد على شكل موجة التيار، علما بأن قطبية مصدر التيار المتردد تتغير تناوبيا بصفة مستديمة.

والشكل (١-١) يبين موجة جهد كهربي متردد (أ)، لأن قيمته تتغير من موجب إلى سالب من لحظة لأخرى، وموجة جهد مستمر (ب)، لأن قيمته موجبة باستمرار.

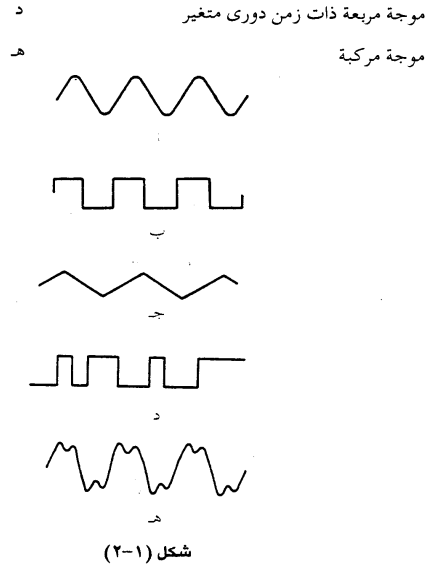


شكل (١-١)

#### ٦ / ١ - الموجات : Wave forms

يطلق لفظ «موجة» على منحنى الجهد أو التيار ذات القيم المتغيرة بمرور الزمن. وهناك أنواع كثيرة من الموجات التي سنتعامل معها في الدوائر الإلكترونية، أشهرها مبينة بالشكل (٢-١) وهي كما يلي:

أ	موجة جيبيية
ب	موجة مربعة ذات زمن دورى ثابت
جـ	موجة مثلثة



#### ١ / ٧ - التردد والزمن الدورى Frequency and Periodic Time :

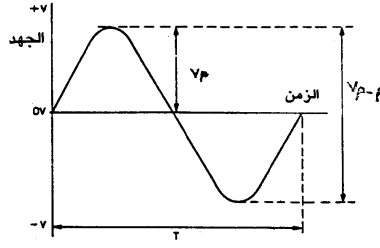
**التردد:** هو عدد الدورات التى تتكرر خلال فترة زمنية محددة. ويقاس التردد بوحدة الهيرتز (HZ) وتعرف وحدة الهيرتز بأنها دورة واحدة فى الثانية، فى حين يعرف التردد بأنه عدد الدورات الكاملة فى الثانية الواحدة. فإذا قيل إن تردد موجة هو 50HZ يعنى أن عدد الدورات فى الثانية هو 50.

والشكل ( ٣-١ ) يبين شكل دورة واحدة من موجة جيبيه.

ويلاحظ أنه خلال هذه الدورة فإن قيمة الجهد قد ارتفعت من 0 إلى +V ثم انخفضت إلى 0 ثم استمرت فى الانخفاض إلى أن أصبحت -V ثم ازدادت حتى أصبحت 0V. وبعد ذلك تتكرر الدورة من جديد وهكذا.

أما الزمن الدوري: فيعرف بأنه زمن الدورة الواحدة، ويساوى مقلوب التردد:

$$T=1/f \quad (s) \rightarrow 1.3$$



شكل (٣-١)

#### ٨ / ١ - خواص الموجات الجيبية:

إن الجهد المتولد من محطات الكهرباء عادة جهد جيبى، أى يخضع لخواص الموجات الجيبية، لذلك يجب علينا معرفة أهم خواص الموجات الجيبية لكثرة التعامل معها والموضحة بالشكل (٣-١).

وتوجد عدة مصطلحات فنية كثيراً ما تستخدم مع الموجات الجيبية، سواء للجهد أو التيار وهى كما يلى:

Average value	القيمة المتوسطة (Va)
Peak value	القيمة العظمى (Vp)
Peak - peak value	قيمة القمة للقمة (Vp-p)
R.M.S value	القيمة الفعالة (Vr.m.s)

وفيما يلى العلاقة بين هذه القيم بأخذ القيمة الفعالة كأساس:

$$V_a = 0.9 \text{ Vr.m.s}$$

$$V_p = 1.414 \text{ Vr.m.s}$$

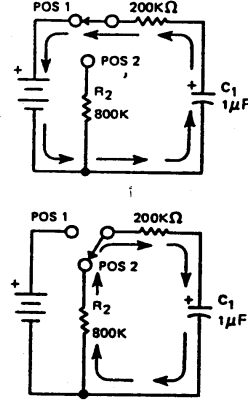
$$V_{p-p} = 2.828 V_{r.m.s}$$

وعادة فإننا نتعامل مع القيمة الفعالة في دوائر التيار المتردد، وذلك لأن أجهزة القياس تقرأ القيمة الفعالة في دوائر التيار المتردد. بينما نتعامل مع القيمة المتوسطة في دوائر التيار المستمر، وذلك لأن أجهزة القياس تقرأ القيمة المتوسطة في دوائر التيار المستمر.

#### ١ / ٩ - دائرة المقاومة والمكثف :

الشكل (١ - ٤) يعرض دائرة تحتوي على مقاومتين  $R_1$  و  $R_2$  ومفتاح قطب واحد بسكتين  $S_1$  ومكثف  $C_1$  وبطارية  $A$  في حالتين: الحالة الأولى (أ) عندما يكون  $S_1$  على  $POS_1$  وفيها تقوم البطارية  $A$  بشحن المكثف  $C_1$ ، والحالة (ب) عندما يكون  $S_1$  على  $POS_2$ ، وفيها يقوم المكثف بتفريغ شحنته في المقاومة  $R_1$ .

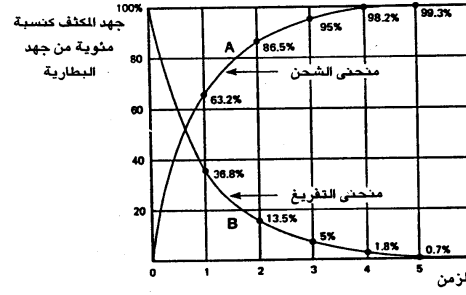
ويعرف شكل منحنى الجهد مع الزمن على أطراف المكثف في الحالة (أ) بمنحنى الشحن  $Charging\ curve$  في حين يعرف شكل منحنى الجهد مع الزمن على أطراف المكثف في الحالة (ب) بمنحنى التفريغ  $discharging\ curve$ .



ب

شكل (١-٤)

والشكل ( ١ - ٥ ) يبين شكل منحنى الجهد على أطراف المكثف في الحالتين أ، ب.



شكل (١-٥)

ويقدر الزمن اللازم لصعود الجهد على أطراف المكثف C من 0V إلى جهد البطارية V بخمس مرات ثابت الزمن، ويعرف ثابت الزمن من المعادلة التالية:

$$t_r = R_1 C_1 (S) \rightarrow 1.4$$

$$= 200 \times 1000 \times 0.000001$$

$$= 0.2S$$

أى أن فرق الجهد على أطراف المكثف سيكون مساويا لجهد البطارية بعد مرور (5X0.2=1S) من لحظة وضع المفتاح S1 على POS1. بينما يقدر الزمن اللازم لهبوط الجهد على أطراف المكثف من جهد البطارية V إلى الصفر في الحالة (ب) بخمس مرات من ثابت الزمن للدائرة (ب)، ويعرف ثابت الزمن من المعادلة التالية:

$$t_d = R_1 C_1 (S) \rightarrow 1.5$$

$$t_d = 800 \times 1000 \times 0.000001 = 0.8S$$



أى أن فرق الجهد على أطراف المكثف سيهبط للصفر خلال فترة زمنية مقدارها  $(5 \times 0.8 = 4S)$  من لحظة وضع المفتاح S1 على POS2. وتستخدم دوائر المكثفات والمقاومات عادة في دوائر التوقيت الزمنية ودوائر تشكيل النبضات.

#### ١ / ١٠ - دائرة المقاومة والملف :

الشكل (٦-١) يعرض دائرة تحتوى على مقاومة R وملف L وبطارية ومفتاح S1.

فعند وضع المفتاح S1 على الوضع 2 فإن فرق الجهد على أطراف الملف L سيكون مساوياً لجهد البطارية في البداية، ويتناقص وصولاً للصفر في فترة زمنية تساوى خمس مرات ثابت الزمن، والذي يعرف من المعادلة التالية:

$$t = L/R (S) \rightarrow 1.6$$

$$= \frac{0.02}{10} = 0.002S = 2mS$$

أى أن فرق الجهد على أطراف الملف سيكون مساوياً للصفر بعد 10mS من لحظة غلق المفتاح S1 فى حين يزداد التيار المار فى الدائرة من الصفر إلى أقصى قيمة له وتساوى:

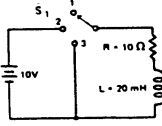
$$I_{max} = \frac{E}{R} = \frac{10}{10} = 1A$$

حيث إن:

$I_{max}$	أقصى قيمة للتيار
$E$	جهد البطارية

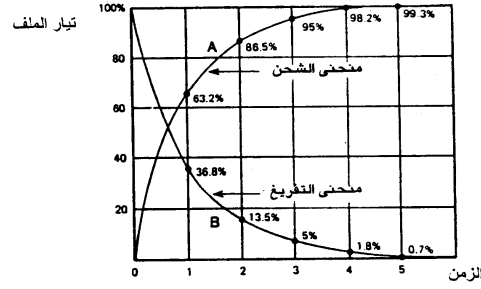
وذلك بعد فترة زمنية تساوى خمس مرات من ثابت الزمن، أى بعد 10mS أيضاً.

وعند وضع المفتاح S1 على الوضع 3 فإن الجهد على أطراف الملف سوف يزداد من الصفر إلى جهد البطارية، أى 10V فى خلال فترة زمنية تساوى خمس مرات الزمن، أى 10mS بينما يتناقص التيار المار فى الدائرة من 1A إلى الصفر فى فترة زمنية تساوى خمس مرات ثابت الزمن، أى 10mS.



شكل (١-٦)

والشكل (١-٧) يبين منحنى التيار المار في الدائرة لحظة وضع المفتاح على الوضع 2 ويسمى بمنحنى الشحن Charging curve ، وكذلك منحنى التيار المار في الدائرة لحظة وضع المفتاح S1 على الوضع 3 ويسمى بمنحنى التفريغ Discharging curve .

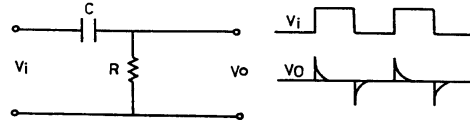


شكل (١-٧)

#### ١١/١ - المفاضلات والمكاملات ذات المقاومة والمكثف :

يمكن بناء دائرة مفاضل بسيط من مقاومة ومكثف كما بالشكل (١-٨) فعند دخول موجة مربعة عند دخله فإن خرجة يصبح نبضات موجبة في مقابلة الحافة

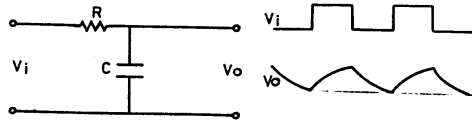
الصاعدة لنبضة الدخل (انتقال جهد الدخل من قيمة منخفضة لقيمة عالية) ونبضة سالبة في مقابلة الحافة الهابطة لنبضة الدخل (انتقال جهد الدخل من قيمة عالية لقيمة منخفضة).



شكل (١ - ٨)

والجدير بالذكر أن خرج المفاضل هو عبارة عن مفاضلة موجة الدخل، وحتى نحصل على مفاضلة جيدة يجب أن يكون ثابت الزمن لهذه الدائرة (RC) أصغر بكثير من زمن نبضة الدخل.

وكذلك يمكن بناء مكامل بسيط من مقاومة ومكثف كما بالشكل (١ - ٩) فعند دخول موجة مربعة عند دخلها يكون خرجها موجة مثلثة. والجدير بالذكر أن خرج المكامل RC هو عبارة عن تكامل لموجة الدخل.



شكل (١ - ٩)

## ١٢/١ - المرشحات الحاملة : Passive Filters

تكون الجهود في الدوائر الإلكترونية - عادة - مؤلفة من مجموعة من الموجات لكل منها تردد معين، وقد يستلزم الأمر ترشيح هذه الموجات للحصول على تردد معين أو نطاق معين من الترددات، ويمكن تحقيق ذلك باستخدام المرشحات الحاملة.

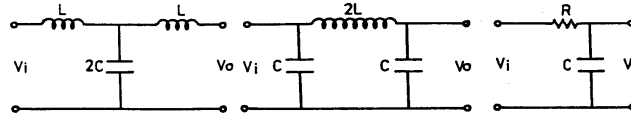
فالشكل (١ - ١٠) يبين مرشحا لتمرير الترددات المنخفضة، حيث يسمح هذا المرشح بإمرار الترددات المنخفضة فقط، ويكون تردد القطع  $F_c$ ، وهو التردد الذي يهبط عنده جهد الخرج إلى 0.707 من جهد الدخل، ويعمل المرشح على منع إمرار الترددات الأكبر من تردد القطع  $F_c$ . ففي الشكل (أ) يساوى:

$$F_c = \frac{1}{2\pi RC} \quad (\text{HZ}) \rightarrow 1.7$$

وفى الشكل (ب)، (ج) يساوى:

$$F_c = \frac{1}{2\pi \sqrt{LC}} \quad (\text{HZ}) \rightarrow 1.8$$

حيث إن C بالفاراد، R بالأوم، L بالهنرى.



شكل (١ - ١٠)

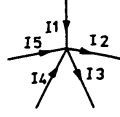
## ١٣/١ - قوانين كيرشوف : Kirchhoff's Laws

أولاً: قانون كيرشوف للتيار:

وينص على أن مجموع التيارات الداخلة عند نقطة تفرع يساوى مجموع التيارات الخارجة.

وبتطبيق قانون كيرشوف على نقطة التفرع المبينة بالشكل (١ - ١١) فإن:

$$I_2 + I_3 = I_1 + I_4 + I_5$$

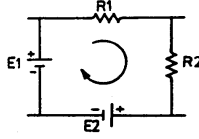


شكل (١١-١)

ثانيا: قانون كيرشوف للجهد:

فى أى مسار مغلق لدائرة كهربية فإن مجموع الجهود المفقودة تساوى مجموع الجهود المأطاة.

ففى الشكل (١٢ - ١) دائرة بسيطة تحتوى على مصدرين، جهد مستمر  $E_2$  و  $E_1$  ومقاومتين  $R_1$  و  $R_2$ . ولتعيين العلاقة بين الجهود والمقاومات والتيار نفرض اتجاهها للتيار فى اتجاه عقارب الساعة مثلا، فيكون  $E_1 - E_2 = I (R_1 + R_2)$  حيث إن الجهد  $E_2$  بالسالب، لأن اتجاه التيار المفروض هو عكس اتجاه التيار الخارج من البطارية  $E_2$ .



شكل (١٢-١)

١ / ١٤ - أجهزة القياس المتعددة الوظائف :

يوجد عدة أنواع من الأجهزة المستخدمة لقياس الكميات الكهربائية، فمثلا جهاز الفولتميتر يستخدم لقياس فرق الجهد بين نقطتين، ويوصل بالتوازي كما بالشكل (١١٣ - ١).

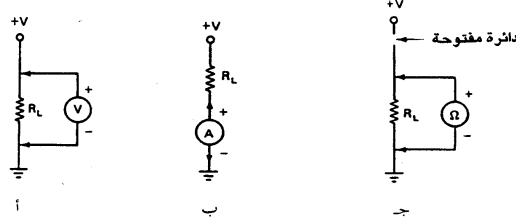
أما جهاز الأميتر فيستخدم لقياس شدة التيار المار في الدائرة ويوصل بالتوالي كما بالشكل (١ - ١٣ ب).

وجهاز الأوميتر يستخدم لقياس المقاومة ويوصل مع المقاومة المراد قياس قيمتها على التوازي، وذلك بعد رفع المقاومة من الدائرة الكهربية كما بالشكل (١ - ١٣ ج). وتجمع هذه الأجهزة الثلاثة في جهاز واحد متعدد الوظائف يعرف بالآفوميتر AVO meter ، ويوجد نوعان لهذا الجهاز في الأسواق وهما:

١ - جهاز آفوميتر بمؤشر Analog AVO meter.

٢ - جهاز آفوميتر رقمي Digital AVO meter.

وسوف نتناول هذين النوعين في الفقرات القادمة.



شكل (١ - ١٣)

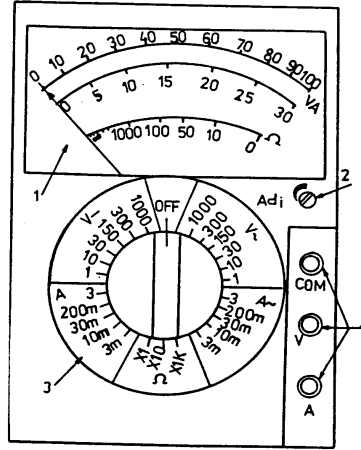
١ / ١٤ / ١ - جهاز الآفوميتر ذات المؤشر Analog AVO meter :

الشكل (١ - ١٤) يعرض نموذجاً لأحد أجهزة الآفوميترات ذات المؤشر المتوفرة في الأسواق.

محتويات الجهاز:

١: التدرج: ويحتوى على ثلاثة تدرجات : التدرج (0-100) والتدرج (0-30)، وهذان التدرجان مخصصان لقياس الجهد والتيار، وتدرج ثالث لقياس المقاومة (0-∞).

- 2: مفتاح ضبط المؤشر على الصفر Adj، ويستخدم هذا المفتاح لمعايرة الجهاز عند استخدامه كأوميمتر، وذلك لتعويض انخفاض جهد بطارية الجهاز.
- 3: مفتاح الاختيار، ويستخدم هذا المفتاح لاختيار وظيفة الجهاز ( قياس جهد متردد  $V_{\sim}$ ، قياس جهد مستمر  $V-$ ، قياس مقاومة  $\Omega$ ، قياس تيار مستمر  $A-$ ، قياس تيار متردد  $A_{\sim}$  ) وأيضا اختيار أقصى قراءة للجهاز.



شكل (١ - ١٤)

- 4: أطراف التوصيل، وهي ثلاثة أطراف ( طرف مشترك COM، وطرف للجهد والمقاومة  $V-\Omega$ ، وطرف للتيار  $A$  ).

#### طريقة استخدام الجهاز:

١ - عند استخدام الجهاز لقياس جهد متغير توصل كابلات الجهاز مع الطرفين COM، V-Ω، ثم يوضع مفتاح الاختيار على وظيفة V~ على الوضع 1000V، ثم يوصل طرف الجهاز مع النقطتين المطلوب تعيين فرق الجهد بينهما، مع ضرب قراءة الجهاز في النسبة (أقصى قراءة / أقصى تدرج).  
فمثلا: إذا كانت قراءة الجهاز 22 على التدرج (0-100)، فإن قيمة فرق الجهد تساوى:

$$V = \frac{\text{أقصى قراءة}}{\text{أقصى تدرج}} \times \text{قراءة الجهاز} \rightarrow 1.9$$

$$= \frac{100}{100} \times 22 = 220 \text{ V}$$

٢ - عند استخدام الجهاز لقياس الجهد المستمر نتبع نفس الخطوات المتبعة في قياس الجهد المتغير عدا أنه يوضع مفتاح الاختيار على وظيفة V-.

٣ - عند استخدام الجهاز لقياس المقاومة توضع كابلات الجهاز على الطرفين V-Ω و COM ثم يوضع مفتاح الاختيار على وظيفة Ω، على الوضع X1، ثم نلمس كابلى الجهاز معا فيتحرك المؤشر من ∞ إلى 0، ويتم ضبط المؤشر على الصفر تماما بواسطة مفتاح Adj، ثم بعد ذلك يوصل أطراف الجهاز مع طرفى المقاومة، ويستخدم التدرج (0-∞)، وقراءة الجهاز تمثل المقاومة، فإذا كان المؤشر يقترب من ∞ نغير وضع مفتاح الاختيار إلى وضع 10 x ونضرب قراءة الجهاز في العدد 10 وهكذا.

مثال: إذا كانت قراءة الجهاز 3 وكان مفتاح الاختيار على الوضع (XK) فإن:

$$R = 3 \times K = 3K\Omega$$

٤ - عند استخدام الجهاز لقياس التيار المستمر توضع كابلات الجهاز على الطرفين A و COM، ثم يوضع مفتاح الاختيار على وظيفة A-. فإذا كانت قراءة الجهاز 15 على التدرج (0-30)، وكان مفتاح الاختيار على الوضع 3A، فإن شدة التيار تساوى:



$$I = \frac{\text{أقصى قراءة}}{\text{أقصى تدرّيج}} \times \text{القراءة}$$

$$= \frac{3}{30} \times 15 = 1.5 \text{ A}$$

أما إذا كان مفتاح الاختيار على وضع 200mA، وكانت القراءة 35 على التدرّيج (0-100)، فإن شدة التيار تساوى:

$$I = \frac{200\text{mA}}{100} \times 35 = 70\text{mA}$$

٥ - عند استخدام الجهاز لقياس التيار المتردد نتبع نفس الخطوات المشروحة في النقطة ٤، عدا أن مفتاح الاختيار يوضع على الوظيفة A-.

#### ١ / ١٤ / ٢ - جهاز الآفوميتر الرقمى Digital AVO meter :

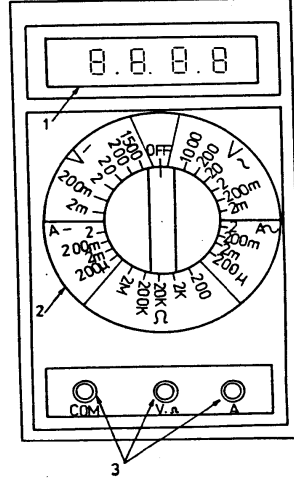
الشكل (١ - ١٥) يعرض مسقطاً أفقياً لنموذج لأحد أجهزة الآفوميتر الرقمية المتوفرة فى الأسواق.

#### محتويات الجهاز:

- 1 : شاشة رقمية.
- 2 : مفتاح اختيار الوظيفة وأقصى قراءة للجهاز.
- 3 : أطراف التوصيل، وهى ثلاثة أطراف ( طرف مشترك COM، وطرف للجهد والمقاومة V-Ω، وطرف للتيار A ).

#### طريقة استخدام الجهاز:

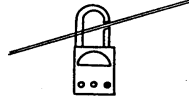
- ١ - عند استخدام الجهاز لقياس جهد متردد توصل كابلات الجهاز مع الطرفين COM و V-Ω ثم يوضع مفتاح الاختيار على وظيفة V~ على الوضع 1000V. فإذا كانت قراءة الجهاز صغيرة نغير وضع مفتاح الاختيار إلى 200V. للحصول على قراءة أدق وهكذا.
- ٢ - عند استخدام الجهاز لقياس جهد مستمر نتبع نفس الخطوات المتبعة فى قياس الجهد المتردد، عدا أن مفتاح الاختيار يوضع على وضع V-.



شكل (١٥-١)

- ٣ - عند استخدام الجهاز لقياس مقاومة توصل الكابلات مع الطرفين COM و V-Ω ، ويوضع مفتاح الاختيار على وضع  $200\Omega$  . فإذا كانت قراءة الجهاز (OL) (يعنى أن المقاومة أكبر من  $200\Omega$ ) غير وضع مفتاح الاختيار إلى 2K وهكذا .
- ٤ - عند استخدام الجهاز لقياس تيار متردد توصل الكابلات مع الطرفين A و COM ويوضع مفتاح الاختيار على وظيفة A~ على وضع 2A . فإذا كانت القراءة صغيرة نغير مفتاح الاختيار لوضع 200mA وهكذا .
- والجدير بالذكر أن الأجهزة الرقمية تعطى قراءة OL أو 1 إذا كانت الكمية المقاسة أكبر من الحد الأقصى المضبوط عليه مفتاح الاختيار .

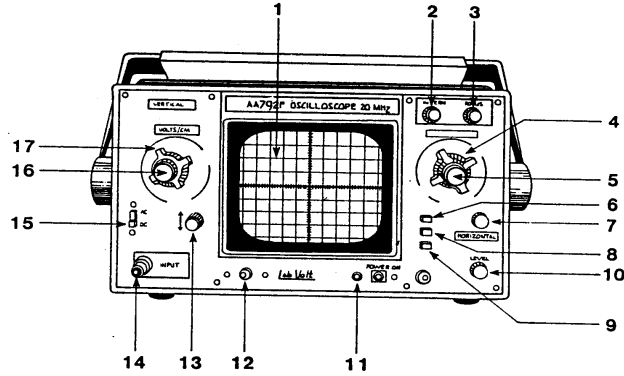
وتوجد أجهزة آفوميتر معدة لقياس تيارات تصل إلى 300A أو أكثر، وذلك لقياس تيارات الأحمال الكهربائية مثل المحركات، وهي عادة تكون مزودة بكماشة Clamp حيث يوضع السلك المطلوب قياس التيار المار فيه داخل الكماشة كما هو مبين بالشكل (١٦-١).



شكل (١٦-١)

#### ١٥ / ١ - الأوسيلوسكوب : The Oscilloscope

يستخدم جهاز الأوسيلوسكوب لعرض شكل موجة الجهد عند النقاط المختلفة في الدائرة الإلكترونية، وذلك على شاشة مدرجة نوع (CRT) Cathode Ray tube، وبذلك يمكن أن نعين أي معلومات تخص هذه الموجات مثل: التردد، والقيمة القصوى... إلخ. والشكل (١٧-١) يعرض نموذجاً لأحد أجهزة الأوسيلوسكوب.



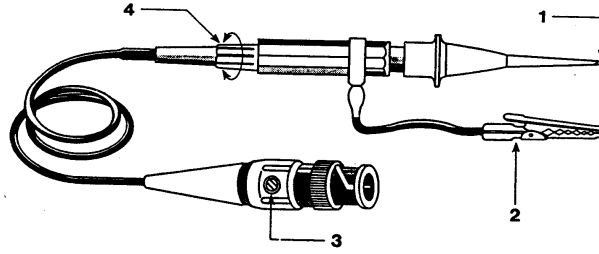
شكل (١٧-١)

#### التعريف بمحتويات الجهاز:

- 1: شاشة Screen مقسمة كورقة الرسم البياني بالسنتيمتر، ولها محوران في المنتصف أحدهما: رأسى ويمثل السعة (القيمة العظمى)، والآخر: المحور الأفقى ويمثل الزمن.
- 2: مفتاح التحكم فى الإضاءة Intensity Control. ويتحكم فى شدة استضاءة خطوط المنحنى الظاهر على الشاشة.
- 3: مفتاح التحكم فى الوضوح Focous Control. ويتحكم فى مدى وضوح خطوط المنحنى الظاهر على الشاشة.
- 4: مفتاح مقياس رسم الزمن Time/Cm Selector switch (Time /Cm).
- 6: مفتاح اختيار بداية الموجة ( -/+ ) Slope switch . ويقوم هذا المفتاح باختيار البداية الموجبة أو السالبة تبعاً للاختيار.
- 7: مفتاح التحكم الأفقى Horizontal Control ←→ ويقوم بتحريك الموجة يمينا أو يسارا على الشاشة.
- 8: مفتاح اختيار الحالة Mode switch (TV/NORM). وعادة يوضع على وضع NORM فى حين يوضع على وضع TV عند تغذية الجهاز بإشارة من تليفزيون أو فيديو.
- 9: مفتاح المصدر Source switch (EX/INT). وعادة يوضع على وضع INT.
- 10: مفتاح التحكم فى المستوى Level Control. وهو يتحكم فى استقرار الموجات على الشاشة. فإذا اختفت الموجات يمكن إدارة هذا المفتاح لحين ظهورها.
- 11: مفتاح القدرة Power switch. فعند إدارة هذا المفتاح فإنه بعد دقائق قليلة يظهر خط الشاشة الأفقى الموجود فى منتصف الشاشة Trace Line.
- 13: مفتاح التحكم الرأسى Vertical control. ويقوم بتحريك الموجة لأعلى وأسفل.
- 14: مدخل إشارات Input socket. ويوصل بها مجس الاختبار Test probe المستخدم لإدخال إشارة الدخل.

15 : مفتاح التيار المتردد / الأرضي / التيار المستمر AC/GND/DC Switch ، ويوضع على AC عندما تكون الإشارة الداخلة AC ويوضع على GND عند ضبط خط الشاشة عند أى موضع بالشاشة، وذلك قبل دخول إشارة الدخل، ويوضع على DC عندما تكون إشارة الدخل DC.

17 : مفتاح مقياس رسم الجهد Volts/ Cm selector switch (V/Cm) والشكل ( ١ - ١٨ ) يعرض نموذجا نجس اختبار للأوسيلوسكوب .



شكل ( ١ - ١٨ )

حيث إن :

- 1 : ماسك النجس TIP . ويوصل بالنقطة المطلوب تعيين شكل الموجة عندها .
- 2 : مشبك الأرضي Ground Clips . ويوصل بالأرضي .
- 3 : مسمار ضبط السعة Capacitance Correction trimmer . يستخدم لضبط شكل الموجة أثناء معايرة الأوسيلوسكوب .
- 4 : المضاعف Multiplier . ويمكن إدارته من الوضع X1 إلى الوضع X10 ، وبالتالي فإن إشارة الدخل ستقل 10 مرات . فإذا كانت أقصى سعة لإشارة الدخل الظاهرة على الشاشة 5V ، فإن هذا يعنى أن أقصى سعة لإشارة الدخل تساوى  $10 \times 5 = 50V$  وهكذا .

ويوجد نوعان من أجهزة الأوسيلوسكوب وهما :

١ - عادى NORMAL : ويستخدم لغرض عرض موجات الإشارات المستقرة .

٢ - بتخزين STORAGE : ويستخدم لغرض عرض موجات الإشارات الانتقالية Transient السريعة، والتي لا يستطيع الأوسيلوسكوب العادى عرضها .

وعادة فإن معظم أجهزة الأوسيلوسكوب تحتوى على قناتين 2 Channel ، أى يمكن عرض موجتين لإشارتين جهد فى آن واحد، علما بأن هذه الأجهزة تكون مزودة بمدخل للإشارات لكل قناة .

١ / ١٥ / ١ - استخدام جهاز الأوسيلوسكوب العادى :

فيما يلى الخطوات المتبعة عند استخدام جهاز الأوسيلوسكوب العادى :

١ - يتم تثبيت مجس الاختبار فى مدخل إشارات الأوسيلوسكوب 14، ثم بواسطة مفتاح القدرة يتم تشغيل الأوسيلوسكوب حتى يظهر خط الشاشة، ثم تقوم بوضع مفتاح AC/GND/DC (15) على وضع GND ونضبط خط الشاشة لينطبق على المحور الأفقى فى منتصف الشاشة، ثم نثبت رأس مجس الاختبار بالنقطة المطلوب عرض موجة الجهد عندها، ونثبت مشبك الأرضى بأرضى الدائرة الإلكترونية، ونعيد المفتاح 15 لوضع AC إذا كانت الموجة AC، أو DC إذا كانت الموجة DC، فتظهر موجة إشارة الدخل على الشاشة وبواسطة المفاتيح أرقام (2,3,4,6,7,13) يتم ضبط الموجة بمقياس الرسم المطلوب للزمن والجهد وكذلك ضبط الإضاءة والوضوح وتعديل مكان الموجة فى الشاشة للوضع المطلوب، علما بأن مفتاح اختيار الحالة 8 يجب أن يكون على وضع NORM، ومفتاح المصدر 9 يجب أن يكون على وضع INT، ويمكن تعيين زمن الدورة أو القيمة القصوى للموجة من القوانين التالية :

$$T = A_x \cdot K_x \longrightarrow 1.10$$

$$F = \frac{1}{T} \longrightarrow 1.3$$

$$V_p = A_y \cdot K_y \longrightarrow 1.11$$

حيث إن :

T	زمن الدورة
Ax	طول الدورة الكاملة بالسنتيمتر
Kx	مقياس الرسم S/Cm
F	التردد (Hz)
Vp	القيمة القصوى للجهد بالفولت
Ay	سعة الموجة بالسنتيمتر
Ky	مقياس الرسم V/CM

مثال :

الشكل ( ١ - ١٩ ) يبين موجة لإشارة جهد ظاهرة على شاشة أوسيلوسكوب ،  
علما بأن مقياس رسم الجهد 1V/Cm ومقياس رسم الزمن 10μS/Cm .

وبلاحظ من هذا الشكل أن :

$$Ax = 4 \text{ Cm}$$

$$Ay = 2 \text{ Cm}$$

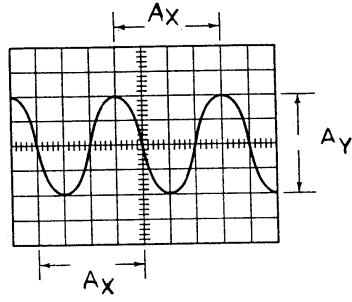
لذلك فإن :

$$T = Ax \cdot Kx$$

$$= 4 \times 10 = 40\mu S$$

$$F = \frac{1}{40 \times 10^{-6}} = 25000 \text{ HZ}$$

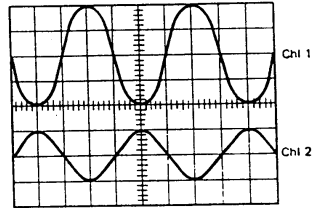
$$Vp = 2 \times 1 = 2 \text{ V}$$



شكل (١٩-١)

والشكل (٢٠ - ١) يعرض شكل موجتين على شاشة أوسيلوسكوب بقناتين، القناة الأولى، تمثل دخل دائرة مكبر يحتوى على ترانزستور بباعث مشترك، والقناة الثانية تمثل خرج الدائرة.

وبلاحظ أن موجة القناة 1 (CH1). متاخرة عن موجة القناة 2 (CH2). بزاوية  $180^\circ$ .



شكل (٢٠ - ١)

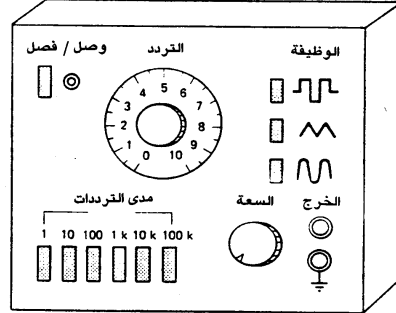


## ١٦ / ١ - مولد الإشارات الأساسية (الدوال) Basic signal generator :

يستخدم مولد الدوال فى توليد إشارات مربعة ومثلثة وجيبية .. إلخ، والتي نحتاج إليها فى اختبار وإصلاح ومعايرة الدوائر الإلكترونية. ويتميز هذا المولد بإمكانية تغيير التردد والقيمة القصوى للموجة المولدة.

والشكل (١ - ٢١) يعرض صورة لمولد دوال.

فلتوليد موجة بأى شكل وبأى تردد وسعة يتم الضغط على مفتاح وظيفة الموجة Function، ثم تحديد المدى بواسطة الضغط على مفتاح Range، ثم إدارة مفتاح



ضبط التردد Frequency

للاوصول للتردد المطلوب،

ثم بعد ذلك يتم ضبط

سعة الموجة بواسطة مفتاح

ضبط السعة Amplitude

مثال : لتوليد موجة جيبية

ترددها 8KHZ وسعتها

4V نتبع الآتى :

١ - نضغط على مفتاح

وظيفة الموجة الجيبية.

٢ - نحدد المدى بالضغط

على مفتاح 1KHZ.

شكل (١ - ٢١)

٣ - ندير مفتاح ضبط التردد وصولاً للوضع 9.

٤ - نضبط سعة الموجة المتولدة بواسطة مفتاح ضبط السعة، ويمكن الاستعانة

بجهاز الأوسيلوسكوب فى النقطتين ٣، ٤.

وعادة عند استخدام مولدات الإشارات لتوليد موجات لها قيم قصوى صغيرة

تستخدم مقاومة على التوالى مع الطرف الموجب لمولد الإشارات تساوى

(100kΩ:1MΩ) للتخلص من الضوضاء الشديدة Noise، التى يمكن أن تكون

مع هذه الموجات.



**الباب الثاني**  
**العناصر الإلكترونية الشائعة الاستخدام**



## العناصر الإلكترونية الشائعة الاستخدام

### ٢ / ١ - المقاومات Resistors :

تعتبر المقاومات من أهم المكونات الأساسية لمعظم الدوائر الإلكترونية وتصنع المقاومات من مواد مختلفة، علماً بأن نوع مادة المقاومة يحدد المواصفات الفنية للمقاومات.

وفيما يلي أهم المواصفات الفنية للمقاومات :

١ - قيمة المقاومة : وتقاس قيمة المقاومة بوحدة الأوم  $\Omega$  أو الكيلو أوم  $K\Omega$  أو الميجا أوم  $M\Omega$ .

٢ - قدرة المقاومة **Power** : وهي القدرة القصوى التي تبديدها المقاومة وتساوى :  
 $P = I^2 R \text{ (W)}$

حيث إن :

P القدرة المستهلكة بالوات .

I التيار المار في المقاومة .

R المقاومة .

٣ - التفاوت **Tolerance** : وهو الانحراف الأقصى المسموح به عن القيمة المقررة، ويعبر عنه كنسبة مئوية.

٤ - مدى درجة الحرارة **Temperature Range** : ويعطى الحد الأدنى والحد الأقصى لدرجة الحرارة المسموح بها عند التخزين وعند التشغيل .

وتنقسم المقاومات من حيث خضوعها لقانون أوم إلى :

أ - مقاومات خطية **Linear Resistors** : وهي تخضع لقانون أوم ( انظر الفقرة ١ - ٣ ) .

ب - مقاومات غير خطية Non Linear Resistors : وهي لا تخضع لقانون أوم .

١ / ١ / ٢ - المقاومات الخطية :

وتنقسم المقاومات الخطية إلى : مقاومات ثابتة القيمة ، ومقاومات متغيرة القيمة .

أولاً : المقاومات الثابتة القيمة :

توجد عدة أنواع من المقاومات الثابتة القيمة تبعاً للمواد المستخدمة في تصنيعها والجدول ( ١-٢ ) يبين الأنواع المختلفة للمقاومات الثابتة القيمة والمواصفات الفنية لكل نوع .

الجدول ( ١-٢ )

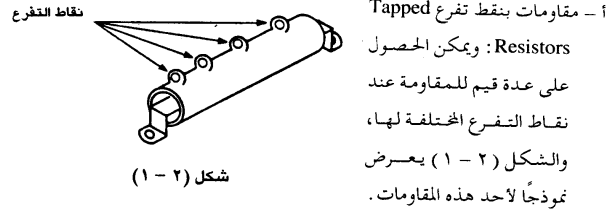
نوع المقاومة	مدى المقاومة	القدرة	التفاوت	مدى درجة الحرارة	الاستخدام
مقاومة كربونية Carbon Resistor	2.2Ω:1MΩ	0.125W:1W	± 10 %	- 40°C: + 105°C	الاستخدامات العامة
مقاومة مصنوعة من فيلم كربوني Carbon Film	10Ω:10MΩ	0.25W:2W	± 5 %	- 45: 125°C	مقاومات انجياز وأحمال
مقاومة مصنوعة من فيلم معدني Metal Film	10Ω:10MΩ	0.125:0.5W	± 1 %	- 55: 125°C	الأغراض العامة ومقاومات انجياز وأحمال
مقاومة مصنوعة من أكسيد المعدني Metal Oxide	10Ω:1MΩ	0.5W	± 2 %	- 55: 150	الأغراض العامة ومكبرات الإشارة
مقاومة من أسلاك مغلقة بالألومنيوم Wire wound Aluminium housed	0.1Ω:1KΩ	25W, 50W	± 5 %	- 55:200°C	الأحمال العالية
مقاومة من أسلاك ملفوفة في جسم خزفي Wire wound ceramic body	0.47Ω:22KΩ	4,7,11,17W	± 5 %	- 55: + 200	مصادر تغذية الطاقة
مقاومة من أسلاك مغطاة بالسليكون Wire wound Silicone Coated	0.1:22 KΩ	2.5 W	± 5 %	- 55: 200°C	مصادر تغذية الطاقة والأحمال .

## ثانياً: المقاومات المتغيرة:

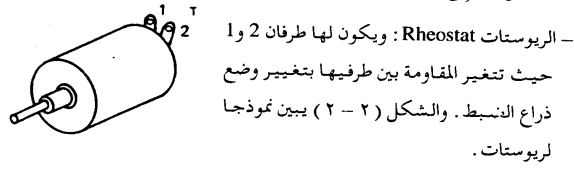
توجد مقاومات متغيرة بأشكال مختلفة، منها الكربونية، ومنها ذات الأسلاك الملفوفة.

أما المقاومات الكربونية فتستخدم في الاستخدامات المنخفضة القدرة الأقل من 1W.

وهناك عدة أنواع من المقاومات الخطية المتغيرة القيمة مثل:

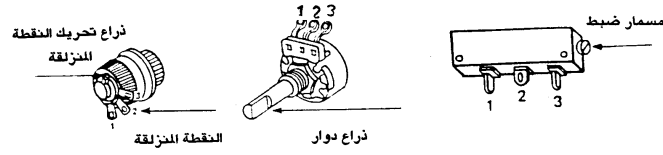


ب - مقاومات متغيرة القيمة Variable Resistors: وهذه المقاومات تتغير قيمتها باستخدام وسيلة يدوية مثل عمود أو ذراع دوار أو مسمار مشقوق وتنقسم هذه المقاومات إلى نوعين وهما:



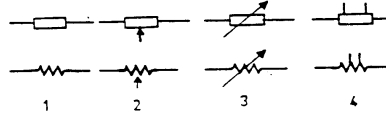
- مجزئ الجهد Potentiometer: ويكون له ثلاثة أطراف 1 و 2 و 3، بحيث إن المقاومة بين الطرفين 1 و 3 تمثل المقاومة الكلية للمجزئ، وهي ثابتة ولا تتغير بتغيير وضع ذراع الضبط، وتساوى

مجموع المقاومة بين الطرفين 2 و 1 والمقاومة بين الطرفين 3 و 1 وهما مقاومتان متغيرتان، تتغيران تبعاً لتغير وضع ذراع ضبط المجزئ. والشكل (٢ - ٣) يعرض ثلاثة نماذج مختلفة لمجزئات الجهد.



شكل (٢ - ٣)

وفيما يلي رموز المقاومات الثابتة والمتغيرة:



فالرمز 1 لمقاومة ثابتة والرمز 2 لمجزئ جهد. والرمز 3 لريوستات. والرمز 4 لمقاومة بنقطتي تفرع.

٢ / ١ / ٢ - المقاومات غير الخطية:

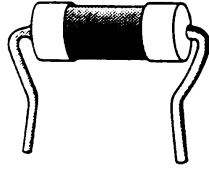
وهذه المقاومات لا تخضع لقانون أوم (ارجع للفقرة ١-٣) لأن قيمتها تتغير تبعاً لمؤثرات خارجية على سبيل المثال:

أ - المقاومة الحرارية (الثرمستور) Thermistor: حيث يوجد نوعان من المقاومات



الحرارية (الثرمستورات)؛ الأولى: لها معامل حراري موجب PTC، أي تزداد قيمتها بارتفاع درجة الحرارة، حيث تكون مقاومتها حوالي  $100\Omega$  عندما تكون درجة الحرارة تتراوح ما بين  $(0:75^\circ\text{C})$  وترتفع مقاومتها بسرعة إلى قيم أكبر من  $10k\Omega$  عند ارتفاع درجة حرارتها إلى  $(80:120^\circ\text{C})$ .

والثانية: لها معامل حراري سالب NTC وتتميز بأن مقاومتها تساوي عدة كيلو أوم أو مئات من الأوم عند درجة حرارة  $25^\circ\text{C}$ ، في حين تصبح مقاومتها مساوية عدة مئات من الأوم أو عدة عشرات من الأوم عند درجة حرارة  $100^\circ\text{C}$ .



والشكل (٢ - ٤) يعرض نموذجاً لمقاومة حرارية.

ب - المقاومة الضوئية LDR: وهذه المقاومات تتغير قيمتها من عدة ميغا أوم في الظلام إلى عدة مئات من الأوم في ضوء النهار.

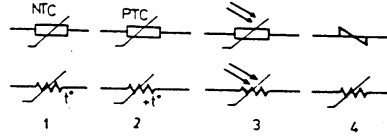
والشكل (٢ - ٥) يعرض نموذجاً لمقاومة ضوئية.



ج - مقاومة تعتمد على الجهد VDR: وهذه المقاومة تقل قيمتها بزيادة الجهد المسلط عليها، وتستخدم لخمم الجهود العابرة في الدوائر الإلكترونية.

وفيما يلي رموز المقاومات المتغيرة:

شكل (٢ - ٥) .



الرمز 1 لمقاومة حرارية ذات معامل حرارى سالب .

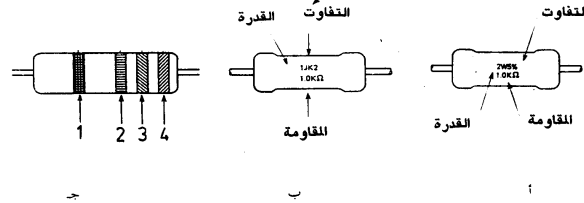
الرمز 2 لمقاومة حرارية ذات معامل حرارى موجب .

الرمز 3 لمقاومة ضوئية .

الرمز 4 لمقاومة معتمدة على الجهد .

٣ / ١ / ٢ - طرق تشفير المعلومات الفنية للمقاومات الخطية :

وتوجد ثلاثة طرق مختلفة لتشفير المعلومات الفنية لهذه المقاومات موضحة بالشكل (٦-٢) .



شكل (٦-٢)

وهي كمايلي :

١ - طريقة العرض المباشر :

حيث يكتب قدرة المقاومة وقيمتها ومقدار التفاوت المسموح به على المقاومة مباشرة، وتستخدم هذه الطريقة مع المقاومات الكبيرة الملفوفة . ففي الشكل (٦-٢) فإن قدرة المقاومة 2W ومقدار التفاوت المسموح به  $\pm 5\%$ ، وقيمة المقاومة  $1.0K\Omega$  . ويمكن حساب التفاوت المسموح به كالآتي :

$$\frac{\pm 5}{100} \times 1000 \pm 50 \Omega$$

أى أن قيمة المقاومة الفعلية تتراوح ما بين :

$$R = 1000 + 50 : 1000 - 50$$

$$R = 1050 \Omega : 950 \Omega$$

٢ - طريقة التشفير الحرفية (الطريقة الإنجليزية) :

الجدول (٢ - ٢) يبين الأحرف المختلفة المستخدمة كمضاعفات :

الجدول (٢ - ٢)

المضاعف	1	1000	1000000
الحرف	R	K	M

والجدول (٣-٢) يبين الأحرف المختلفة المستخدمة لبيان التفاوت :

الجدول (٣-٢)

التفاوت	± 1%	± 2%	± 5%	± 10%	± 20%
الحرف	F	G	J	K	M

مثال :

عندما يكتب على المقاومة 4 R7K فهذا يعني أن قيمة المقاومة  $4.7 \Omega$  مع تفاوت  $\pm 10\%$

وعندما يكتب على المقاومة 330 RG فهذا يعني أن قيمة المقاومة  $330 \Omega$  مع تفاوت  $\pm 2\%$

وعندما يكتب على المقاومة 2K2M فهذا يعني أن قيمة المقاومة  $2.2 K\Omega$  مع تفاوت  $\pm 20\%$

٣ - طريقة التشفير الحرفية للشركات المصنعة :

حيث يكتب رمز معين يدل على قيمة القدرة بالوات والتفاوت المسموح به من جداول الشركة المصنعة، فمثلاً في الشكل (٢ - ٦ ب) مقاومة قدرتها وتفاوتها يعرفان من كتالوج الشركة المصنعة بدلالة 1JK2 وقيمة المقاومة  $1.0K\Omega$ .

٤ - طريقة التشفير بالألوان :

وتستخدم هذه الطريقة مع المقاومات الصغيرة والتي تتراوح قدرتها ما بين

(0.25: 2W)، ويرسم على المقاومة أربع أو خمس حلقات ملونة قريبة من أحد جانبيها، وعادة ترقم هذه الحلقات الملونة من اليسار لليمين كما بالشكل (٢-٦ ج).

فبالنسبة للمقاومات ذات الأربع حلقات فإن:

الحلقة الأولى: تمثل الرقم الأول.

والحلقة الثانية: تمثل الرقم الثاني.

والحلقة الثالثة: تمثل المضاعف أو الجزء.

والحلقة الرابعة: تمثل التفاوت.

وبالنسبة للمقاومات ذات الحلقات الخمسة فإن:

الحلقة الأولى: تمثل الرقم الأول.

والحلقة الثانية: تمثل الرقم الثاني.

والحلقة الثالثة: تمثل الرقم الثالث.

والحلقة الرابعة: تمثل المضاعف أو الجزء.

والحلقة الخامسة: تمثل التفاوت.

والجدول (٢ - ٤) يبين مدلول كل لون.

الجدول (٢ - ٤)

التفاوت	أسود	بنى	أحمر	برتقالى	أصفر	أخضر	أزرق	بنفسجى	رمادى	أبيض	ذهبى	فضى	بدون لون
الرقم	0	1	2	3	4	5	6	7	8	9	-	-	-
المضاعف أو الجزء	1	10	10 <sup>2</sup>	10 <sup>3</sup>	10 <sup>4</sup>	10 <sup>5</sup>	10 <sup>6</sup>	10 <sup>7</sup>	10 <sup>8</sup>	10 <sup>9</sup>	0.1	0.01	
التفاوت كنسبة مئوية		± 1	± 2								± 5	± 10	± 15

مثال :

إذا كانت ألوان الحلقات الأربعة الملونة لمقاومة كربونية كما يلي :

الحلقة الأولى : بنى

الحلقة الثانية : أسود

الحلقة الثالثة : أزرق

الحلقة الرابعة : ذهبي

فإن :

الرقم الأول : ( بنى ) يكافئ 1

الرقم الثانى : ( أسود ) يكافئ 0

المضاعف ( أزرق ) يكافئ  $10^6$

التفاوت ( ذهبي ) يكافئ  $\pm 5\%$

لذلك فإن قيمة المقاومة :

$$R = 10 \times 1000000 \Omega \pm 5\%$$

$$R = 10 \text{ M } \Omega \pm 5\%$$

ويمكن معرفة قدرة المقاومة بالوات من خلال معرفة طول وقطر المقاومة . والجدول ( ٢ - ٥ ) يبين العلاقة بين طول وقطر المقاومة وقدرتها للمقاومات ذات القيلم الكربونى .

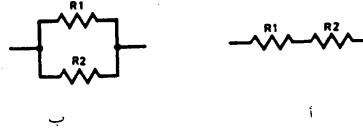
الجدول ( ٢ - ٥ )

القدرة بالوات (W)	0.25	0.5	1	2
الطول بالملى متر (mm)	6.5	9.5	12	16
القطر بالملى متر (mm)	2.3	3.2	4.5	5

٢ / ١ / ٤ - توصيل المقاومات على التوالى والتوازى :

تكون قيمة المقاومة المطلوبة غير متوفرة - أحياناً - فى الأسواق . لذلك نقوم بتوصيل أكثر من مقاومة على التوالى أو التوازى للحصول على المقاومة المطلوبة ، ولكن يجب علينا معرفة خواص التوصيل على التوالى ، وكذلك على التوازى

والشكل (٧ - ٢) يوضح طريقة توصيل مقاومتين على التوالي (أ) وطريقة توصيل مقاومتين على التوازي (ب).



شكل (٧ - ٢)

فعند التوصيل على التوالي، فإن المقاومة المحصلة R نحصل عليها من المعادلة 2.1:

$$R = R_1 + R_2 \longrightarrow 2.1$$

وعند التوصيل على التوازي، فإن المقاومة الكلية R نحصل عليها من المعادلة 2.2:

$$\frac{1}{R} = \frac{1}{R_1} + \frac{1}{R_2} \longrightarrow 2.2$$

ويمكن تبسيط هذه المعادلة في حالة مقاومتين على التوازي كما بالمعادلة 2.3:

$$R = \frac{R_1 R_2}{R_1 + R_2} \longrightarrow 2.3$$

مثال:

إذا كانت  $R_1 = 2 \text{ K}\Omega$ ,  $R_2 = 2 \text{ K}\Omega$

فعند التوصيل على التوالي فإن المحصلة تساوي:

$$R = R_1 + R_2 = 4 \text{ K}\Omega$$

وعند التوصيل على التوازي فإن المحصلة تساوي:

$$R = \frac{R_1 R_2}{R_1 + R_2} = \frac{2 \times 2}{2 + 2} = 1 \text{ K}\Omega$$

تختبر المقاومات عادة بجهاز الأوميتر أو جهاز الآفوميتر عند ضبطه ليعمل كأوميتر، حيث تفصل المقاومة عن الدائرة وتقاس بالطريقة الموضحة بالشكل.

فإذا كانت قراءة الجهاز مساوية لقيمة المقاومة المستنتجة من الشفرة المستخدمة كانت المقاومة سليمة والعكس بالعكس.

## ٢ / ٢ - المكثفات Capacitors :

يقوم المكثف بتخزين شحنة كهربائية أثناء تعرضه لفرق جهد بين طرفيه، ويتوقف الشحن عندما يتساوى الجهد المتشكل على أطراف المكثف مع جهد المصدر، ويقوم المكثف بتفريغ شحنته عند انخفاض جهد المصدر عن فرق الجهد بين طرفي المكثف أو عند انعدام جهد المصدر. أى أن المكثف يمكن اعتباره مخزناً للطاقة الكهربائية، وتعتبر المكثفات من أكثر العناصر التي يكثر استخدامها في جميع الدوائر الإلكترونية.

ويصنع المكثف عادة من لوحين معدنيين بينهما عازل، ويسمى المكثف عادة تبعاً لنوع العازل المستخدم، مثل الميكا والسيراميك والمحاليل الكيميائية... إلخ. والجدير بالذكر أن نوع المادة العازلة وشكل المكثف يؤثران بشكل مباشر على المواصفات الفنية للمكثفات.

وفيما يلي أهم المواصفات الفنية للمكثفات:

١ - سعة المكثف Capacitance : وتقاس بالميكرو فاراد  $\mu f$  أو النانوفاراد nf أو البيكوفاراد PF.

٢ - جهد المكثف المقنن Rated voltage : وهو أقصى جهد يتحمله المكثف، فإن زاد الجهد المسلط على المكثف عن الجهد المقنن ينهار عزل المكثف ويتلف.

٣ - التفاوت Tolerance : وهو الانحراف الأقصى المسموح به عن القيمة المقررة للسعة، ويعبر عنه كنسبة مئوية.

٤ - مدى درجة الحرارة المحيطة Temperature Range : وتعطى الحد الأدنى والحد الأقصى لدرجة الحرارة المسموح بها.

٥ - التيار المتسرب Leakage current : وهو التيار المستمر المار في العازل الكهربائي عند تسليط جهد مستمر على المكثف عند درجة حرارة معينة.

وتنقسم المكثفات إلى نوعين وهما:

- ثابتة القيمة. - متغيرة القيمة.

والجدول (٢ - ٦) يبين الأنواع المختلفة للمكثفات الثابتة القيمة والمواصفات الفنية لكل نوع.

الجدول (٢ - ٦)

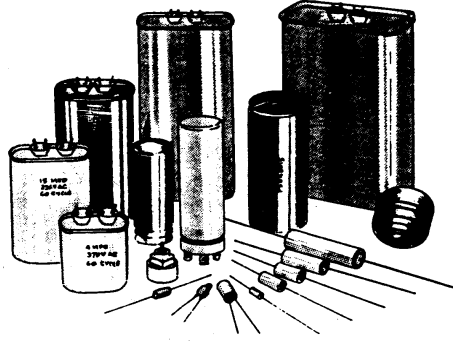
الاستخدامات	نطاق التسرب	مدى درجة الحرارة	التفاوت	مدى السعة	الجهد الفعلي	النوع
الترويت ومحاكاة درجة الحرارة في دوائر المذبذبات		- 85°C: 85°C	± 10% ± 20%	2.2 pF: 220pF 10pF: 1 µF 1 nF: 100nF	100 Vdc	Ceramic مخازن معددة الطبقات قرص
في دوائر التوقيت والمخارج		- 40: 70°C	± 1%, ± 2.5% ± 5%	10 pF: 10 nF	160 Vdc 40 Vac	بوليسترين Polystyrene
تخمين معادل القدرة في دوائر التيسير الترددية ومخارج الطاقة.		25: 85°C	± 20%	2 µF: 4µF: 8µF 16 µF	600 Vdc 250 Vac	فيلم معدني Metalic Film
في المذبذبات ذات التردد الزئبق ودوائر التوقيت والمخارج.		- 40: + 85°C	+ 0.5%, ± 1%	2.2 pF: 10nF	350 Vdc	ميك Mica
دوائر التوقيت والمخارج		- 55: + 100°C	± 20%	1 nF: 10 µF	63Vdc (45Vac) 160 Vdc (100 Vac) 630 Vdc (300Vac)	بولي كربونات Poly Carbonate
الأغراض الخاصة ودوائر الربط		- 40: + 100°C	± 20%	10 nF: 2.2 µF	250 Vdc (125Vac) 400 Vdc (200 Vac)	بوليسترين Polyester



تابع الجدول (٢ - ١)

الاستخدامات	تيار التسرب	مدى درجة الحرارة	الطاقة	مدى السعة	الجهد الفعلي	الجهد الفعلي
دوائر السرب ودوائر المرشحات وهذه المكونات عالية التردد		-55; + 100 °C	± 20%	1 nF; 470 nF	1KVdc (350 Vac) 1.5 KVdc (450Vac)	بولي بروبيلين Poly Propylene
لدوائر الربط	1µA أقل من	-55; + 85°C	± 20%	0.1 µF; 100µF	6.3; 35V	المكثفات الكهربية Electrolytic ١- تانتالوم Solid tantalum ب- كيميائية ذات أرجل نصف قطرية ومستطيلة Radial type ج- كيميائية ذات أرجل محورية ومستطيلة Axial type د- كيميائية معلية Can type
مكثفات تخزين الطاقة والأغراض العامة، وتثبيت مباشرة على اللوحات المنظومة	1 µA; 3µA	-40; + 85°C	± 20%	0.47µF; 220 µF	6.3Vdc; 450Vdc	
مكثفات تخزين الطاقة	1 µA; 3µA	-40; + 85°C	± 20%	1 µF; 4700 µF	25; 40; 50 Vdc	
مكثفات تخزين الطاقة	0.01 CV C (µF) السعة (V) الجهد (V)	-40; + 85°C	-10; + 50%	22µF; 10000µF	40; 360V	

والشكل ( ٢ - ٨ ) يعرض أنواعا مختلفة من المكثفات .

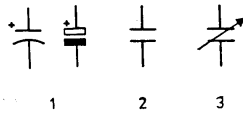


شكل (٢-٨)

وفيما يلي رموز المكثفات :

فالرمز ١ لمكثف كيميائي . والرمز ٢ لمكثف عادي .

والرمز ٣ لمكثف متغير السعة

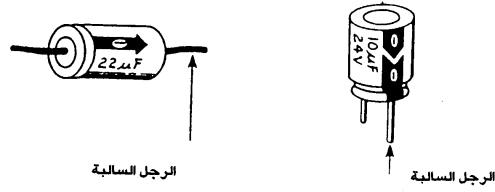


١ / ٢ / ٢ - طرق تشفير المعلومات الفنية للمكثفات :

توجد عدة طرق لتشفير المعلومات الفنية للمكثفات تختلف باختلاف نوع المكثف وهي كما يلي :

١ - الطريقة الأولى : العرض المباشر للمعلومات الفنية : وذلك بكتابتها مباشرة على

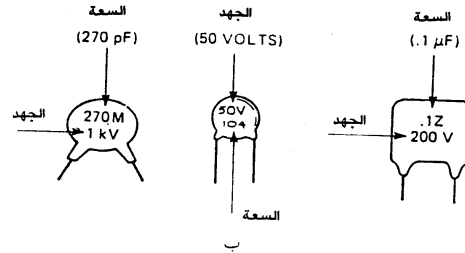
الغلاف المعدني للمكثف الكيمائي Electrolytic Capacitor، وتكتب سعة المكثف بالميكروفاراد ( $\mu F$ ) وجهد التشغيل بالفولت (V)، وكذلك توضع قطبية أحد طرفي المكثف سواء الطرف الموجب + أو الطرف السالب -، وهذا موضح بالشكل (٩ - ٢).



شكل (٩ - ٢)

٢ - الطريقة الثانية: (طريقة التشفير الحرفية):

وتستخدم بالنسبة للمكثفات الصغيرة التي تكون على شكل قرص disc حيث يكتب عليها السعة وجهد التشغيل بأكواد مبسطة كما بالشكل (١٠ - ٢).



شكل (١٠ - ٢)

فالسعات تكتب بأكواد حرفية مثل:

Z وتعني ميكرو فاراد  $\mu F$

M وتعنى بيكوفاراد pf

فمثلا: فى الشكل (أ) مكثف سعته 1Z، أى 0.1  $\mu F$

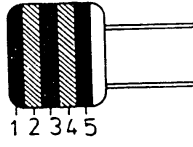
وبالشكل (ج) مكثف سعته 270 M أى 270 pf .

٣ - الطريقة الثالثة: (طريقة التشفير العددي):

ويستخدم فيها ثلاثة أعداد، حيث يمثل العدد الثالث أعداد الأصفار بعد العددين الأول والثاني، ففى الشكل (٢ - ١٠ ب) مكثف سعته يعبر عنها بالشفرة 104 أى 10 0000 PF أى 0.1  $\mu F$ ، فى حين يكتب الجهد مباشرة على المكثف، فهو فى هذه الحالة 50V .

٤ - طريقة التشفير بالألوان:

حيث يرسم عدة شرائط ملونة على غلاف المكثف كما بالشكل (٢ - ١١)، وتستخدم هذه الطريقة مع المكثفات البولوى إستير الراتنجية Resin dipped polyester capacitors .



شكل (٢ - ١١)

والجدول ( ٢ - ٧ ) يبين مدلول الألوان المختلفة للشرائط المختلفة .

اللون	أسود	بنى	أحمر	برتقالى	أصفر	أخضر	أزرق	بنفسجى	رمادى	أبيض
الشرائط الأول والثانى الرقم المقابل	0	1	2	3	4	5	6	7	8	9
الشرائط الثالث المضاعف	-	-	-	$10^3$	$10^4$	$10^2$	-	-	-	-
الشرائط الرابع التفاوت	$\pm 20\%$									$\pm 10\%$
الشرائط الخامس (الجهد المستمر)			250V		400V					

مثال :

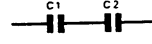
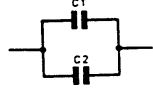
- 1 = إذا كان لون الشريط الأول بنيا  
0 = الشريط الثانى أسود  
 $10^3$  = الشريط الثالث برتقاليا  
 $\pm 20\%$  = الشريط الرابع أسود  
250V<sub>DC</sub> = الشريط الخامس أحمر  
أى أن سعة المكثف تصبح مساوية

$$C = 10 \times 1000 = 10^4 \text{ PF}$$

مع تفاوت يساوى  $\pm 20\%$  وجهد التشغيل المستمر يساوى 250 VDC .

٢ / ٢ / ٢ - توصيل المكثفات على التوالى والتوازى :

عندما تكون قيمة السعة المطلوبة غير متوفرة - أحياناً - فى الأسواق لذلك نقوم بتوصيل أكثر من مكثف على التوالى أو التوازى للحصول على السعة المطلوبة، ولذلك كان من الضروري معرفة خواص التوصيل على التوالى والتوازى .  
والشكل ( ٢ - ١٢ ) يوضح طريقة توصيل مكثفين على التوالى ( أ ) وطريقة توصيل مكثفين على التوازى ( ب ) .



شكل (٢-١٢)

فعند التوصيل على التوالي فإن السعة المكافئة  $C$  نحصل عليها من المعادلة 2.4:

$$\frac{1}{C} = \frac{1}{C_1} + \frac{1}{C_2} \rightarrow 2.4$$

ويمكن تبسيط هذه المعادلة في حالة مكثفين على التوالي كما بالمعادلة 2.5:

$$C = \frac{C_1 C_2}{C_1 + C_2} \rightarrow 2.5$$

وعند التوصيل على التوازي فإن السعة المكافئة  $C$  نحصل عليها من المعادلة 2.6:

$$C = C_1 + C_2 \rightarrow 2.6$$

فإذا كان:  $C_1 = 5 \mu F$  و  $C_2 = 5 \mu F$

فعند التوصيل على التوالي فإن المحصلة تساوى:

$$C = \frac{C_1 C_2}{C_1 + C_2} = \frac{5 \times 5}{5 + 5} = 2.5 \mu F$$

وعند التوصيل على التوازي فإن المحصلة تساوى:

$$C = C_1 + C_2 = 5 + 5 = 10 \mu F$$

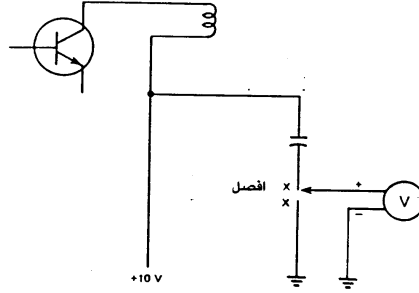
٢ / ٣ - اختبار صلاحية المكثف:

هناك طريقتان لاختبار صلاحية المكثفات وهما:

الطريقة الأولى (استخدام جهاز الفولتميتر):

حيث يفصل طرف المكثف الموصل بالأرضى أو بالجهد المنخفض أثناء عمل الدائرة ثم يوصل جهاز الفولتميتر بالتوازي مع المكثف فإذا تحرك مؤشر الجهاز لحظياً

لإعطاء قراءة تساوى الجهد المسلط على المكثف ثم العودة للصفر بعد ذلك فقد دل على أن المكثف سليم، أما إذا ثبت المؤشر على أقصى قيمة للجهد فقد دل على أن المكثف به قصر، بينما إذا ثبت المؤشر عند قيمة لا تساوى القيمة القصوى للجهد المسلط على المكثف فقد دل على أن المكثف به تسرب، وإذا لم يتحرك المؤشر بل ثبت على قراءة الصفر دل على أن المكثف مفتوح، والشكل (٢-١٣) يوضح هذه الطريقة.

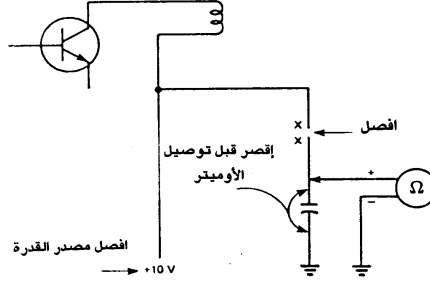


شكل (٢-١٣)

#### الطريقة الثانية (استخدام جهاز الأوميتر) :

حيث يفصل المكثف من الدائرة وتفرغ شحنته وذلك بعمل قصر على طرفيه، ثم يوصل جهاز الأوميتر بالتوازي مع المكثف. فالمكثف الجيد يعطى مقاومة صغيرة فى البداية، ثم تزداد مقاومته لتصل إلى ما لا نهاية، وذلك لأن جهاز الأوميتر يحتوى بداخله على بطارية، ويتم قياس المقاومات وذلك بقياس التيار المار فيها. وحيث إن المكثف فى البداية يكون فى حالة تفريغ لذلك يمر تيار كهربى من بطارية الجهاز للمكثف حتى يشحن المكثف بعد ذلك ينقطع مرور التيار الكهربى.

أما إذا ثبتت قراءة الجهاز عند قيمة قريبة من الصفر منذ البداية فقد دل على أن المكثف به قصر وفي حالة ثبات قراءة الجهاز عند قيمة كبيرة منذ البداية فهذا يدل على أن المكثف به تسرب. وفي حالة ثبات قراءة الجهاز عند الصفر منذ البداية فهذا يدل على أن المكثف مفتوح. والشكل (٢ - ١٤) يوضح طريقة استخدام جهاز الأوميتر في اختبار المكثفات.



شكل (٢ - ١٤)

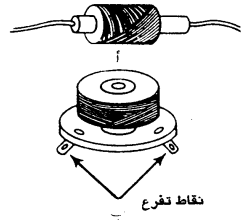
### ٢ / ٣ - الملفات The Inductors

تقوم الملفات بمعاكسة التغير السريع في التيار المار فيها، أي أن الملفات تقدم معاوقة كبيرة أمام التيار المتردد، في حين تسمح بمرور التيار المستمر الثابت القيمة بدون أي إعاقة.

وتصنع الملفات من أسلاك من النحاس ملفوفة على قلب مغناطيسي مصنوع من الحديد السليكوني، ويسمى الملف في هذه الحالة ملفاً مغناطيسياً، أو من سلك من النحاس الملفوف على قلب غير مغناطيسي مثل الورق، ويسمى الملف في هذه الحالة بالملف الهوائي.

والشكل (٢ - ١٥) يعرض ملفين هوائيين: الأول ذو حث ثابت (أ) والثاني بنقط تفرع (ب).

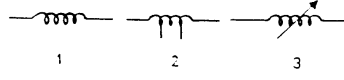




ويقاس حث الملف بوحدة الهنرى  $H$ . وهذه الوحدة كبيرة جداً لذلك تستخدم عادة أجزاء من هذه الوحدة مثل (mH) أى ملي هنرى وتساوى (0.001H).

شكل (٢-١٥)

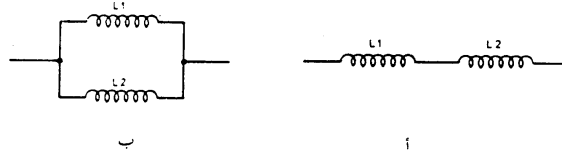
وفيما يلي رموز الملفات الكهربائية:



حيث إن الرمز 1 للملف ذي حث ثابت والرمز 2 للملف له نقاط تغرع. والرمز 3 للملف متغير الحث يعمل بذراع ضبط.

٢/٣/١ - توصيل الملفات على التوالي والتوازي:

يكون حث الملف المطلوب غير متوفر أحياناً بالأسواق، لذلك نلجأ لتوصيل ملفين أو أكثر على التوالي أو التوازي للحصول على الحث المطلوب، ولذلك كان من اللازم معرفة خواص التوصيل على التوالي والتوازي للملفات، والشكل (٢-١٦) يوضح طريقة توصيل ملفين على التوالي (أ) وعلى التوازي (ب).



شكل (٢-١٦)

فعند التوصيل على التوالي فإن الحث المكافئ  $L$  نحصل عليه من المعادلة 2.7 :

$$L = L_1 + L_2 \longrightarrow 2.7$$

وعند التوصيل على التوازي فإن الحث المكافئ  $L$  نحصل عليه من المعادلة 2.8 :

$$\frac{1}{L} = \frac{1}{L_1} + \frac{1}{L_2} \longrightarrow 2.8$$

ويمكن تبسيط هذه المعادلة في حالة ملفين على التوازي كما بالمعادلة 2.9 :

$$L = \frac{L_1 L_2}{L_1 + L_2} \longrightarrow 2.9$$

فإذا كان :  $L_1 = 6 \text{ mH}$   $L_2 = 6 \text{ mH}$

فعند التوصيل على التوالي فإن :

$$L = 6 + 6 = 12 \text{ mH}$$

وعند التوصيل على التوازي فإن :

$$L = \frac{6 \times 6}{6 + 6} = 3 \text{ mH}$$

٢ / ٣ - اختبار صلاحية الملف :

تختبر الملفات باستخدام جهاز الأوميتر حيث يفصل الملف من الدائرة ويوصل جهاز الأوميتر مع الملف على التوازي، فإذا كانت قراءة الجهاز تتراوح ما بين  $(1 : 50 \Omega)$  دل على أن الملف سليم.

وإذا كانت قراءة الجهاز صفراً فقد دل على أن الملف به قصر.

وإذا كانت قراءة الجهاز قيمة كبيرة جداً تقترب من ما لا نهاية فقد دل على أن الملف مفتوح.

٢ / ٤ - عناصر متنوعة :

سنناول في هذه الفقرة مجموعة من العناصر التي كثيراً ما تستخدم في الدوائر الإلكترونية، مثل : المصهرات - المفاتيح - الضواغط - ريلهاات التحكم - المحولات.

٢ / ٤ / ١ - المصهرات Fuses :

يتم - عادة - حماية الدوائر الإلكترونية من الزيادة المفرطة للتيار الكهربى عند

حدوث قصر بالدائرة، أى تلامس الطرف الموجب (+) مع الطرف السالب (-) أو مع أرضى الدائرة، وذلك باستخدام المصهرات.

تكون - عادة - المصهرات على شكل أنبوبة مصنوعة من الزجاج أو السيراميك لها قاعدتان معدنيتان متصلتان معاً من الداخل بسلك رفيع من النحاس أو الرصاص. وهذا السلك مصمم لكى ينقطع عند زيادة قيمة التيار المار بالمصهر عن الحد المقتن للمصهر بقيمة كبيرة.

وهناك أنواع متعددة من المصهرات حسب سرعة فصلها. وفيما يلى الأنواع المختلفة للمصهرات تبعا لسرعة الفصل:

١ - مصهرات سريعة الفصل بدرجة كبيرة (FF) Super - quick - Acting : وتستخدم لحماية العناصر الإلكترونية المصنوعة من أشباه الموصلات، ويرمز لها بالرمز FF والجدول (٢ - ٨) يبين خواص هذا النوع.

الجدول (٢ - ٨)

شدة التيار	1.2 In	2 In	2.75 In	4 In	10 In
أدنى زمن للفصل	60 min	10 mS	4 mS	2 mS	-
أقصى زمن للفصل	-	2 S	5 omS	5 mS	2 mS

حيث إن:

In التيار المقتن للمصهر

min دقيقة

S ثانية

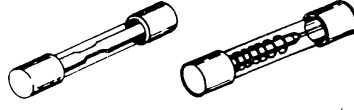
ms ملى ثانية

٢ - مصهرات سريعة الفصل (F) quick acting

٣ - مصهرات تتحمل قفزات التيار المفاجئة (T) Anti - Surge :

وهي تتحمل تياراً يساوى 10 مرات من التيار المقتن لها بدون أن تنهار، وذلك خلال فترة زمنية تساوى 20 ms وتستخدم لحماية المحولات.

والشكل (١٧-٢) يعرض نموذجاً لمصهر نوع T الشكل (١)، وآخر لمصهر سريع الفصل F الشكل (ب).



شكل (١٧-٢)

وفيما يلي الرموز المختلفة للمصهرات:

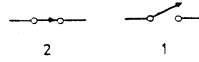


#### ٢ / ٤ / ٢ - المفاتيح اليدوية Switches:

تعد المفاتيح اليدوية وسيلة الوصل والفصل اليدوية فى الدوائر الإلكترونية، ويوجد أنواع مختلفة للمفاتيح تبعاً لوظيفتها، مثل:

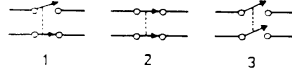
١ - مفتاح قطب واحد / سكة واحدة (SPST). وهذا المفتاح يحتوى على ريشة واحدة إما منلقة أو مفتوحة. فعند تشغيل المفتاح تفتح ريشته المغلقة NC أو تغلق ريشته المفتوحة NO.

وفيما يلي رمز مفتاح SPST بريشة مفتوحة NO (الرمز 1) وبريشة مغلقة NC (الرمز 2):



٢ - مفتاح قطبين / سكة واحدة (DPST) وهذا المفتاح يحتوى على ريشتين مفتوحتين 2NO أو مغلقتين 2 NC أو إحداهما مفتوحة والأخرى مغلقة (NO+ NC). وعند تشغيل هذا المفتاح يدورياً تنعكس حالة ريشة المفتاح فتغلق الريشة المفتوحة NO وتفتح الريشة المغلقة NC.

وفيما يلي رمز مفتاح (DPST) بريشتين مفتوحتين 2NO (الرمز 1) وبريشتين مغلقتين 2NC (الرمز 2) وريشة مفتوحة وأخرى مغلقة NO + NC (الرمز 3):



٣ - مفتاح قطب واحد / سكتان (SPDT). وهذا المفتاح له ريشة قلاب CO ويكون للمفتاح ثلاثة أطراف، أحدهما: مشترك والثاني: مفتوح والثالث: مغلق. فعند تشغيل هذا المفتاح تنعكس حالة هذا المفتاح فيغلق الطرف المفتوح ويفتح الطرف المغلق. وفيما يلي رمز هذا المفتاح:



٤ - مفتاح قطبين / سكتان (DPDT). وهذا المفتاح مزود بريشتي قلاب كالموجودة في المفتاح (SPDT). وفيما يلي رمز هذا المفتاح:



علماً بأن الأنواع الأربعة السابقة تتواجد في عدة صور تبعاً لطريقة تشغيلها،  
مثل :

أ - مفتاح بذراع يدوي Toggle switch .

ب - مفتاح قلاب Rocker switch .

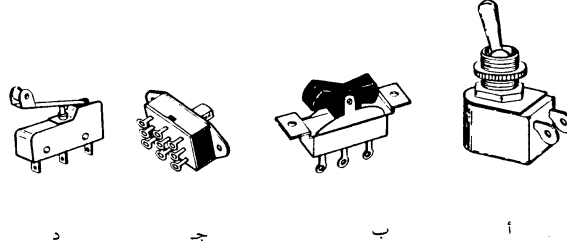
ج - مفتاح منزلق Slide switch .

د - مفتاح نهاية مشوار Limit switch .

هـ - مفتاح انضغاطي Push button switch .

ويتم تشغيل هذه الأنواع باليد، عدا أن مفتاح نهاية المشوار يتم تشغيله عند دفعه بجسم متحرك أو كامرة متحركة .

والشكل ( ٢ - ١٨ ) يبين صوراً توضيحية لهذه الأنواع بالترتيب من اليمين لليسار .

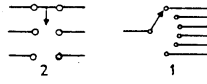


شكل (٢-١٨)

٥ - مفاتيح الاختيار ذات المواضع المتعددة . وهذه المفاتيح تحتوى على قطب واحد أو أكثر ويكون لها عدة أوضاع تشغيل وهناك نوعان من هذه المفاتيح تبعاً لطريقة تشغيلها، مثل : المفاتيح الدوارة Rotary switches .

وهذه المفاتيح لها يد تشغيل دوارة ، والمفاتيح المنزلقة Slide switches والمفاتيح

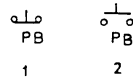
الدائرة العاملة بالمفك Dip Rotary switches وفيما يلي رمز لمفتاح دوار بستة مواضع (الرمز 1) ورمز مفتاح اختيار منزلق بثلاثة مواضع (الرمز 2).



#### ٢ / ٤ / ٣ - الضواغط Push buttons :

هناك فرق جوهري بين الضاغط والمفتاح الانضغاطي، فالأول تتغير حالة ريشه أى المغلقة تصبح مفتوحة والمفتوحة تصبح مغلقة أثناء الضغط على زرهما فقط، أما المفتاح الانضغاطي فتتغير حالة ريشه، أى تصبح الريشة المغلقة مفتوحة والريشة المفتوحة مغلقة عند الضغط عليه، ويظل كذلك إلى أن يتم الضغط عليه مرة أخرى، فتعود الريشة لحالتها الطبيعية.

وفيما يلي رموز أنواع مختلفة من الضواغط :



فالرمز 1 لضاغط بريشة مغلقة NC. والرمز 2 لضاغط بريشة مفتوحة NO.

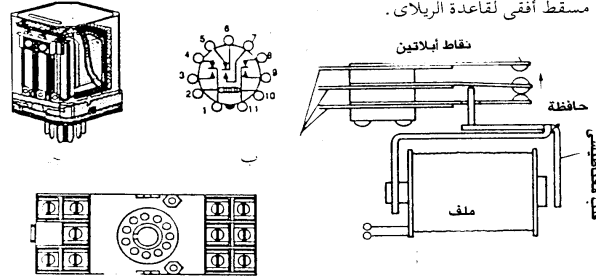
#### ٢ / ٤ / ٤ - ريليات التحكم Control Relays :

الريلاي هو وسيلة كهرومغناطيسية لوصف وفصل الدوائر الإلكترونية والشكل (٢ - ١٩) يعرض التركيب الداخلي لأحد الريليات الكهرومغناطيسية. فعند توصيل التيار الكهربى للملف يتكون مجال مغناطيسى قادر على جذب القلب المغناطيسى، فتقوم الحافظة بتغيير وضع ريشة التلامس للريلاي فتصبح الريشة المفتوحة مغلقة

والعكس بالعكس، ولكن بمجرد انقطاع التيار الكهربى عن ملف الريلاى تعود ريشة الريلاى لوضعها الطبيعى .

وهناك نوعان من الريلهات : الأول : يثبت على اللوحة المطبوعة PB والتي يثبت عليها العناصر الإلكترونية، والثاني : يثبت على قاعدة تثبيت .

والشكل ( ٢ - ١٩ ب ) يعرض نموذجاً لأحد ريليهات التحكم وبالشكل ( ٢ - ١٩ جـ ) مسقط أفقى للريلاى يبين نقاط توصله، وبالشكل ( ٢ - ١٩ د ) مسقط أفقى لقاعدة الريلاى .



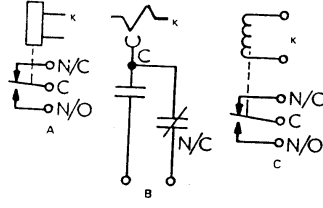
شكل (٢-١٩)

ويلاحظ من مخطط أطراف التوصيل للريلاى الشكل ( ٢ - ٢٠ ) أن هذا الريلاى يحتوى على ثلاث ريش قلاب CO .

- فأطراف الريشة القلاب الأولى 1- 3 - 4 .
- وأطراف الريشة القلاب الثانية 6 - 7 - 5 .
- وأطراف الريشة القلاب الثالثة 11- 9 - 8 .
- وأطراف الملف هى 2 - 10 .



وفيما يلي الرموز المختلفة للريلهات :

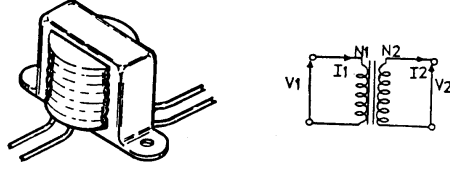


#### ٢ / ٤ / ٥ - المحولات Transformers :

المحولات هي أجهزة تقوم بخفض أو رفع الجهد المتردد، وتستخدم المحولات في بناء مصادر التيار المستمر بخفض الجهد المتردد من 220V أو 120V إلى 24V أو 12V أو 5V، وتستخدم المحولات أيضاً في دوائر إشعال الثايرستور والترياك. وللمحولات استخدامات أخرى متعددة في الدوائر الإلكترونية.

ويتكون المحول في العادة من ملفين: أحدهما يسمى بالملف الابتدائي، والثاني يسمى بالملف الثانوي.

وفيما يلي رمز لمحول له ملف ابتدائي عدد لفاته  $N_1$  ومسلط عليه جهد متردد  $V_1$  ويمر به تيار  $I_1$ ، وله ملف ثانوي عدد لفاته  $N_2$  ويمر به تيار  $I_2$  ويوجد جهد على أطرافه  $V_2$ . والشكل (٢ - ٢٠) يعرض نموذجاً لأحد المحولات والدائرة المكافئة للمحول.



شكل (٢ - ٢٠)

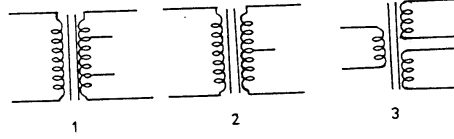
والمعادلة 2.10 تسمى بمعادلة المحول.

$$\frac{V_1}{V_2} = \frac{I_2}{I_1} = \frac{N_1}{N_2} \longrightarrow 2.10$$

ويختار المحول - عادة - تبعاً للجهود المطلوبة في الابتدائي والثانوي، وكذلك تبعاً لسعة المحول (VA) والتي نحصل عليها من المعادلة 2.11:

$$VA = V_2 I_2 = V_1 I_1 \quad (VA) \longrightarrow 2.11$$

وبعض المحولات تحتوى على أكثر من ملف ثانوي للحصول على أكثر من جهد من الجانب الثانوي، والآخر يحتوى على ملف ثانوي بنقطة منتصف أو أكثر. وفيما يلي رموز بعض أنواع من المحولات:



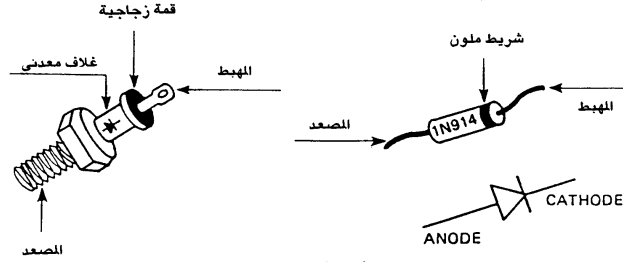
فالرمز 1 لحول بعدة نقاط تفرغ. والرمز 2 لحول بملف ثانوي بنقطة منتصف (نقطة تفرغ). والرمز 3 لحول بملفين ثانويين.

أما محولات النبضات فتستخدم لعزل دائرة إشعال الثايرستور أو الترياك عن دائرة القدرة، وهذا سيتضح في الفقرة (٣/١١/٢)، والفقرة (١/١٣/٢) وعادة فإن محولات النبضات تكون لها نسبة تحويل  $N_1:N_2$  مساوية 1:1 وهذا يعنى أن عدد لفات الملف الابتدائي يساوى عدد لفات الملف الثانوي، ولكن هذا لا يعنى أن عدد لفات كلا منهما لفة واحدة.

## ٥ / ٢ - الثنائيات (الموحدات) Diodes:

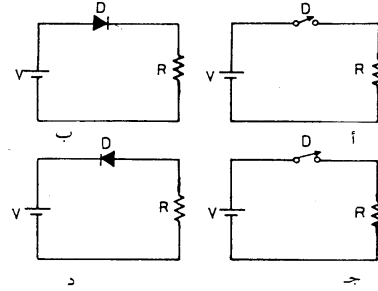
يتكون الثنائي عادة من وصلة ثنائية P-N مصنوعة من أشباه الموصلات مثل السليكون (Si) أو الجرمانيوم (Ge)، ويتواجد الثنائي عادة في الأسواق على شكل أسطوانة مرسوم عليها شريط ملون على أحد جانبيه، للدلالة على مكان المادة السالبة (N) والتي تمثل المهبط Cathode، أما الجانب الآخر فيمثل المادة الموجبة (P)، والتي تمثل المصعد Anode.

والشكل (٢ - ٢١) يعرض نموذجاً لثنائي صغير طراز 1N914 ورمزه وكذلك صورة لثنائي كبير.



شكل (٢ - ٢١)

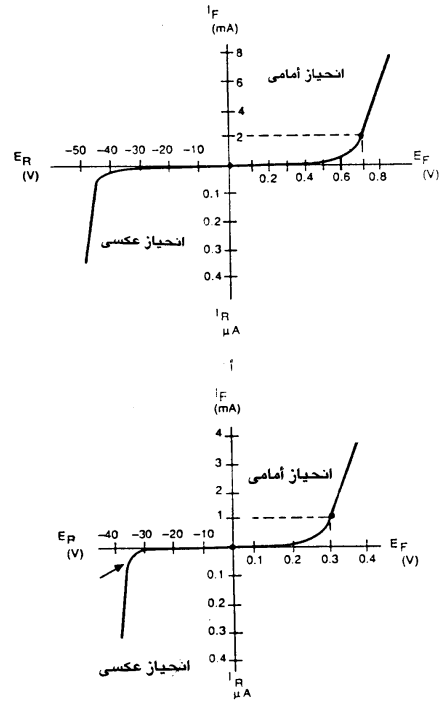
ويعتبر الثنائي في الوضع الطبيعي كمفتاح مفتوح وبمجرد تعريضه لانحياز أمامي Forward bias أى ارتفاع جهد المصعد A عن جهد المهبط K بمقدار 0.7V تقريباً يصبح كمفتاح مغلق ويكون اتجاه مرور التيار الكهربى من المصعد إلى المهبط، ويقال إن الثنائي في حالة وصل ON أما عند تعريض الثنائي لانحياز عكسي Reverse bias أى تعريض المهبط Cathode لجهد موجب بالنسبة لجهد المصعد Anode فإنه يمر تيار صغير جداً يسمى بتيار التسرب Leakage Current ويعمل الثنائي كمفتاح مفتوح ويقال إن الثنائي في حالة قطع off.



شكل (٢ - ٢٢)

والشكل (٢ - ٢٢) يبين طريقة عمل الثنائي ففى الشكل (ب) دائرة تحتوى على ثنائي وبطارية ومقاومة ويكون الثنائي فى حالة انحياز أمامي، والشكل (أ) يبين الدائرة المكافئة للشكل (ب).

وفي الشكل (د) دائرة تحتوي على ثنائي وبطارية ومقاومة حيث يكون الثنائي منحازاً عكسياً، والشكل (ج) يبين الدائرة المكافئة للشكل (د)، علماً بأن المقاومة تمثل الحمل. والشكل (٢ - ٢٣) يعرض منحنيًا لخواص الثنائي السليكوني (Si) الشكل (أ) وخواص ثنائي الجرمانيوم (Ge) الشكل (ب).



شكل (٢ - ٢٣)

و يلاحظ أن ثنائي السليكون يوصل عند جهد أمامي 0.7V، بينما يوصل ثنائي الجرمانيوم عند جهد أمامي 0.3V لذلك يقال إن فقد الجهد في ثنائي السليكون عندما يكون منحازاً أمامياً مساوياً 0.7V، تقريباً في حين أن فقد الجهد في ثنائي الجرمانيوم عندما يكون منحازاً أمامياً يساوى 0.3V تقريباً.

والجدير بالذكر أن الثنائي السليكوني هو السائد تقريباً في أسواق الثنائيات، لأنه الأكثر استقراراً في درجات الحرارة العالية.

وتستخدم - عادة - ثنائيات الجرمانيوم في أغراض كشف الإشارات، في حين تستخدم ثنائيات السليكون في أغراض التوحيد وفي التطبيقات العامة.

وينصح بتشغيل الثنائي عند جهد أقل من الجهد العكسي الأقصى (PIV) والذي عنده ينهار الثنائي عندما يكون منحازاً عكسياً.

فمثلاً: الثنائي السليكوني الذي خواصه مبينة بالشكل (٢ - ٢٣) له جهد عكسي أقصى يساوى 50V- في حين أن الثنائي الجرماني الذي خواصه مبينة بالشكل (٢ - ٢٣ ب) له جهد عكسي أقصى يساوى 40V.

التعريف بالرموز المستخدمة في الشكل (٢ - ٢٣):

IF	- تيار الانحياز الأمامي
IR	- تيار الانحياز العكسي
EF	- جهد الانحياز الأمامي
ER	- جهد الانحياز العكسي

٢ / ٥ / ١ - جداول اختيار الثنائيات:

تقسم الثنائيات إلى ثنائيات إشارة Signal diodes وثنائيات قدرة power diodes، والجداول (٢ - ٩) يعرض المعلومات الفنية لبعض ثنائيات القدرة الموجودة في الأسواق.

حيث إن:

PIV الجهد العكسي الأقصى للثنائي

$I_F$  التيار الأمامي

$I_{r \max}$  التيار العكسي الأقصى

$V_F$  الجهد الانحيازى الأمامي

الجدول (٢ - ٩)

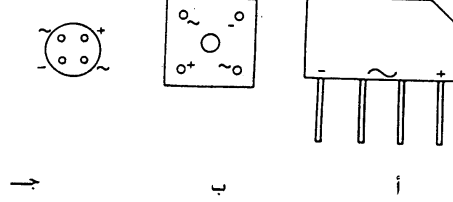
الطراز	PIV (v)	$I_F$ (A)	$V_F$ (V)	$I_{r \max}$ ( $\mu A$ )
1N 4001	50	1	1.1	10
1N 4002	100	1	1.1	10
1N 4003	200	1	1.1	10
1N 4004	400	1	1.1	10
1N 4005	600	1	1.1	10
1N 4006	800	1	1.1	10
1N 4007	1000	1	1.1	10
1N 5400	50	3	1.1	10
1N 5401	100	3	1.1	10
1N 5402	200	3	1.1	10
1N 5404	400	3	1.1	10
1N 5406	600	3	1.1	10
1N 5407	800	3	1.1	10
1N 5408	1000	3	1.1	10

وتوجد أنواع من الثنائيات السيليكونية تتحمل تيارات تصل إلى 75V. ويوجد في الأسواق قناطر توحيد Bridge rectifiers تتكون من أربعة ثنائيات سيليكونية، وتستخدم هذه القناطر في دوائر التوحيد التي سوف نتناولها في الفقرة القادمة. وتزود هذه القناطر بأربعة أطراف، طرفان لدخول التيار المتردد ويرمز لهما ~، ~ وطرفان لخروج التيار المستمر ويرمز لهما +، - والشكل (٢ - ٢٤) يبين ثلاثة نماذج لقناطر التوحيد وهي:

قنطرة توحيد بأربعة أرجل في صف واحد In line (الشكل أ).

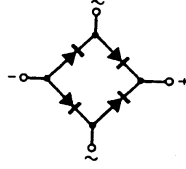
قنطرة توحيد مربعة Square (الشكل ب).

قنطرة توحيد أسطوانية Cylinder (الشكل ج).



شكل (٢ - ٢٤)

وفيما يلي رمز قنطرة التوحيد:



والجدول (٢ - ١٠) يعرض أهم سلاسل القناطر الموجودة في الأسواق وتيارها الأقصى الأممي  $I_F$ :

الجدول (٢ - ١٠)

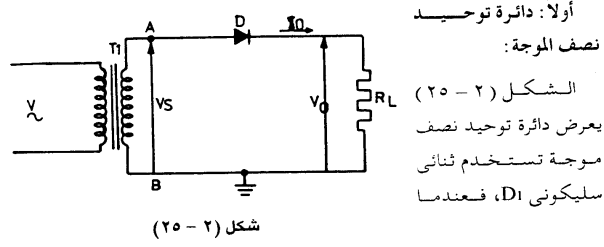
السلسلة	الشكل	$I_F$
WO	أسطوانية	1
SKB2	بأرجل في خط واحد	1.6
KBPC	مربعة	2:6
SKB25	مغطاة بالإيبوكسي	6:35

والجدير بالذكر أن جميع هذه السلاسل تثبت على لوحة مطبوعة PC عدا الأخيرة فتثبت على مبردات حرارية Heat Sinks، وعادة فإن معظم هذه القناطر تتوفر عند جهود 200, 400, 600V.

#### ٢ / ٥ - دوائر التوحيد Rectification circuits:

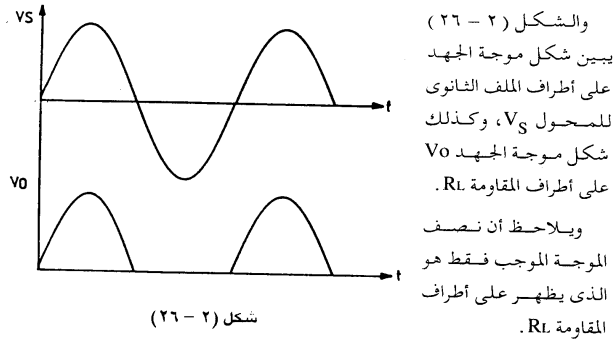
تقوم دوائر التوحيد بتحويل التيار المتردد AC إلى تيار مستمر DC، وهناك عدة أنواع من دوائر التوحيد الأحادية الوجه Single phase وهي كما يلي:

- ١ - دائرة توحيد النصف موجة.
- ٢ - دائرة توحيد الموجة الكاملة باستخدام محول بنقطة تفرع في المنتصف.
- ٣ - دائرة توحيد الموجة الكاملة باستخدام قنطرة توحيد.

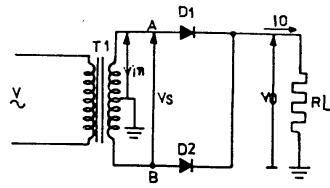




يكون فرق الجهد  $V_{AB} = 0.7V$  أى أن جهد النقطة A أعلى من جهد النقطة B بمقدار 0.7V يتحول الثنائي  $D_1$  لحالة الوصل ON وهذا يؤدي لممر التيار الكهربى فى المقاومة  $R_L$  وبمجرد انخفاض فرق الجهد  $V_{AB}$  عن 0.7V فإن الثنائي يتحول لحالة القطع OFF وينقطع ممر التيار الكهربى فى المقاومة  $R_L$ .



ثانياً : دائرة توحيد الموجة الكاملة :

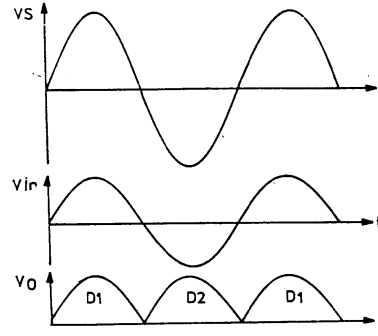


شكل (٢ - ٢٧)

الشكل (٢٧ - ٢) يعرض دائرة توحيد موجة كاملة باستخدام محول له نقطة تفرع فى منتصف الملف الثانوى. فعندما يكون الطرف A موجبا فإن الثنائي  $D_1$  سيكون فى حالة

وصل ON، ويمر التيار الكهربى خلاله وصولاً للمقاومة  $R_L$ ، وذلك فى نصف الموجة الموجب لجهد الملف الثانوى للمحول  $V_S$ ، وعندما يكون جهد الطرف B موجبا فإن الثنائي  $D_2$  سيكون فى حالة وصل ON، ويمر التيار الكهربى خلاله

وصولاً للمقاومة  $R_L$ ، وذلك خلال نصف الموجة السالب لجهد الملف الثانوي للمحول  $V_s$ .



شكل (٢ - ٢٨)

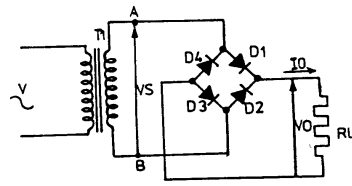
والشكل (٢ - ٢٨) يبين شكل موجة الجهد للملف الثانوي للمحول  $V_s$  وموجة الجهد بين النقطة A ونقطة المنتصف أو النقطة B ونقطة المنتصف  $V_{in}$  وكذلك موجة الجهد  $V_O$  الخارجة على أطراف المقاومة  $R_L$ . ويلاحظ أن الجهد  $V_{in}$  يساوي نصف الجهد  $V_s$ ، ويلاحظ أيضاً أن الجهد على أطراف المقاومة  $R_L$  جهد مستمر متغير القيمة.

ويعاب على هذه الدائرة (دائرة التوحيد بمحول له نقطة منتصف) ما يلي:

١- الجهد الخارج على الحمل صغير.

٢- تحتاج لثنائيات تتحمل جهداً عكسياً كبيراً مقارنة بالجهد الخارج.

والشكل (٢ - ٢٩) يعرض دائرة توحيد موجة كاملة مستخدماً قنطرة توحيد.

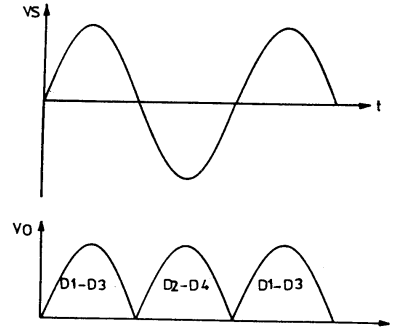


شكل (٢ - ٢٩)

ففي نصف الموجة الموجب لجهد الملف الثانوي  $V_s$  فإن

الطرف A يكون موجباً فيمر التيار الكهربى من النقطة A عبر الثنائى  $D_2$  ثم مقاومة الحمل  $R_L$  ثم الثنائى  $D_3$  وصولاً للنقطة B.

وفي نصف الموجة السالب لجهد الملف الثانوي  $V_s$  فإن الطرف B يكون موجبا فيمر التيار الكهربى من النقطة B عبر الثنائى D4 ثم مقاومة الكهربى  $R_L$ . والشكل ( ٢ - ٣٠ ) يبين شكل موجة الجهد للملف الثانوي  $V_s$  وكذلك موجة الجهد الخارج على أطراف المقاومة  $V_o$ .



شكل ( ٢ - ٣٠ )

والجدول ( ٢ - ١١ ) يعقد مقارنة بين خواص دوائر التوحيد السابقة.

الجدول ( ٢ - ١١ )

وجه المقارنة	دائرة توحيد نصف موجة	محول بنقطة منتصف	فتطرة توحيد
الجهد الخارج $V_o$	$0.45 V_s$	$0.45 V_s$	$0.9 V_s$
التيار الخارج $I_o$	$0.64 I_s$	$1.27 I_s$	$0.9 I_s$
سعة المحول VA	$3.5 I_o V_o$	$1.74 I_o V_o$	$1.23 I_o V_o$
الجهد الثانوي للمحول $V_s$	$2.2 V_o$	$2.2 I_o$	$1.1 V_o$
تيار الموحد	$I_o$	$0.5 I_o$	$0.5 I_o$
الجهد العكسى الأقصى للموحد PIV	$3.14 V_o$	$3.14 V_o$	$1.57 V_o$

حيث إن:

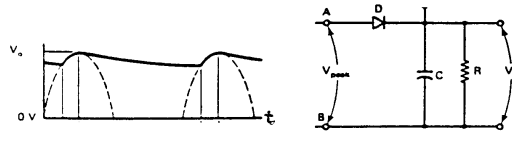
$V_s$	جهد الملف الثانوى للمحول ( متردد )
$I_s$	تيار الملف الثانوى للمحول ( متردد )
$V_A$	سعة المحول
$V_o$	الجهد الخارج ( مستمر )
$I_o$	تيار الحمل ( مستمر )
$PIV$	الجهد العكسى الأقصى للموحد

ويمكن رفع الجهد المستمر فى دوائر التوحيد السابقة وكذلك تنعيم الخرج أى جعله بدون تذبذبات، وذلك بتوصيل مكثف كيميائى بالتوازي مع الحمل .  
والجدول ( ٢ - ١٢ ) يعقد مقارنة بين الدوائر السابقة عند إضافة مكثف كيميائى بالتوازي مع الحمل .

الجدول ( ٢ - ١٢ )

وجه المقارنة	دائرة توحيد نصف موجة	محول بنقطة منتصف	قنطرة توحيد
الجهد الخارج $V_o$	1.41 Vs	0.71 Vs	1.41 Vs
التيار الخارج $I_o$	0.28 Is	Is	0.62 Is
أقل سعة للمكثف ( $\mu F$ )	4700 Io	2200 Io	2200 Io
جهد التشغيل للمكثف	2.82 Vs	1.4 Vs	2.82 Vs
سعة المحول $V_A$	2.53 VoIo	1.4 VoIo	1.41 VoIo
جهد ثانوى المحول Vs	0.71 Vo	1.41 Vo	0.71 Vo

والشكل ( ٢ - ٣١ ) يعرض شكل دائرة توحيد نصف موجة مزودة بمكثف بالتوازي مع الحمل لتنعيم الخرج ( الشكل أ )، وكذلك موجة الجهد الخارجة على الحمل ( الشكل ب ) .

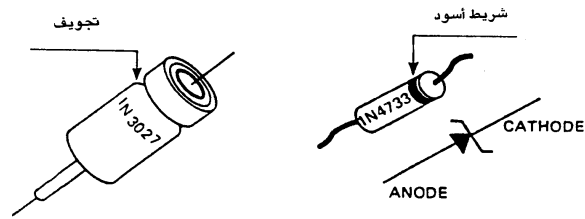


شكل (٢ - ٣١)

#### ٢ / ٥ / ٣ - ثنائي الزينر Zener Diode :

إن ثنائي الزينر هو ثنائي سليكوني له خواص تسمح بإمرار جهد مستمر ثابت في الانحياز العكسي.

والشكل (٢ - ٣٢) يعرض نموذجاً لثنائي زينر طراز IN4733 وكذلك رمزه ونموذجاً آخر لثنائي زينر طراز IN 3027. ويلاحظ أن المهيض يتم تمييزه إما بشريط أسود أو تجويف دائري.

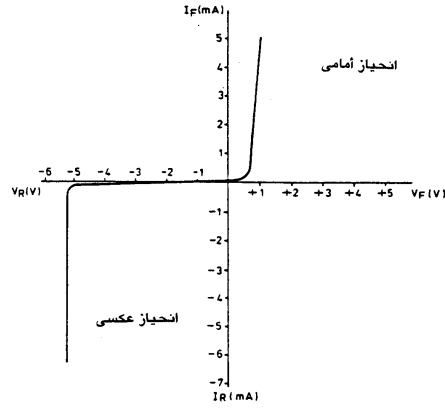


شكل (٢ - ٣٢)

والشكل (٢ - ٣٣) يعرض منحنى الخواص لثنائي زينر طراز BZX85/ C5V1. ويلاحظ من هذا المنحنى أنه يمر تيار كبير في ثنائي الزينر عندما يكون منحازاً أمامياً، في حين يمر تيار صغير في ثنائي الزينر عندما يكون منحازاً عكسياً.

حيث إن :

$V_F$	جهد الانحياز الأمامي
$V_R$	جهد الانحياز العكسي
$I_F$	تيار الانحياز الأمامي
$I_R$	تيار الانحياز العكسي



شكل (٢ - ٣٣)

كما يلاحظ أن ثنائي الزينر يتحول لحالة الوصل عندما يكون جهد الانحياز الأمامي  $V_F$  مساوياً 0.7V على الأقل، في حين يتحول ثنائي الزينر في الانحياز العكسي لحالة الوصل عندما يزداد جهد الانحياز العكسي  $V_R$  عن 5.1V. في هذه الحالة يمر تيار عكسي كبير  $I_R$  ويكون فرق الجهد بين طرفي ثنائي الزينر مساوياً 5.1V.

وتختلف ثنائيات الزينر فيما بينها في قيمة  $V_R$  التي يعمل عندها ثنائي الزينر وكذلك قدرة ثنائي الزينر القصوى بالوات.

وتوجد عدة سلاسل لثنائيات الزينر فى الأسواق، أهمها المعروضة فى الجدول (٢ - ١٣)، والذي يوضح أهم خصائص هذه السلاسل.

وحتى يمكن استنتاج خواص ثنائى الزينر من رمزه إليك المثال التالى:

ثنائى زينر طراز (BZX85/ C5V1) هو زينر من السلسلة BZX85 وله تفاوت جهد الانهيار العكسى يكافئ C حيث إن:

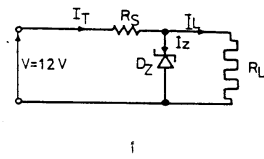
$$C = \pm 5\%$$

$$D = \pm 10\%$$

وجهد انهياره هو 5V1 أى 5.1V وقدرته هى قدرة السلسلة BZX85، وتساوى 1.3W من الجدول (٢ - ١٣).

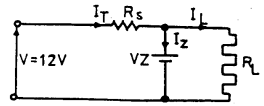
الجدول (٢ - ١٣)

السلسلة	IN5333	BZY97	BZY93	BZX85	BZX61	BZX55	BZY88
حدود الجهد (V)	3.3:24	9.1 : 37	9.1 : 75	5.1 : 62	7.5 : 72	2.4 : 91	2.7 : 15
القدرة	5W	1.5W	20W	7.3W	1.3W	500mW	500mW



أ

وفى الشكل (٢ - ٣٤) دائرة تستخدم ثنائى زينر لتنظيم الجهد على المقاومة  $R_L$  بحيث لا يزيد عن 5.1V. أما الشكل (ب) فيبين الدائرة المكافئة وذلك باستبدال ثنائى الزينر ببطارية جهدها 5.1V.



ب

شكل (٢ - ٣٤)

وفيما يلى أهم المعادلات المستخدمة مع ثنائى الزينر:

$$I_L = \frac{V_Z}{R_L} \rightarrow 2.11$$

$$I_Z = \frac{V - V_Z}{R_S} - I_L \rightarrow 2.12$$

$$P_Z = V_Z I_Z \rightarrow 2.13$$

حيث إن :

$I_z$	تيار ثنائي الزينر
$I_L$	تيار الحمل
$V_z$	جهد ثنائي الزينر
$R_L$	مقاومة الحمل
$I_T$	التيار الكلى المار في الدائرة

ويتطبيق المعادلات السابقة على الدائرة المبينة بالشكل ( ٢ - ٣٤ )، إذا كان :

$$R_L = 60 \Omega \quad , \quad R_s = 40 \Omega$$

$$I_L = \frac{V_z}{R_L} = \frac{5.1 \times 1000}{60} = 85 \text{mA}$$

$$I_z = \frac{(12 - 5.1)1000}{40} - 85 = 87.5 \text{mA}$$

$$P_z = 5.1 \times \frac{87.5}{1000} = 0.44 \text{W}$$

٢ / ٥ / ٤ - اختبار صلاحية الثنائيات :

يمكن اختبار صلاحية الثنائي ( عادي - زينر ) باستخدام جهاز الأوميتر،  
والجدول ( ٢ - ١٤ ) يبين طريقة استخدام الأوميتر في اختبار الثنائي والنتائج  
المتوقعة إذا كان سليماً.

الجدول ( ٢ - ١٤ )

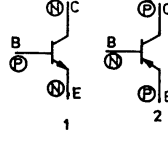
النتائج المتوقعة	الطرف السالب للأوميتر يتصل به	الطرف الموجب للأوميتر يتصل به
مقاومة صغيرة تتراوح ما بين (10:1000Ω) ويعتمد ذلك على نوع الثنائي وعلى تدريج الجهاز فيجب استخدام أصغر تدريج	المهبط Cathode	المصعد Anode
مقاومة كبيرة تصل إلى 1MΩ لثنائي الجرمانيوم (Ge) أو 10MΩ لثنائي السيليكون (Si).	المصعد Anode	المهبط Cathode



## ٢ / ٦ - الترانزستور ثنائي القطبية (BJT) Bipolar Junction Transistor :

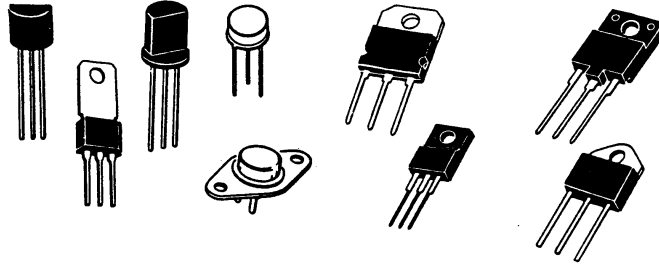
يتكون الترانزستور ثنائي القطبية من وصلة ثلاثية إما أن تكون NPN أو تكون PNP، وله ثلاثة أطراف : الطرف الأول (C) Collector، أى المجمع، والطرف الثانى (B) Base أى القاعدة، والطرف الثالث (E) Emitter، أى الباعث .

وفيما يلي رموز الترانزستورات ثنائية القطبية :



فالرمز 1 لترانزستور NPN . والرمز 2 لترانزستور PNP . ويبين اتجاه السهم الموضوع عند الباعث نوع الترانزستور فالسهم الداخل للقاعدة يعنى ترانزستور PNP . والسهم الخارج من القاعدة يعنى ترانزستور NPN .

والشكل ( ٢ - ٣٥ ) يعرض صوراً مختلفة للترانزستورات الموجودة فى الأسواق ، سواء كانت ترانزستورات إشارة أو ترانزستورات قدرة .

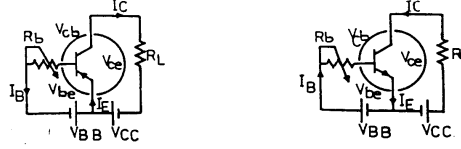


شكل ( ٢ - ٣٥ )

ويعتبر الترانزستور ثنائي القطبية في حالة فصل طبيعي أى لا يمرر تيار خلاله، وحتى يصبح في حالة وصل ON يجب تسليط انحياز أمامي بين القاعدة والباعث، وتسليط انحياز عكسي بين القاعدة والمجمع ببطاريتين ويسمى انحيازاً ببطاريتين كما هو موضح بالشكل ( ٢ - ٣٦ ). ففي الشكل ( ١ ) دائرة باعث مشترك لترانزستور NPN. ويلاحظ أن جهد القاعدة موجب بالنسبة لجهد الباعث ويسمى هذا انحيازاً أمامياً في حين أن جهد المجمع موجب بالنسبة لجهد القاعدة لأن  $V_{CC} \gg V_{BB}$  ويسمى هذا انحيازاً عكسياً.

وأما الشكل ( ب ) فدائرة باعث مشترك لترانزستور PNP.

ويلاحظ أن جهد القاعدة سالب بالنسبة لجهد الباعث ويسمى هذا انحيازاً أمامياً، في حين أن جهد المجمع سالب بالنسبة للقاعدة ( $V_{CC} \gg V_{BB}$ ) ويسمى هذا انحيازاً عكسياً.



ب

ا

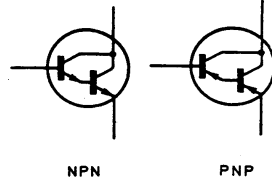
شكل ( ٢ - ٣٦ )

وعندما يصبح فرق الجهد بين القاعدة والباعث  $V_{BE}$  مساوياً  $0.6:0.7V$  في حالة الترانزستور السليكوني أو  $0.2:0.3V$  في حالة الترانزستور الجرماني يمر تيار القاعدة ( $I_B$ ) ويقال في هذه الحالة أن الترانزستور في حالة وصل ON، حيث ينتج عن ذلك مرور تيار كبير في المجمع  $I_C$  وتعرف النسبة بين تيار المجمع  $I_C$  وتيار القاعدة  $I_B$  بمعامل كسب التيار Current gain، وتعرف من ورق البيانات للترانزستور بالمعامل  $\beta$  أو المعامل  $h_{FE}$  والذي يساوي:

$$h_{FE} = \frac{I_C}{I_B} \longrightarrow 2.12$$

وبالتالى يمكن التحكم فى جهد الخرج  $V_o$  الموجود على أطراف المقاومة  $R_L$  وذلك بتغيير تيار القاعدة  $I_B$  بواسطة تغيير المقاومة المتغيرة  $R_B$ ، وبالتالي يتغير  $I_C$  مما يؤدي لتغيير  $V_o$ . علماً بأن قيمة  $h_{FE}$  تختلف من ترانزستور لآخر. فمثلاً تتراوح ما بين 100:300 لترانزستور طراز 2N2222 فى حين تتراوح ما بين 30:90 لترانزستور طراز 2N2800 وهكذا.

ويمكن زيادة معامل كسب التيار للترانزستور بقيم تصل إلى 1000: 2000 بربط عدد ٢ ترانزستور معاً كما بالشكل (٢ - ٣٧). والجدير بالذكر أنه يتواجد ترانزستورات تسمى دار لنجتون وهى تحتوى داخلياً على ترانزستورين موصلين معاً كما هو مبين بالشكل (٢ - ٣٧) ويكون معامل كسب التيار لهذه الترانزستورات مساوياً حاصل ضرب معامل كسب التيار للترانزستورين المكافئين.

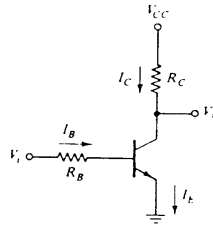


شكل (٢ - ٣٧)

٢ / ٦ / ١ - خواص الترانزستور الثنائى القطبية:

الشكل (٢ - ٣٨) يبين دائرة بسيطة لترانزستور NPN ومقاومتين، وتكون العلاقة بين تيار المجمع  $I_C$  وتيار القاعدة  $I_B$  وتيار الباعث  $I_E$  كما يلى:

$$I_E = I_C + I_B \longrightarrow 2.13$$



شكل (٢ - ٣٨)

حيث إن:

$V_{CC}$	جهد البطارية
$V_i$	جهد إشارة الدخل بين القاعدة والأرضى
$V_o$	جهد الخرج

والجهد  $V_{CE}$  هو الفقد في الجهد بين المجمع والباعث، أما  $V_{BE}$  فهي فقد الجهد بين القاعدة والباعث، والجدير بالذكر أنه عند زيادة قيمة  $V_{BE}$  عن 0.6V يمر تيار القاعدة  $I_B$ ، ويزداد  $I_B$  بسرعة عند أقل زيادة للجهد  $V_{BE}$ ، ونادراً ما تصل قيمة  $V_{BE}$  إلى 0.8V وكلما ازداد قيمة  $I_B$  ازداد  $I_C$  وصولاً لحد معين بعدها يثبت قيمة  $I_C$  ويقال إن الترانزستور قد وصل لحالة التشبع Saturation. ومن هذا نستنتج أن الترانزستور له ثلاث حالات وهي:

حالة القطع	Cut off . وذلك عندما يكون $I_B=0$ .
حالة التكبير	Amplification . عندما يزداد $I_C$ بزيادة $I_B$ .
حالة التشبع	Saturation . عندما يثبت $I_C$ مهما ازدادت قيمة $I_B$ .

والجدول (٢ - ١٥) يبين الخواص الفنية ومعادلات التيار للحالات الثلاثة لترانزستور NPN.

الجدول (٢ - ١٥)

علاقات التيار	V <sub>CE</sub>	V <sub>BE</sub>	الحالة
I <sub>B</sub> = I <sub>C</sub> = 0	= V <sub>cc</sub>	< 0.6V	Cut off قطع ويعمل كمفتاح مفتوح
I <sub>C</sub> = h <sub>FE</sub> I <sub>B</sub> I <sub>C</sub> = $\frac{V_{CC} - V_{CE}}{R_L}$	> 0.8V	0.6 - 0.7	Amplification تكبير
I <sub>B</sub> ≥ 2.5 I <sub>CS</sub> / h <sub>FE</sub> I <sub>CS</sub> = $\frac{V_{CC} - 0.2}{R_L}$ R <sub>B</sub> = $\frac{V_i - 0.7}{I_B}$	0.2V	0.7 - 0.8V	Saturation تشبع ويعمل كمفتاح مغلق

حيث إن:

I<sub>CS</sub> تيار المجمع عند التشبع

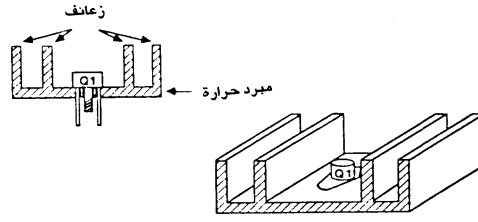
والمعادلة 2.14 تعطى القدرة المستهلكة P<sub>t</sub> في الترانزستور عندما يكون في حالة تشبع أو تكبير.

$$P_t = V_{CE} I_C + V_{BE} I_B \longrightarrow 2.14$$

ويجب مراعاة عدم تعدى القدرة المستهلكة (المشتتة) Dissipated Power في الترانزستور عن القيمة الموصى بها في ورق بيانات الترانزستور Data sheets .

وعادة يثبت ترانزستور القدرة على مبرد حرارى Heat Sink لتبريد الحرارة المتولدة في الترانزستور، وبالتالي لمنع ارتفاع درجة حرارة الترانزستور للحد الذى يسبب انهياره.

والشكل (٢ - ٣٩) يوضح كيفية تثبيت ترانزستور القدرة على مبرد حرارى.



شكل ( ٢ - ٣٩ )

٢ / ٦ / ٢ - جداول اختيار الترانزستور:

توجد عوامل كثيرة تأخذ في الاعتبار عند اختيار الترانزستور، أهمها:

النوع	PNP أو NPN
أقصى جهد مسموح به بين c,b	$V_{cb} \max$
أقصى جهد مسموح به بين e,b	$V_{eb} \max$
أقصى تيار مجمع مسموح به	$I_c \max$
أقصى قدرة مستهلكة في الترانزستور	$P_t \max$
معامل كسب التيار الأقصى	$h_{fe} \max$
معامل كسب التيار الأدنى	$h_{fe} \min$

والجدول ( ٢ - ١٦ ) يعرض المواصفات الفنية لبعض الترانزستورات BJT.

حيث إن:

مفتاح	(SW)	Switch
قائد	(DR)	Driver
قدرة	P	Power
دارلنجتون	D	Darlington

الجدول (٢ - ١٦)

الطراز	النوع	الوظيفة	I <sub>c</sub> max	V <sub>ce</sub> max	V <sub>eb</sub> max	P <sub>t</sub> max	h <sub>fe</sub> min	h <sub>fe</sub> max
2 N2219A	NPN	SW	800 mA	40 V	75 V	800 mw	75	
2 N 222A	NPN	SW	800 mA	40 V	75 V	500 mw	35	
2 N 2905	PNP	SW	600 mA	40 V	60 V	600 mw	150	300
2 N 3903	NPN	SW	200 mA	40 V	60 V	350 mw	50	150
2 N 3904	NPN	SW	200 mA	40 V	60 V	310 mw	100	300
2 N 3906	PNP	SW	200 mA	40 V	40 V	310 mw	100	300
BC 107	NPN	DR	100 mA	45 V	50 V	360 mw	110	450
BC 142	NPN	DR	800 mA	60 V	80 V	800 mw	20	250
BC 143	PNP	DR	800 mA	60 V	60	800 mw	25	250
BC 177	PNP	DR	100 mA	45 V	50 V	300 mw	125	500
BC 327	PNP	DR	500 mA	45 V	50 V	625 mw	100	600
BC 337	NPN	DR	500 mA	45 V	50 V	625 mw	100	600
2 N 3054	NPN	P	4 A	55 V	90 V	29 w	25	
2 N 3055	NPN	P	15 A	60 V	100 V	115 w	20	70
TIP 31A	NPN	P	3 A	60 V	60 V	40 w	10	60
TIP 32 A	PNP	P	3 A	60 V	60 V	40 w	10	40
TIP 41 A	NPN	P	6 A	60 V	60 V	65 w	15	
TIP 42 A	PNP	P	6 A	60 V	60 V	65 w	15	
TIP 121	NPN	D	5 A	80 V	80 V	65 w	1000	
TIP 126	PNP	D	5 A	80 V	80 V	65 w	1000	
TIP 132	NPN	D	8 A	100 V	100 V	70 w	1000	
TIP 137	PNP	D	8 A	100 V	100 V	70 w	1000	
TIP 141	NPN	D	10A	80 V	80 V	125 w	1000	
TIP 146	PNP	D	10 A	80 V	80 V	125 w	1000	

### ٢/٦/٣ - اختبار صلاحية الترانزستور:

يستخدم جهاز الأوميتر في اختبار صلاحية الترانزستورات، كما هو مبين بالجدول (٢ - ١٧).

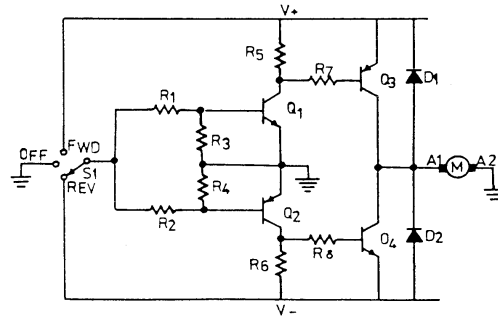
الجدول (٢ - ١٧)

نوع الترانزستور	الطرف الموجب + للأوميتر يتصل به	الطرف السالب - للأوميتر يتصل به	النتائج المتوقعة
NPN	الباعث Emitter	القاعدة Base	مقاومة كبيرة جداً إذا لم يتسبب جهد الأوميتر في إحداث انهيار لوصلة الباعث والقاعدة
	القاعدة Base	الباعث Emitter	مقاومة صغيرة
	المجمع Collector	القاعدة Base	مقاومة كبيرة
	القاعدة Base	المجمع Collector	مقاومة صغيرة
	الباعث Emitter	المجمع Collector	مقاومة كبيرة
	المجمع Collector	الباعث Emitter	مقاومة كبيرة وأكبر من الحالة السابقة
PNP	تشبه النتائج المتوقعة في حالة الترانزستور PNP النتائج المتوقعة في حالة الترانزستور NPN، عدا أنه يجب عكس قطبية الأوميتر.		

### ٢/٦/٤ - تطبيقات على استخدام الترانزستور في التحكم:

الشكل (٢ - ٤٠) يعرض دائرة إلكترونية بسيطة للتحكم في اتجاه محرك تيار مستمر، يعمل من مصدر جهد مزدوج  $+12V, 0V, -12V$





شكل (٢-٤٠)

عناصر الدائرة:

R1 - R4	مقاومة كربونية 1KΩ
R5 , R6	مقاومة كربونية 10KΩ
R7, R8	مقاومة كربونية 100KΩ
Q1	ترانزستور NPN طراز 2 N 3904
Q2	ترانزستور NPN طراز 2 N 3906
Q3	ترانزستور NPN طراز MJE 2955
Q4	ترانزستور NPN طراز 2 N 3055
D1 , D2	ثنائيات سليكونية طراز 1 N 4001
SW	مفتاح قطب واحد بثلاث سكك
	محرك تيار مستمر له تيار يصل إلى 15A

#### نظرية التشغيل :

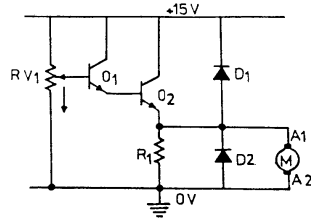
عند وضع المفتاح SW على وضع (FWD) يصبح Q1 في حالة وصل (لاتصال قاعدته بالجهد +12V)، وتباعاً يصبح Q3 في حالة وصل (لاتصال قاعدة Q3 بالأرضى عند تحول Q1 لحالة الوصل)، في حين يصبح Q2, Q4 في حالة قطع، فيتصل الطرف A1 للمحرك بالجهد +12V ويدور المحرك في اتجاه عقارب الساعة.

وعند وضع المفتاح SW على وضع (REV) يصبح Q2 في حالة وصل (لاتصال قاعدته بالجهد -12V)، وتباعاً يصبح Q4 في حالة وصل (لاتصال قاعدة Q4 بالأرضى عند تحول Q2 لحالة الوصل) في حين يصبح Q1, Q3 في حالة قطع ويتصل الطرف A1 للمحرك بالجهد -12V ويدور المحرك في عكس اتجاه عقارب الساعة.

وعند وضع المفتاح SW على وضع OFF يكون كل من Q1-Q4 في حالة قطع وبالتالي يكون فرق الجهد على أطراف المحرك صفراً ويكون المحرك في حالة توقف. ويقوم كل من D1, D2 بحماية الترانزستورات Q3, Q4 من القوة الدافعة الكهربائية العكسية المتولدة من المحرك عند تحول هذه الترانزستورات لحالة القطع.

والجدير بالذكر أن الترانزستورات Q1-Q4 في هذه الدائرة تعمل كمفتاح إما في حالة قطع أو في حالة وصل.

والشكل ( ٢ - ٤١ ) يعرض دائرة إلكترونية بسيطة للتحكم في سرعة محرك تيار مستمر نوع التوالى بالتحكم في جهد أطراف المحرك.



شكل ( ٢ - ٤١ )

#### عناصر الدائرة:

R <sub>1</sub>	مقاومة كربونية 470 Ω
RV <sub>1</sub>	مجزئ جهد 2.7 KΩ
D <sub>1</sub> , D <sub>2</sub>	ثنائى سليكونى 1 N 4001
Q <sub>1</sub>	ترانزستور NPN طراز 2 N 3053
Q <sub>2</sub>	ترانزستور NPN طراز 2 N 3055

محرك تيار مستمر بمغناطيس دائم يصل تياره إلى 15A

#### نظرية التشغيل:

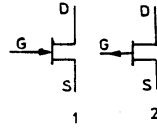
حرك الذراع المنزلق لمجزئ الجهد RV<sub>1</sub> فى الاتجاه المبين وصولاً لآخر وضع ثم وصل التيار الكهربى للدائرة ستجد أن المحرك لا يدور والسبب فى ذلك أن جهد قاعدة Q<sub>1</sub> صفراً وبالتالى فإن Q<sub>1</sub>, Q<sub>2</sub> سيكونان فى حالة قطع. وعند تحريك الذراع المنزلق لمجزئ الجهد RV<sub>1</sub> فى الاتجاه المضاد تلاحظ أنه كلما حركت ذراع مجزئ الجهد RV<sub>1</sub> لأعلى ازدادت سرعة المحرك. والسبب فى ذلك أن زيادة جهد قاعدة Q<sub>1</sub> أدت إلى زيادة تيار قاعدته فازداد تيار مجعته. وبالتالى يزداد جهد قاعدة Q<sub>2</sub> فيزداد تيار مجع Q<sub>2</sub> تبعاً ونتيجة لذلك يزداد الجهد المتشكل على المقاومة R<sub>1</sub> (تبعاً لقانون أوم)، ومن ثم يزداد جهد أطراف المحرك فتزداد سرعة المحرك.

والجدير بالذكر أن الترانزستوران Q<sub>1</sub>, Q<sub>2</sub> يعملان فى هذه الدائرة كمكبرات حيث يتم التحكم فى تيار مجعتهما بالتحكم فى تيار قاعدتهما.

#### ٢ / ٧ - ترانزستور تأثير المجال الالتصاقى JFET:

يصنع ترانزستور تأثير المجال الالتصاقى من طبقة من أشباه الموصلات، تحتوى على قناة من أشباه الموصلات، ولكن بقطبية معاكسة، ويوجد نوعان من JFET، الأول بقناة موجبة P والثانى بقناة سالبة N. وتزود JFET بثلاثة أطراف وهى المصرف Drain (D) والمصدر أو المنبع Source (S) والبوابة Gate (G).

وفيما يلي رموز ترانزستورات المجال الالتصاقى :



فالرمز 1 لترانزستور JFET بقناة N. والرمز 2 لترانزستور JFET بقناة P. ويلاحظ أن الفرق بين الرمزتين هو اتجاه السهم الموضوع على البوابة فالسهم الداخلى يعنى ترانزستور بقناة N، والسهم الخارج يعنى ترانزستور بقناة P. ويؤدى المصدر والمصرف والبوابة نفس وظائف الباعث والمجمع والقاعدة للترانزستور الثنائى القطبية. والجدول ( ٢ - ١٨ ) يبين مقارنة بين ترانزستورات تأثير المجال الالتصاقى والترانزستورات ثنائى القطبية.

الجدول ( ٢ - ١٨ )

وجه المقارنة	ترانزستور تأثير مجال التصاقى	ترانزستور ثنائى القطبية
طريقة التحكم	يتم التحكم فيه بجهد الدخل	يتم التحكم فيه بتيار الدخل
نوع انحياز دائرة الدخل	يعمل عند انحياز عكسى بين البوابة والمصدر	يعمل عند انحياز أمامى بين القاعدة والباعث
طبيعة الكسب	يوصف بالموصلية الانتقالية $g_{fs} = \frac{\Delta I_D}{\Delta V_{GS}}$ (S) ووحدة الموصلية الانتقالية هى السيمنز (S) وتساوى (A/V)	يوصف بكسب التيار $h_{FE} = \frac{\Delta I_C}{\Delta I_B}$
مستوى الضوضاء	ضعيف جداً	مرتفع
التوصيل بالتوالى	يمكن توصيل أكثر من واحد على التوازي لأن لهم معامل حرارى سالب	يمكن توصيل عدة ترانزستورات على التوازي

حيث إن :

$\Delta I_D$	التغير في تيار المصرف الناتج عن $\Delta V_{GS}$
$\Delta V_{GS}$	التغير في فرق الجهد بين البوابة والمصدر
$\Delta I_C$	التغير في تيار المجمع
$\Delta I_B$	التغير في تيار القاعدة

والجدير بالذكر أن ترانزستور JFET ذا القناة N هو الأكثر انتشاراً، ويتميز ترانزستور JFET ذو القناة N بأن تيار المصرف  $I_D$  يكون أكبر ما يمكن عندما يكون فرق الجهد بين البوابة والمصدر  $V_{GS}$  مساوياً للصفر ويقل تيار المصرف كلما انخفض  $V_{GS}$  عن الصفر.

أى أن ترانزستور JFET ذا القناة N يمكن اعتباره في حالة وصل طبيعي .  
وتستخدم ترانزستورات JFET كمفاتيح، وايضاً كمكبرات تماماً مثل الترانزستورات الثنائية القطبية .

٢ / ٧ / ١ - جداول اختيار ترانزستور JFET :

توجد عدة عوامل على أساسها يختار ترانزستور JFET ، أهمها :

النوع ( قناة N - قناة P )

$V_{DS} \max$	أقصى جهد بين المصدر والمصرف
$V_{GS} \max$	أقصى جهد بين البوابة والمصدر
$P_D \max$	أقصى قدرة مستهلكة في المصرف

علماً بأن :

$$P_D \max = I_D^2 \max \cdot R_{DS} \longrightarrow 2.15$$

حيث إن :

$I_D \max$	أقصى تيار للمصرف
$R_{DS}$	أقصى مقاومة بين S,D في حالة الوصل بالأوم

والجدول (٢ - ١٩) يعرض المواصفات الفنية لبعض ترانزستورات JFET التي تعمل كمفتاح.

الجدول (٢ - ١٩)

الطراز	النوع	V <sub>GS</sub> max	V <sub>GS</sub> max	P <sub>D</sub> max
2 N 4092	قناة N	40V	-7V	1.8 W
2 N 4391	قناة N	40V	-10V	1.8 W
2 N 4392	قناة N	40V	-5V	1.8 W
2 N 4858	قناة N	40V	-4V	1.8 W
2 N 4861	قناة N	30V	-4V	360 mw

٢ / ٧ / ٢ - اختبار صلاحية ترانزستور JFET:

يتم اختبار صلاحية JFET بجهاز الأوميتر، حيث إن ترانزستور JFET ذا قناة N يعتبر كثنائي موصل من مصعده بنقطة المنتصف لمقاومة.

أما ترانزستور JFET ذو قناة P يعتبر كثنائي موصل من مهبطه بنقطة المنتصف لمقاومة.

والشكل (٢ - ٤٢) يبين الدائرة المكافئة لكل من ترانزستور JFET بقناة N (أ) وترانزستور JFET بقناة P (ب).



شكل (٢ - ٤٢)

والجدول (٢ - ٢٠) يبين طريقة اختبار ترانزستورات JFET باستخدام الأوميتر.

الجدول (٢ - ٢٠)

النوع	الطرف الموجب + للأوميتير يتصل به	الطرف السالب - للأوميتير يتصل به	النتائج المتوقعة
ترانزستور JFET بقناة سالبة N	Drain المصرف	Source المصدر	مقاومة تتراوح ما بين $500 \Omega$ : $5 k\Omega$
	Source المصدر	Drain المصرف	مقاومة تتراوح ما بين $500 \Omega$ : $5 k\Omega$
	Gate البوابة	المصدر أو المصرف	مقاومة صغيرة
	المصدر أو المصرف	Gate البوابة	مقاومة أكبر من $10M\Omega$ إذا لم يتعد جهد البطارية جهد الانهيار
ترانزستور JFET بقناة موجبة P	نفس نتائج ترانزستور JFET بقناة N ولكن عند عكس قطبية جهاز الأوميتير		

#### ٢ / ٨ - ترانزستور تأثير المجال أكسيد المعدن شبه الموصل Mosfet :

توجد تسمية أخرى لترانزستور تأثير المجال أكسيد المعدن شبه الموصل Mosfet وهي ترانزستور تأثير المجال ذات البوابة المعزولة (IGFET).

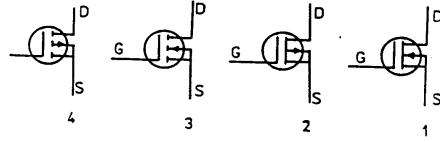
ويوجد نوعان من هذا الترانزستور، وهما:

١ - ترانزستور نوع النضوب Depletion type

٢ - ترانزستور نوع التعزيز Enhancement type

وكلاهما له ثلاثة أطراف تشبه أطراف ترانزستور JFET

وفيما يلي رمز ترانزستورات Mosfet



- فالرمز 1 لترانزستور نوع النضوب بقناة N  
والرمز 2 لترانزستور نوع النضوب بقناة P  
والرمز 3 لترانزستور نوع التعزيز بقناة N  
والرمز 4 لترانزستور نوع التعزيز بقناة P

والفرق بين ترانزستور MOSFET نوع النضوب ونوع التعزيز في قطبية فرق الجهد بين البوابة والمصدر  $V_{GS}$  والذي يعمل عنده كلاهما، فيعمل ترانزستور النضوب بقناة N عندما يكون فرق الجهد  $V_{GS}$  بالموجب أو السالب، ويزداد تيار المصرف  $I_D$  بزيادة فرق الجهد عند القطبية الموجبة، ويقل بزيادة فرق الجهد عند القطبية السالبة، لذلك يمكن اعتباره في حالة توصيل طبيعي.

ويعمل ترانزستور التعزيز بقناة N عندما يكون قطبية فرق الجهد  $V_{GS}$  بالموجب فقط، ويزداد تيار المصرف بزيادة فرق الجهد ويقل بنقصان فرق الجهد، وينعدم عندما يكون فرق الجهد مساوياً صفراً، ويقال في هذه الحالة: إن الترانزستور في حالة قطع، والجدير بالذكر أن ترانزستور MOSFET نوع التعزيز بقناة N هو أغلب أنواع ترانزستورات MOSFET انتشاراً، حيث يستخدم كعنصر قدرة. ولقد استطاعت ترانزستورات MOSFET التغلب على مشكلة كبيرة موجودة في الترانزستورات الثنائية القطبية وهي كبر تيار تشغيلها (تيار القاعدة). فمثلاً: يبلغ تيار تشغيل ترانزستور دار لنجتون معامل كسبه 100 وتيار مجمعه 300A حوالي 3A. وهذا العيب يظهر بوضوح في ترانزستورات القدرة لصغر معامل كسب التيار لها، فقد يصل تيار قاعدة ترانزستور قدرة تيار مجمعه 300A وكسبه 10 حوالي 30A.

والجدير بالذكر أنه يوجد أنواع من MOSFET تتحمل جهوداً تصل إلى 650V وتيارات تصل إلى 100A.

وفيما يلي أهم الملاحظات التي تراعى عند التعامل مع ترانزستورات MOSFET:

- ١ - يجب فصل التيار الكهربى عن الدائرة أثناء رفع الترانزستورات من الدائرة؛ وذلك لمنع تولد الجهود العابرة التي تتلف الترانزستور.

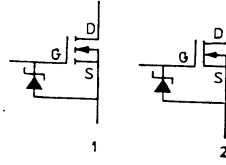


٢ - يتم توصيل معظم اليد للقائم بإصلاح الدوائر التي تحتوى على ترانزستورات MOSFET بأرضى الدائرة أو بأرضى الشاسيه .

٣ - يتم تأريض كابوية اللحام جيداً ولا تستخدم مكواة اللحام التى على شكل مسدس .

علمًا بأن معظم الأنواع الجديدة من ترانزستورات MOSFET الموجودة فى الأسواق تحتوى على ثنائى زينتر بين البوابة والمصدر لمنع ارتفاع VGS إلى قيم غير آمنة (15V) . وبالتالي تحمى الترانزستور من الجهود العابرة بالدائرة، وكذلك عند النقل نتيجة لانتقال الشحنات الاستاتيكية إلى أرجل الترانزستور بفعل احتكاك البلاستيك أو الفيبر بها، أو نتيجة لانتقال الشحنات الاستاتيكية عند ملاصقة أجسام الأشخاص لها أثناء التداول . والشركات المصنعة - عادة - تقوم بعمل قصر لأرجل الترانزستور بحلقة معدنية أو سلك أو صفيحة رقيقة لحماية الترانزستور أثناء التداول .

فيما يلي رموز ترانزستورات MOSFET التى تحتوى على ثنائى زينتر :



فالرمز 1 لترانزستور MOSFET نوع التعزيز . والرمز 2 لترانزستور MOSFET نوع النضوب .

٢ / ٨ / ١ - جداول اختيار ترانزستور MOSFET :

المجدول (٢ - ٢١) يعرض أنواعاً مختلفة من ترانزستورات MOSFET المستخدمة فى الأغراض العامة .

حيث إن:

$I_D \max$	تيار المصرف الأقصى
$V_{DS} \max$	فرق الجهد بين المصرف والمصدر الأقصى
$P_D \max$	القدرة القصوى المستهلكة في المصرف
$g_{FS}$	موصلية النقل

الجدول (٢ - ٢١)

الطراز	النوع	$I_D \max$	$V_{DS} \max$	$P_D \max$	$g_{FS} \min$
2 N 7010	N قناة	1.3 A	60 V	1.2 W	
2 N 7014	N قناة	3.5 A	100 V	20 W	0.75 S
2 N 7054	N قناة	38 A	100 V	150 W	8 S
2 N 7055	N قناة	28 A	200 V	150 W	8 S
2 N 7058	N قناة	12 A	500 V	150 W	6 S
IRF 120	N قناة	8 A	100 V	40 W	1.5 S
IRF 130	N قناة	14 A	100 V	75 W	4 S
IRF 330	N قناة	5.5 A	400 V	75 W	3 S
IRF 510	N قناة	4 A	100 V	20 W	1 S
IRF 520	N قناة	8 A	100 V	40 W	1.5 S
IRF 530	N قناة	14 A	100 V	75 W	4 S
IRF 720	N قناة	3 A	400 V	40 W	1 S
IRF 730	N قناة	5.5 A	400 V	75 W	3 S
IRF 840	N قناة	8 A	500 V	125 W	4 S

٢/٨ - اختبار صلاحية ترانزستور MOSFET:

يمكن اختبار صلاحية ترانزستورات MOSFET باستخدام جهاز الأوميتر. والجدول (٢ - ٢٢) يبين طريقة استخدام جهاز الأوميتر في اختبار صلاحية ترانزستورات MOSFET بنوعيهما: نوع التعزيز E، ونوع النضوب DE.

الجدول ( ٢ - ٢٢ )

النوع	الطرف الموجب + للأومتر يتصل به	الطرف السالب - للأومتر يتصل به	النتائج المتوقعة
E N نوع التعزيز بقناة	Drain المصرف	Source المصدر	10MΩ مقاومة أكبر من
	Source المصدر	Drain المصرف	10MΩ مقاومة أكبر من
	Gate البوابة	المصدر أو المصرف	100MΩ مقاومة أكبر من
	المصدر أو المصرف	Gate البوابة	100MΩ مقاومة أكبر من
DE N نوع النضوب بقناة	Drain المصرف	Source المصدر	500Ω:5K مقاومة تتراوح ما بين
	Source المصدر	Drain المصرف	500Ω:5K مقاومة تتراوح ما بين
	Gate البوابة	المصدر أو المصرف	100 MΩ مقاومة أكبر من
	المصدر أو المصرف	Gate البوابة	100 MΩ مقاومة أكبر من

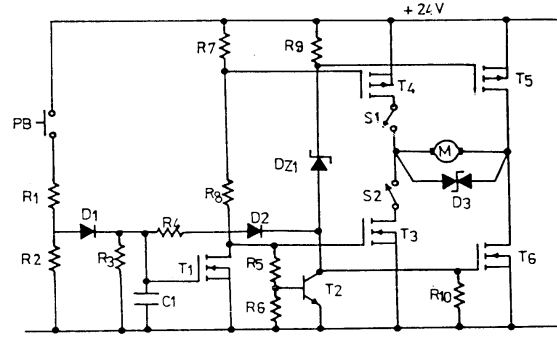
٢ / ٨ - ٣ - تطبيق على استخدام ترانزستورات MOSFET في التحكم:

الشكل ( ٢ - ٤٣ ) يعرض دائرة التحكم في محرك تيار مستمر دائم يتحكم في بوابة أوتوماتيكية .

عناصر الدائرة:

C <sub>1</sub>	مكثف بوليستير سعته 1μf	R <sub>1</sub>	مقاومة كربونية 470 Ω
D <sub>1</sub>	ثنائي طراز 1N9/4	R <sub>2</sub>	مقاومة كربونية 10 Ω
D <sub>2</sub>	ثنائي طراز 1N9/4	R <sub>3</sub>	مقاومة كربونية 10 M Ω
Dz <sub>1</sub>	ثنائي زينر جهده 12V	R <sub>4</sub>	مقاومة كربونية 1 K Ω
D <sub>3</sub>	ثايركتور طراز ZZ 36	R <sub>5</sub>	مقاومة كربونية 27 K Ω
T <sub>1</sub>	ترانزستور VMOS بقناة N طراز BS 170	R <sub>6</sub>	مقاومة كربونية 18 K Ω
T <sub>2</sub>	ترانزستور NPN طراز BC107	R <sub>7</sub>	مقاومة كربونية 12 K Ω
T <sub>3</sub>	ترانزستور VMOS بقناة N طراز BD 522	R <sub>8</sub>	مقاومة كربونية 10 K Ω
T <sub>4</sub>	ترانزستور VMOS بقناة P طراز BD 512	R <sub>9</sub>	مقاومة كربونية 2.2 K Ω

مقاومة كربونية 22 K  $\Omega$  R10 ترانزستور VMOS بقناة P طراز T5 BD 512  
 ضاغط بريشة مفتوحة NO PB1 ترانزستور VMOS بقناة N طراز T6 BD 522  
 مفاتيح نهايات مشوار بريش مفتوحة S1 ، S2



شكل (٢ - ٤٣)

#### نظرية التشغيل :

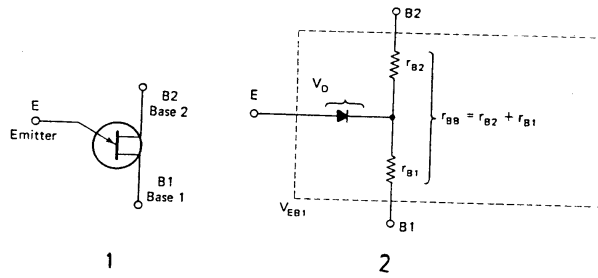
في الوضع الطبيعي تكون البوابة مغلقة، ويكون مفتاح نهاية المشوار S1 مغلقاً وعند الضغط على الضاغط PB1 يشحن المكثف C1 ويتحول T1 لحالة الوصل، فيصبح جهد مصدر T1 يقترب من الصفر، وينتقل هذا الجهد لقاعدة T2 ولبوابة T3، T4 فيتحول T2 لحالة القطع، ويتحول T3 لحالة القطع، ويتحول T4 لحالة الوصل لأنه نوع P. ونتيجة لتحول T2 لحالة القطع يصبح مجمعه يقترب من 12V فينتقل هذا الجهد لبوابة T6 فيتحول T6 لحالة الوصل، وبالتالي يدور المحرك ليفتح البوابة، وعند تمام فتح البوابة يغلق المفتاح S2 ويفتح المفتاح S1. وفي نفس الوقت يفرغ

المكثف  $C_1$  شحنته في بوابة  $T_1$  وكذلك في المقاومة  $R_3$ ، وبعد 20 sec يتحول  $T_1$  لحالة القطع لأن الجهد على المكثف  $C_1$  سيصبح غير كاف لتحويله لحالة الوصل. حينئذ ينتقل جهد مجمع  $T_1$  الذي يساوي +24V لقاعدة  $T_2$  وبوابة  $T_4$ ، فيتحول  $T_2$  لحالة الوصل، وكذلك  $T_3$  لحالة الوصل، ونتيجة لتحويل  $T_2$  لحالة الوصل يصبح جهد مجمعه يقترب من الصفر فينتقل هذا الجهد لبوابة  $T_6$ ،  $T_5$  فيتحول  $T_5$  لحالة الوصل، وينعكس اتجاه دوران المحرك ليغلق البوابة مرة أخرى.

والجدير بالذكر أن زمن فتح أو غلق البوابة عادة أقل من 20 ثانية، كما أن الثايركتور  $D_3$  يقوم بحماية المحرك من زيادة الجهد المفرطة، حيث يتحول لحالة الوصل عند ارتفاع الجهد عن الجهد المقنن، وبذلك يحافظ على ثبات الجهد على أطراف المحرك عند القيمة المقننة.

## ٢ / ٩ - الترانزستور الأحادي الوصلة UJT :

لترانزستور UJT ثلاثة أطراف : وهي القاعدة الأولى  $B_1$ ، والقاعدة الثانية  $B_2$ ، والباعث  $E$ . وهو يشبه الترانزستور الثنائي القطبية الصغير في الشكل لحد كبير. وفيما يلي رمز UJT (الرمز 1) والدائرة المكافئة له (الرمز 2).

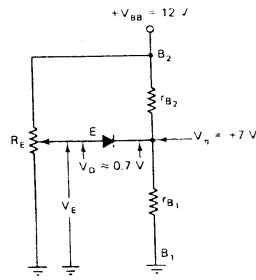


وعادة فإن المقاومة الكلية بين القاعدتين  $r_{BB} = r_{B1} + r_{B2}$  تتراوح ما بين 5:10

$K\Omega$  وتعرف النسبة بين المقاومة  $r_{B1}$  والمقاومة الكلية  $r_{BB}$  بالنسبة الداخلية -Intrin sic ratio، ويرمز لها  $\eta$  وتساوى:

$$\eta = \frac{r_{B1}}{r_{B1} + r_{B2}} = 0.5: 0.8 \longrightarrow 2.16$$

١ / ٩ / ٢ - عمل الترانزستور الأحادى الوصلة UJT :



شكل (٢ - ٤٤)

فى الشكل (٢ - ٤٤) عند تسليط جهد مقداره 12V بين القاعدتين B1, B2 فإن هذا الجهد سوف يجرى بين المقاومتين  $r_{B1}, r_{B2}$ ، فإذا كان الجهد عند نقطة اتصال المقاومتين يساوى  $V_{\eta} = +7V$  فإن التيار الكهربى سوف يمر من الباعث إلى القاعدة B1 إذا كان الجهد  $V_E > 0.7V$ . وحيث إن  $V_D$  تساوى 0.7V تقريباً للثنائى السليكونى لذا فإن  $V_E > 7.7V$  ويقال حينئذ إن UJT فى حالة إشعال، ولحظة إشعال UJT تقل المقاومة  $r_{B1}$  لتصل إلى الصفر فيزداد التيار  $I_E$  عند انخفاض  $V_E$ . ويمكن إعادة

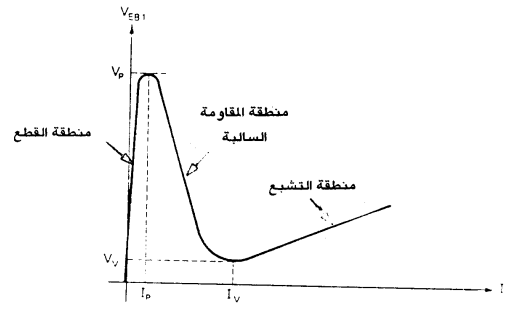
UJT إلى حالة الفصل OFF بتخفيض قيمة الجهد  $V_E$  عن الحد الأدنى المسموح به.

والشكل (٢ - ٤٥) يعرض منحنى الخواص  $I_E - V_{EB1}$  لترانزستور UJT. ويمكن تقسيم منحنى الخواص لثلاث مناطق وهى:

١ - منطقة القطع Cut off region وفيها يكون  $I_E = 0$ .

٢ - منطقة المقاومة السالبة Negative resistance region وفيها يزداد التيار  $I_E$  بنقص الجهد  $V_{EB1}$ .

٣ - منطقة التشبع Saturation region وفيها يزداد  $I_E$  بزيادة  $V_{EB1}$ .



شكل (٢ - ٤٥)

وهناك بعض الرموز المستخدمة مثل :

$V_P$	أقصى قيمة للجهد $V_{EB1}$
$V_V$	أصغر قيمة للجهد $V_{EB1}$
$I_P$	تيار الباعث عندما يكون $V_{EB1}$ مساوياً $V_P$
$I_V$	تيار الباعث عندما يكون $V_{EB1}$ مساوياً $V_V$

وفيما يلي حدود المناطق الثلاثة السابق تعريفها :

حدود منطقة القطع من  $I_E = 0 : I_P$  .

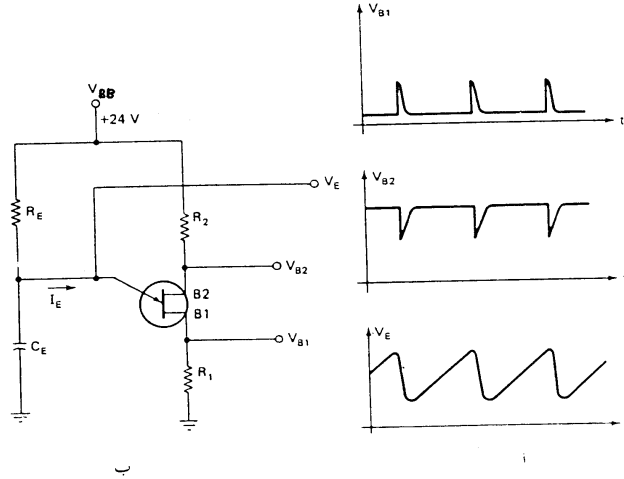
حدود منطقة المقاومة السالبة من  $I_E = I_P : I_V$  .

حدود منطقة التشبع من  $I_E > I_V$  .

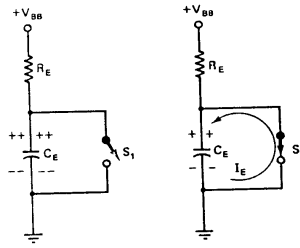
٢ / ٩ - المذبذب المتراخي باستخدام UJT

: UJT Relaxation oscillator

يستخدم UJT - عادة - في بناء دوائر المذبذبات وكذلك دوائر إشعال الثايرستور والترياك. والشكل (٢ - ٤٦) يعرض دائرة مذبذب متراخي باستخدام UJT مع مقاومة  $R_E$  ومكثف  $C_E$ ، ويعرض في نفس الشكل موجات الجهود  $V_E$  و  $V_{B1}$  و  $V_{B2}$ .



شكل (٢-٤٦)



شكل (٢-٤٧)

ولفهم نظرية عمل هذه الدائرة سنستبدل UJT بمفتاح  $S_1$  ونوصله، كما بالشكل (٢-٤٧). فعندما يكون  $S_1$  مفتوحاً فإن المكثف سوف يشحن وصولاً للجهد  $V_{BB}$  (حيث إن  $V_{RE}$  هو جهد المصدر المستمر،  $V_{RE}$  هو الفقد في الجهد في المقاومة  $R_E$  ويتم ذلك في زمن يساوي ثابت الزمن للدائرة المؤلفة من المقاومة  $R_E$  والمكثف  $C_E$  ويساوي  $R_E C_E$ ).



وعند غلق المفتاح S1 فإن المكثف سوف يفرغ شحنته في زمن يساوى صفراً ثانية تقريباً لأن مقاومة المفتاح S1 تساوى صفراً تقريباً.

وبهذه الطريقة يمكن تفسير شكل الجهد  $V_E$  المبين بالشكل (٢ - ٤٦) حيث إن UJT يعمل كمفتاح مفتوح أثناء شحن المكثف  $C_E$  وصولاً للجهد  $V_P$  (ارجع للشكل ٢ - ٤٥)، ويعمل كمفتاح مغلق أثناء تفريغ المكثف وصولاً للجهد  $V_V$  (وهذا موضح من منحنى الخواص بالشكل ٢ - ٤٥) ونحصل على تردد موجة الجهد  $V_E$  من العلاقة التالية:

$$F = \frac{1}{R_E C_E} \rightarrow 2.17$$

ولكى نصل لتفسير مقبول لشكل الجهد على  $B_2$  يجب أن نتذكر أنه قبل إشعال UJT فإن المقاومة بين القاعدتين  $B_1, B_2$  تكون كبيرة جداً تصل لعشرة آلاف أوم، وحيث إن المقاومة  $R_1, R_2$  عادة تكون صغيرة مقارنة بمقاومتى قاعدة UJT، لذا فإن الجهد عند الطرف  $B_2$  سيساوى تقريباً  $V_{BB}$ ، أما عند إشعال UJT فإن المقاومة بين القاعدتين سوف تقل إلى الربع تقريباً، مما يؤدي إلى انخفاض الجهد  $V_{B2}$  وذلك خلال فترة الإشعال (زمن تفريغ المكثف) وبالطبع فإن الجهد  $V_{B1}$  سيكون معكوساً للجهد  $V_{B2}$ .

#### ٢ / ٣ - اختبار صلاحية ترانزستورات UJT:

الجدول (٢ - ٢٣) يبين طريقة اختبار صلاحية UJT باستخدام جهاز الأوميتر.

الجدول (٢ - ٢٣)

الطرف الموجب + للأوميتر يتصل به	الطرف السالب - للأوميتر يتصل به	النتائج المتوقعة
Base 1 القاعدة 1	Base 2 القاعدة 2	مقاومة تتراوح ما بين $4:10 K \Omega$
Base 2 القاعدة 2	Base 1 القاعدة 1	مقاومة تتراوح ما بين $4:10 K \Omega$
Emitter الباعث	Base 1 القاعدة 1	مقاومة تتراوح ما بين $3: 15 K \Omega$
Base 1 القاعدة 1	Emitter الباعث	مقاومة أكبر من $1 M \Omega$
Emitter الباعث	Base 2 القاعدة 2	مقاومة تتراوح ما بين $10 K \Omega$ 2: وأقل من الحالة الثالثة
Base 2 القاعدة 2	Emitter الباعث	مقاومة أكبر من $1 M \Omega$

## ٢ / ١٠ - الترانزستور الأحادى الوصلة القابل للبرمجة PUT :

ترانزستور PUT له نفس خواص ترانزستور UJT، عدا أنه يمكن التحكم في الجهد الأقصى  $V_P$  الذى يعمل عنده PUT. ولترانزستور PUT ثلاثة أطراف، وهى: المصعد Anode والمهبط Cathode والبوابة Gate. وفيما يلى رمز ترانزستور Put.



ويتميز PUT بأن سرعة الوصل والفصل التى تصل 1/10 سرعة UJT، كما أن PUT أكثر استقراراً عند تغير درجات الحرارة.

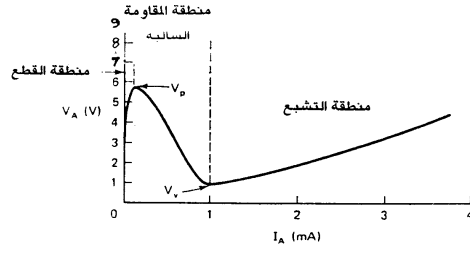
والشكل ( ٢ - ٤٨ ) يبين منحنى خواص PUT التى تمثل العلاقة بين ( $U_A - I_A$ )، ويمكن تقسيم المنحنى إلى ثلاث مناطق كما هو الحال فى UJT وهى:

– منطقة القطع Cut off region

– منطقة المقاومة السالبة Negative resistance region

– منطقة التشبع Saturation region

حيث إن PUT يكون فى حالة القطع إلى أن يصل جهد المصعد  $V_A$  إلى  $V_P$ . عندئذ يزداد تيار المصعد  $I_A$  بانخفاض  $V_A$  وصولاً للجهد  $V_V$  ويساوى تقريباً 0.7V. فإذا أصبح  $V_A > V_V$  يتحول PUT إلى حالة القطع Cut off وإذا زاد  $V_A$  ليصبح  $V_A > V_V$  يزداد التيار  $I_A$  بصورة كبيرة، ويقال: إن PUT فى حالة تشبع Saturation.



شكل (٢ - ٤٨)

أى أن حدود المناطق الثلاثة السابق تعريفها كالتالى :

- $I_A = 0: I_p$  حدود منطقة القطع من
  - $I_A = I_p: I_v$  حدود منطقة المقاومة السالبة من
  - $I_A > I_v$  حدود منطقة التشبع من
- حيث إن :

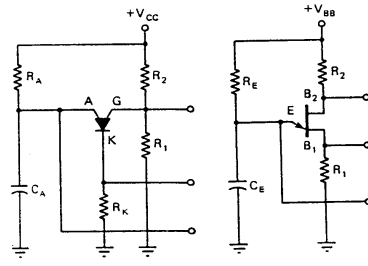
- $I_p$  تيار المصعد عندما يكون جهد المصعد مساوياً  $V_p$
- $I_v$  تيار المصعد عندما يكون جهد المصعد مساوياً  $V_v$

والجددير بالذكر أن قيمة  $V_p$  تعتمد على قيمة جهد البوابة  $V_G$ .

٢ / ١٠ / ١ - المذبذب المتراخى باستخدام PUT :

الشكل (٢ - ٤٩) يعرض دائرة مذبذب متراخى باستخدام PUT والدائرة

المكافئة باستخدام UJT



شكل (٢ - ٤٩)

وفيما يلي الأطراف ذات المخرج المتماثلة في كل من PUT ، UJT :

$V_{B2}$  يقابل  $V_G$  ،  $V_{B1}$  يقابل  $V_K$  ،  $V_E$  يقابل  $V_A$

والجدير بالذكر أن العلاقة بين جهد المصعد الأقصى وجهد البوابة  $V_G$  لترانزستور PUT نحصل عليها من المعادلة 2.18 :

$$V_P = V_G + 0.7 \text{ V} \longrightarrow 2.18$$

كما أن جهد بوابة Put نحصل عليه من المعادلة 2.19 :

$$V_G = \frac{R_1}{R_1 C_1} V_{CC} \quad (V) \longrightarrow 2.19$$

ويمكن تعيين تردد الموجات الخارجة من على المصعد A أو المهبط K أو البوابة G من المعادلة 2.20 :

$$F = \frac{1}{R_A C_A} \quad (H3) \longrightarrow 2.20$$

٢ / ١٠ / ٢ - اختبار صلاحية PUT :

الجدول (٢ - ٢٤) يوضح طريقة اختبار صلاحية PUT باستخدام جهاز الأوميتر.

الجدول (٢ - ٢٤)

النتائج المتوقعة	الطرف السالب - للأومتر يتصل به	الطرف الموجب - للأومتر يتصل به
مقاومة أكبر من $1M\Omega$	المهبط Cathode	المصعد Anode
مقاومة أكبر من $1M\Omega$	المصعد Anode	المهبط Cathode
مقاومة صغيرة	البوابة Gate	المصعد Anode
مقاومة كبيرة	المصعد Anode	البوابة Gate
مقاومة كبيرة	المهبط Cathode	البوابة Gate
مقاومة كبيرة	البوابة Gate	المهبط Cathode

## ٢ / ١١ - الموحد السليكوني الخكوم (الثايرستور) SCR :

يتكون الثايرستور من أربع طبقات سليكونية P-N-P-N، وله ثلاثة أطراف، وهي المصعد (A) Anode، والمهبط (K) Cathode، والبوابة (G) Gate. وفيما يلي رمز الثايرستور:



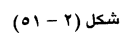
ويعمل الثايرستور كموجد إذا كان متحيزاً أمامياً، ووصلت نبضة إشعال للبوابة؛ لذلك سمي بموجد السليكون الخكوم SCR.



شكل (٢ - ٥٠)

والشكل (٢ - ٥٠) يعرض نماذج مختلفة للثايرستورات، أما الشكل (٢ - ٥١) فيعرض

منحنى خواص الثايرستور، والذي يمثل العلاقة بين تيار المصعد  $I_A$  وفرق الجهد بين المصعد والمهبط  $V_{AK}$  عند قيم مختلفة لتيار البوابة  $I_G$ .


$$I_{G2} > I_{G1} > I_{G0}$$

وفيما يلي شرح الخواص الأمامية للتأثير ستور:

۱۲.

٢ - عند وصول إشارة جهد موجبة بين البوابة والمهبط يمر تيار فى البوابة، وبالتالى فإن الجهد اللازم (لإشعال الثايرستور) لتحويل الثايرستور لحالة الوصل ON سوف يقل عن  $V_{BO}$  علماً بأنه كلما ازداد تيار البوابة  $I_G$  قل  $V_{AK}$  اللازم لإشعال الثايرستور.

٣ - يستمر الثايرستور فى حالة وصل ON بعد إشعاله حتى عندما يصبح  $I_G$  مساوياً للصفر، ولكن عندما يقل تيار المصعد  $I_A$  عن تيار الإمساك  $I_H$  (وهو تيار المصعد الأدنى الذى يحافظ على الثايرستور فى حالة وصل ON بعد إشعاله) فى هذه الحالة يتحول الثايرستور لحالة القطع Cut off.

٤ - يوجد شرطان يجب توافرها فى إشارة الجهد اللازمة لإشعال الثايرستور  $V_{GK}$  وهما:

أ - أن يكون زمن الإشارة كافياً لإحداث الإشعال، وعادة يكون أكبر من  $20 \mu S$ .

ب - أن يكون التيار  $I_G$  المتولد نتيجة لتسليط إشارة الجهد  $V_{GK}$  كافياً لإحداث إشعال عند قيمة  $V_{AK}$ .

ويمكن معرفة خواص إشارة الجهد اللازمة لإشعال الثايرستور من ورق بيانات الثايرستور.

٢ / ١١ / ١ - طرق إطفاء الثايرستور SCR:

من المشاكل التى نتعرض لها فى دوائر الثايرستور؛ مشكلة إطفاء الثايرستور، أى تحويل الثايرستور لحالة القطع Cut off، حيث إن الثايرستور يظل فى حالة وصل ON طالما أن تيار المصعد  $I_A$  أكبر من تيار الإمساك  $I_H$ .

وهناك عدة طرق لإطفاء الثايرستور، نذكر منها ما يلى:

١ - استخدام الثايرستور فى دوائر التيار المتردد. فمن المعروف أن الموجة الجيبية للتيار المتردد تصل للصفر مرتين فى الدورة الواحدة (ارجع للفقرة ١ - ٧)، وحيث إن الثايرستور يعمل كموحد فإنه سيمرر نصف الموجة الموجبة فقط،

وبمجرد وصولها للصفر يحدث إطفاء ذاتي للثايرستور، ويبقى الثايرستور في حالة قطع إلى أن يتم إشعاله مرة أخرى.

٢ - استخدام الثايرستور في دوائر التوحيد الكاملة، وذلك باستخدام قناطر التوحيد، حيث يحدث إطفاء ذاتي للثايرستور بمجرد وصول الموجة الموحدة للصفر، ويبقى الثايرستور في حالة قطع لحين إشعاله مرة أخرى.

٣ - استخدام مفتاح يدوي بالتوازي أو بالتوالي مع الثايرستور حيث ينطفئ الثايرستور عند فتح مفتاح التوالي أو غلق مفتاح التوازي ( وهذه الطريقة غير عملية ).

٤ - توصيل مكثف مشحون بالتوازي مع مصعد ومهبط الثايرستور بطريقة تجعل الثايرستور يتعرض لجهد معاكس فيقل تيار المصعد إلى قيمة أقل من تيار الإمساك، ويتحول الثايرستور لحالة القطع Cut off.

#### ٢ / ١١ / ٢ - زاوية إشعال الثايرستور Firing angle :

من أهم المصطلحات الفنية المستخدمة مع الثايرستور، هي زاوية الإشعال، وهي الزاوية التي يتحول عندها الثايرستور من حالة القطع لحالة الوصل وذلك لحظة وصول إشارة إشعال للبوابة ويرمز لها عادة  $\alpha$ .

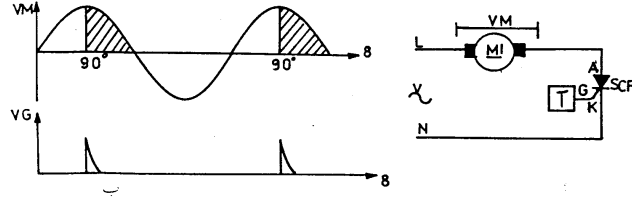
والشكل ( ٢ - ٥٢ ) يبين دائرة تحكم في محرك تيار مستمر باستخدام ثايرستور ( الشكل أ ) وشكل موجة الجهد على أطراف المحرك وكذلك نبضات إشعال الثايرستور ( الشكل ب )، حيث يمكن التحكم في سرعة محرك التيار المستمر بالتحكم في قيمة جهد أطرافه.

ويلاحظ أن نبضة الإشعال تكون عندما  $\alpha = 90^\circ$ ، ويكون الجهد على أطراف المحرك هو الجهد المشتر فقط، أما باقي الموجة الموحدة فتكون على أطراف الثايرستور، ويمكن التحكم في زاوية الإشعال  $\alpha$ ، بواسطة دائرة الإشعال Trigger Control Circuit.

ويعمل الثايرستور تماماً كموحد يمنع وصول نصف الموجة السالب للمحرك، ويلاحظ أنه كلما ازدادت زاوية الإشعال قل الجهد الموجود على المحرك ويساوى صفراً



عندما تكون زاوية الإشعال  $\alpha$  مساوية  $180^\circ$ ، بينما يكون الجهد على الحمل أكبر ما يمكن عندما تكون زاوية الإشعال  $\alpha$  مساوية  $0^\circ$ .



شكل (٢ - ٥٢)

#### ملاحظة:

عند التعامل مع الموجات الجيبية تعتبر أن الدورة الكاملة تحدث في زاوية كهربية مقدارها  $360^\circ$ ، أي أن نصف الدورة يحدث في زاوية كهربية مقدارها  $180^\circ$ ، وبهذه الطريقة يمكن تحديد زاوية الإشعال بالنسبة للموجة الجيبية للمصدر الكهربى.

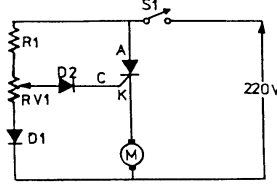
٢ / ١١ / ٣ - تطبيقات على استخدام الثايرستور فى التحكم:

#### التطبيق الأول:

الشكل (٢ - ٥٣) يعرض دائرة تحكم عملية فى سرعة محرك عام يستخدم فى الأجهزة المنزلية، مثل: الخلاطات المنزلية، والمثاقيب اليدوية.

#### عناصر الدائرة:

Q1	ثايرستور يختار حسب قدرة المحرك
D1,D2	ثنائيات سليكونية طراز 1N4004
R1	مقاومة $10K\Omega$ وقدرتها 5W
RV1	مجزئ جهد $1K\Omega$ وقدرتها 2W
S1	مفتاح قطب واحد سكة واحدة



شكل (٢ - ٥٣)

#### نظرية التشغيل :

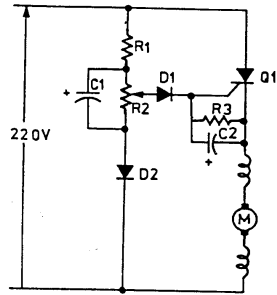
تعرف هذه الدائرة بدائرة الوجه الواحد ذات النصف موجة للتحكم في سرعة المحركات العامة . ويمكن التحكم في سرعة المحرك بواسطة مجزئ الجهد فتحرك الذراع المنزلق لمجزئ الجهد  $RV_1$  لأعلى تزداد سرعة المحرك، وذلك لزيادة فرق الجهد بين بوابة ومهبط الثايرستور، مما يعمل على إشعال الثايرستور مبكراً . في حين أنه عند تحريك الذراع المنزلق للمقاومة  $RV_1$  لأسفل تقل سرعة المحرك، وذلك لانخفاض فرق الجهد بين بوابة ومهبط الثايرستور، مما يعمل على إشعال الثايرستور متأخراً . والجدير بالذكر أن سرعة المحرك لا يمكن أن تصل إلى السرعة الكاملة لهذه الدائرة؛ لأن هذه الدائرة تعطي فقط نصف موجة القدرة لعنصر الاستنتاج للمحرك . ولهذه الدائرة ميزة جيدة في تثبيت سرعة المحرك حتى عند تنير الحمل، وهذه الميزة تسمى بالقوة الدافعة الكهربائية العكسية  $EMF$  .

فلنفرض أن مجزئ الجهد  $RV_1$  ضبط للحصول على سرعة 1500 RPM عند الأحمال . فإذا زاد الحمل على المحرك فإن المحرك سيميل لخفض سرعته وبالتالي تنخفض القوة الدافعة الكهربائية العكسية للمحرك؛ لأنها تتناسب طردياً مع سرعة المحرك، مما يزداد الفرق بين جهد المصدر والقوة الدافعة الكهربائية العكسية على أطراف المحرك، فيزداد التيار المار في المحرك، وبالتالي يزداد عزم المحرك لأن عزم المحرك يتناسب طردياً مع التيار .

وبالرجوع للدائرة المعنية، فعندما يزداد الحمل على المحرك تقل القوة الدافعة الكهربائية العكسية EMF، وحيث إن مهبط الثايرستور K متصل بالقوة الدافعة الكهربائية العكسية؛ لذلك فإن جهد المهبط VK سوف يقل فيزداد فرق الجهد بين البوابة والمهبط  $V_{GK}$  فيشتعل الثايرستور مبكراً، فيزداد الجهد المتوسط والتيار المار في عضو الاستنتاج، وهذا يعمل على تثبيت سرعة المحرك في مواجهة التغير في الأحمال.

#### التطبيق الثاني:

الشكل ( ٢ - ٥٤ ) يعرض دائرة تحكم عملية في سرعة محرك عام باستخدام ثايرستور، يتم التحكم فيه باستخدام دائرة إشعال مكونة من مقاومة ومكثف، وتستخدم هذه الدائرة للتحكم في الخلطات وماكينات الخياطة وجميع المحركات الشبيهة، علماً بأن الحد الأقصى للتيار 1.5 A.



شكل ( ٢ - ٥٤ )

#### عناصر الدائرة :

R1	مقاومة كربونية $100K\Omega$
R2	مجزئ جهد $10K$
R3	مقاومة كربونية $1K\Omega$
C1,C2	مكثف كيميائي سعته $0.1\mu f$ وجهد $10V$
D1,D2	ثنائي سليكوني طراز 1N 5060
Q1	ثايرستور طراز C106 D1

#### نظرية التشغيل :

تقوم الدائرة المولفة من  $R1, R2, C1$  بتوليد جهد أساسي على شكل أسنان منشار Ramp محمل على الجهد المستمر المضبوط بواسطة المقاومة  $R2$ . وهذا الجهد يظهر على الذراع المنزلق لمجزئ الجهد  $R2$ ، ويقارن هذا الجهد بالقوة الدافعة الكهربائية العكسية للمحرك من خلال المكثف  $C2$ ، وعند وجود فرق جهد بينهما يشحن المكثف وصولاً لجهد إشعال الثايرستور. فعندما يزداد الحمل على المحرك تقل القوة الدافعة الكهربائية العكسية EMF فيشحن المكثف  $C2$  بسرعة وصولاً لجهد إشعال الثايرستور  $V_{GK}$ ، وينتج عن ذلك إشعال متقدم للثايرستور، فيزداد الجهد المحصل على أطراف المحرك العام فيميل المحرك لتقليل سرعته.

وعندما يقل الحمل على المحرك تزداد سرعة المحرك فتزداد القوة الدافعة الكهربائية العكسية EMF للمحرك، فيشحن المكثف  $C2$  ببطء وصولاً لجهد إشعال الثايرستور، وينتج عن ذلك إشعال متأخر، ويقل الجهد المحصل على أطراف المحرك العام، ويميل المحرك لتقليل سرعته، وبذلك نحصل على تنظيم سرعة للمحرك.

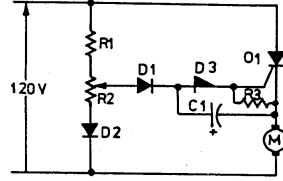
والجدير بالذكر أن  $D2$  يعمل على وصول جهد إشعال للثايرستور عندما يكون مصعد الثايرستور A موجباً ومهبط الثايرستور K سالباً.

فى حين يعمل  $D_1$  على وصول نبضة إشعال موجبة حادة لبوابة الثايرستور، مما يساعد على نجاح الإشعال، وذلك لأن الثنائى  $D_1$  لن يتحول لحالة الوصل إلا عندما يزداد فرق الجهد عليه عن  $0.7\text{ V}$

أما المكثف  $C_1$  فيعمل على زيادة حدود زاوية الإشعال من  $0:90^\circ$  إلى  $0:180^\circ$ ، وهذا يعمل على زيادة حدود تغيير السرعة.

#### التطبيق الثالث:

الشكل ( ٢ - ٥٥ ) يعرض دائرة تحكم فى سرعة محرك عام باستخدام ثايرستور، يتم التحكم فيه بموحد رباعى الطبقات. وتستخدم هذه الدائرة للتحكم فى الخلاطات وماكينات الخياطة وجميع المحركات الشبيهة.



شكل ( ٢ - ٥٥ )

#### عناصر الدائرة:

$R_1$	مقاومة كربونية $100\text{K}\Omega$
$R_2$	مقاومة متغيرة $25\text{ K}\Omega$
$R_3$	مقاومة كربونية $1\text{K}\Omega$
$C_1$	مكثف كيميائى سعته $0.01\mu\text{f}$ وجهده $50\text{V}$
$Q_1$	ثايرستور طراز GE-C22 B
$D_1, D_2$	ثنائيات سيلكونية طراز 1N 5059
$D_3$	موحد رباعى الطبقات طراز 2 N4990

#### نظرية التشغيل:

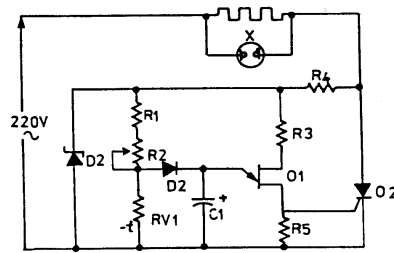
يعاب على دوائر إشعال الثايرستور باستخدام مجزئ جهد ومكثف كالموضحة بالتطبيق الثاني، أنها لم تعالج المشكلتين التاليتين:

- ١ - تغير خواص الثايرستور تبعاً لتغير درجة حرارته .
- ٢ - وجود اختلاف في خواص الثايرستورات التي لها نفس الطراز، حيث إن تغير الخواص يغير من قيمة تيار الإشعال الأدنى IGT والذي يشتعل عنده الثايرستور، وبالتالي تتغير زاوية الإشعال، وتبعاً يتغير تيار الحمل .

أما الدائرة التي نحن بصدددها فقد أمكن التغلب على هاتين المشكلتين باستخدام الموحد الرباعي الطبقات D3 والذي لا يسمح بمرور الجهد المبني على المكثف C1 للوصل لبوابة الثايرستور إلا عند وصول قيمة جهد مدخل الموحد الرباعي الطبقات للجهد انهياره أي 10V . في هذه الحالة يتحول الموحد الرباعي الطبقات D3 لحالة الوصل، وتصل نبضة إشعال للثايرستور كافية لإشعاله، وبذلك نضمن عدم اشتعال الثايرستور إلا بعد وصول الجهد على أطراف المكثف C1 إلى 10V مهما اختلفت درجة حرارة الثايرستور، وكذلك مهما اختلفت خواص الثايرستور .

#### التطبيق الرابع:

الشكل ( ٢ - ٥٦ ) يعرض دائرة تحكم تناسبى فى أحد الأفران المنزلية Oven .



شكل ( ٢ - ٥٦ )

#### عناصر الدائرة:

RV1	مقاومة حرارية
R1	مقاومة كربونية $330 \Omega$
R2	مقاومة متغيرة $5 K\Omega$
R3	مقاومة كربونية $1 K\Omega$
R4	مقاومة كربونية $6.8 K\Omega$ وقدرتها 2W
R5	مقاومة كربونية $47 \Omega$
C1	مكثف كيميائي سعته $0.02 \mu f$ وجهده 25 V
D1	ثنائي زينر 10V وقدرته 1W
D2	ثنائي سليكوني طراز 1N 914
Q1	ترانزستور أحادي الوصلة TIS 43
Q2	ثايرستور طراز 2 N4443 يثبت على مشنت حرارة أبعاده (5 x 5 cm)
X1	لمبة نيون تعمل عند جهد 220 V

#### نظرية التشغيل:

تقوم المقاومة R1, R2 وأيضاً المقاومة الحرارية RV1 كمجزيء جهد لجهد ثنائي الزينر D1 والذي يساوي 10V .

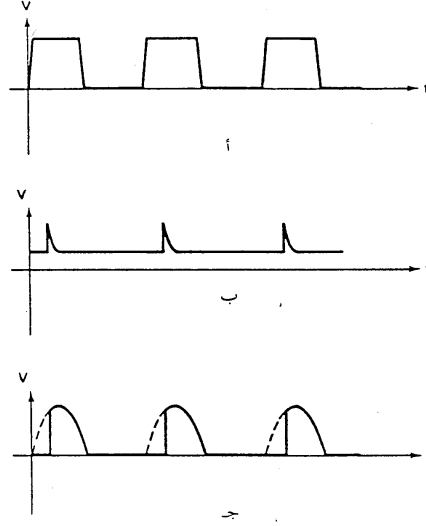
وخرج هذا المجزئ يصل إلى بوابة الترانزستور الأحادي الوصلة Q1، ويشحن المكثف خلال نصف الموجة الموجب، وعندما يصل الجهد المبني على أطراف المكثف لجهد إشعال Q1 تصل نبضة إشعال للثايرستور Q2، فيتحول الثايرستور لحالة الوصل، وتصل القدرة الكهربائية لعنصر التسخين، علماً بأن الثايرستور يعود لحالة القطع في نصف الموجة السالب، وتتكرر دورة الإشعال من جديد في نصف الموجة الموجب.

وعندما تكون درجة حرارة الفرن منخفضة فإن قيمة المقاومة RV1 ستكون كبيرة، الأمر الذي يجعل شحن المكثف C1، وبالتالي يتقدم إشعال الترانزستور Q1 ومن ثم يشتعل الثايرستور Q2 مبكراً فيزداد جهد أطراف السخان، وبالتالي تزداد القدرة الكهربائية التي تصل للسخان فترتفع درجة حرارة السخان.

وعند اقتراب درجة حرارة الفرن من درجة الحرارة المطلوبة والمضبوطة بواسطة  $R2$  تقل قيمة المقاومة الحرارية  $RV1$  فيتأخر شحن المكثف، وبالتالي يتأخر إشعال الترانزستور  $Q1$ ، ومن ثم يشتعل الثايرستور  $Q2$  متأخرًا، فيقل جهد أطراف السخان، وبالتالي تقل القدرة الكهربائية التي تصل للسخان والتي تعمل على تعويض الفقد الحرارى الناتج عن الإشعال.

علمًا بأن اللبنة النيون  $X1$  تضىء أثناء عمل الفرن.

والشكل (٢ - ٥٧) يعرض موجة الجهد على أطراف ثنائى الزينر (أ) وموجة الجهد الخارجة من الترانزستور الأحادى الوصلة  $Q1$  (ب)، وموجة الجهد على أطراف السخان (ج) عندما تكون زاوية إشعال الثايرستور حوالى 60 درجة.

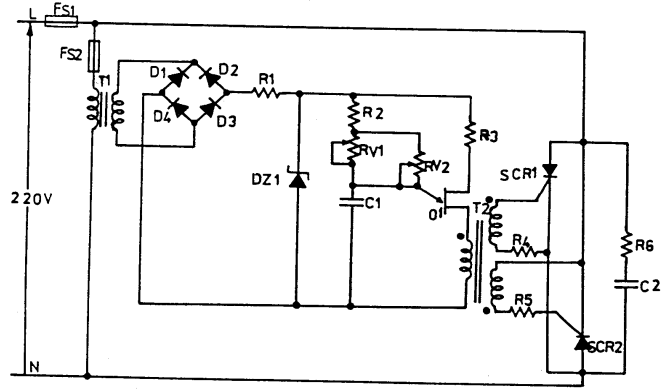


شكل (٢ - ٥٧)



التطبيق الخامس:

الشكل ( ٢ - ٥٨ ) يعرض دائرة التحكم فى شدة إضاءة مصباح كهربى قدرته .750W.



شكل ( ٢ - ٥٨ )

عناصر الدائرة:

- |    |                                 |
|----|---------------------------------|
| R1 | مقاومة كربونية 1.5 K وقدرتها 1W |
| R2 | مقاومة كربونية 4.7 KΩ           |
| R3 | مقاومة كربونية 150 Ω            |
| R4 | مقاومة كربونية 10 Ω             |
| R5 | مقاومة كربونية 10 Ω             |

R6	مقاومة كربونية $120 \Omega$
RV1	مقاومة متغيرة $100 K\Omega$
RV2	مقاومة متغيرة $200 K\Omega$
C1	مكثف سعته $0.22\mu F$
C2	مكثف سعته $0.1 \mu f$ وجهد $300 V$
D1-D4	ثنائي سليكوني طراز 1 N 4003
DZ1	ثنائي زينر جهد $10 V$ طراز BZ X 61
SCR1, SCR2	ثايرستور طراز 2 N4443
Q1	ترانزستور أحادي الوصلة TIS 43
T1	محول خفض $220/40 V$
T2	محول نبضات بملفين ثانويين 1:1
FS1	مصهر تيار 5A
FS2	مصهر بطلء Anti surge تياره المقنن 100 mA
Lamp	لمبة قدرتها 750 W

#### نظرية التشغيل:

تتميز هذه الدائرة بوجود عزل كامل بين دائرة التحكم ودائرة القدرة بواسطة المحولين T1، T2، ويعمل T1 على خفض جهد المصدر من 220V إلى 40V، وتقوم القنطرة المؤلفة من D1-D4 بتوحيد خرج المحول T1 ليصبح خرجها مساوياً 55V تيار مستمر غير منعم. وبواسطة ثنائي الزينر DZ1 والمقاومة R1 يصبح الجهد على أطراف DZ1 مساوياً 10 V +. وفي بداية كل نصف دورة يشحن C1 من خلال R2، Q1، وتصل نبضة إشعال للثايرستورات SCR1، SCR2 عبر محول النبضات T2

ويشتعل الثايرستور المنحاز أمامياً، وتصل باقى الدورة للحمل وفى نصف الموجة الثانى يشحن C1 مرة أخرى وصولاً لجهد إشعال Q1، وتنتقل نبضة إشعال بنفس الطريقة السابقة عبر محول النبضات T2 للثايرستورات فيشتعل الثايرستور الثانى وهكذا.

وعندما تكون RV1 صغيرة فإن C1 يشحن بسرعة فتصل نبضة مبكرة للثايرستورات، وبالتالي تزداد القدرة الكهربائية المنقولة للمصباح، وتزداد شدة إضاءة المصباح والعكس بالعكس.

ويمكن من خلال RV2 ضبط الحد الأدنى لشدة الإضاءة المطلوبة وذلك بالتحكم فى الحد الأدنى للقدرة الكهربائية التى تصل للمصباح الكهربى.

#### ٢ / ١١ / ٤ - جداول اختيار الثايرستورات:

فيما يلى أهم الرموز المستخدمة فى ورقة بيانات الثايرستورات.

IF(AV) تيار المصعد الأمامى المتوسط

VRRM الجهد الأقصى المتكرر الذى يتحمله الثايرستور بدون أن يشتعل تلقائياً

VGT جهد إشعال البوابة الأدنى

IGT تيار إشعال البوابة الأدنى

والجدول (٢ - ٢٥) يعرض بعض الثايرستورات الشهيرة وخواصها الفنية.

#### الجدول (٢ - ٢٥)

الطراز	IF(AV)	VRRM	VGT	IGT
TIC 106 D	3.2 A	400 V	1.2 V	200 µA
TIC 106 E	3.2 A	500 V	1.2 V	200 µA
TIC 106 M	3.2 A	600 V	1.2 V	200 µA
TIC 106 S	3.2 A	700 V	1.2 V	200 µA
TIC 116 D	5 A	400 V	2.5 V	20 mA
TIC 116 E	5 A	500 V	2.5 V	20 mA

الطراز	I <sub>F(AV)</sub>	V <sub>RRM</sub>	V <sub>GT</sub>	I <sub>GT</sub>
TIC 116 M	5 A	600 V	2.5 V	20 mA
TIC 116 S	5 A	700 V	2.5 V	20 mA
TIC 126 D	7.5 A	400 V	2.5 V	20 mA
TIC 126 E	7.5 A	500 V	2.5 V	20 mA
TIC 126 M	7.5 A	600 V	2.5 V	20 mA
TIC 126 S	7.5 A	700 V	2.5 V	20 mA
BTY 79- 400 R	6.4 A	400 V	3 V	30 mA
BTY 79- 600 R	6.4 A	600 V	3 V	30 mA
BTY 79- 800 R	6.4 A	800 V	3 V	30 mA
2 N4443	5.1 A	400 V	1.5 V	30 mA
2 N 4444	5.1 A	600 V	1.5 V	30 mA

٥ / ١١ / ٢ - اختبار صلاحية الثايرستور:

الجدول (٢ - ٢٦) يبين طريقة اختبار صلاحية الثايرستورات باستخدام جهاز الأوميتر

الجدول (٢ - ٢٦)

الطرف السالب + للأوميتر يتصل به	الطرف السالب - للأوميتر يتصل به	النتائج المتوقعة
Anode المصعد	Cathode المهبط	مقاومة أكبر من $1\text{ M}\Omega$ وتقل كلما زاد تيار الثايرستور
Cathode المهبط	Anode المصعد	مقاومة أكبر من $1\text{ M}\Omega$ ولكنها أكبر من الحالة السابقة
Gate البوابة	Cathode المهبط	مقاومة صغيرة تتراوح ما بين $(0:1000\ \Omega)$
Cathode المهبط	Gate البوابة	مقاومة كبيرة تصل إلى $(1:10\text{ M}\Omega)$
Gate البوابة	Anode المصعد	مقاومة أكبر من $(1\text{ M}\Omega)$
Anode المصعد	Gate البوابة	مقاومة أكبر من $(1\text{ M}\Omega)$

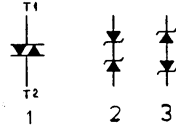
## ٢ / ١٢ - العناصر العاملة بعد الانهيار الفوقى Breakover Devices :

هناك مجموعة من العناصر التى تعمل عندما يصل فرق الجهد على أطرافها لجهد الانهيار لها، وهذه العناصر قريبة الشبه بثنائيات الزينر. وسوف نتناول أهم هذه العناصر فى الفقرات التالية.

### ١ / ١٢ / ٢ - الدياك Diac :

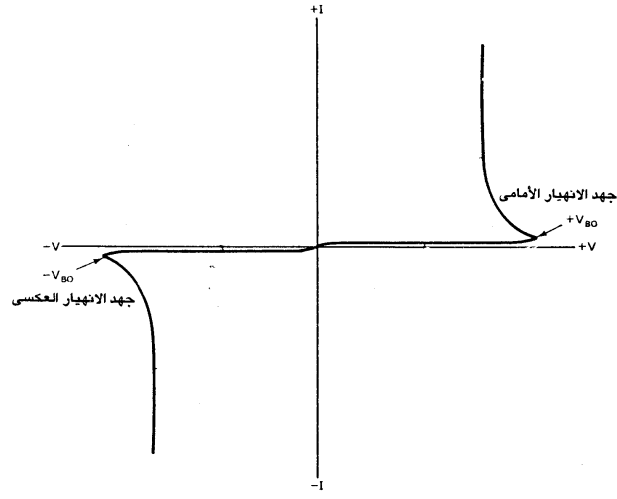
الدياك هو أحد العناصر العاملة بعد الانهيار الفوقى، وهو من عائلة الثايرستور ويسمى أحياناً الموحد الثنائى الاتجاه، وهو يسمح بمرور التيار فى الاتجاهين، ويعمل بدون بوابة تحكم وله طرفان وهما  $T_1$ ,  $T_2$ .

ويمر التيار الكهربى فى الدياك عندما يصل فرق الجهد بين طرفيه  $T_1$ ,  $T_2$  لجهد الانهيار له. وعمل الدياك يشبه عمل عدد 2 موحد زينر متصلين وجهاً لوجه أو خلفاً لخلف. وفيما يلى رمز الدياك (الرمز 1) والرمز المكافئ باستخدام ثنائى زينر متصلين وجهاً لوجه (الرمز 2) والرمز المكافئ باستخدام ثنائى زينر متصلين خلفاً لخلف.



والجدير بالذكر أنه قبل وصول فرق الجهد بين طرفى الدياك لقيمة جهد الانهيار الفوقى  $V_{BO}$  والذى يساوى عادة 32V يمر تيار صغير فى الدياك ويمكن اعتبار الدياك فى حالة قطع، وبمجرد وصول فرق الجهد بين طرفى الدياك لجهد الانهيار الفوقى يتحول الدياك لحالة التوصيل.

والشكل (٢ - ٥٩) يبين منحنى الخواص للدياك، والذى يمثل العلاقة بين التيار المار فى الدياك بأعلى أمبير وفرق الجهد بين طرفى الدياك بالفولت (V).

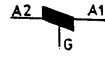


شكل (٢ - ٥٩)

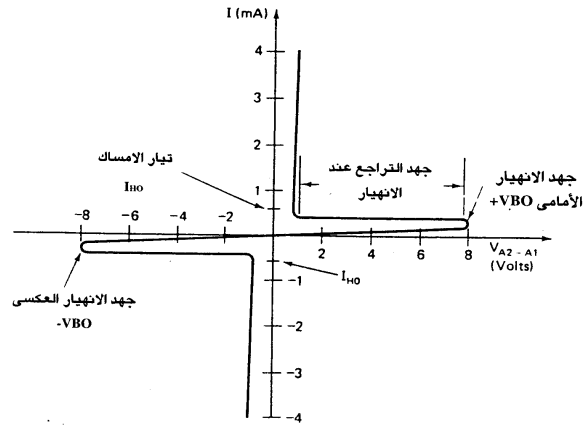
ويمكن اختبار الدياك باستخدام جهاز الأوميتر حيث يعطى قراءة أكبر من  $1\text{ M}\Omega$  في كلا الاتجاهين مع أى قطبية للجهاز.

٢ / ١٢ / ٢ - المفتاح السليكونى الثنائى الاتجاه SBS :

ولهذا العنصر ثلاثة أطراف، وهى المصعد الأول A1، والمصعد الثانى A2، والبوابة G. وفيما يلى رمز المفتاح السليكونى ذى الاتجاهين SBS.



والشكل (٢ - ٦٠) يعرض منحنى الخواص للمفتاح السليكونى الثنائى الاتجاه SBS والتي تمثل العلاقة بين تيار المصعد I وفرق الجهد بين المصعدين A2-A1.  $V_{A2-A1}$



شكل (٢ - ٦٠)

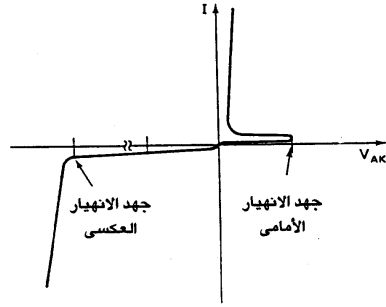
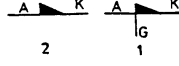
وفيما يلي مميزات SBS :

- ١ - جهد الانهيار الفوقى الذى يعمل عنده SBS يساوى  $\pm 8V$  وهذا صغير بالمقارنة بجهد الانهيار للدداك والذى يساوى  $\pm 32V$ .
- ٢ - ينخفض الجهد بين المصعدين من  $8V$  إلى  $\pm 1V$  بعد الوصول للانهيار الفوقى، أى أن قيمة تراجع الجهد بعد الانهيار Break back Voltage تساوى  $7V$  وهذا غير متحقق بنفس الدرجة فى الدداك (ارجع للشكل ٢ - ٥٨).
- ٣ - يظل المفتاح السليكونى SBS فى حالة وصل بعد وصوله لجهد الانهيار إلى أن يقل تياره عن تيار الإمساك  $I_{HO}$ .
- ٤ - يمكن تخفيض جهد الانهيار الأمامى إلى حوالى  $1V$  وذلك باستخدام موحد زينر، حيث يوصل مصعد ثنائى الزينر ببوابة المفتاح السليكونى SBS، ويوصل مهبط ثنائى الزينر بمصعد المفتاح السليكونى SBS.

٥ - يتميز SBS بأنه مستقر عند درجات الحرارة المختلفة، حيث إن جهد الانهيار الفوقى  $V_{B0}$  يزداد بمقدار  $0.16 \text{ V/100 } ^\circ\text{C}$ .

ويمكن اختبار مفتاح السليكونى SBS باستخدام جهاز الأوميتر، حيث يعطى قراءة أكبر من  $1 \text{ M}\Omega$  فى كلا الاتجاهين مع أى قطبية للجهاز.

٢/١٢/٣ - المفتاح السليكونى الأحادى الاتجاه SUS والموحّد الرباعى الطبقات: المفتاح السليكونى SUS له ثلاثة أطراف، وهى المصعد A، والمهبط K، والبوابة G. أما الموحّد الرباعى الطبقات Four-Layer Diode والذى يطلق عليه أيضاً اسم موحّد شوكلّى Shockley Diode فله طرفان، وهما المصعد A، والمهبط K. وفيما يلى رمز المفتاح السليكونى SUS (الرمز 1) ورمز الموحّد رباعى الطبقات (الرمز 2):



شكل (٢ - ٦١)

والشكل (٢ - ٦١) يعرض منحنى الخواص لكل من المفتاح السليكونى SUS وموحّد شوكلّى.

ويلاحظ من هذه الخواص أن كلا من المفتاح SUS وموحّد شوكلّى يعملان فى الاتجاه الأمامى عند جهد انهيار صغير يساوى 8V، مقارنة بجهد الانهيار الفوقى فى الاتجاه العكسى.



ويمكن تقليل جهد الانهيار الأمامي للمفتاح السليكوني SUS باستخدام ثنائي زينر، بحيث يوصل مصعد الزينر بمهبط SUS ويوصل مهبط الزينر مع بوابة SUS فيهبط جهد الانهيار الأمامي للمفتاح السليكوني SUS ليصل إلى 1V بدلاً من 8V.

وعادة فإن المفاتيح السليكونية SUS الموجودة بالأسواق لها جهد انهيار فوقى يساوى 8V و تيار تشغيل أقل من 1A، وهى تستخدم عادة لإشعال الثايرستور SCR.

أما الموحدات الرباعية الطبقات (موجداث شوكلى) فيكون لها جهد انهيار فوقى يتراوح ما بين 10:400 V وتحمل تيارات نبضية لفترة قصيرة تصل إلى 100 A وتستخدم أيضاً فى دوائر إشعال الثايرستور SCR.

والجدول (٢ - ٢٦) يبين طريقة اختيار كلاً من SUS، والموحّد الرباعى الطبقات باستخدام جهاز الأوميتر.

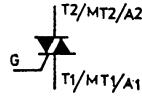
الجدول (٢ - ٢٦)

النتائج المتوقعة	الطرف السالب-للأوميتر يتصل به	الطرف الموجب + للأوميتر يتصل به
مقاومة كبيرة أكبر من $1\text{ M}\Omega$ مقاومة كبيرة أكبر من السابقة وأحياناً يصعب قراءتها ببعض أجهزة الأوميتر	المهبط Cathode المصعد Anode	المصعد Anode المهبط Cathode

#### ٢ / ١٣ - الترياك Triac :

يعتبر الترياك هو أحد العناصر التابعة لعائلة الثايرستور، عدا أنه يتميز عن الثايرستور بأنه يسمح بمرور التيار فى الاتجاهين. وللترياك ثلاثة أطراف تماماً مثل الثايرستور وهى المصعد الأول ويرمز له A1 أو T1 أو MT1، والمصعد الثانى ويرمز له A2 أو T2 أو MT2، والبوابة ويرمز لها G.

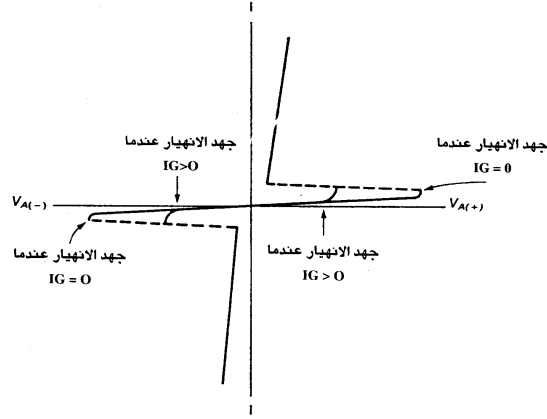
وفيما يلى رمز الترياك :



ويوجد تشابه كبير بين الترياك والثايرستور فى الشكل . والشكل ( ٢ - ٦٢ ) يعرض منحنى الخواص والتي يمثل العلاقة بين التيار وفرق الجهد بين مصعدى الترياك . حيث  $IG_2 > IG_1 > IG_0$  .

وفيما يلى شرح منحنى الخواص للترياك :

١ - إذا كان تيار البوابة  $IG = 0$  فإن الترياك يكون فى حالة قطع Off ، ويكون له معاوقة كبيرة بين المصعدين فإذا زاد الجهد بين المصعدين وصولاً لجهد الانهيار الأمامى  $+V_{B0}$  أو جهد الانهيار العكسى  $-V_{B0}$  يتحول الترياك لحالة الوصل ON ، و يمر تيار المصعد خلال الترياك ، علماً بأن الترياك غير مصمم للعمل بهذه الطريقة ، فقد يؤدى ذلك لانهياره وتلفه .



شكل ( ٢ - ٦٢ )

٢ - يعمل الترياك عند وصول نبضة إشعال للبوابة ، ويوجد أربعة أوجه مختلفة لنبضة الإشعال وهى كما يلى :

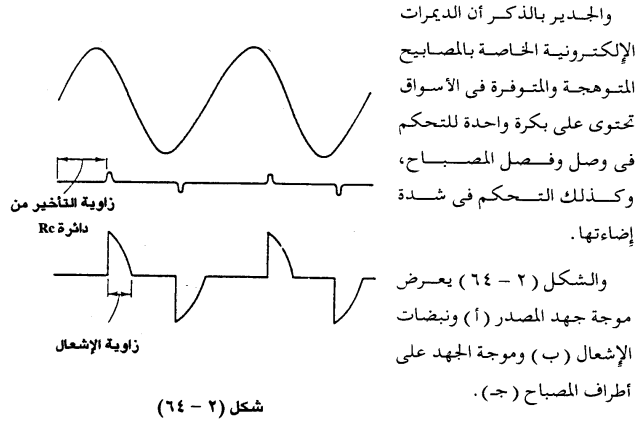
- أ - نبضة إشعال لها جهد موجب وتيار موجب، حيث تكون قطبية MT2, G موجبة ويطلق على هذه الحالة حالة الإشعال I+.
- ب - نبضة إشعال لها جهد سالب وتيار سالب، حيث تكون قطبية MT2 موجبة، وقطبية G سالبة ويطلق على هذه الحالة حالة الإشعال I-.
- ج - نبضة إشعال لها جهد سالب وتيار سالب، حيث تكون قطبية MT2 سالبة، وقطبية G موجبة، ويطلق على هذه الحالة حالة الإشعال III+.
- د - نبضة إشعال لها جهد سالب وتيار سالب، حيث تكون قطبية MT2 سالبة، وقطبية G سالبة ويطلق على هذه الحالة حالة الإشعال III-.
- والجدير بالذكر أن حساسية الترياك تكون أفضل ما يمكن في حالة الإشعال I+, III-، وتكون حساسية الترياك أقل قليلاً في حالة الإشعال I-، وتكون حساسية الترياك أقل ما يمكن في حالة الإشعال III+ لذلك فهذه الحالة نادراً ما تستخدم.
- ٣ - يتحول الترياك لحالة القطع عندما يقل تيار مصعده عن تيار الإمساك IH.
- وهناك بعض القيود في استخدام الترياك للتحكم في الأحمال الكهربائية التي تعمل بالتيار المتردد مثل:
- أقصى تيار تشغيل للترياك حوالي 2000 A
- أقصى جهد عكسي يتحمله الترياك حوالي 1000 V
- أقصى تردد يعمل عنده الترياك حوالي 60 HZ
- لذلك إذا كانت متطلبات الحمل تستلزم مواصفات أعلى من المواصفات السابقة فإنه يستخدم عدد 2 ثايرستور موصولين بالتوازي خلفاً لخلف.
- ٢ / ١٣ / ١ - تطبيقات على استخدام الترياك في التحكم:
- التطبيق الأول:
- الشكل (٢ - ٦٣) يبين دائرة عملية للتحكم في شدة إضاءة مصباح كهربى باستخدام ترياك، يتم إشعاله بدائرة RC ودياك.



وتصل نبضة جهد متأخرة 5V عبر الدياك لبوابة الترياك Q1، تعمل على إشعال الترياك متأخراً فيقل الجهد المشكل على أطراف اللمبة وتنخفض شدة إضاءتها والعكس بالعكس.

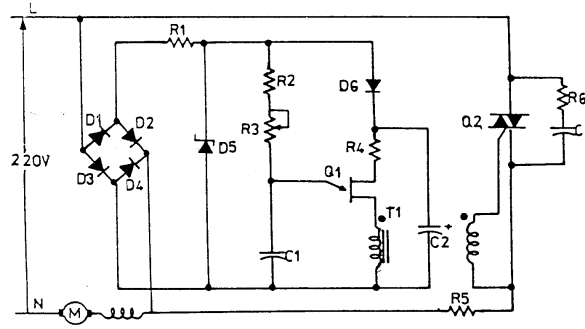
ويعاب على هذه الدائرة ما يعرف بالرجوعية Hysteresis، بمعنى أنه عند ضبط المقاومة RV1 للحصول على إضاءة خافتة، ثم غلق المفتاح S1، فإن المصباح سيضيء بضوء خافت في أول نصف دورة، ولكن سرعان ما يحدث إشعال مبكر يؤدي إلى زيادة شدة إضاءة المصباح بعد ذلك في الدورات التالية، وبالتالي يصبح من المستحيل ضبط شدة إضاءة المصباح منذ البداية، ولكن يجب إعادة ضبط شدة إضاءة المصباح بعد إضاءته بواسطة المقاومة RV1.

ويوضع المكثف C2 والملف L1 للحد من إحداث تداخل مع موجات الراديو RFI والنتائج عن الوصل والفصل السريع للترياك Q1 عند زوايا أكبر من الصفر وأقل من  $180^\circ$ .



### التطبيق الثاني:

الشكل (٢ - ٦٥) يعرض دائرة عملية للتحكم في سرعة محرك عام باستخدام ترياك يتم التحكم فيه بترانزستور أحادي الوصلة مع محول نبضات.



شكل (٢ - ٦٥)

### عناصر الدائرة:

D1-D4	أربع ثنائيات سليكونية طراز 1 N 4004
D5	ثنائي زينتر جهده 5.1V طراز 1 N 751 A
D6	ثنائي سليكوني طراز 1 N 4001
Q1	ترانزستور أحادي الوصلة طراز 2 N 5431
Q2	ترياك طراز 2 N 6346
R1	مقاومة 35 K $\Omega$ وقدرتها 3 W
R2	مقاومة كربونية 39 K $\Omega$

R3	مقاومة متغيرة 50 K $\Omega$
R4	مقاومة كربونية 330 $\Omega$
R5	انظر الشرح
R6	مقاومة كربونية 100 $\Omega$
C1	مكثف كيميائي 0.1 $\mu$ f وجهد 10 V
C2	مكثف كيميائي 10 $\mu$ f وجهد 10 V
C3	مكثف كيميائي 0.1 $\mu$ f وجهد 400 VAC
T1	محول نبضات طراز 'SPRAGUE (11Z12)

#### نظرية التشغيل:

يقوم ثنائي الزينر D5 بتثبيت جهد الموجة الموحدة بواسطة القنطرة المؤلفة من الثنائيات D1-D4 ليساوى 5.1 V

وبمجرد تشكل جهد على أطراف ثنائي الزينر يشحن المكثف C1 عبر R2, R3، وبمجرد وصول الجهد على أطراف C1 لجهد إشعال الترانزستور الأحادي الوصلة Q1 تخرج نبضة للجانب الابتدائي لمحول النبضات، وتنقل للجانب الثانوي ليشتعل الترياك. ويمكن التحكم فى زاوية إشعال الترياك بواسطة المقاومة المتغيرة R3.

والشكل (٢ - ٦٦) يعرض موجة الجهد على أطراف ثنائي الزينر D5 (أ) وموجة الجهد على أطراف المكثف C1 (ب). وموجة التيار فى الجانب الثانوي لمحول النبضات (ج) وموجة الجهد على أطراف المحرك (S).

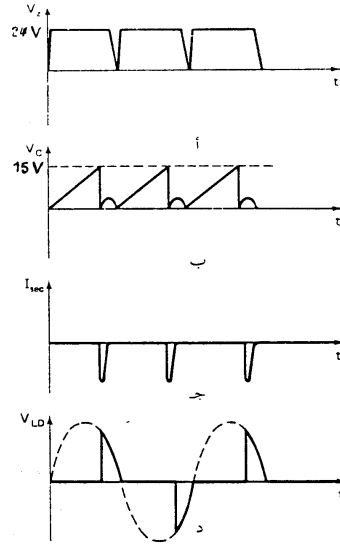
والجدير بالذكر أن قيمة R5 تعتمد على شدة تيار المحرك.

والجدول (٢ - ٢٧) يبين قيمة المقاومة R5 عند قيم مختلفة لشدة تيار المحرك، ويمكن تعيين قيمة المقاومة R5 من المعادلة التالية:  $R5 = \frac{2}{I_M}$

حيث إن:  $I_M$  هى القيمة العظمى لتيار المحرك.

الجدول (٢ - ٢٧)

شدة التيار	$R_5$	
	القيمة	القدرة
2	1	5
3	0.67	10
6.5	0.32	15



شكل (٢ - ٦٦)



٢ / ١٣ / ٢ - جداول اختيار الترياك:

فيما يلي أهم الرموز المستخدمة في ورق بيانات الترياقات:

$I_T$  القيمة الفعالة لتيار الترياك

$V_{RRM}$  الجهد الأقصى المتكرر الذى يتحمله الترياك بدون أن يشتعل ذاتياً

$V_{GT}$  جهد إشعال البوابة الأدنى

$I_{GT}$  تيار إشعال البوابة الأدنى

والجدول (٢ - ٢٨) يعرض بعض الترياقات التى يكثر استخدامها وخواصها الفنية.

الجدول (٢ - ٢٨)

الطراز	$I_T$	$V_{RRM}$	$V_{GT}$	$I_{GT}$
TIC 206 M	4 A	600 V	2 V	5 mA
TIC 216 M	6 A	600 V	3 V	5 mA
TIC 225 M	8 A	600 V	2 V	20 mA
TIC 226 M	8 A	600 V	2 V	50 mA
TIC 236 M	12 A	600 V	2 V	50 mA
TIC 246 M	16 A	600 V	2 V	50 mA
BT 139	15 A	600 V	1.5 V	5 mA

٢ / ١٣ / ٣ - اختبار صلاحية الترياك:

الجدول (٢ - ٢٩) يبين طريقة اختبار الترياك باستخدام جهاز الأوميتر.

الجدول (٢ - ٢٩)

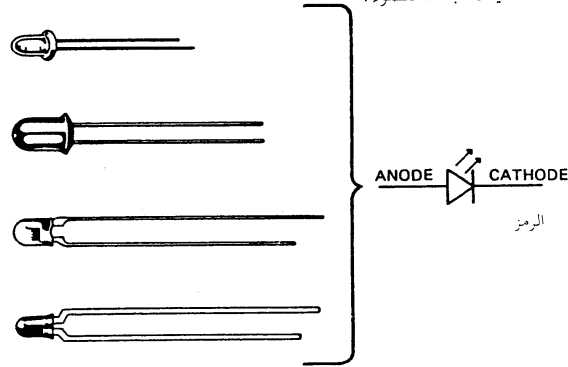
النتائج المتوقعة	الطرف السالب - للأومتر يتصل به	الطرف الموجب + للأومتر يتصل به
مقاومة أكبر من $1 M\Omega$ وتقل كلما زاد تيار الترياك	المصعد أو المهبط	المصعد أو المهبط
مقاومة صغيرة	المصعد 1 البوابة	البوابة Gate
مقاومة صغيرة	البوابة Gate	المصعد 1 Anode1
مقاومة كبيرة	المصعد 2 البوابة	البوابة Gate
مقاومة كبيرة	البوابة Gate	المصعد 2 Anode2

#### ٢ / ١٤ - الإلكترونيات الضوئية:

إن جميع أشباه الموصلات تتفاعل مع الضوء لحد ما، مما دفع المصممين لتصميم بعض العناصر الإلكترونية لتعمل كحساسات ضوئية أو باعثة للضوء، وسوف نتناول العناصر الإلكترونية الضوئية في الفقرات التالية.

#### ٢ / ١٤ / ١ - الثنائي الباعث للضوء LED:

يشبه الثنائي الباعث للضوء LED لحد كبير اللمبات الصغيرة، ويتواجد بالوان مختلفة، وهو يستخدم كلمبة إشارة. والشكل (٢ - ٦٧) يعرض رمزا وأشكالاً مختلفة للثنائيات الباعثة للضوء.



شكل (٢ - ٦٧)

ينبعث -عادة- ضوء من LED عندما يكون منحازاً أمامياً بجهد أكبر من 2V، أما عندما يكون LED منحازاً أساسياً فإنه لا يمرر تيار وبالتالي لا يضيء. وتوجد ألوان مختلفة من الثنائيات الباعثة للضوء مثل الأحمر والأصفر والبرتقالي والأخضر والأزرق، وتعتمد شدة إضاءة LED على شدة التيار المار فيه والتي تتراوح ما بين (5: 25 mA).

وهناك نوعان من الثنائيات الباعثة للضوء، تبعاً لنوع الضوء المنبعث وهما:  
ثنائيات باعثة للضوء المرئي VLED.

ثنائيات باعثة للضوء غير المرئي مثل الأشعة تحت الحمراء IRLED. وتوصل -عادة- مقاومة على التوالي مع LED لتحديد شدة التيار المار. والمجدول (٢ - ٣٠) يبين قيم المقاومة التي توصل بالتوالي مع LED عند الجهود المختلفة، علماً بأنه توجد ثلاثة أنواع من الثنائيات الباعثة للضوء: الأولى منخفضة القدرة تيارها (5 mA). والثانية قياسية وتيارها (10 mA) والثالثة عالية القدرة وتيارها (20mA).

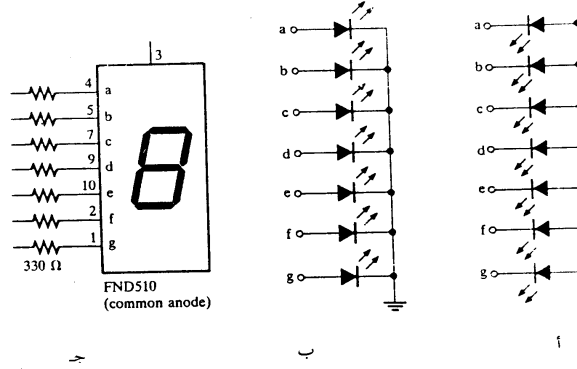
المجدول (٢ - ٣٠)

ثنائي عالي القدرة	ثنائي قياسي	ثنائي منخفض	جهد الإمداد (V)
56 Ω	180 Ω	220 Ω	3 V
150 Ω	270 Ω	680 Ω	5 V
220 Ω	390 Ω	820 Ω	6 V
390 Ω	680 Ω	1.5 K Ω	9 V
560 Ω	1 K Ω	2.2 K Ω	12 V
680 Ω	1.2 K Ω	2.7 K Ω	15 V
820 Ω	1.5 K Ω	3.3 K Ω	18 V
1.2K Ω	2.2 K Ω	4.7 K Ω	24 V

وتستخدم الثنائيات الباعثة للضوء على نطاق واسع في صناعة وحدات العرض الرقمية ذات السبع شرائح seven segment displays، والتي تستخدم في أجهزة القياس والحاسبات الإلكترونية والساعات الرقمية.. إلخ.

وتتكون وحدة العرض الرقمية من 7 ثنائيات باعثة للضوء مبططة، وهي تتواجد في صورتين، إما بمصعد مشترك Common Anode أو مهبط مشترك Common Cathode.

والشكل (٢ - ٦٨) يعرض شكل دائرة وحدة عرض رقمية بمصعد مشترك (أ)، ودائرة وحدة عرض رقمية ذات مهبط مشترك (ب)، وشكل تخطيطي لوحدة عرض رقمية بمصعد مشترك طراز FND510، بحيث توصل مهابط الثنائيات السبعة بمقاومات  $330\Omega$  لتحديد التيار. عندما يكون جهد الإمداد +5V.



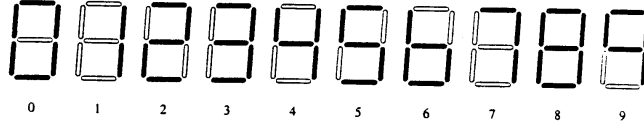
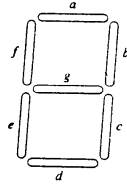
شكل (٢ - ٦٨)

والجدول (٢ - ٣١) يبين طريقة استخدام وحدات العرض ذات الشرائح السبعة ذات المصعد المشترك والمهبط المشترك.

الجدول ( ٢ - ٣١ )

الرقم الظاهر	الثنائيات المضيئة	جهد أطراف الثنائيات المضيئة	
		مصعد مشترك	مهبط مشترك
0	a,b,c,d,e,f	+ Vcc	أرضى
1	b,c	+ Vcc	أرضى
2	a,b,g,e,d	+ Vcc	أرضى
3	a,b,c,d,g	+ Vcc	أرضى
4	b,c,f,g	+ Vcc	أرضى
5	a,c,d,f,g	+ Vcc	أرضى
6	c,d,e,f,g	+ Vcc	أرضى
7	a,b,c	+ Vcc	أرضى
8	a,b,c,d,e,f,g	+ Vcc	أرضى
9	a,b,c,f,g	+ Vcc	أرضى

والشكل ( ٢ - ٦٩ ) يبين كيفية الحصول على الأعداد 0-9 على وحدة عرض رقمية .



شكل ( ٢ - ٦٩ )

والجدول ( ٢ - ٣٢ ) يبين بعض الطرازات المختلفة لوحدة العرض الرقمية وخواصها الفنية .

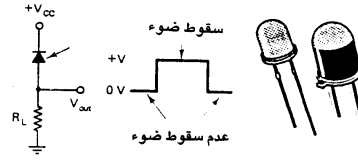
الجدول ( ٢ - ٣٢ )

الطراز	الطول ( بوصة )	نوع التوصيلة	عدد الأرقام	أقصى تيار للشريحة (mA)	أقصى جهد للشريحة (V)
NTE 3050	0.27	مصعد مشترك	واحد	30	10
NTE 3052	0.3	مصعد مشترك	واحد	30	5
NTE 3056	0.3	مهبط مشترك	واحد	30	6
NTE 3061	0.3	مصعد مشترك	واحد	30	6
NTE 3068	0.4	مصعد مشترك	واحد	30	6
NTE 3071	0.4	مهبط مشترك	واحد	30	6
NTE 3074	0.56	مصعد مشترك	اثنان	30	6
NTE 3075	0.56	مهبط مشترك	اثنان	30	6

#### ٢ / ١٤ / ٢ - الثنائي الضوئي (LAD) Light Activated Diode :

يطلق على الثنائي الضوئي أحياناً Photo Diode، وهو يشبه الثنائي العادي، عدا أنه يحتوى على سطح زجاجي يسمح بسقوط الضوء على الوصلة الثنائية له . ويعمل هذا الثنائي طبيعياً فيسمح بمرور التيار عند تعرضه لانحياز أمامي ويمنع مرور التيار عند تعرضه لانحياز عكسي، ولكن بمجرد تعرض الثنائي الضوئي لشعاع ضوئي فإنه يسمح بمرور التيار عند تعرضه لانحياز عكسي، ويزداد التيار المار كلما زادت شدة الشعاع الضوئي الساقط عليه .

والشكل ( ٢ - ٧٠ ) يعرض نماذج لثنائيات ضوئية، وكذلك طريقة استخدام الثنائي الضوئي للعمل في الانحياز العكسي أثناء تعرضه لشعاع ضوئي :



شكل (٢ - ٧٠)

فعند تعرض الثنائي الضوئي لشعاع ضوئي خارجي يتحول الحاله الوصل فيصبح الجهد الخارج  $V_{out}$  مساويا  $(V_{cc}-V_R)$ ، حيث إن  $V_{cc}$  هو جهد المنبع،  $V_R$  هو فقد الجهد في الثنائي الضوئي عند الانحياز العكسي.

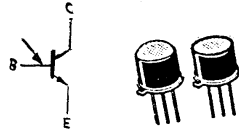
والجدول (٢ - ٣٣) يعرض عدة طرازات للثنائيات الضوئية وخواصها الفنية.

الجدول (٢ - ٣٣)

الطراز	BPW 43	BP 24	BP 21
تيار الإعتم	أصغر من 4 mA	أصغر من 5 mA	أصغر من 2mA
الجهد العكسي (VR)	10 V	10 V	5 V

#### ٢ / ١٤ / ٣ - الترانزستور الضوئي Photo transistor :

وهو يشبه الترانزستور العادي، فيما عدا احتوائه على سطح زجاجي يسمح بسقوط الشعاع الضوئي على وصلة الترانزستور. والشكل (٢ - ٧١) يعرض نماذج لترانزستورات ضوئية وكذلك رمزها.



ويمكن استخدام الترانزستور الضوئي كترانزستور معتاد في منطقة مظلمة، حيث يزداد  $I_C$  (تيار المجمع) بزيادة  $I_B$  (تيار القاعدة)، وتكون النسبة بينهما مساوية لمعامل كسب التيار  $h_{FE}$ ، أي أن:

شكل (٢ - ٧١)

$$\beta = h_{FE} = \frac{I_C}{I_B}$$

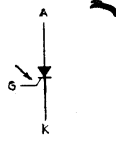
أما إذا لم تستخدم قاعدة الترانزستور وتعرض الترانزستور لشعاع ضوئي، فإن  $I_C$  سوف يزداد بزيادة شدة الشعاع الضوئي والعكس بالعكس .

علماً بأنه يوجد ترانزستور دار لنجتون ضوئي يستخدم في دوائر القدرة، ويوجد طرازات كثيرة من الترانزستورات الضوئية على سبيل المثال Bpw 14 B، Bpw 13 A، وهي تستخدم كحساسات في دوائر التحكم الإلكترونية.

#### ٢ / ١٤ / ٤ - الثايرستور الضوئي Light- Activated SCR :

يشبه الثايرستور الضوئي الثايرستور العادي في عمله، عدا أنه يحتوى على سطح زجاجي يسمح لسقوط شعاع ضوئي على وصلته، ويعمل الثايرستور الضوئي (LASCR) كعنصر إمساك، فبمجرد سقوط شعاع ضوئي عليه يحدث إشعال للثايرستور، ولا يمكن إطفاء الثايرستور في هذه الحالة إلا بتقليل تيار المصعد عن تيار الإمساك للثايرستور Holding Current، ويمتاز الثايرستور الضوئي بقدرته على حمل تيارات لا يقدر على حملها كلاً من الثنائي الضوئي والترانزستور الضوئي .

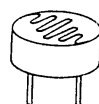
ويوصل -عادة- مكثف بين مصعد ومهبط الثايرستور الضوئي لمنع الإشعال الكاذب للثايرستور، ويستخدم -عادة- الثايرستور الضوئي كحساس للضوء في دوائر التحكم . وفيما يلي رمز الثايرستور الضوئي (LASCR) .



#### ٢ / ١٤ / ٥ - المقاومة الضوئية LDR :

تصنع المقاومة الضوئية من مواد شبه موصلة مثل سليينيد الكاديوم، وتغطى بالسيرياميك، وتوضع داخل غلاف زجاجي، وتتغير مقاومة LDR عند تعرضها لشعاع ضوئي فتقل المقاومة من عدة ميغا أوم إلى عدة كيلو أوم؛ لذلك فهي





تستخدم أحياناً في بناء مجزئات الجهد عند الحاجة لخرج يعتمد على شدة الضوء. والشكل (٧٢ - ٢) يعرض رمزاً ونموذجاً لمقاومة ضوئية.

شكل (٧٢ - ٢)

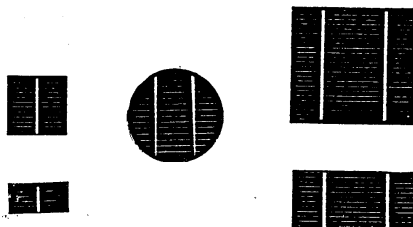
والجدول (٣٤ - ٢) يعرض خواص بعض طرازات للمقاومات الضوئية.

الجدول (٣٤ - ٢)

المقاومة عند تعرضها لضوء شدته 1000 lux	المقاومة في الظلام	قطر عدسة المقاومة Ø
300 Ω	5 M	7 mm
300 Ω	5 M	10 mm
250 Ω	6 M	15 mm
220 Ω	6 M	20 mm
200 Ω	6 M	25 mm

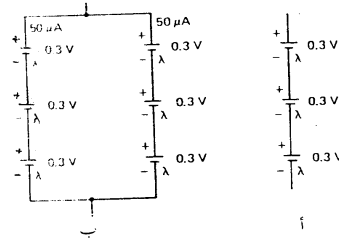
٢ / ١٤ / ٦ - الخلايا الشمسية Solar Cells:

تقوم الخلايا الشمسية بتوليد جهد على أطرافها يتناسب مع شدة الشعاع الضوئي الساقط عليها، ويتراوح هذا الجهد من 0.25: 0.6 V للخلية الواحدة، وتصل شدة التيار للخلية الواحدة إلى 50μA. والشكل (٧٣ - ٢) يعرض نماذج مختلفة.



شكل (٧٣ - ٢)

ويوضع - عادة - الحرف  $\lambda$  بجوار البطارية للدلالة على أنها تمثل خلية ضوئية، ويتوصيل عدة خلايا ضوئية على التوالي يمكن زيادة الجهد المحصل، ويمكن زيادة التيار المحصل بتوصيل عدة خلايا شمسية على التوازي. والشكل (٢ - ٧٤) يبين طريقة توصيل ثلاث خلايا شمسية على التوالي للحصول على جهد 0.9 V والتيار (50  $\mu$ A) الشكل (P)، وطريقة توصيل ست خلايا شمسية للحصول على جهد 0.9 V. والتيار 100  $\mu$ A الشكل (ب).



شكل (٢ - ٧٤)

والجدول (٢ - ٣٥) يعرض خواص بعض الطرازات المختلفة للخلايا الشمسية.  
حيث إن:

$I_{max}$  أقصى تيار للخلية الشمسية  
 $V$  جهد أطراف الخلية الشمسية

الجدول (٢ - ٣٥)

الطراز	الأبعاد mm X mm	$I_{max}$ (mA)	$V$ (mV)
SOL 19-6	19 x 6	25	450
SOL 25-50 p	25 x 50	300	450
SOL 50-50 p	50 x 50	600	450
SOL 50-100 p	50 x 100	1200	450
SOL 3	76 mm $\phi$	1200	450
SOL 100-100 p	100 x 100	2400	450

## ٢ / ١٤ / ٧ - عناصر الارتباط الضوئية العازلة Photo Coupled Isolator :

يتكون عنصر الارتباط الضوئي العازل من ثنائي باعث للمضوء وعنصر إحساس ضوئي مثل مقاومة ضوئية أو ترانزستور ضوئي أو ثايرستور ضوئي ... إلخ. وتستخدم عناصر الارتباط الضوئي العازلة في عزل دوائر التحكم عن الدوائر الرئيسية لدواعي الحماية. والشكل (٢ - ٧٥) يعرض نموذجاً لعنصر ارتباط ضوئي عادي (أ)، ونموذجاً لعنصر ارتباط ضوئي بمجرى Slot.



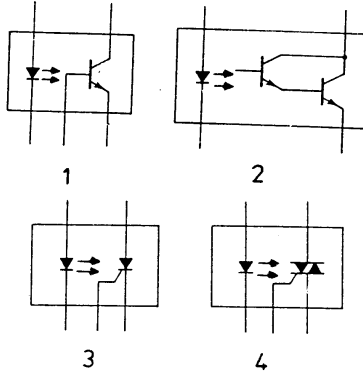
ب



أ

شكل (٢ - ٧٥)

وفيما يلي رموز عناصر الارتباط الضوئي العازلة:



فالرمز 1 الوحدة ارتباط ضوئي بخرج ترانزستور ضوئي .

والرمز 2 لوحدة ارتباط ضوئي بخرج ترانزستور دار لنجتون .

والرمز 3 لوحدة ارتباط ضوئي بخرج (LASCR) .

والرمز 4 لوحدة ارتباط ضوئي بخرج ترياك ضوئي .

والجدول ( ٢ - ٣٦ ) يبين خواص بعض طرازات لوحدة ارتباط ضوئي بخرج ترانزستور .

حيث إن :

Vis	جهد العزل
CTR%	نسبة التحويل وتساوى $(\frac{I_o}{I_i} \times 100)$
I <sub>o</sub>	تيار الخرج
I <sub>i</sub>	تيار الدخل

الجدول ( ٢ - ٣٦ )

الطراز	4 N 25	4 N 26	4 N 27	4 N 35	4 N 37	4 N* 32	4 N* 33
Vis (dc)	2500	1500	1500	3500	1500	2500	1500
CTR %	> 50	> 50	> 30	> 100	> 100	> 500	> 500

\* وحدة ارتباط ضوئي بخرج ترانزستور دار لنجتون.

والجدول ( ٢ - ٣٧ ) يبين خواص طرازين لوحدة ارتباط ضوئي بخرج ترياك .

وحيث إن :

V <sub>f</sub> (max)	جهد الانحياز الأمامي الأقصى للثنائي الباعث للضوء
V <sub>R</sub> (max)	جهد الانحياز الأقصى للثنائي الباعث للضوء
I <sub>f</sub> max	التيار الأمامي الأقصى للثنائي الباعث للضوء
V <sub>RRM</sub>	الجهد العكسي الأقصى المتكرر للترياك
IGT	تيار البوابة الأدنى للترياك

$V_{GT}$	جهد البوابة الأدنى للترياك
$V_{is}$	جهد العزل الأقصى للوصلة
$I_i$	تيار الدخول اللازم لإشعال الترياك

الجدول (٢ - ٣٧)

الطراز	خواص الثنائي الباعث للضوء			خواص الترياك الضوئي			خواص الوصلة	
	$I_F(max)$	$V_R(max)$	$V_F(max)$	$V_{RRM}$	$I_{GT}$	$V_{GT}$	$V_{is}$	$I_i$
MOC 3010	50 mA	3 V	1.5 V	250 V	-	3 V	7500 V	15 mA
MOC 3020	50 mA	3 V	1.5 V	400 V	100 mA	3 V	7500 V	30 mA

#### ٢ / ١٤ / ٨ - اختبار العناصر الإلكترونية الضوئية:

يتم اختبار معظم العناصر الإلكترونية الضوئية بجهاز الأوميتر، فمثلاً: يمكن اختبار الثنائي الباعث للضوء LED بجهاز الأوميتر بنفس طريقة اختبار الثنائي العادي، حيث يعطى مقاومة صغيرة عندما يكون منحازاً أمامياً، ويعطى مقاومة كبيرة عندما يكون منحازاً عكسياً.

وكذلك يمكن اختبار الترانزستور الضوئي بالأوميتر، حيث يعطى مقاومة صغيرة بين المجمع والباعث عند تعرضه للضوء، ويعطى مقاومة كبيرة بين المجمع والباعث عند حجب الضوء عنه.

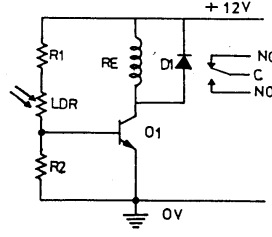
وأيضاً، يمكن اختبار الثايرستور الضوئي بالأوميتر، فيعطى مقاومة صغيرة عندما يكون منحازاً أمامياً، أى موجب الأوميتر يتصل بالمصعد وسالب الأوميتر يتصل بالمهبط، وذلك أثناء تعرضه للضوء، ويعطى مقاومة كبيرة عند حجب الضوء عنه.

وأيضاً، يمكن اختبار المقاومة الضوئية بالأوميتر، فتعطى مقاومة صغيرة عند تعرضها للضوء ومقاومة كبيرة عند حجب الضوء عنها.

فى حين يتم اختبار الخلايا الشمسية بجهاز الفولتميتر حيث يتشكل جهد على أطرافها عند تعريضها للضوء، ويتلاشى الجهد من على أطرافها عند حجبها عن الضوء.

التطبيق الأول:

الشكل (٢ - ٧٦) يعرض دائرة عملية لحلية ضوئية تستخدم في التحكم في إضاءة لمبات الشوارع.



شكل (٢ - ٧٦)

عناصر الدائرة:

R1	مقاومة كربونية 560 $\Omega$
R2	مقاومة كربونية 4.7 $\Omega$
LDR	مقاومة ضوئية
Q1	ترانزستور NPN طراز 2 N 3904
D1	ثنائي سليكوني طراز 1 N 4001
RE	ريلاى يعمل عند جهد 12 V ومقاومته أقل من 120 $\Omega$

نظرية التشغيل:

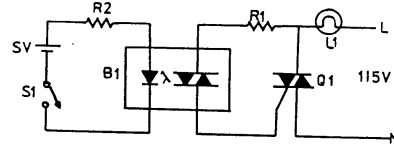
تعمل المقاومات R1, R2, LDR كمجزئ جهد يتحكم في جهد قاعدة الترانزستور Q1. وعند الظلام فإن المقاومة الضوئية LDR يكون لها مقاومة كبيرة

جداً، وبالتالي يصبح جهد قاعدة الترانزستور  $Q_1$  صفراً، وتباعاً يصبح الترانزستور  $Q_1$  والريلاي RE في حالة فصل OFF.

وفي ضوء النهار فإن المقاومة الضوئية LDR يكون لها مقاومة صغيرة فنصبح المقاومة  $R_2$  أكبر من المقاومة  $(R_1 + LDR)$ ، وتباعاً يزداد جهد قاعدة الترانزستور  $Q_1$ ، فيتحوّل الترانزستور لحالة الوصل ON، وتباعاً يعمل الريلاي RE فيغلق الريلاي ريشته المفتوحة والموصلة بالتوالي مع المصباح فيضيء المصباح.

التطبيق الثاني:

الشكل (٢ - ٧٧) يوضح طريقة استخدام وحدة الارتباط الضوئي MOC 3011 في عزل دائرة التحكم عن الدائرة الرئيسية.



شكل (٢ - ٧٧)

عناصر الدائرة:

$R_1$	مقاومة كربونية $47 \Omega$
$R_2$	مقاومة كربونية $360 \Omega$
$Q_1$	ترياك طراز 2 N6342A
$B_1$	وحدة ارتباط ضوئية طراز MOC 3011
$S_1$	مفتاح قطب واحد سكة واحد
$L_1$	مصباح كهربى

#### نظرية التشغيل :

عند غلق المفتاح  $S_1$  فإن وحدة الارتباط الضوئي  $B_1$  سوف تعمل نتيجة مرور تيار كهربى فى الشئائى المشع لها، وبالتالى يتحول تريك وحدة الارتباط الضوئى لحالة الوصل، ويصبح كما لو كان مفتاحاً مغلقاً، وينشأ عن ذلك تولد فرق جهد بين البوابة  $G$  والقاعدة  $T_2$  للتريك الرئيسى  $Q_1$ ، فيتحول التريك الرئيسى لحالة الوصل وتضىء اللمبة  $L_1$ ، وتظل اللمبة  $L_1$  مضيئة طالما أن المفتاح  $S_1$  مغلق، ولكن بمجرد فتح المفتاح  $S_1$  يتحول تريك وحدة الارتباط الضوئى لحالة القطع مما يؤدى لاختفاء فرق الجهد بين البوابة  $G$  والقاعدة  $T_2$  للتريك الرئيسى، فيتحول هو الآخر لحالة القطع وينطفئ المصباح  $L_1$ .



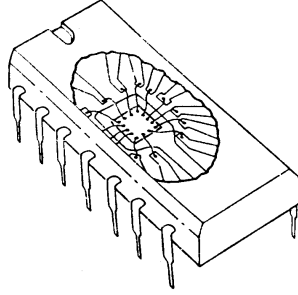
**الباب الثالث**  
**الإلكترونيات الرقمية**



## الإلكترونيات الرقمية

٣ / ١ - مقدمة :

يمكن تقسيم الدوائر الإلكترونية المتكاملة إلى نوعين أساسيين، وهما الدوائر المتكاملة التناظرية (الخطية) Analogue Ic, S والدوائر المتكاملة الرقمية Digital Integrated circuits وتبنى الدوائر المتكاملة بصفة عامة باستخدام مجموعة من العناصر الإلكترونية مثل: المقاومات، المكثفات، والثنائيات، والترانزستورات، وتوصل هذه العناصر مع بعضها على رقيقة سليكونية صغيرة جداً، وتحاط هذه الرقيقة بغلاف لدن له أرجل للتوصيل. ويوجد أشكال مختلفة للدوائر المتكاملة وأكثرها انتشاراً الدوائر المتكاملة DIL وهي اختصار لـ Dual in Line وهي دوائر متكاملة بصفين من الأرجل على جانبيها، المسافة بين كل رجل والأخرى 0.1 بوصة، والشكل (٣ - ١) يبين مجسماً لهذا النوع من الدوائر المتكاملة.



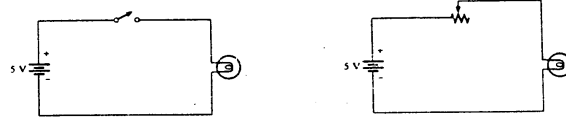
شكل (٣ - ١)

وعادة فإن الدوائر المتكاملة DIL تتواجد بأعداد مختلفة من الأرجل مثل: (8, 14, 16, 28, 40) ، وتختلف الدوائر المتكاملة التناظرية والدوائر المتكاملة الرقمية في طبيعة الجهود التي تتعامل معها .

فبالنسبة لجهود الدخل والخرج للدوائر التناظرية تكون جهود تناظرية في حين أن جهود الدخل والخرج للدوائر الرقمية تكون على هيئة إشارات رقمية . والمثال التالي سيوضح الفرق بين الجهد التناظري وإشارة الجهد الرقمية .

وفي الشكل ( ٣ - ٢ ) دائرتان للتحكم في مصباح كهربي . ففي الشكل ( أ ) يتم التحكم في شدة إضاءة المصباح بتغيير قيمة مقاومة متغيرة موصلة بالتوالي مع المصباح . وفي الشكل ( ب ) يتم إضاءة أو إطفاء المصباح بواسطة مفتاح يدوي موصل على التوالي مع المصباح .

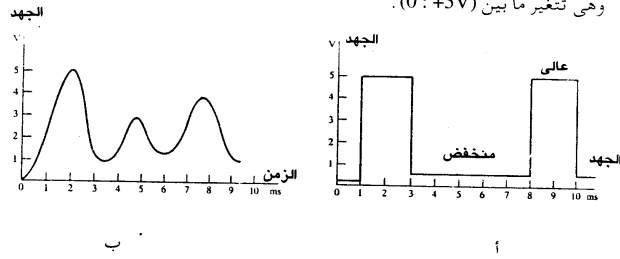
ويقال : إن جهد المصباح في الدائرة ( أ ) جهد تناظري لأن قيمته تتغير بتغير قيمة المقاومة المتغيرة ، وأقصى قيمة لهذا الجهد التناظري هو جهد البطارية ، بينما يقال : إن مصباح الدائرة ( ب ) يتعرض لإشارة جهد رقمية ، حيث إن لها حالتين فقط ، وهما : الأولى : وقيمتها تساوي جهد البطارية عند غلق المفتاح ، وتعمل على إضاءة المصباح ، ويقال عن هذه الحالة : الحالة العالية ( H ) أو الحالة المنطقية ( 1 ) ، أما الحالة الثانية : فإن قيمتها تساوي صفراً ، وتعمل على إطفاء المصباح ويقال عن هذه الحالة : الحالة المنخفضة ( L ) أو الحالة المنطقية ( 0 ) .



شكل ( ٣ - ٢ )

والشكل (٣ - ٣) يبين الفرق بين إشارة الجهد الرقمية وإشارة الجهد التناظرية  
ففى الشكل (أ) إشارة جهد رقمية ولها قيمتان وهما إما  $+5V$  ويقال عنها  
عال (High) أو (1) والقيمة الثانية القريبة من الصفر ويقال عنها منخفض  
(LOW) أو (0).

أما الشكل (ب) فيعرض إشارة جهد تناظرية ولها قيم مختلفة من لحظة لأخرى،  
وهى تتغير ما بين  $(0 : +5V)$ .



شكل (٣ - ٣)

### ٣ / ٢ - الدوائر المتكاملة الرقمية:

تنقسم الدوائر المتكاملة الرقمية إلى مجموعة من العائلات تبعاً لنوع العناصر  
المستخدمة فى بنائها. وفيما يلي بعض هذه العائلات:

أ - عائلة RTL      ب - عائلة DTL      ج - عائلة TTL

د - عائلة ECL      هـ - عائلة CMOS

وأكثر هذه العائلات استخداماً فى الوقت الراهن عائلة TTL، ثم عائلة  
الCMOS.

### ٣ / ٢ / ١ - الدوائر المتكاملة الرقمية (عائلة TTL):

ويستخدم فى بنائها ترانزستورات ثنائية القطبية BJT، ولكنها تحتوى على أكثر  
من باعث. وتنقسم هذه العائلة إلى عدة سلاسل أكثرها انتشاراً السلسلة 54،

وتستخدم فى الاستخدامات العسكرية، والسلسلة 74، وتستخدم فى الاستخدامات العامة ويندرج تحت هاتين السلسلتين سلاسل أخرى فرعية مثل:

١ - السلسلة القياسية SN54.. / SN74..

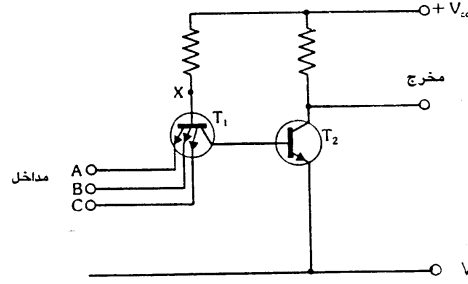
٢ - سلسلة استهلاك القدرة المنخفضة SN54L.. / SN74L..

٣ - سلسلة السرعة العالية SN54H.. / SN74H..

٤ - سلسلة شوتكى SN54S.. / SN74S..

٥ - سلسلة استهلاك القدرة المنخفضة والتي تحتوى على وصلة شوتكى عند المداخل SN54LS.. / SN74LS..

والشكل (٣ - ٤) يعرض الدائرة الداخلية لبوابة NAND بثلاثة مداخل تندرج تحت عائلة TTL.



شكل (٣ - ٤)

فعندما تكون المداخل A, B, C عند الحالة 0 أى لها جهود تقترب من 0V حينئذ فإن الترانزستور T1 سيصبح منحازاً أمامياً، ويصبح هذا الترانزستور فى حالة تشبع. وبالتالي فإن جهد المجمع سيصبح مساوياً لجهد المداخل A, B, C ، أى قريباً من الصفر.

وحيث إن مجموع  $T_1$  متصل بقاعدة  $T_2$  لذا يصبح  $T_2$  فى حالة قطع OFF ،  
وينتقل الجهد  $V_{CC} +$  الذى يساوى  $+5V$  إلى المخرج output وتصبح حالة المخرج عالية  
أى (1) وجهده يقترب من  $+5V$  .

وعندما تكون المداخل A,B,C عند الحالة المنطقية (1) أى عند جهد يقترب من  
 $+5V$  حينئذ يصبح  $T_1$  فى حالة قطع، وبالتالي يصبح جهده مجمعا مرتفعاً فيتحول  
الترانزستور  $T_1$  لحالة التشبع ويصبح جهد المخرج out put يقترب من  $OV$  .

وهناك بعض التعبيرات الشائعة للجهود والتيارات للدوائر المتكاملة الرقمية أهمها :  
١ - تيار الدخل العالى ( $I_{IH}$ ) : وهو تيار الدخل عندما تكون حالة إشارة الدخل عالية  
(1) .

٢ - تيار المخرج العالى ( $I_{OH}$ ) : وهو تيار المخرج عندما تكون حالة إشارة المخرج عالية (1) .

٣ - تيار الدخل المنخفض ( $I_{IL}$ ) : وهو تيار الدخل عندما تكون حالة إشارة الدخل  
منخفضة (0) .

٤ - تيار المخرج المنخفض ( $I_{OL}$ ) : وهو تيار المخرج عندما تكون حالة إشارة المخرج  
منخفضة (0) .

٥ - جهد المصدر ( $V_{CC}$ ) : وهو جهد منبع التيار المستمر، الذى تعمل عنده الدائرة  
المتكاملة .

٦ - جهد إشارة الدخل العالية ( $V_{IH}$ ) : وهو قيمة جهد إشارة الدخل الذى تتعامل  
معه الدائرة المتكاملة على أنه إشارة منطقية عالية .

٧ - جهد إشارة المخرج العالية ( $V_{OH}$ ) : وهو قيمة جهد إشارة المخرج للدائرة المتكاملة  
عند الحالة المنطقية العالية (1) .

٨ - جهد إشارة الدخل المنخفضة ( $V_{IL}$ ) : وهو قيمة جهد إشارة الدخل التى تتعامل  
معه الدائرة المتكاملة كحالة منطقية منخفضة (0) .

٩ - جهد إشارة المخرج المنخفضة ( $V_{OL}$ ) : وهو أعلى قيمة لجهد المخرج عند الحالة  
المنخفضة (0) .

- ١٠ - تأخير الانتشار Propagation delay time (tp): وهو الزمن المار من لحظة حدوث تغير في المداخل للحظة حدوث تغير في حالة المخرج ووحدته نانوثانية.
- ١١ - القدرة المستهلكة في البوابة Pd وتحسب بالملي وات (mw).
- والجدول (٣ - ١) يبين مقارنة بين السلاسل المختلفة لعائلة TTL.

الجدول (٣ - ١)

وجه المقارنة	7400	74H..	74L..	74LS..	74S..
V <sub>CC</sub> min (V)	4.5	4.5	4.5	4.5	4.5
V <sub>CC</sub> max (V)	5.5	5.0	5.5	5.5	5.5
V <sub>IL</sub> (V)	0.7	0.8	0.8	0.8	0.8
V <sub>IH</sub> (V)	2	2	2	2	2
V <sub>OH</sub> (V)	0.4	0.4	0.4	0.4	0.5
V <sub>OL</sub> (V)	2.4	2.4	2.4	2.7	2.7
I <sub>IL</sub> (mA)	- 1.6	- 2	- 0.18	- 0.36	- 2
I <sub>IH</sub> (μA)	40	50	10	20	50
I <sub>OL</sub> (mA)	16	20	3.6	8	20
I <sub>OH</sub> (mA)	- 0.4	- 0.5	- 0.2	- 0.4	- 1
tp (nS)	10	6	33	10	3
Pd(mw)	10	22	1	2	19

علمًا بأن الإشارة السالبة للتيار تعنى دخول التيار إلى الدائرة المتكاملة والإشارة الموجبة تعنى خروج التيار من الدائرة المتكاملة.

٢ / ٢ / ٣ - المخرج المختلفة للبوابة المنطقية (عائلة TTL):

توجد ثلاث صور مختلفة لمخرج البوابات المنطقية للدوائر المتكاملة TTL، بغض النظر عن نوع السلسلة الفرعية وهي كما يلي:

١ - خرج مجمع مفتوح Open-Collector output



Totem-pole output

٢ - خرج ذات القطب الرمزي

Three-State output

٣ - خرج بثلاث حالات

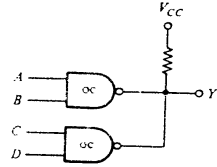
أولاً: خرج الجمع المفتوح:



الشكل (٣ - ٥) يبين شكل خرج الجمع المفتوح، ويتميز هذا النوع من المخارج بالسماوات التالية:

- ١ - إذا لم يوصل هذا المخرج بجهد المصدر  $V_{CC}$  من خلال مقاومة  $R_L$  فإن قيمة الخرج ستساوى 0V، بغض النظر عن حالة مداخل الدائرة المتكاملة.

- ٢ - يمكن توصيل هذا المخرج بجهد آخر غير جهد المصدر المستخدم في تغذية الدائرة المتكاملة. على سبيل المثال: يمكن توصيل هذا المخرج بجهد يساوى +12V، وبذلك يمكن تغيير مستوى الجهد المنطقي للدائرة المتكاملة من 5V لى جهد آخر تبعاً لقيمة الجهد المتصل بالجمع المفتوح.



شكل (٣ - ٦)

- ٣ - يمكن توصيل مجموعة من المخارج المفتوحة على التوازي معاً. فمثلاً: يمكن توصيل مخارج بوابتين NAND بالتوازي معاً، مع استخدام مقاومة  $5K\Omega$  توصل مع جهد المصدر  $V_{CC}$  كما هو مبين بالشكل (٣ - ٦) ويكون خرج البوابتين مكافئاً لخرج بوابة OR بمدخلين هما خرج بوابتين NAND ذات الجمع المفتوح.

وتختلف قيمة مقاومة الجذب Pull up Resistance والتي توصل مع الجمع المفتوح مع جهد المصدر  $V_{CC}$  باختلاف عدد المخارج ذات الجمع المفتوح الموصلة على التوازي  $n$ ، وكذلك عدد المداخل التي توصل بالجمع المفتوح على التوازي  $N$ .

والجدول (٣ - ٢) يبين مقاومة الجذب العظمى والصغرى لأعداد مختلفة من عدد المخارج ذات الجمع المفتوح المتوازية  $n$  وأعداد مختلفة من مداخل البوابات الأخرى الموصلة بالتوازي مع مخرج البوابة ذات الجمع المفتوح  $N$ .

الجدول (٣ - ٢)

N	R max ( $\Omega$ ) at n =							R min ( $\Omega$ ) at n = 1...7
	1	2	3	4	5	6	7	
1	8965	4814	3291	2500	2015	1688	1452	319
2	7878	4482	3132	2407	1954	1645	1420	359
3	7027	4193	2988	2321	1897	1604	1390	410
4	6341	3939	2857	2241	1843	1566	1361	479
5	5777	3714	2736	2166	1793	1529	1333	575
6	5306	3513	2626	2096	1744	1494	1306	718
7	4905	3333	2524	2031	1699	1460	1280	958
8	4561	3170	2419	1969	1656			1437
9	4262	3023	غير مسموح به					2875
10	4000							4000

مثال :

الشكل (٣ - ٧) يبين طريقة توصيل مجموعة من المخارج ذات المجمعات المفتوحة معا بالتوازي.

حيث إن عدد مخارج المجمعات المفتوحة الموصلة على التوازي تساوي :  $n = 4$   
وعدد المداخل الموصلة على التوازي تساوي :  $N = 3$

ومن الجدول (٣ - ٢) فإن :

$$R_{Lmax} = 2321 \Omega$$

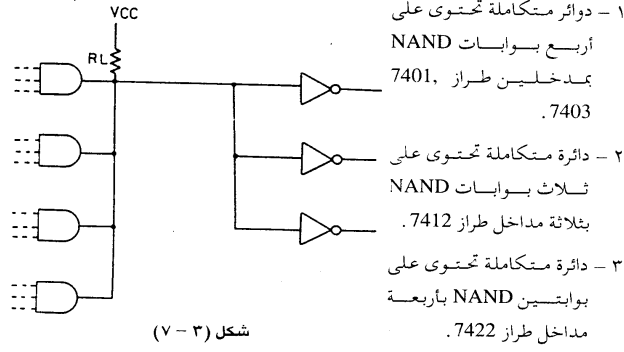
$$R_{Lmin} = 410 \Omega$$

أى أن :

$$410 \Omega \leq R_L \leq 2321 \Omega$$

ويمكن اختيارها فى هذه الحالة  $2k\Omega$  :

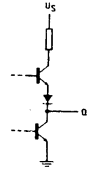
وأهم البوابات التى لها مجمع مفتوح OC هى :



٤ - دائرة متكاملة بأربع بوابات NOR بمدخلين طراز 7433.

٥ - دائرة متكاملة بستة عواكس طراز 7405.

٦ - دائرة متكاملة تحتوى على أربع بوابات AND بمدخلين 7409.



الشكل (٣ - ٨) يبين شكل خرج المجمع ذات القطب الرمزى، علماً بأن هذا النوع من المخرج هو الأكثر انتشاراً. وفيما يلى الخواص الفنية لهذا المخرج:

شكل (٣ - ٨)

١ - سرعة أداء عالية عن المخرج ذات المجمع المفتوح.

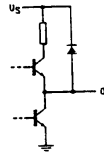
٢ - لهذا المخرج حالتان فقط عالية ومنخفضة.

٣ - لا يحتاج لتوصيل خارجى لجهد المصدر، كما هو الحال فى المخرج ذات المجمع المفتوح.

٤ - لا يمكن تغيير مستوى الجهود المنطقى لهذا المخرج عن (0,5V).

٥ - لا يمكن توصيل عدة مخارج لعدة بوابات مباشرة، كما هو الحال في المخرج ذات المجمع المفتوح.

ثالثاً: المخرج ذات الحالات الثلاثة **Tristate out put** :



الشكل (٣ - ٩) يوضح شكل خرج ذات الحالات الثلاثة: وفيما يلي مواصفات هذا المخرج:

١ - لا يحتاج لتوصيل خارجي لجهد المصدر كما هو الحال في المخرج ذات المجمع المفتوح.

٢ - لهذا المخرج ثلاث حالات وهي: عالٍ (+5V) ومنخفض (0V) ومقاومة عالية جداً (Z).

شكل (٣ - ٩)

٣ - يمكن توصيل أكثر من مخرج بالتوازي كما هو الحال في المخرج ذات المجمع المفتوح، بشرط أن تكون كل المخرج في الحالة الثالثة (لها مقاومة كبيرة جداً) عدا مخرج واحد تكون حالته منخفضة أو عالية.

٣/٢ - الدوائر المتكاملة الرقمية (عائلة CMOS):

تستخدم ترانزستورات MOSFET بقناة N وبقناة P في بناء الدوائر المتكاملة CMOS، وتمتاز هذه الدوائر بمدى كبير لجهد الدخل وباستهلاكها الصغير جداً للطاقة والمدى الحراري الكبير.

وتوجد عدة سلاسل أساسية تندرج تحت عائلة CMOS مثل: سلسلة CD400..، CD45.. سلسلة 54C..، سلسلة 74C..

والجدير بالذكر أن سلسلة 74C.. تتشابه مع سلسلة 74.. لعائلة TTL في ترتيب الأرجل وفي وظائف جميع الدوائر المتكاملة لهذه السلسلة.

والجدول (٣ - ٣) يعقد مقارنة بين الخواص الفنية للسلاسل الأساسية لعائلة CMOS.

الجدول (٣ - ٣)

وجه المقارنة	54C../74C..	CD40../CD45..
V <sub>DD</sub> (V)	5 / 10	5 / 10V
V <sub>OL max</sub> (V)	0.5 / 1.0	0.05 / 0.05
V <sub>OH min</sub> (V)	4.5 / 9.0	4.95 / 9.95
I <sub>OL</sub> (mA)	0.36 / 0.01	0.3 / 0.9
I <sub>OH</sub> (mA)	- 0.01 / - 0.01	- 0.36 / - 0.9
P <sub>diss</sub> (μW)	10 / 30	10 / 30

حيث إن :

V<sub>DD</sub> جهد المصدر

P<sub>diss</sub> القدرة المستهلكة

V<sub>OL max</sub> جهد الخرج المنخفض الأقصى

V<sub>OH min</sub> جهد الخرج المرتفع الأدنى

I<sub>OL</sub> تيار الخرج المنخفض

I<sub>OH</sub> تيار الخرج المرتفع

ويلاحظ وجود قيمتين لكل حالة باعتبار أن جهد المصدر V<sub>DD</sub> يساوى 5V مرة، ويساوى 10V مرة، فمثلاً: جهد الخرج المنخفض الأقصى V<sub>OLmax</sub> يساوى 0.5V عندما يكون جهد المصدر 5V ، ويساوى 1.0V عندما يكون جهد المصدر 10V وذلك لسلسلة 54C../74C..، فى حين يساوى 0.05V عندما يكون جهد المصدر 5V أو 10V وذلك لسلسلة CD40.. وأيضاً سلسلة CD45..

ويعاب على دوائر CMOS المتكاملة بصفة عامة ما يلى :

١ - السرعة المنخفضة.

٢ - ضعف تيار المخرج.

٣ - ارتفاع سعرها.

٤ - تحتاج لمعاملة خاصة أثناء تداولها واستخدامها.

وفيما يلي أهم الإرشادات التي تؤخذ في الاعتبار عند التعامل مع دوائر CMOS المتكاملة:

- يجب تناول دوائر CMOS بحرص لمنع تراكم الشحنات الاستاتيكية عليها؛ لذلك يجب إبقاء الدائرة المتكاملة في غلافها العازل التي تباع به إلى أن يتم وضعها في الدائرة.

- يجب توصيل كل المداخل غير المستعملة بأحد طرفي المصدر الموجب أو السالب تبعاً للدائرة.

- التأكد أن الدائرة موصلة بالطريقة الصحيحة خصوصاً التأكد من توصيل الجهد الموجب للمصدر مع VDD والجهد السالب للمصدر مع VSS؛ وذلك لمنع انهيار الدائرة المتكاملة.

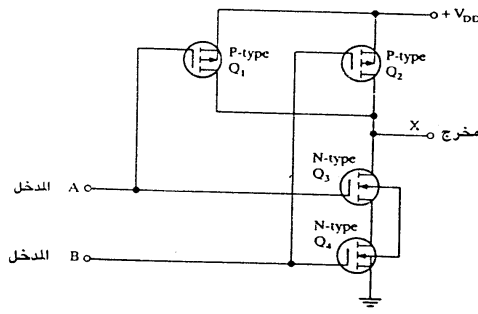
ونتيجة لهذه العيوب فإن دوائر CMOS لا يمكن استخدامها في جميع التطبيقات.

والشكل (٣ - ١٠) يبين التركيب الداخلي لبوابة NAND تندرج تحت عائلة CMOS.

وبلاحظ أن Q2 و Q1 موصولان بالتوازي، في حين أن Q3, Q4 موصولان بالتوالي.

والجدول (٣ - ٤) يبين نظرية عمل هذه الدائرة. حيث إن:

قطع	OFF	وصل	ON
-----	-----	-----	----

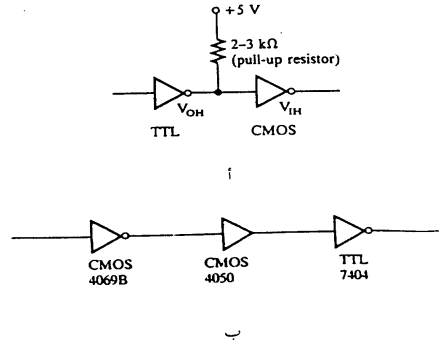


شكل (٣ - ١٠)

الجدول (٣ - ٤)

المدخل A	المدخل B	المخرج Output	Q1	Q2	Q3	Q4
0	0	1	ON	ON	OFF	OFF
0	1	1	ON	OFF	OFF	ON
1	0	1	OFF	ON	ON	OFF
1	1	0	OFF	OFF	ON	ON

والجدير بالذكر أنه يمكن عمل توافق بين عائلة TTL وعائلة CMOS . فيمكن نقل إشارة من بوابة TTL إلى بوابة CMOS باستخدام خرج مفتوح OC كما بالشكل (٣ - ١١)، ويمكن نقل إشارة من بوابة CMOS إلى بوابة TTL باستخدام بوابة عزل buffer gate طراز CD4050، حيث إن الحالة المنطقية لدخلها يكافئ الحالة المنطقية لخرجها، وذلك كما بالشكل (٣ - ١١ ب).



شكل (١١ - ٣)

### ٣ / ٣ - البوابات المنطقية : Logic gates

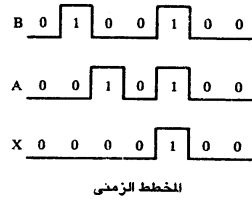
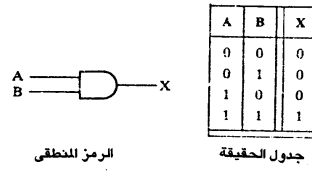
البوابات المنطقية هي دوائر لها مجموعة مداخل (مدخل - مدخلان - ثلاثة مداخل - .... إلخ) ومخرج واحد، بحيث إن حالة مخرجها في أى لحظة تعتمد على حالة مداخلها في هذه اللحظة. ولفهم عمل البوابات المنطقية يستعان بجدول الحقيقة والذي يحتوى على جميع حالات المداخل المحتملة وحالة المخرج المقابل لكل احتمال. علماً بأن الحالة المنخفضة للإشارات تعنى أن جهد الإشارة 0.2V وأن الحالة المرتفعة للإشارات تعنى أن جهد الإشارة 3.0V هذا بالنسبة لعائلة TTL، ويعتبر هذا على وجه التقريب.

وستتناول في الفقرات القادمة البوابات المنطقية الأساسية والمشتقة.

#### ٣ / ٣ - ١ - بوابة AND:

الشكل (١٢ - ٣) يبين رمز بوابة AND بمدخلين A, B، ولها مخرج واحد X، وجدول الحقيقة Truth table لهذه البوابة، والمخطط الزمني لهذه البوابة.



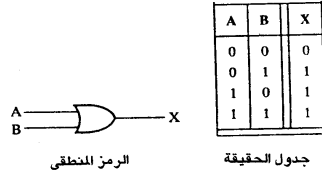


شكل (٣-١٢)

ويتضح من جدول الحقيقة أن خرج البوابة يكون عالياً، أي حالته المنطقية (1) عندما تكون حالة مدخلى البوابة (1) .  
ويمكن التعبير عن عملية AND لمدخلين بالمعادلة التالية:

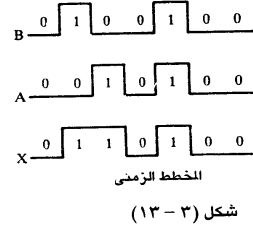
$$A.B = X \rightarrow 3.1$$

وتنطق A (AND) B يساوي X



### ٣/٣ - بوابة OR :

الشكل (٣ - ١٣) يبين الرمز المنطقي لبوابة OR بمدخلين A, B، ولها مخرج واحد X، وجدول الحقيقة والمخطط الزمني لهذه البوابة.



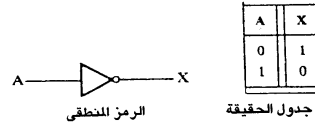
ويلاحظ من جدول الحقيقة أن خرج البوابة يكون عالياً أى حالته المنطقية (1) عندما تكون حالة أحد مدخلي البوابة (1).

ويكون خرج البوابة منخفضاً (0) عندما تكون حالة جميع مداخل البوابة (0).

ويمكن التعبير عن عملية OR لمدخلين بالمعادلة التالية:

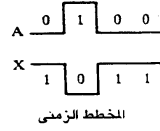
$$A + B = X \rightarrow 3.2$$

وتنطق A (OR) B يساوي X



### ٣/٣ - العاكس Inverter

والعازل Buffer :



الشكل (٣ - ١٤) يبين الرمز المنطقي وجدول الحقيقة، والمخطط الزمني للعاكس والذي يسمى أحياناً بوابة NOT.

ويلاحظ من جدول الحقيقة أن خرج البوابة هو معكوس دخلها، فإذا كانت

حالة مدخل العاكس (0) فإن حالة مخرج العاكس سيساوى (1) ، وإذا كانت حالة مدخل العاكس (1) فإن حالة مخرج العاكس ستساوى (0) ويمكن التعبير عن عملية NOT بالمعادلة التالية، وتنطق X تساوى معكوس A:

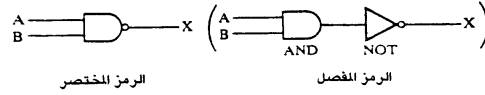
$$X = \bar{A} \quad \text{3.3}$$

أما العازل والذي يسمى أحياناً بوابة Yes فتتشابه حالة مدخله ومخرجه وهو يستخدم لرفع مستوى التيار المتاح لتشغيل ترانزستور - ترياك - ثايرستور ويمكن بناء عازل من عاكسين بتوصيلهما على التوالي وفيما يلي رمز العازل.



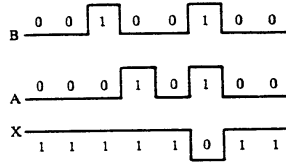
بوابه NAND - ٣ / ٤ -

وتبنى بوابة NAND من بوابتين وهما بوابة AND وبوابة NOT متصلتان متتابعياً. والشكل (٣ - ١٥) يبين رمز بوابة NAND بمدخلين: مختصر ومفصل، وكذلك جدول الحقيقة والمخطط الزمني لهذه البوابة.



A	B	X
0	0	1
0	1	1
1	0	1
1	1	0

جدول الحقيقة



شكل (٣ - ١٥)

ويلاحظ من جدول الحقيقة أن خرج البوابة يكون منخفضاً (0) فقط إذا كانت حالة مدخلها عالية (1).

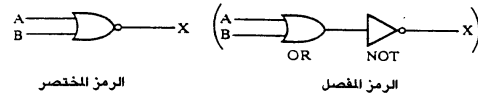
ويمكن التعبير عن عملية NAND بالمعادلة التالية:

$$X = \overline{A \cdot B} \rightarrow 3.4$$

وتنطق X تساوى معكوس A (AND) B

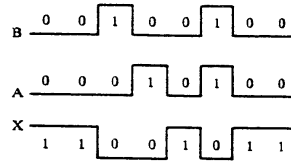
: ٥ / ٣ / ٣ - بوابة NOR :

وتبنى بوابة NOR من بوابتين، وهما بوابة OR وبوابة NOT متصلتان تتابعياً. والشكل (٣ - ١٦) يبين رمز بوابة NOR بمدخلين مختصر ومفصل، وكذلك جدول الحقيقة والمخطط الزمني لهذه البوابة.



A	B	X
0	0	1
0	1	0
1	0	0
1	1	0

جدول الحقيقة



شكل (٣ - ١٦)

ويلاحظ من جدول الحقيقة أن خرج هذه البوابة يكون عاليًا (1) عندما تكون حالة مدخلي البوابة منخفضة (0) .

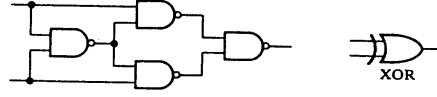
ويمكن التعبير عن عملية NOR بالمعادلة التالية:

$$X = \overline{A + B} \rightarrow 3.5$$

وتنطق X تساوى معكوس A (OR) B

: بوابة XOR - ٦ / ٣ / ٣

يمكن بناء بوابة XOR ذات المدخلين من 4 بوابات NAND . والشكل (٣ - ١٧) يبين الرمز المختصر لبوابة XOR والدائرة المكافئة باستخدام 4 بوابات NAND .



شكل (٣-١٧)

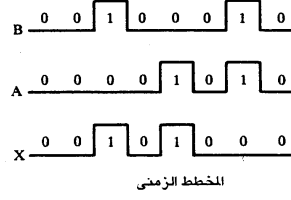
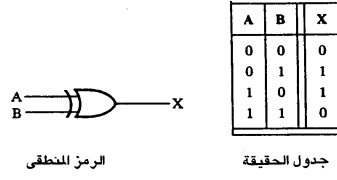
والشكل (٣ - ١٨) يبين رمز بوابة XOR بمدخلين A, B وبمخرج واحد X ، وكذلك جدول الحقيقة والمخطط الزمني لهذه البوابة .

ويلاحظ من جدول الحقيقة أن خرج هذه البوابة يكون عاليًا (1) عندما تكون حالة أحد مدخليها عاليًا (1) .

ويمكن التعبير عن عملية XOR بإحدى المعادلتين التاليتين:

$$X = A \oplus B \rightarrow 3.6$$

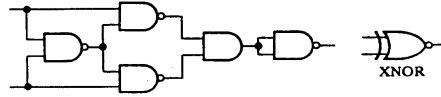
$$X = A.\bar{B} + \bar{A}B \rightarrow 3.7$$



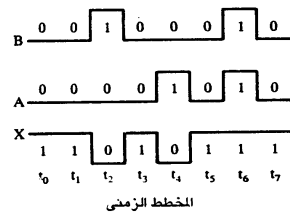
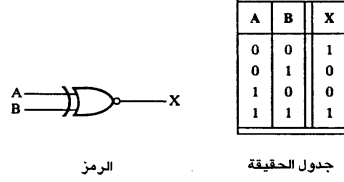
شكل (٣-١٨)

٣/٣ - بوابة XNOR :

يمكن بناء بوابة XNOR من أربع بووابات NAND وبوابة AND. والشكل (٣-١٩) يبين الرمز المختصر لبوابة XNOR والدائرة المكافئة باستخدام 4 بووابات NAND وبوابة AND.



شكل (٣-١٩)



شكل (٣ - ٢٠)

ويمكن التعبير عن عملية  
XNOR بإحدى المعادلتين  
التاليتين :

$$X = A \oplus B \longrightarrow 3.8$$

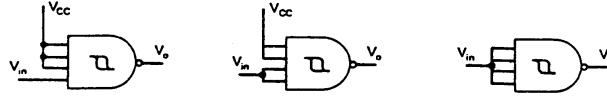
$$X = A.B + \bar{A}\bar{B} \longrightarrow 3.9$$

٣ / ٣ - ٨ - بوابات شميت للإشغال Schmitt - trigger gates :

أولاً : بوابة Schmitt NAND :

تتميز هذه البوابة بأنها تتعرف على Vin ( جهد الدخل ) كدخل عالٍ إذا كانت قيمته 1.7V أو أعلى، وتتعرف على Vin ( جهد الدخل ) كدخل منخفض إذا كانت قيمته 0.9V أو أقل. في حين أن Vo ( جهد الخرج ) يكون قيمته 3.4V عندما يكون حالة الخرج عالياً ويكون قيمته 0.9V عندما يكون حالة الخرج منخفضة.

والشكل (٣ - ٢١) يعرض ثلاث بوابات Schmitt NAND لها أربعة مداخل، بحيث يتم توصيل المداخل معاً بطرق مختلفة.



شكل (٣ - ٢١)

والشكل (٣ - ٢٢) يعرض شكل الموجة الداخلة  $V_{in}$  والموجة الخارجة  $V_o$  لبوابة Schmitt NAND المبينة بالشكل (٣ - ٢١).

ويلاحظ أن جهد خرج البوابة  $V_o$  يساوى 3.3V عندما يكون جهد الدخل  $V_{in}$  أصغر من 1.7V وعندما يكون جهد الدخل  $V_{in}$  أكبر، أو يساوى 1.7V فإن خرج البوابة يساوى 0.2V. وتستمر حالة الخرج منخفضة إلى أن يصبح جهد الدخل  $V_{in}$  مساوياً 0.9V حينئذ يعود خرج البوابة مساوياً 3.3V وهكذا.

ويقال عادة: إن بوابة Schmitt NAND لها خواص رجوعية Hysteresis C/C. والجدير بالذكر أنه يمكن الحصول على نفس الأداء باستخدام بوابة Schmitt NAND بمدخلين، بحيث يوصل أحد المدخلين بالجهد  $V_{cc}$  والمدخل الثانى بجهد الدخل  $V_{in}$ . أو يوصل المدخلين معاً بجهد الدخل  $V_{in}$  لتعمل كبوابة NOT.

ثانياً: بوابة Schmitt NOT :

لا تختلف خواص هذه البوابة عن بوابة Schmitt NAND فى تعرفها على جهد الدخل.

والشكل (٣ - ٢٢) يمكن الرجوع إليه لمعرفة العلاقة بين دخل وخرج بوابة Schmitt NOT. وتستخدم بوابات Schmitt NOT فى التطبيقات المبينة بالشكل (٣ - ٢٣) وهى كما يلى:

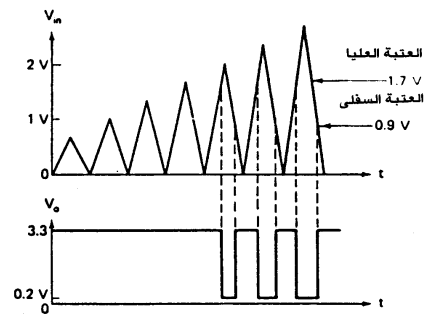
أ - تشكيل الموجات (الشكل أ).

ب - تخزين نبضة (الشكل ب).

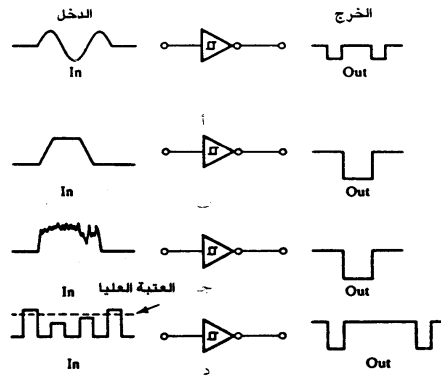
ج - التخلص من الضوضاء (الشكل ج).

د - اكتشاف جهد العتبة الأكبر من 1.7V (الشكل د).





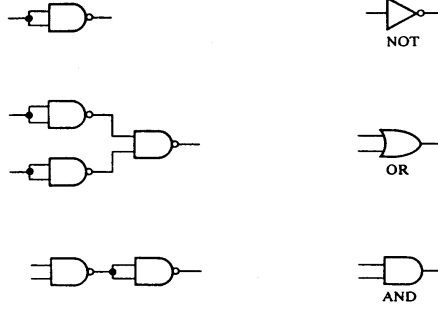
شكل (٣-٢٢)



شكل (٣-٢٣)

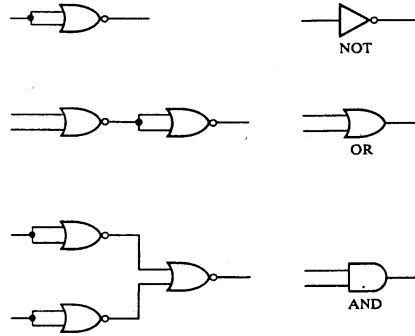
### ٣ / ٩ - البوابات العامة The Universal Gates :

تسمى كل من بوابة NAND وبوابة NOR بالبوابات العامة؛ لأنه يمكن استخدام هذه البوابات في بناء أى نوع من البوابات التي سبق ذكرها . والشكل (٣ - ٢٤) يبين طريقة استخدام بوابة NAND في بناء البوابات الأساسية الثلاثية : NOT, AND, OR.



شكل (٣ - ٢٤)

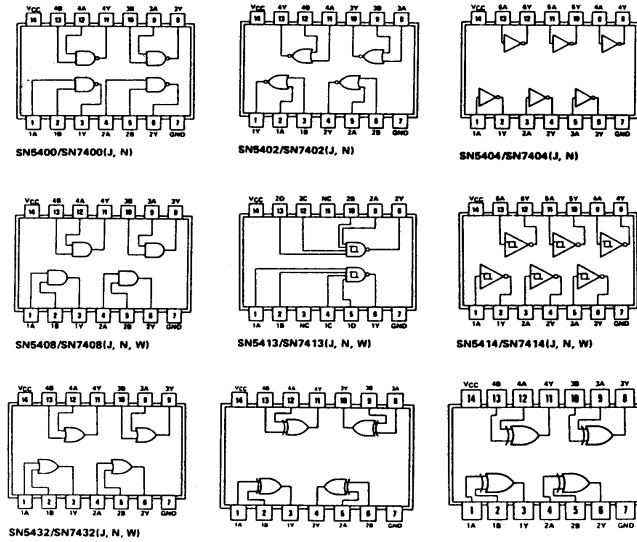
أما الشكل (٣ - ٢٥) فيبين طريقة استخدام بوابة NOR في بناء البوابات الأساسية الثلاثية NOT, AND, OR



شكل (٣ - ٢٥)

### ١٠ / ٣ / ٣ - الدوائر المتكاملة لليوابات :

الشكل (٣ - ٢٦) يعرض المسقط الأفقي متضمناً الرموز المنطقية لبعض الدوائر المتكاملة لليوابات المنطقية والتي تنتمي لعائلة TTL .

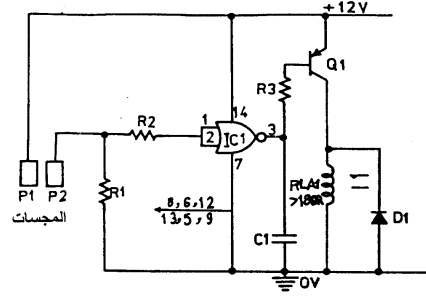


شكل (٣ - ٢٦)

وتوصل الرجل Vcc بمصدر جهد 5 V +، وتوصل الرجل GND بأرضي منبع التيار المستمر . ولتحديد أرقام الأرجل المختلفة للدائرة المتكاملة تمسك الدائرة المتكاملة باليد، بحيث يكون التجويف النصف دائري الموجود في أحد جانبيها جهة اليسار فتكون الرجل المواجهة لك جهة اليسار هي الرجل رقم 1، ويكون العد في عكس اتجاه عقارب الساعة .

### ١١/٣/٣ - تطبيق (جهاز استشعار مستوى السوائل):

الشكل (٣ - ٢٧) يعرض دائرة جهاز استشعار مستوى السائل، وتستخدم في التحكم في تشغيل وإيقاف محرك مضخة ملء خزان ماء.



شكل (٣ - ٢٧)

عناصر الدائرة:

R1	مقاومة كربونية 1M $\Omega$
R2	مقاومة كربونية 10 K $\Omega$
R3	مقاومة كربونية 10 K $\Omega$
C1	مكثف خزفي سعته 100 nf
Q1	ترانزستور PNP طراز 2 N 3906
D1	ثنائي سليكوني طراز 1 N 4001
IC1	دائرة متكاملة تحتوي على أربع بوابات NOR طراز 4001 B
RLA	ريلاي يعمل عند جهد 12 V ومقاومته أكبر من 180 $\Omega$

### نظرية التشغيل :

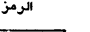
عند وصول السائل لمستوى المجسات Probes يصبح دخل بوابة NOR طراز 4001 B والموصلة لكي تعمل كعاكس عاليًا، وبالتالي يصبح خرجها منخفضًا فيعمل  $Q_1$ ، وبالتالي الريلاي RLA والذي يعمل على فصل التيار الكهربى عن محرك المضخة، فتتوقف المضخة وعند انخفاض مستوى السائل عن مستوى المجسات Probes فإن دخل العاكس المؤلف من بوابة NOR طراز 4001 B يصبح منخفضًا، وبالتالي يصبح خرج العاكس عاليًا فيتحول  $Q_1$  لحالة القطع Cut off، وينقطع التيار الكهربى عن ملف الريلاي RLA فتنعكس حالة ريش هذا الريلاي لتغلق ريشه المفتوحة وتفتح ريشه المغلقة ليعود التيار الكهربى لمحرك المضخة لتدور المضخة من جديد.

### ٣ / ٤ - القلابات Flip Flops :

تسمى معظم القلابات بالعناصر ثنائية الاستقرار، ولهذه العناصر حالتان إما عالية أو منخفضة 0. وتمثل هذه العناصر نوعًا بسيطًا من أنواع الذاكرة، وذلك لأن حالة خرجها فى أى لحظة يتحدد بحالة آخر إشارة دخل وصلت لها. وسنتناول فى الفقرات القادمة أهم القلابات.

### ٣ / ٤ - القلاب R-S Flip FLOP :

الرمز



جدول الحقيقة

S (set)	R (reset)	Q	$\bar{Q}$
1	0	1	0
0	0	1	0
0	1	0	1
0	0	0	1
1	1	تستبعد	

الشكل (٣ - ٢٨) يبين رمز  
و جدول الحقيقة قلاب نوع R-S.

وللقلاب R-S مدخلان، وهما  
مدخل الإمساك S (Set) ومدخل  
التحرير R (Reset). ومخرجان.  
وهما المخرج Q ومعكوسه  $\bar{Q}$ .

ويلاحظ من جدول الحقيقة أنه

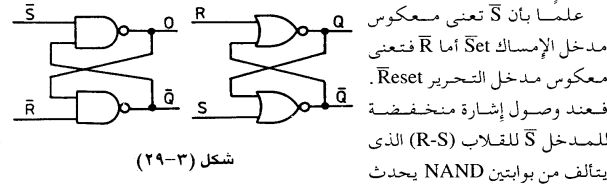
شكل (٣ - ٢٨)

ويلاحظ من جدول الحقيقة أنه عندما تكون حالة المدخل S مساوية (1) فإن حالة المخرج Q تساوى (1) وحالة  $\bar{Q}$  تساوى (0). ويبقى الوضع هكذا حتى عند عودة حالة المدخل S للصفر إلى أن تصبح حالة المدخل R مساوية (1).

حينئذ تنعكس حالة الخارج فتصبح حالة Q مساوية (1) وحالة  $\bar{Q}$  مساوية (0). وتظل حالة الخارج كما هي إلى أن تصبح حالة S مساوية (1) وهكذا. وهناك حالة يجب أن تستبعد عندما تصبح حالة كلا من R, S مساوية (1) لأن حالة الخارج Q والخارج  $\bar{Q}$  ستصبح غير محددة.

والجدير بالذكر أنه يمكن بناء قلاب R-S باستخدام بوابتين NOR أو بوابتين NAND كما هو مبين بالشكل (٣ - ٢٩) فباستخدام بوابتين NAND يمكن بناء قلاب R-S يعمل عند الحالة المنخفضة للمداخل  $\bar{S}, \bar{R}$ .

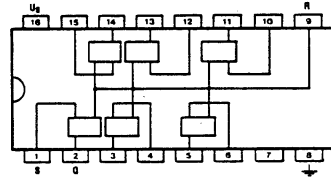
وباستخدام بوابتين NOR يمكن بناء قلاب R-S يعمل عند الحالة العالية للمداخل S, R.



إمساك للمخرج Q فتصبح حالة الخارج Q عالية (1) وحالة الخارج  $\bar{Q}$  منخفضة (0).

وعند وصول إشارة منخفضة للمدخل  $\bar{R}$  للقلاب الذي يتألف من بوابتين NAND يحدث تحرير للمخرج Q، أي تصبح حالة الخارج Q منخفضة (0) وحالة الخارج  $\bar{Q}$  عالية (1).

أما القلاب الذي يتألف من بوابتين NOR فلا يختلف تشغيله عن القلاب المبين بالشكل (٣ - ٢٤).



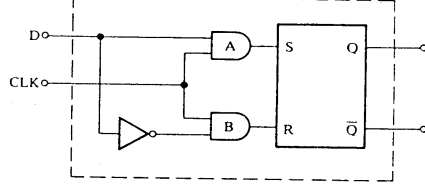
شكل (٣-٣٠)

والشكل (٣ - ٣٠) يعرض المسقط الأفقي للدائرة المتكاملة 7418 والتي تحتوي على ستة قلابات R-S ، ولها مدخل واحد للتحرير R ومخرج واحد لكل قلاب Q .

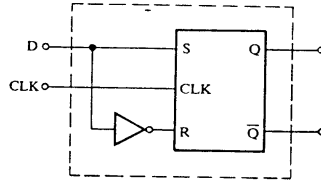
### ٣ / ٤ / ٢ - القلاب D Flip Flop :

صمم هذا النوع من القلابات للتغلب على المشكلة التي ظهرت في القلاب S-R ، والتي تتمثل في أنه عندما تكون حالة كل من المدخلين S, R عالية أى (1) منطقي فإن المخرج يكون غير محدد .

وتم التغلب على ذلك في القلاب D بالتأكد من أن R,S يتمم كل منهما الآخر، أى أن حالة أحدهما هو معكس حالة المدخل الآخر .



الرمز المفصل



الرمز المختصر

CLK	D	Q	$\bar{Q}$
L	X	P.S.	P.S.
H	H	H	L
H	L	L	H

جدول الحقيقة

شكل (٣ - ٣١)

والشكل (٣ - ٣١)

يعرض رمز قلاب D المختصر، ورمز قلاب D المفصل، و جدول الحقيقة للقلاب .

ويلاحظ أن القلاب D يتكون من قلاب R-S وبوابتين AND وبوابة NOT . ولهذا القلاب مدخلان، وهما مدخل البيانات (D) Data ومدخل نبضات الساعة Clock (clk) وله مخرجان، وهما المخرج Q ومعكوسه  $\bar{Q}$  .

### نظرية عمل القلاب D :

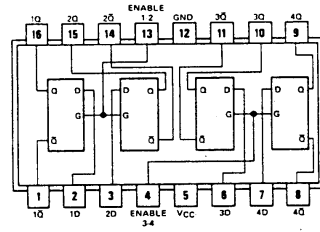
١ - عندما تكون حالة مدخل النبضات (CLK) منخفضة (L) وعند أى حالة (X) للمدخل D فإن حالة المخرجين تكون الحالة السابقة لهما (PS).

٢ - عندما تكون حالة مدخل النبضات (CLK) عالية (H) وحالة المدخل D عالية (H) فإن حالة المخرج Q تصبح عالية (H) وحالة معكوس المخرج  $\bar{Q}$  تصبح منخفضة (L).

٣ - عندما تكون حالة مدخل النبضات CLK عالية (H) وحالة المدخل D منخفضة (L) فإن حالة المخرج Q تصبح منخفضة (L) وحالة معكوس المخرج  $\bar{Q}$  مرتفعة (H).

والشكل (٣ - ٣٢) يعرض المسقط الأفقى للدائرة المتكاملة 7475 التى تحتوى على أربعة قلابات D وكذلك جدول الحقيقة لقلاب واحد، علماً بأن لكل قلابين مدخل واحد لنبضات الساعة G ولكل قلاب مخرج ومعكوسه Q,  $\bar{Q}$ . والرجل 5 توصل بالجهد الموجب للمنع Vcc + والرجل 12 توصل بأرضى المنع.

والجدير بالذكر أن نظرية عمل قلابات هذه الدائرة المتكاملة لا تختلف عن نظرية عمل القلاب D السابق شرحها.



المسقط الأفقى

شكل (٣ - ٣٢)

عندما تكون حالة المدخل D منخفضة (L) ومدخل نبضات الساعة G عالياً (H) فإن حالة المخرج Q تصبح منخفضة (L) وعندما تكون حالة المدخل D عالية (H) ومدخل نبضات الساعة G عالية (H) فإن حالة المخرج Q تصبح عالية (H). وعندما تكون حالة المدخل D



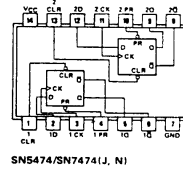
منخفضة أو عالية (X) وحالة مدخل نبضات الساعة G منخفضة (L) فإن حالة المخرج Q هي الحالة السابقة له  $Q_0$ .

وبالطبع فإن حالة المخرج  $\bar{Q}$  هي معكوس حالة المخرج Q.

ويوجد نموذج آخر للقلاب D مزود بمدخلين إضافيين، وهما مدخل الإمساك Preset ومدخل التحرير Clear.

والشكل (٣ - ٣٣) يبين المسقط الأفقي للدائرة المتكاملة 7474، والتي تحتوى على قلابين D لكل أربعة مداخل وكذلك جدول الحقيقة.

FUNCTION TABLE						
INPUTS				OUTPUTS		
PRESET	CLEAR	CLOCK	D	Q	$\bar{Q}$	
L	H	X	X	H	L	
H	L	X	X	L	H	
L	L	X	X	H*	H*	
H	H	?	H	H	L	
H	H	?	L	L	H	
H	H	L	X	$Q_0$	$\bar{Q}_0$	



شكل (٣ - ٣٣)

نظرية عمل الدائرة المتكاملة 7474:

تسمى الثلاث حالات الأولى من جدول الحقيقة بحالات التشغيل غير المتزامن للقلاب D والحالتان الرابعة والخامسة تسمى بحالات التشغيل المتزامن للقلاب D.

١ - التشغيل غير المتزامن للقلاب D:

ويحدث عندما تكون حالة أحد المدخلين Preset, Clear منخفضة (L) أو كلاهما حالته منخفضة (L)، ويعمل القلاب كقلاب R-S، حيث إن Preset تمثل معكوس مدخل الإمساك  $\bar{S}$ ، وأما Clear فتتمثل معكوس مدخل التحرير  $\bar{R}$ . فعندما تكون حالة Preset منخفضة (L) تصبح Q عالية (H).

وعندما تكون حالة المدخل Clear منخفضة (L) تصبح حالة  $\bar{Q}$  عالية (H)، وعندما تصبح حالة المدخلين Preset, clear منخفضة (L) فإن حالة مخرج القلاب  $Q, \bar{Q}$  تكون غير محددة ويجب أن تستبعد.

#### ٢ - التشغيل المتزامن للقلاب D:

ويحدث عندما تكون حالة المدخلين preset, Clear عالية (H). وتصل نبضات لدخل النبضات Clock. فعند وصول نبضة لدخل النبضات وعند الحافة الموجبة (العالية) أى الانتقال من منخفض لعالى تنتقل حالة مدخل البيانات D للمخرج Q.

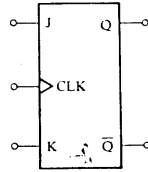
#### ٣ - ثبات حالة مخارج القلاب D:

عندما تكون حالة المدخلين Preset, Clear عالية (H) وحالة مدخل النبضات Clock منخفضة (L).

والجدير بالذكر أن القلاب D يستخدم عادة فى تقليل تردد موجة مربعة للنصف. فعندما تكون حالة كل من المدخلين Preset, Clear عالية (H) ودخلت موجة مربعة لدخل النبضات Clock فإن خرج القلاب D على المخرج Q هو نصف تردد الموجة الداخلة.

#### ٣ / ٤ - القلاب JK - J - K Flip Flop:

الشكل (٣ - ٣٤) يعرض رمز القلاب J-K وجدول الحقيقة له. ويلاحظ أن لهذا القلاب ثلاثة مداخل وهى: J, K, clk. وله مخرجان، وهما  $Q, \bar{Q}$ .



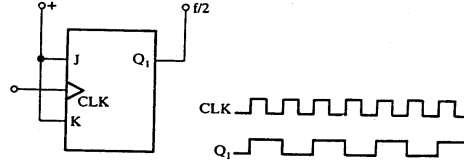
CLK	J	K	Q	$\bar{Q}$
0	X	X	N.C.	N.C.
1	X	X	N.C.	N.C.
↓	X	X	N.C.	N.C.
↑	0	0	N.C.	N.C.
↑	0	1	0	1
↑	1	0	1	0
↑	1	1	Toggle	

N.C. = no change  
X = doesn't matter

شكل (٣ - ٣٤)

### نظرية تشغيل القلاب J-K :

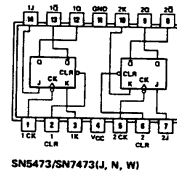
- ١- لا تتغير حالة المخرج  $Q$  ، إلا عند الحافة الصاعدة للنضبات التى تصل إلى المدخل  $clk$  وتكون حالة أحد المدخلين  $J, K$  عالية، حيث تنتقل حالة المدخل  $J$  للمخرج  $Q$  وحالة المدخل  $K$  للمخرج  $\bar{Q}$ .
  - ٢- عندما تكون حالة المدخل  $J$  والمدخل  $K$  عالية (1) يعمل القلاب على تنصيف تردد الموجة التى تدخل لمدخل النضبات  $clk$  وتسمى هذه الحالة Toggle.
- والشكل (٣ - ٣٥) يوضح حالة Toggle أى عمل القلاب كمنصف للتردد.



شكل (٣ - ٣٥)

والشكل (٣ - ٣٦) يعرض المسقط الأفقى للدائرة المتكاملة 7473 والتى تحتوى على قلابين J-K وجدول الحقيقة لها.

FUNCTION TABLE				
INPUTS				OUTPUTS
CLEAR	CLOCK	J	K	$Q$ $\bar{Q}$
L	X	X	X	L H
H	$\downarrow$	L	L	$Q_0$ $\bar{Q}_0$
H	$\downarrow$	H	L	H L
H	$\downarrow$	L	H	L H
H	$\downarrow$	H	H	TOGGLE



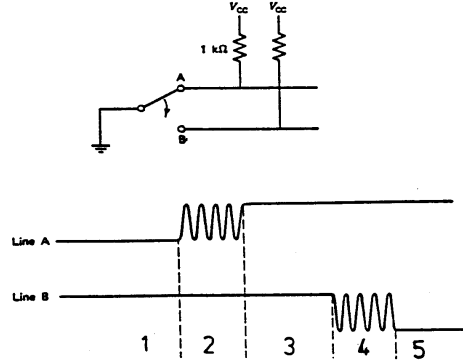
شكل (٣ - ٣٦)

ويزود كل قلاب بمدخل للتحرير Clear (CLR) يكون فعال عند الحالة المنخفضة. ويلاحظ من جدول الحقيقة أنه عندما تكون حالة مدخل التحرير (L) فإن حالة Q تصبح منخفضة (L) وحالة  $\bar{Q}$  تصبح عالية (H) بغض النظر عن حالة باقي المداخل.

ونظرية عمل القلابات J-K لهذه الدائرة المتكاملة لا تختلف عن نظرية عمل القلاب J-K السابق شرحها، عدا أن مدخل التحرير Clear (clr) يجب أن تكون حالته عالية باستمرار علماً بأن الرمز  $\bar{Q}_0$ ,  $\bar{Q}_0$  يعنى الحالة السابقة للمخرج.

#### ٣ / ٤ - إزالة ارتداد المفاتيح Switch Debouncing :

يصاحب غلق وفتح المفاتيح - عادة - تكرار للفتح والغلق عدة مرات، وتسمى هذه الظاهرة بالارتداد. والشكل (٣ - ٣٧) يبين الارتداد الناتج عن تحويل مفتاح SPDT من النقطة A إلى النقطة B.



شكل (٣ - ٣٧)

ويلاحظ أنه يمكن تقسيم العلاقة بين الجهد والزمن للخط A والخط B والخمس مراحل وهي كما يلي:

المرحلة 1 ثبات الجهد A,b لاستقرار المفتاح على الوضع A.

المرحلة 2 تذبذب الجهد في الخط A نتيجة لارتداد ريشة المفتاح عند ملامسة النقطة A.

المرحلة 3 ثبات كل من جهد A,B لأن ريشة المفتاح غير ملامسة للنقطة A ولا النقطة B.

المرحلة 4 تذبذب الجهد في الخط B نتيجة لارتداد ريشة المفتاح عند ملامسة النقطة B.

المرحلة 5 ثبات كل من جهد A,B لاستقرار المفتاح على الوضع B.

وتسبب عملية الارتداد مشاكل كبيرة في دوائر العدادات والمسجلات... إلخ؛ لذلك يجب اتخاذ بعض الاحتياطات للتخلص من الارتداد الناتج عن غلق وفتح المفاتيح.

فالدائرة المبينة بالشكل (3 - 38) مناسبة لإزالة الارتداد الناتج عن الضواغط والمفاتيح الدوارة والمنزقة.

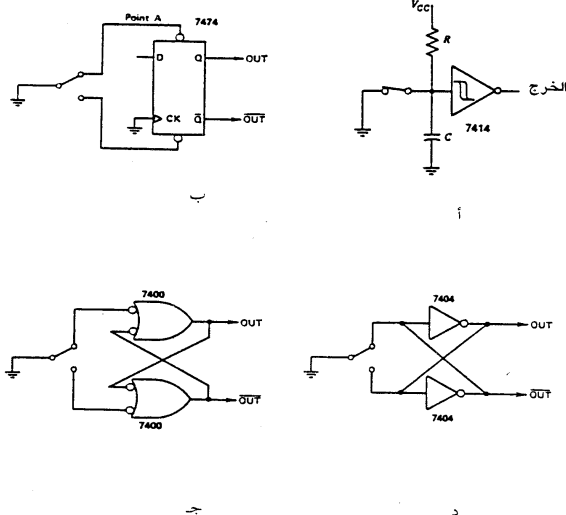
والجدير بالذكر أن هذه الدائرة تحدث تأخيراً زمنياً في الخرج من لحظة تغير وضع المفتاح مقداره 1 ms بعدها تكون ريشة المفتاح قد استقرت في الحالة الجديدة. فعند غلق المفتاح S فإن أول ارتداد يؤدي لتفريغ المكثف C1 فيصبح خرج بوابة Schmitt Not عالياً، وبالتالي يصبح الزمن المار بين كل ارتداد والثاني غير كاف لشحن المكثف C، وبالتالي يظل خرج البوابة عالياً، علماً بأن سعة المكثف C تساوي 10 µf وقيمة المقاومة R حوالى 4.7 KΩ.

أما الدوائر المبينة بالشكل ( ٣ - ٣٨ ب، ج، د ) فمناسبة لإزالة الارتداد الناتج عن المفاتيح الأحادية القطب ذات السكتين SPDT.

ففى الشكل ب عندما يوضع المفتاح على الوضع العلوى فإن الحالة المنخفضة للنقطة A تجعل خرج القلاب عالياً، ولا يؤثر الارتداد فى خرج القلاب FF. وعند تغيير وضع المفتاح من الوضع العلوى للوضع السفلى فإن أول ارتداد يؤدي إلى تحرير القلاب وتصبح حالة خرج القلاب OUT منخفضة، ويظل خرج القلاب على هذا الحال.

أما البوابتان المستخدمتان فى الشكل ( ج ) فهما بوابتان NAND ويشكلان قلاب R-S يعمل عند الحالة المنخفضة. فعند تغيير وضع المفتاح من الوضع العلوى للوضع السفلى فإن الارتداد الحادث عند ترك النقطة العلوية لن يؤثر على خرج القلاب لأنه سيظل مرتفعاً وبمجرد وصول ريشة المفتاح للنقطة السفلية فإنه عند أول تلامس يصبح خرج القلاب OUT منخفضاً، ويثبت على ذلك مهما حدث ارتداد عند النقطة السفلية.

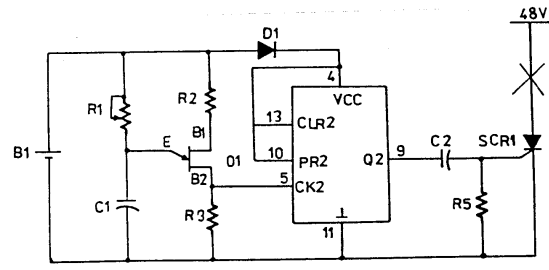
أما البوابتان المستخدمتان فى الشكل ( د ) فهما عاكستان. فعندما يكون المفتاح على الوضع العلوى يكون خرج العاكس العلوى مرتفعاً وخرج العاكس السفلى منخفضاً. وعند انتقال المفتاح من الوضع العلوى للوضع السفلى وأثناء الانتقال يظل خرج العاكس العلوى مرتفعاً؛ وذلك لأن خرج العاكس السفلى يحافظ على دخل العاكس العلوى عالياً. وبمجرد الوصول للوضع السفلى يصبح خرج العاكس العلوى منخفضاً وخرج العاكس السفلى مرتفعاً.



شكل (٣ - ٣٨)

٣ / ٤ - ٥ - تطبيق (لوحة إعلانات بإضاءة نابضة):

الشكل (٣ - ٣٩) يبين دائرة لوحة إعلانات تتحكم في إضاءة مجموعة لمبات متوهجة قدرتها 300 W، حيث تضيء هذه اللمبات إضاءة متقطعة ويمكن توزيع هذه اللمبات على الإطار الخارجى للوحة إعلانات، علماً بأن جهد هذه اللمبات يساوى 48V+ ونحصل عليه من مصدر تيار مستمر.



شكل (٣ - ٣٩)

عناصر الدائرة:

R <sub>1</sub>	مقاومة متغيرة 1 M $\Omega$
R <sub>2</sub>	مقاومة كربونية 100 $\Omega$
R <sub>3</sub>	مقاومة كربونية 100 $\Omega$
R <sub>5</sub>	مقاومة كربونية 1 K $\Omega$
C <sub>1</sub>	مكثف كيميائي سعته 2.2 $\mu$ f وجهد 10 V
C <sub>2</sub>	مكثف كيميائي سعته 0.1 $\mu$ f وجهد 10 V
D <sub>2</sub>	ثنائي سليكوني طراز 1 N 914
Q <sub>1</sub>	ترانزستور أحادي الوصلة طراز RS- 2029
SCR <sub>1</sub>	ثايرستور طراز Radio shack 276-1089
IC <sub>1</sub>	دائرة متكاملة لقلابين J-K طراز 7473
B <sub>1</sub>	بطارية جهدها 6V



### نظرية التشغيل:

يقوم المذبذب المتراخي المؤلف من  $C_1, R_1, Q_1$  بتوليد نبضات مربعة ترددها يساوى:

$$F = \frac{1}{R_1 C_1} = 0.045 \text{ HZ}$$

ويعمل القلاب J-K كمُنصف للتردد الخارج من المذبذب المتراخي. وبمجرد تشغيل الدائرة فإن الأحمال المتوهجة الموصلة مع الثايرستور SCR<sub>1</sub> سوف تتذبذب بنصف تردد المذبذب المتراخي، ويمكن تغيير هذا التردد بواسطة المقاومة المتغيرة R<sub>1</sub>.

### ٣ / ٥ - دوائر الإمساك Latches:

تحتوى دوائر الإمساك المتكاملة على مجموعة من القلابات التى سبق دراستها. وتقوم Latches بالمحافظة على حالة مخارجها (مخارج القلابات) عند انقطاع إشارات مدخلها؛ ولذلك يقال: إن Latches تقوم بإمساك حالة كلمة رقمية (مجموعة من الإشارات الرقمية) وهناك عدة أنواع لدوائر Latches التى تنتمى لعائلة TTL مثل:

١ - دوائر الإمساك نوع R-S، على سبيل المثال الدوائر المتكاملة الآتية:

74279, 74118, 74119

٢ - دوائر الإمساك نوع D غير العاكسة، على سبيل المثال الدوائر المتكاملة الآتية:

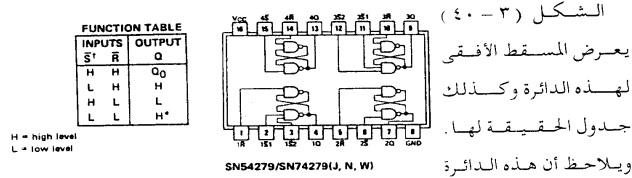
74873, 7477, 74100, 74363, 74373, 74845

٣ - دوائر الإمساك نوع D ذات المخارج ومعكوسها مثل:

7475, 74375

وسوف نتناول فى هذه الفقرة بعض دوائر الإمساك بمزيد من التفصيل.

أولاً: دائرة الإمساك نوع R-S طراز 74279 :



R-S، وكل قلاب يتألف من بوابة NAND ويعمل عند الحالة المنخفضة للمداخل. حيث إن مداخل الإمساك للقلاب الأربعة  $1\bar{S}_1, 1\bar{S}_2, 2\bar{S}, 3\bar{S}_1, 3\bar{S}_2, 4\bar{S}$  تكون فعالة عندما تكون حالتها منخفضة. وأيضاً فإن مداخل التحرير للقلاب الأربعة  $1\bar{R}, 2\bar{R}, 3\bar{R}, 4\bar{R}$  تكون فعالة عندما تكون حالتها منخفضة.

نظرية عمل قلاب واحد من الدائرة:

١ - تكون حالة المخرج Q عالية (H) عندما تكون حالة مدخل أو مدخل الإمساك  $\bar{S}$  منخفضة (L) وحالة مدخل التحرير  $\bar{R}$  عالية (H).

٢ - يحدث تحرير لحالة مخرج القلاب Q عندما تكون حالة مدخل الإمساك  $\bar{S}$  عالية (H) وحالة مدخل التحرير  $\bar{R}$  منخفضة (L).

٣ - لا يحدث تغير في حالة المخرج Q عندما تكون حالة المداخل  $\bar{S}, \bar{R}$  عالية (H).

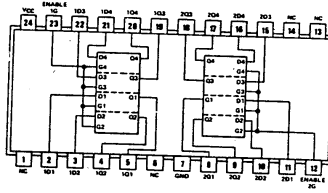
ثانياً: دائرة الإمساك نوع D طراز 74100 :

الشكل ( ٣ - ٤١ ) يعرض المسقط الأفقي لهذه الدائرة المتكاملة وجدول الحقيقة لها. ويلاحظ أن هذه الدائرة المتكاملة تحتوى على دائرتين، إمساك كل منها بأربعة مداخل ومدخل تمكين وأربعة مخرج.

**FUNCTION TABLE**  
(Each Latch)

INPUTS		OUTPUTS	
D	G	Q	$\bar{Q}$
L	H	L	H
H	H	H	L
X	L	$Q_0$	$\bar{Q}_0$

H = high level, X = irrelevant  
 $Q_0$  = the level of Q before the high-to-low transition of G



شكل (٣ - ٤١)

التعريف بأرجل الدائرة المتكاملة:

D1-D4

مدخل بيانات

G1-G4

مدخل التمكين (فعالة عندما تكون حالتها مرتفعة)

Q1-Q4

مخرج الدائرة المتكاملة

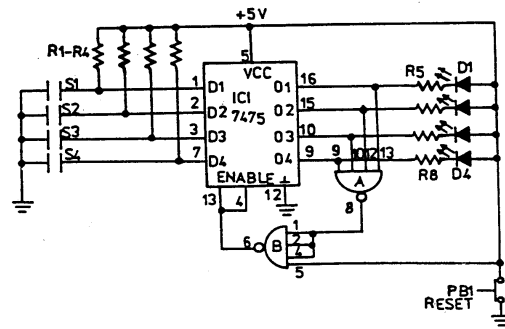
نظرية عمل الدائرة المتكاملة 74100:

١ - عندما تكون حالة مدخل التمكين G مرتفعة (H) فإن حالة مدخل البيانات D تنتقل للمخرج Q المقابل.

٢ - عندما تكون حالة مدخل التمكين G منخفضة فإن حالة المخرج Q لن تتغير، بغض النظر عن حالة مدخل البيانات D.

٣ / ٥ / ١ - تطبيق (دائرة إنذار لأربعة خزانات سائل):

الشكل (٣ - ٤٢) يبين دائرة إنذار ضوئية لأربعة خزانات سائل تعمل عند انخفاض مستوى السائل في أحد الخزانات.



شكل (٣ - ٤٢)

عناصر الدائرة:

R1-R4	مقاومات كربونية 1 K $\Omega$
R5-R8	مقاومات كربونية 680 $\Omega$
D1-D4	ثنائيات مشعة قياسية
IC1	دائرة متكاملة طراز 7475
A,B	دائرة متكاملة طراز 7420
PB1	ضاغط بريمشة مفتوحة
S1-S4	مفاتيح عوامات بريمش مفتوحة طبيعياً

نظرية عمل الدائرة:

في الوضع الطبيعي تكون حالة المخارج Q1-Q4 لدائرة الإمساك المتكاملة 7475 (والتي تحتوي على أربعة قلابات D) عالية؛ لأن حالة مداخل البيانات D1-D4 تكون عالية، وبالتالي يصبح خرج البوابة A منخفضاً، ومن ثم يصبح خرج البوابة B عالياً، فتصل إشارة عالية لمداخل التمكن 13,4 لدائرة الإمساك المتكاملة، وتظل المخارج عالية.

وعند غلق أحد ريش العوامات الأربعة المتصلة بمدخل البيانات D1-D4 ولتكن ريشة العوامة S1 تصبح حالة المدخل D1 منخفضة، فنتنقل هذه الحالة المنخفضة إلى المخرج Q1 فيضئ الثنائي المشع (I). وفي نفس الوقت يصبح خرج البوابة A عاليًا، وتباعاً يكون خرج البوابة B منخفضاً، فنصل إشارة منخفضة إلى مدخل التمكين لدائرة الإمساك المتكاملة، وبالتالي فإن حالة جميع المخارج Q1-Q4 لن تتغير مهما تغيرت حالة المدخل D1 - D4، وبالتالي عندما تغلق ريشة عوامة أخرى فلن يحدث تغيير عما سبق.

وبعد معرفة رقم الخزان الممتلئ وتقليل مستوى سائله بوسيلة ما، ثم الضغط على ضاغط التحرير Reset push button يصبح خرج البوابة B عاليًا، وبالتالي تنتقل الحالة الراهنة للمدخل D1 - D4 للمخارج Q1 - Q4، وطالما أن جميع العوامات في الوضع الطبيعي (مفتوحة) فإن حالة المدخل D1 - D4 تصبح عالية، وتباعاً تصبح حالة Q1 - Q4 عالية، وتنطفئ جميع الثنائيات المشعة وتصبح الدائرة مستعدة لاستقبال مشكلة جديدة.

### ٣ / ٦ - أنظمة الأعداد والأكواد Code and number systems :

إن معرفة النظم المختلفة للأعداد والأكواد يسهل على القارئ التعامل مع أنظمة التحكم الرقمية. وقبل البدء في سرد النظم المختلفة للأعداد والأكواد سنشير إلى بعض المصطلحات التي تستخدم عادة مع نظم الأعداد المختلفة وهي :

- ١ - إن أي عدد يتكون من مجموعة من الخانات Digits.
- ٢ - كل نظام أعداد له أساس ثابت وله مجموعة أعداد أساسية.
- ٣ - يمكن تحويل أي نظام أعداد إلى النظام العشري للأعداد والمستخدم في حياتنا اليومية وذلك باستخدام المعادلة التالية :

$$Z = a_0b^0 + a_1b^1 + a_2b^2 + \dots \rightarrow 3.10$$

حيث إن : Z هو العدد العشري المكافئ، أما  $a_0, a_1, a_2$  فهي الأعداد الأساسية، b هو الأساس.

### ٣ / ٦ / ١ - نظام الأعداد العشرية : Decimal numbers

أساس نظام الأعداد العشرية 10 .

الأعداد الأساسية للنظام العشري 0, 1, 2, ..... , 9 .

فيمكن القول إن العدد العشري 456 يساوي :

$$456 = 4 \times 10^2 + 5 \times 10^1 + 6 \times 10^0$$

حيث إن 10 هي أساس النظام العشري .

4,5,6 الأعداد الأساسية للنظام العشري .

### ٣ / ٦ / ٢ - نظام الأعداد الثنائية : Binary numbers

أساس نظام الأعداد الثنائية 2 .

الأعداد الأساسية لنظام الأعداد الثنائية 0,1 .

مثال :

حول العدد الثنائي  $(10110110)_2^{LS}$  لمكافئه العشري، حيث إن الخانة (bit) اليسرى هي الأعلى رتبة (MSD) ورتبتها  $2^7$  والخانة اليمنى هي الأقل رتبة (LSD) ورتبتها  $2^0$ .

$$Z = 1 \times 2^7 + 0 \times 2^6 + 1 \times 2^5 + 1 \times 2^4 + 0 \times 2^3 + 1 \times 2^2 + 1 \times 2^1 + 0 \times 2^0 \\ = (182)_{10}$$

علماً بأن كل خانة من خانات العدد الثنائي تسمى bit، ويسمى العدد الثنائي بكلمة ward، وتتكون الكلمة عادة من مجموعة من bits .

### ٣ / ٦ / ٣ - نظام الأعداد الثمانية : Octal numbers

الأساس 8

الأعداد الأساسية 0,1,2, ..... , 7

مثال :

Z حول العدد الثماني  $(1763)_8$  لمكافئه العشري

$$Z = 1 \times 8^3 + 7 \times 8^2 + 6 \times 8^1 + 3 \times 8^0 = (1067)_{10}$$

### ٣ / ٦ - نظام الأعداد السداسية عشر : Hexadecimal numbers

الأساس 16

الأعداد الأساسية 0,1,2,3,4,5,6,7,8,9, A,B,C,D,E,F

وفيما يلي المكافئ العشري للأعداد الأساسية الستة الأخيرة

$$A = 10 \quad B = 11 \quad C = 12 \quad D = 13 \quad E = 14 \quad F = 15$$

مثال:

حول العدد السداسي عشر  $(1A6)_{16}$  لمكافئه العشري

$$Z = 1 \times 16^2 + A \times 16^1 + 6 \times 16^0 = (422)_{10}$$

### ٣ / ٥ - الأعداد العشرية المكددة ثنائياً BCD :

يمكن تمثيل الأعداد العشرية بأعداد ثنائية، حيث إن أى عدد عشري أساسي، أى يتكون من خانة واحدة يمكن تمثيله بعدد ثنائي له أربع خانات.

مثال:

حول العدد العشري 7493 لعدد عشري مكود ثنائياً.

$$(7493)_{10} = \begin{array}{c} \text{0111} \\ \downarrow \\ 7 \end{array} \begin{array}{c} \text{0100} \\ \downarrow \\ 4 \end{array} \begin{array}{c} \text{1001} \\ \downarrow \\ 9 \end{array} \begin{array}{c} \text{0011} \\ \downarrow \\ 3 \end{array}$$

### ٣ / ٧ - العدادات Counters :

العداد الإلكتروني هو أداة فحص عدد النبضات التي تدخل إلى مدخل النبضات للعداد.

ويتكون العداد من مجموعة من القلايات متصلة معاً بطريقة تمكنها من العد.

وتنقسم العدادات إلى نوعين من حيث نظرية عملها:

١ - عدادات تزامنية.

٢ - عدادات غير تزامنية.

وتنقسم العدادات إلى نوعين من حيث وظيفتها ، وهما :

١ - عدادات تصاعدية Up counters ويزداد خرجها بمقدار 1 كلما وصلت نبضة لدخل نبضات العداد .

٢ - عدادات تنازلية Down Counters ويقل خرجها بمقدار 1 كلما وصلت نبضة لدخل نبضات العداد وصولاً للصفر .

وتنقسم العدادات إلى ثلاثة أنواع من حيث نوع مخرجها ، وهي :

١ - عداد ثنائي .

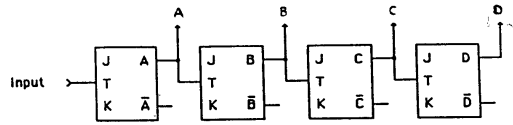
٢ - عداد ثنائي مكود عشرياً BCD ، ويطلق عليه أحياناً عداد عشري .

٣ - عداد ثماني وله ثلاثة مخارج .

وستوضح هذه الأنواع في الفقرات التالية :

١ / ٧ / ٣ - العدادات غير المتزامنة Asynchronous Counters :

الشكل ( ٣ - ٤٣ ) يعرض دائرة عداد ثنائي تصاعدي غير متزامن يتكون من أربعة فلبات J-K . حيث يوصل المداخل J-K للفلبات الأربعة مع الطرف + Vcc لمنع التيار المستمر ( غير موضح بالرسم ) .



شكل ( ٣ - ٤٣ )

ويلاحظ أنه استخدمت الأحرف A,B,C,D كمخارج للفلبات بدلاً من Q حتى يسهل تمييز الفلبات . وكل خرج من هذه المخارج الأربعة يعطى دلالة عن عدد عشري معين ، فمثلاً :

$$A = 2^0 = 1$$

$$B = 2^1 = 2$$



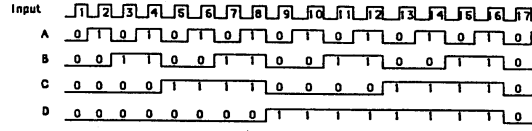
$$C = 2^2 = 4$$

$$D = 2^3 = 8$$

ويقوم هذا العداد الثنائي بعد النبضات عند الحافة السالبة (الهابطة) عند الانتقال من عالي لمنخفض والتي تدخل لمدخل النبضات T.

ويبدأ هذا العداد العد عندما تكون حالة جميع مخارج منخفضة (0)، أى أن العدد المحمل به العداد فى البداية هو صفر عشري وأقصى عدد نحصل عليه من هذا العداد الثنائي هو (1111) وهو يساوى  $(15)_{10}$ .

والشكل (٤٤ - ٣) يبين شكل موجات الجهد على المخارج الأربعة A,B,C,D عند دخول نبضات ساعة على مدخل النبضات T للقلاب A.



شكل (٤٤ - ٣)

ويلاحظ أن قيمة العدد الخارج على مخارج العداد A,B,C,D تزداد واحداً أثناء الحافة الهابطة لنبضة المؤقت، فمثلاً: عند الحافة الهابطة للنبضة 5 فإن:

$$A = 1 \quad B = 0 \quad C = 1 \quad D = 0$$

أى أن العدد الثنائي الخارج على مخارج العداد A,B,C,D هو (0101) ويكافئ:

$$Z = 1 \times 2^0 + 0 \times 2^1 + 1 \times 2^2 + 0 \times 2^3 = 5$$

والشكل (٤٥ - ٣) يعرض دائرة عداد ثنائي تنازلى غير متزامن، يتكون من أربعة

قلابات J-K.

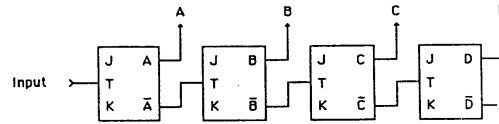
حيث توصل المداخل J,K للقلابات الأربعة مع الطرف  $V_{CC}$  لمنبع التيار المستمر (غير موضح بالرسم) وللعداد أربعة مخارج، وهى: A,B,C,D، حيث يعطى كل منها دلالة على عدد عشري معين، حيث إن:

$$A = 2^0 = 1$$

$$B = 2^1 = 2$$

$$C = 2^2 = 4$$

$$D = 2^3 = 8$$



شكل (٤٥ - ٣)

وبمجرد وصول النبضة الأولى لهذا العداد تصبح حالة جميع مخرجه عالية، أي أن:

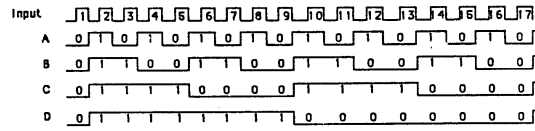
$$A = B = C = D = 1$$

ويكون العدد العشري الذي يحمل به العداد في البداية هو:

$$Z = 1 \times 1 + 1 \times 2 + 1 \times 4 + 1 \times 8 = 15$$

وكلما وصلت نبضة للعداد قل العدد المحمل به العداد بمقدار 1 إلى أن يصبح حالة جميع مخرج العداد منخفضة، في هذه الحالة يكون العدد المحمل به العداد يكافئ صفراً عشرياً وحينئذ يبدأ العداد من جديد دورة العد.

والشكل (٤٦ - ٣) يبين شكل الجهد على المخرج الأربعة A,B,C,D عند دخول نبضات ساعة على مدخل نبضات الساعة T.



شكل (٤٦ - ٣)

ويلاحظ أن قيمة العد تقل واحداً أثناء الحافة الهابطة لنبضات الساعة (الانتقال من عالي لمنخفض)، فمثلاً: عند الحافة الهابطة للنبضة 7 فإن:

$$A = B = 0, C = 0, D = 1$$

ويكون العدد الثنائي الخارج على مخارج الأعداد A,B,C,D هو (1001).

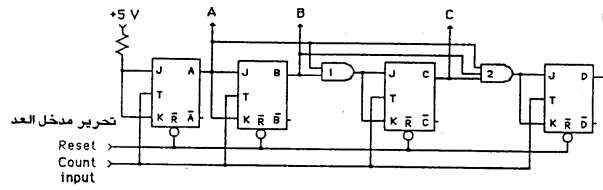
حيث إن خرج A هو الأقل رتبة وخرج D هو الأعلى رتبة.

$$Z = 1 \times 1 + 0 \times 2 + 0 \times 4 + 1 \times 8 = 9$$

### ٣ / ٧ / ٢ - العدادات المتزامنة Synchronous Counters

تتميز العدادات المتزامنة بالسرعة الفائقة مقارنة بالعدادات غير المتزامنة والشكل (٣ - ٤٧) يعرض دائرة لعداد ثنائي متزامن تصاعدي، حيث يوصل مولد نبضات بمدخل النبضات للقلابات الأربعة A, B, C, D، ويتم إدخال خرج القلاب A على المدخلين J, K للعداد B وإدخال خرج القلابين A, B على المدخلين J, K للعداد C بواسطة البوابة 1 وإدخال خرج جميع القلابات A, B, C على المدخلين J, K للعداد D بواسطة البوابة 2.

ويلاحظ أن هذه الدائرة مزودة بمدخل لتحرير القلابات عند أي لحظة عندما يكون حالة خط التحرير Reset منخفضة (L). لذلك يجب المحافظة على حالة هذا الخط مرتفعة أثناء قيام العداد بالعد.



شكل (٣ - ٤٧)

### ٣ / ٧ / ٣ - الدوائر المتكاملة للعدادات:

يمكن تقسيم الدوائر المتكاملة للعدادات عائلة TTL إلى:

- ١ - عدادات غير متزامنة، تعمل عند الحافة الهابطة لنبضات الساعة، وتنقسم بدورها إلى:

أ - عدادات تصاعديّة لها خرج BCD، مثل الدوائر المتكاملة التالية :

74196, 74176, 7490, 74290

ب - عدادات لها خرج ثنائي، مثل الدوائر المتكاملة التالية :

74197, 74177, 7493, 74293

٢ - عدادات متزامنة، تعمل عند الحافة الصاعدة لمنبضات الساعة، وتنقسم بدورها إلى :

أ - عدادات تصاعديّة لها خرج BCD، مثل الدوائر المتكاملة التالية :

74162, 74160

ب - عدادات تصاعديّة / تنازليّة لها خرج BCD، مثل الدوائر المتكاملة التالية :

74190, 74192

ج - عدادات لها خرج ثنائي بأربعة مخارج ثنائية، مثل الدوائر المتكاملة التالية :

79163, 74161, 74191, 74193

د - عدادات لها خرج ثنائي بستة مخارج ثنائية، مثل الدائرة المتكاملة 7497.

ويمكن تقسيم الدوائر المتكاملة للعدادات عائلة CMOS سلسلة CD 40.. إلى :

أ - عدادات عشريّة، مثل الدائرة المتكاملة CD 4017A

ب - عدادات ثنائية بسبعة مخارج ثنائية CD 4024A

ج - عدادات ثنائية باثني عشر مخرج ثنائي CD 4040A

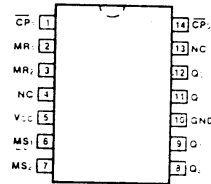
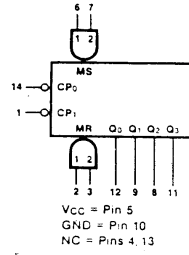
د - عدادات ثنائية بواحد وعشرين مخرجاً ثنائياً مع مذبذب CD 4045

وسوف نتناول في هذه الفقرة أكثر هذه الأنواع استخداماً.

أولاً: العداد العشري المكود ثنائياً 7490 :

الشكل (٣ - ٤٨) يعرض مسقطاً أفقيّاً لهذا العداد (أ) والرمز المنطقي (ب)

وجداول الحقيقة (ج) وجدول اختيار الوظيفة (د).



MODE SELECTION

RESET/SET INPUTS				OUTPUTS			
MR <sub>1</sub>	MR <sub>2</sub>	MS <sub>1</sub>	MS <sub>2</sub>	Q <sub>0</sub>	Q <sub>1</sub>	Q <sub>2</sub>	Q <sub>3</sub>
H	H	L	X	L	L	L	L
H	H	X	L	L	L	L	L
X	X	H	H	H	L	L	H
L	X	L	X	Count			
X	L	X	L	Count			
L	X	X	L	Count			
X	L	L	X	Count			

H = HIGH Voltage Level  
L = LOW Voltage Level  
X = Immaterial

BCD COUNT SEQUENCE

COUNT	OUTPUTS			
	Q <sub>0</sub>	Q <sub>1</sub>	Q <sub>2</sub>	Q <sub>3</sub>
0	L	L	L	L
1	H	L	L	L
2	L	H	L	L
3	H	H	L	L
4	L	L	H	L
5	H	L	H	L
6	L	H	H	L
7	H	H	H	L
8	L	L	L	H
9	H	L	L	H

NOTE: Output Q<sub>0</sub> is connected to Input CP<sub>1</sub> for BCD count.

شكل (٣-٤٨)

التعريف بأرجل العداد:

مخارج العداد حيث إن  $Q_0 = 2^0$ ,  $Q_1 = 2^1$ ,  $Q_2 = 2^2$ ,  $Q_3 = 2^3$

MR(1), MR(2) مدخلان للتحريير

MS(1), MS(2) مدخلان للتحميل

CP<sub>0</sub>, CP<sub>1</sub> مدخل النبضات

نظرية عمل الدائرة المتكاملة 7490:

تحتوى الدائرة المتكاملة 7490 على عدادين: الأول بمخرج واحد Q<sub>0</sub> وله مدخل للتحريير MR(1) ومدخل للتحميل MS(1) ومدخل للنبضات CP<sub>0</sub>. والثاني بثلاثة

مخارج Q1, Q2, Q3 ومدخل للتحرير MR(2) ومدخل للتحميل MS(2) ومدخل للنبضات CP1.

وحتى يعمل العداد كعداد BCD بأربعة مخارج يتم توصيل مخرج العداد الأول Q0 مع مدخل نبضات العداد الثنائي CP1.

وهناك عدة حالات لتشغيل هذا العداد موضحة بجدول اختيار الوظيفة وهي:

١ - عندما تكون حالة MR(1), MR(2) عالية وحالة أحد المدخلين MS(1), MS(2) منخفضة فإن جميع مخارج العداد تصبح منخفضة.

٢ - عندما تكون حالة MS(1), MS(2) عالية فإن حالة مخارج العداد تصبح عالية بغض النظر عن حالة المداخل MR(1), MR(2).

٣ - عندما تكون حالة أحد المدخلين MR(1), MR(2) على الأقل منخفضة وحالة أحد المدخلين MS(1), MS(2) على الأقل منخفضة يعمل العداد كعداد BCD عند الحافة الهابطة لنبضات الساعة التي تدخل على مدخل النبضات CP0. حيث يبدأ العد من 0 وصولاً إلى 9 ثم تتكرر دورة العد من جديد، ويمكن معرفة حالة المخارج Q0-Q3 عند أى نبضة من جدول الحقيقة.

ثانياً: العداد العشري المكود ثنائياً BCD التصاعدي / التنازلي 74192:

الشكل (٣ - ٤٩) يعرض مسقطاً أفقياً لهذا العداد (أ) والرمز المنطقي للعداد (ب) وجدول الوظيفة (ج).

التعريف بأرجل الدائرة المتكاملة:

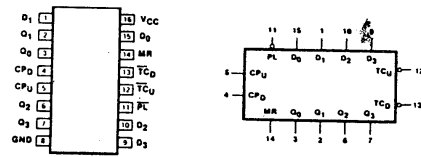
CPu	مدخل نبضات الساعة للعد التصاعدي ( فعال عند الحافة الصاعدة )
CPd	مدخل نبضات الساعة للعد التنازلي ( فعال عند الحافة الصاعدة )
MR	مدخل التحرير ( يكون فعالاً عندما يكون عالياً )
$\overline{PL}$	مدخل تحميل بيانات على التوازي ( فعال عندما يكون منخفضاً )
P0-P3	مداخل بيانات على التوازي
Q0-Q3	مخارج العداد

$\overline{TC_D}$ 

خرج الاقتراض (منخفض عندما يكون فعالاً)

 $\overline{TC_U}$ 

خرج الباقي (منخفض عندما يكون فعالاً)



OPERATING MODE	INPUTS								OUTPUTS							
	MR	PL	CP <sub>U</sub>	CP <sub>D</sub>	D <sub>0</sub>	D <sub>1</sub>	D <sub>2</sub>	D <sub>3</sub>	Q <sub>0</sub>	Q <sub>1</sub>	Q <sub>2</sub>	Q <sub>3</sub>	TC <sub>U</sub>	TC <sub>D</sub>		
Reset (clear)	H	X	X	L	X	X	X	X	L	L	L	L	H	L		
Parallel load	L	L	X	L	L	L	L	L	L	L	L	L	H	L		
	L	L	X	H	L	L	L	L	L	L	L	L	H	H		
	L	L	L	X	H	X	X	H	L	L	L	L	H	H		
	L	L	L	H	X	X	X	H	L	L	L	L	H	H		
Count up	L	H	T	H	X	X	X	X	Count up				H <sup>(a)</sup>	H		
Count down	L	H	H	T	X	X	X	X	Count down				H	H <sup>(b)</sup>		

H = HIGH voltage level  
 L = LOW voltage level  
 X = Don't care  
 T = LOW-to-HIGH clock transition

NOTES:  
 a. TC<sub>U</sub> = CP<sub>U</sub> at terminal count up (HLLL).  
 b. TC<sub>D</sub> = CP<sub>D</sub> at terminal count down (LLLL).

شكل (٣ - ٤٩)

74192:

نظرية عمل الدائرة المتكاملة

١ - يتم تحرير مخارج العداد الأربعة Q<sub>0</sub>-Q<sub>3</sub> (أى إعادتها للحالة المنخفضة) إذا كانت حالة مدخل التحرير MR مرتفعة، وتنتقل حالة CP<sub>D</sub> للمخرج  $\overline{TC_D}$ .

٢- يتم نقل حالة المداخل المتوازية D0-D3 للمخارج المقابلة Q0-Q3 عندما تكون حالة كل من  $\overline{PL}$ , MR, منخفضة، وتنتقل حالة CPD إلى  $\overline{TCD}$  إذا كانت حالة المداخل المتوازية D0-D3 منخفضة، وتنتقل حالة CPU إلى  $\overline{TCD}$  إذا كانت حالة بعض أو كل المداخل المتوازية عالية.

٣- يعمل العداد تصاعدياً إذا كانت حالة MR منخفضة وحالة  $\overline{PL}$ , CPD, عالية، وذلك عند الحافة الصاعدة لنبضات الساعة التي تدخل من المدخل CPU، وتبدأ دورة العد من LLLL وصولاً إلى HLLH في هذه الحالة تنتقل حالة المخرج  $\overline{TCD}$  من مرتفعة لمنخفضة، وتبدأ دورة العد من جديد فتعود حالة  $\overline{TCD}$  مرتفعة كما كانت.

٤- يعمل العداد تنازلياً إذا كانت حالة MR منخفضة وحالة  $\overline{PL}$ , CPU, مرتفعة، وذلك عند الحافة الصاعدة لنبضات الساعة التي تدخل من المدخل CPU. وتبدأ دورة العد من HLLH وصولاً إلى LLLL، في هذه الحالة تنتقل حالة المخرج  $\overline{TCD}$  من مرتفع لمنخفض، وتبدأ دورة العد من جديد فتعود حالة  $\overline{TCD}$  مرتفعة كما كانت.

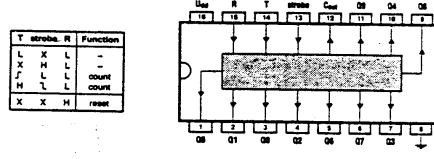
ثالثاً: العداد العشري A CD4017 :

الشكل (٣ - ٥٠) يعرض المسقط الأفقى لهذه الدائرة المتكاملة و جدول الحقيقة.

التعريف بأرجل الدائرة المتكاملة :

Q0-Q9	مخارج العداد العشري
R	مدخل التحرير
Strobe	مدخل الإمساك
Cout	مخرج الباقي
T	مدخل النبضات





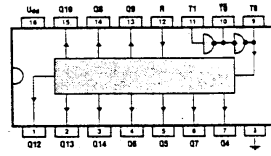
شكل (٣ - ٥٠)

#### نظرية تشغيل العداد :

- ١ - عندما تكون حالة مدخل التحرير R منخفضة (L) وحالة مدخل الإمساك Strobe منخفضة يقوم العداد بعد النبضات التي تدخل للمدخل T عند الحافة الصاعدة. فعند دخول النبضة الأولى تكون حالة Q0 عالية وباقي المخارج منخفضة، وعند دخول النبضة الثانية تصبح حالة Q1 فقط عالية، وعند وصول النبضة الثالثة تصبح حالة Q2 فقط عالية، وهكذا وصولاً للنبضة العاشرة تصبح حالة Q9 فقط عالية، وعند وصول النبضة الحادية عشر تصبح حالة Q0 فقط عالية. وتتكرر دورة التشغيل.
- ٢ - عندما تكون حالة مدخل التحرير R منخفضة وحالة مدخل النبضات T عالية يقوم العداد بعد النبضات التي تدخل على مدخل الإمساك عند الحافة الهابطة.
- ٣ - يقوم العداد بتثبيت حالة مخارجه عند وصول إشارة عالية لمدخل الإمساك Strobe، وعندما تكون حالة مدخل التحرير R منخفضة بغض النظر عن حالة باقي المداخل.
- ٤ - يقوم العداد بتحرير مخارجه، أي تعود جميع مخارجه للحالة المنخفضة عندما تكون حالة مدخل التحرير R عالية.

CD4060 :

رابعاً : العداد الثنائي ذات الأربعة عشر مخرجاً والمذبذب



الشكل ( ٣ - ٥١ ) يعرض  
المسقط الأفقي وجدول الوظيفة  
لهذه الدائرة المتكاملة  
التعريف بأرجل الدائرة  
المتكاملة :

T	R	Function
X	H	reset
H	L	-
L	L	count

مخارج العداد الثنائي Q4-Q14

أطراف المذبذب T0, T0, T1

نظرية عمل العداد :

شكل ( ٣ - ٥١ )

لتشغيل العداد يجب أن توصل

مقاومة R بالرجل T0 ويوصل مكثف C بالرجل T1 ويوصل الطرف الثاني لكل من  
المكثف والمقاومة معاً بالرجل T0 ويكون تردد المذبذب مساوياً

$$F = \frac{1}{2.2 RC} \rightarrow 3.11$$

وعندما تكون حالة المدخل R منخفضة يقوم العداد بعد نبضات المذبذب  
وإخراج العدد الثنائي المكافئ لعدد النبضات على مخارج العداد، علماً بأن رتبة كل  
مخرج تكافئ رقمه، فرتبة المخرج Q4 هو 2<sup>4</sup> والمخرج Q5 هو 2<sup>5</sup> وهكذا.

فبعد 2<sup>5</sup> نبضة تصبح حالة المخرج Q5 عالية، وبعد 2<sup>14</sup> نبضة تصبح حالة المخرج  
Q14 عالية وهكذا.

وعندما تصبح حالة المدخل R عالية يحدث تحرير لجميع مخارج العداد وتعود  
حالتها منخفضة وعادة تستخدم هذه الدائرة المتكاملة كمؤقت زمني.

فمثلاً إذا كانت قيمة المقاومة R1 = 67 KΩ والمكثف C1 = 1μf فإن تردد  
المذبذب يساوي :

$$F = \frac{1000}{2.2 \times 67 \times 1} = 6.8 \text{ HZ}$$

أى أن زمن النبضة يساوى:

$$T = \frac{1}{F} = 0.147 \text{ sec}$$

وبالتالى تصبح حالة المخرج Q14 عالية بعد زمن مقداره يساوى:

$$T = 2^{14} \times 0.147 = 2408 \text{ sec}$$

$$= 40 \text{ min}$$

### ٣ / ٨ - مسجلات الإزاحة : Shift Registers

يقوم مسجل الإزاحة بتخزين رقم ثنائى، ثم إزاحته يمينا أو يساراً عندما يقتضى الأمر ذلك.

ويتكون مسجل الإزاحة من عدة قلابات، حيث يخصص قلاب لكل خانة (Bit) من الرقم الثنائى. ويمكن إدخال الرقم الثنائى للمسجل أو إخراج منه بشكل متتال، أى خانة بعد خانة أو بشكل متواز، أى كل الخانات معاً.

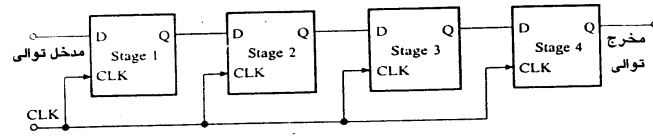
وتوجد عدة أنواع من مسجلات الإزاحة، مثل:

- ١ - مسجلات الإزاحة ذات الدخل والمخرج المتوالى SISO
- ٢ - مسجلات الإزاحة ذات الدخل المتوالى والمخرج المتوازى SIPO
- ٣ - مسجلات الإزاحة ذات الدخل المتوازى والمخرج المتوالى PISO
- ٤ - مسجلات الإزاحة ذات الدخل والمخرج المتوازى PIPO

وسوف نتناول هذه الأنواع بالتفصيل فى الفقرات القادمة.

### ٣ / ٨ - ١ - مسجلات الإزاحة ذات الدخل والمخرج المتوالى SISO:

الشكل (٣ - ٥٢) يعرض مسجل إزاحة SISO يتكون من أربعة قلابات D.



شكل (٣ - ٥٢)

حيث تدخل البيانات من مدخل القلاب الأول وتخرج من مخرج القلاب الرابع، ومع كل نبضة تتحرك البيانات من اليسار إلى اليمين. ويتميز هذا المسجل بأن أول Bit يدخل هو أول Bit يخرج.

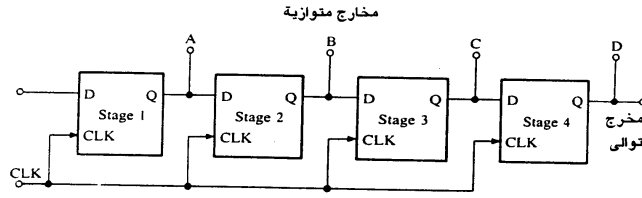
فلتخزين عدد يتكون من أربع خانات مثل 1110 نحتاج لأربع نبضات ساعة تدخل على خط CLK فينتقل هذا العدد الثنائي 1110 من مدخل التوالى Serial in ليخزن في القلابات الأربعة ويصبح خرج القلاب 4 هو (0) ومخرج القلاب 3 هو (1) ومخرج القلاب 2 هو (1) ومخرج القلاب 1 هو (1)

ويحتاج هذا العدد لثلاث نبضات أخرى تصل لمسار نبضات الساعة CLK حتى يخرج هذا العدد من مخرج التوالى Serial out خاتمة تلو الأخرى أى أن العدد الكلى اللازم لنقل أى عدد ثنائى من مدخل التوالى إلى مخرج التوالى يكافئ  $(n+3)$ ، حيث  $n$  هو عدد خانات العدد الثنائى.

وعادة تستخدم مسجلات SISO فى التأخير الزمنى، حيث يتم تأخير البيانات الخارجة عن البيانات الداخلة فترة زمنية  $T(n+3)$ ، حيث إن  $T$  هو زمن النبضة الواحدة لنبضات الساعة.

٣ / ٨ - مسجلات الإزاحة ذات الدخل المتوالى والمخرج المتوالى SIPO:

الشكل (٣ - ٥٣) يعرض مسجل إزاحة SIPO يتكون من أربعة قلابات D



شكل (٣-٥٣)

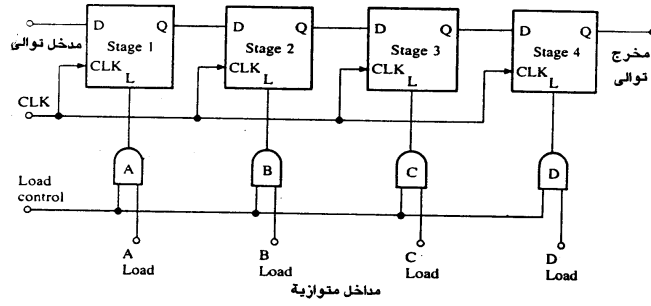
حيث تدخل البيانات من مدخل التوالى Serial in وتخرج من مخارج التوازي A-D. ويحتاج العدد الثنائى المؤلف من أربع خانات أربع نبضات حتى يخرج على مخارج المسجل A-D.

فمثلاً عند دخول العدد الثنائى 1011 لمدخل التوالى وبعد أربع نبضات فإن:

$$D = 1, C = 1, B = 0, A = 1$$

٣ / ٨ / ٣ - مسجلات الإزاحة ذات الدخل المتوازي والخروج المتوالى PISO :

الشكل (٣-٥٤) يعرض مسجل إزاحة PISO يتكون من أربعة فلابات D.



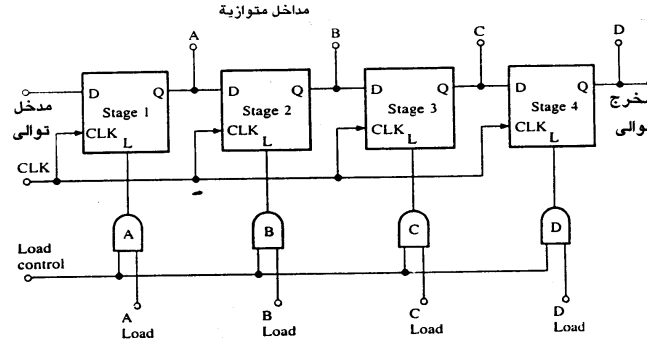
شكل (٣-٥٤)

ويلاحظ أن لهذا المسجل أربعة مداخل A,B,C,D ومخرج واحد توالى Serial out، ويوجد طرف لتحميل المسجل Load Control. فعندما تكون حالة طرف Load Control عالية فإن الكلمة التي تدخل على مداخل التوازي A-D سوف تخرج من مخرج التوالى Serial out بعد أربع نبضات.

فمثلاً: عند دخول العدد الثنائي 1011 على مداخل التوازي A-D وعندما تكون حالة طرف Load Control عالية فبمجرد وصول النبضة الأولى لمدخل النبضات يصبح خرج القلاب الرابع (1) والثالث (1) والثاني (0) والأول (1). وبعد وصول ثلاث نبضات أخرى لمدخل النبضات يكون هذا العدد قد خرج، الحانة تلو الأخرى من مخرج التوالى.

٣ / ٨ - مسجلات الإزاحة ذات الدخل والمخرج المتوازي : PIPO

الشكل (٣ - ٥٥) يعرض مسجل إزاحة PIPO يتكون من أربعة قلابات D.



الشكل (٣ - ٥٥)

ويلاحظ أن لهذا المسجل أربعة مداخل متوازية A-D وأربعة مخارج متوازية A-D، ويحتاج العدد الثنائي المؤلف من أربع خانات نبضة واحدة ليخرج على مخارج المسجل.

والجدير بالذكر أن معظم مسجلات الإزاحة المتوفرة في الأسواق تكون عامة، بمعنى أنها يمكن أن تعمل كمسجل SISO أو SIPO أو PISO أو PIPO. وهذا سيتضح من دراسة الدوائر المتكاملة للمسجلات.

### ٣ / ٨ - ٥ الدوائر المتكاملة للمسجلات:

يوجد العديد من الدوائر المتكاملة TTL للمسجلات. والجدول (٣ - ٥) يعرض ستة أنواع مختلفة من هذه الدوائر المتكاملة وخواصها.

الجدول (٣ - ٥)

بإمكانية تحرير	بإمكانية إمسك	بإمكانية تحميل	اتجاه الإزاحة	عدد الخانات	عدد الأرجل	الوظيفة	الطراز
نعم	نعم	نعم	يمين / يسار	4	16	PIPO	74194
نعم	لا	نعم	يمين	4	16	PIPO	74195
نعم	نعم	نعم	يمين	8	16	PIPO	74165
نعم	نعم	نعم	يمين	8	14	SIPO	74164
لا	لا	نعم	يمين	4	14	PIPO	7495
نعم	لا	نعم	يمين	4	14	SISO	7474

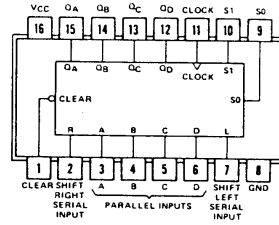
وسوف نتناول بالتفصيل بعض هذه الدوائر المتكاملة في هذه الفقرة.

### أولاً: الدائرة المتكاملة 74194:

الشكل (٣ - ٥٦) يعرض المسقط الأفقي وجدول الوظيفة لهذه الدائرة المتكاملة.

FUNCTION TABLE												
INPUTS								OUTPUTS				
CLEAR	MODE		CLOCK	SERIAL		PARALLEL		Q <sub>A</sub>	Q <sub>B</sub>	Q <sub>C</sub>	Q <sub>D</sub>	
	S <sub>1</sub>	S <sub>0</sub>		LEFT	RIGHT	A	B					C
L	X	X	X	X	X	X	X	X	X	L	L	
H	X	X	L	X	X	X	X	X	X	Q <sub>A0</sub>	Q <sub>B0</sub>	
H	H	H	↑	X	X	a	b	c	d	a	b	
H	L	H	↑	X	H	X	X	X	X	Q <sub>An</sub>	Q <sub>Bn</sub>	
H	L	H	↑	X	L	X	X	X	X	Q <sub>An</sub>	Q <sub>Bn</sub>	
H	H	L	↑	H	X	X	X	X	X	Q <sub>Bn</sub>	Q <sub>Cn</sub>	
H	H	L	↑	L	X	X	X	X	X	Q <sub>Bn</sub>	Q <sub>Dn</sub>	
H	L	L	X	X	X	X	X	X	X	Q <sub>A0</sub>	Q <sub>B0</sub>	

H = high level (steady state)  
 L = low level (steady state)  
 X = irrelevant (any input, including transitions)  
 ↑ = transition from low to high level  
 a, b, c, d = the level of steady state input at inputs A, B, C, or D, respectively  
 Q<sub>A0</sub>, Q<sub>B0</sub>, Q<sub>C0</sub>, Q<sub>D0</sub> = the level of Q<sub>A</sub>, Q<sub>B</sub>, Q<sub>C</sub>, or Q<sub>D</sub>, respectively, before the indicated steady state input conditions were established  
 Q<sub>An</sub>, Q<sub>Bn</sub>, Q<sub>Cn</sub>, Q<sub>Dn</sub> = the level of Q<sub>A</sub>, Q<sub>B</sub>, Q<sub>C</sub>, Q<sub>D</sub>, respectively, before the most recent ↑ transition of the clock.



شكل (٣-٥٦)

التعريف بأرجل الدائرة المتكاملة:

S <sub>0</sub> , S <sub>1</sub>	مدخل تحديد الوظيفة
A, B, C, D	مدخل البيانات المتوازية
SHIFT RIGHT SERIAL INPUT	مدخل التوالى للبيانات للإزاحة يميناً
SHIFT LEFT SERIAL INPUT	مدخل التوالى للبيانات للإزاحة يساراً
CLOCK	مدخل نبضات الساعة ويكون فعالاً عند الحافة الصاعدة
CLEAR	مدخل التحرير ويكون فعالاً عندما يكون منخفضاً.
QA-QC	المخارج المتوازية

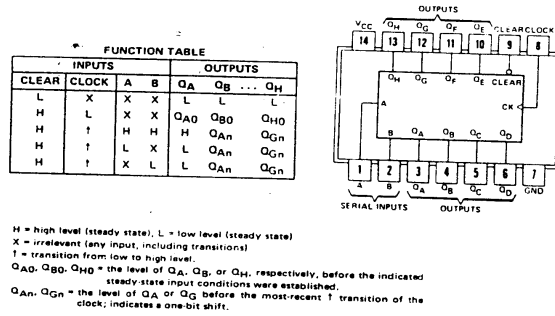


## نظرية عمل الدائرة المتكاملة :74194

- ١ - عندما تكون حالة مدخل التحرير CLEAR منخفضة تتحرر جميع المخارج المتوازية QA-QC، أى تصبح حالتها منخفضة.
- ٢ - عندما تكون حالة مدخل نبضات الساعة CLOCK منخفضة أو حالة مدخل التحرير عالية CLEAR يحدث إمساك لحالة المخارج QA-QC، وأيضاً عندما تكون حالة مداخل الوظيفة S0, S1 منخفضة وحالة مدخل التحرير CLEAR عالية يحدث إمساك لحالة المخارج QA-QC.
- ٣ - عندما تكون حالة S1, S0 عالية تنتقل محتويات المداخل المتوازية A - D إلى المخارج المتوازية المقابلة QA - QD عند الحافة الصاعدة لأول نبضة تدخل من مدخل النبضات CLOCK وتسمى هذه العملية بالتحميل.
- ٤ - عندما تكون حالة S0 عالية وحالة S1 منخفضة تنتقل محتويات مدخل التوالى للإزاحة جهة اليمين SERIAL/RIGHT للمخارج QA-QD مع إزاحة لليمين لمحتوياتهم.
- ٥ - عندما تكون حالة S0 منخفضة وحالة S1 عالية تنتقل محتويات مدخل التوالى للإزاحة جهة اليسار SERIAL/LEFT للمخارج QA-QD مع إزاحة لليساار لمحتوياتهم.

## ثانياً: الدائرة المتكاملة 74164 :

الشكل (٣ - ٥٧) يعرض المسقط الأفقى وجدول الوظيفة لهذه الدائرة المتكاملة.



شكل (٣ - ٥٧)

#### التعريف بأرجل الدائرة المتكاملة :74164

A,B	المدخل المتوالي
CLOCK	مدخل نبضات الساعة ( فعال عند الحافة الصاعدة )
CLEAR	مدخل التحرير ( فعال عندما يكون منخفضاً )
QA-QH	المخارج المتوازية

#### نظرية عمل الدائرة المتكاملة :74164

- ١ - عندما تكون حالة CLEAR منخفضة تتحرر المخارج المتوازية QA - QH أى تعود حالتها لتصبح منخفضة.
- ٢ - عندما تكون حالة CLOCK منخفضة وحالة CLEAR عالية يحدث إمساك لحالة المخارج.
- ٣ - عندما تكون حالة مدخل التحرير CLEAR مرتفعة وحالة أحد مدخلى التوالى A,B على الأقل منخفضة يحدث إزاحة لمحتويات المخارج جهة اليمين مع جعل حالة QA منخفضة.
- ٤ - عندما تكون حالة مدخل التحرير CLEAR مرتفعة وحالة مدخلى التوالى A,B مرتفعة يحدث إزاحة لمحتويات المخارج جهة اليمين مع جعل حالة QA مرتفعة.

#### ٣ / ٩ - المشفرات Encoders :

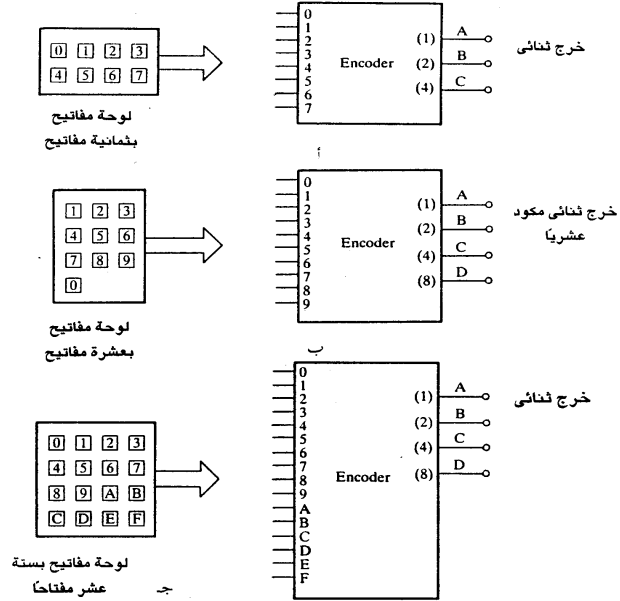
تقوم المشفرات بتحويل الإشارات القادمة من لوحة المفاتيح Keyboard إلى إشارات ثنائية. وهناك ثلاثة أنواع من المشفرات، هى :

- ١ - مشفرات ثمانية Octal Encoders
- ٢ - مشفرات عشرية. Decimal Encoders
- ٣ - مشفرات سداسية عشر Hexadecimal Encoders

والشكل ( ٣ - ٥٨ ) يوضح فكرة عمل الأنواع الثلاثة من المشفرات. ففى ( الشكل ١ ) مشفر ثمانى وله ثمانية مداخل 0-7 متصلة مع ثمانية مفاتيح S<sub>0</sub>-S<sub>7</sub>، وله ثلاثة مخارج A,B,C. فعند الضغط على المفتاح S<sub>5</sub> مثلاً تصل إشارة عالية

للمدخل 5 فيقوم المشفر بتحويل العدد 5 لمكافئه الثنائي، فيكون 101 أى تصبح حالة  $A = 1, B = 0, C = 1$ .

وفي (الشكل ب) مشفر عشري له عشرة مدخل 0:9 متصلة بعشرة مفاتيح S0: S9، وله أربعة مخارج A,B,C,D. فعند الضغط على المفتاح S8 مثلاً تصل إشارة عالية للمدخل 8 فيقوم المشفر بتحويل العدد 8 لمكافئه الثنائي، فيكون 10001 أى تصبح حالة  $A = 0, B = 0, C = 0, D = 1$ .



شكل (٣- ٥٨)

وفي (الشكل ج) مشفر سداسي عشر وله ستة عشر مدخلاً 0:F متصلة مع ستة

سنتناول في هذه الفقرة الدائرة المتكاملة 74147 والتي تعمل كمشفّر عشري كمثل للدوائر المتكاملة للمشفّرات.

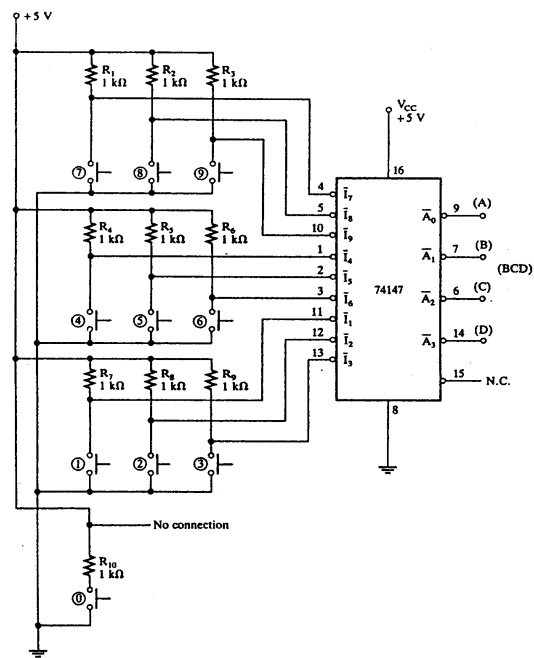
والشكل (٣ - ٥٩) يعرض المسقط الأفقي للدائرة المتكاملة 74147 وكذلك جداول الوظيفة الخاص بها.

شكل (٣ - ٥٩)

A-D	مخارج المشفر (منخفضة عندما تكون فعالة)
1-9	مداخل المشفر (فعالة عندما تكون منخفضة)

حيث إن جميع مداخل ومخارج هذه الدائرة المتكاملة معكوسة؛ لذلك فإن محتويات جدول الوظيفة هو عكس ما استعرضناه سابقاً عن المشفرات العشرية. ويلاحظ غياب المدخل 0 مع اعتبار أنه عندما لا يوجد أى مدخل من المداخل فعال ( حالته منخفضة) هذا يعني أن خرج المشفر يكون معكوس الصفر.

وهذا موضح من جدول الوظيفة الخاص بهذا المشفر والمبين بالشكل (٣ - ٥٩).

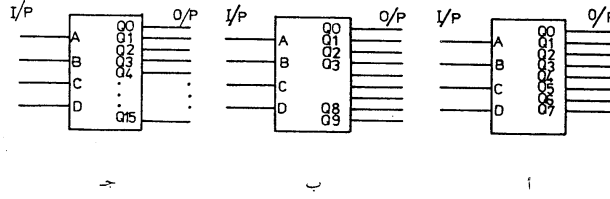


۲۳۱

### ٣ / ١٠ - مفسرات الشفرة Decoders :

تنقسم مفسرات الشفرة Decoders إلى :

- ١ - موزعات Demultiplexer/Decoder : وهي تقوم بتحويل بيانات الدخل الثنائية إلى خرج ثمانى أو عشري أو سداسى عشرى، كما هو مبين بالشكل (٣ - ٦١) .



شكل (٣ - ٦١)

فالشكل (أ) لموزع فى خط من ثمانية. والشكل (ب) لموزع فى خط من عشرة، والشكل (ج) لموزع فى خط من ستة عشر.

فإذا كانت حالة المدخل A,B,C لموزع فى خط من ثمانية هى :

$$A = 0, B = 1, C = 1$$

والتي تكافئ العدد العشري Z

$$Z = 0 \times 2^0 + 1 \times 2^1 + 2 \times 2^2 = 5$$

فإن حالة المخرج Q5 تصبح مساوية 1 .

- ٢ - مشغلات وحدات العرض الرقمية Display Decoders/ Drivers وهي تقوم بتحويل العدد العشري المكود ثنائياً BCD لشفرة تشغيل وحدة عرض رقمية بسبع شرائح 7-Segment display . ويكون عدد مخارج وحدة العرض الرقمية سبعة مخارج وهى a,b,c,d,e,f,g .

ولمزيد من التفاصيل عن وحدات العرض الرقمية ذات السبع شرائح ارجع للفقرة (٢-٤-١)

وهناك نوعان من مشغلات وحدات العرض الرقمية وهما:

أ - مشغلات وحدة عرض رقمية بمهبط مشترك Common Cathode

ب - مشغلات وحدات عرض رقمية بمصعد مشترك Common Anode

٣ / ١٠ / ١ - الدوائر المتكاملة لمفسرات الشفرة Decoders:

١ - الدوائر المتكاملة للموزعات Demultiplexers:

توجد عدة دوائر متكاملة عائلة TTL سلسلة ... 74 للموزعات، مثل:

أ - موزعات في خط من ثمانية مثل:

74259, 7445, 7442, 74138, 74145

ب - موزعات في خط من عشرة مثل:

7445, 7442, 7443, 7444, 74145

ج - موزعات في خط من ستة عشر، مثل: 74154

د - موزعات في خط من أربعة مزدوجة مثل:

74139, 74155, 74156

٢ - الدوائر المتكاملة لمشغلات وحدات العرض الرقمية، مثل:

أ - مشغلات وحدات عرض رقمية ذات المخارج المعكوسة مثل:

7446, 7447, 74247, 74347, 7447

وهي تستخدم في تشغيل وحدات العرض ذات المصعد المشترك.

ب - مشغلات وحدات عرض رقمية ذات المخارج غير المعكوسة مثل:

7448, 7449, 74248, 74249

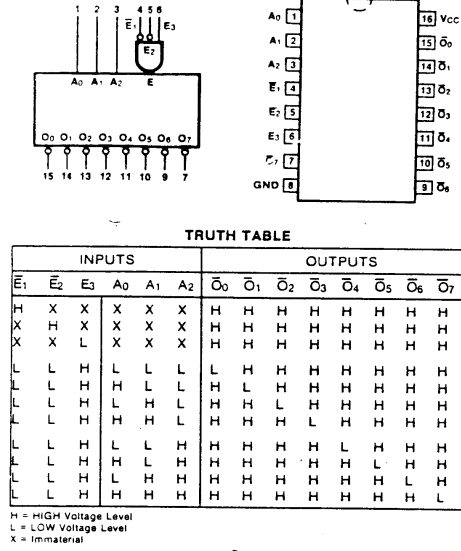
وهي تستخدم في تشغيل وحدات العرض الرقمية ذات المهبط المشترك.

والجدير بالذكر أنه يوجد دائرة متكاملة تنتمي لعائلة CMOS سلسلة CD40..  
لمشغل وحدة عرض رقمية تعمل كعداد عشري بمخارج لوحدة عرض رقمية طراز  
CD4033.

وسوف نتناول بعض الدوائر المتكاملة للموزعات ولمشغلات وحدات العرض  
الرقمية بالتفصيل للتوضيح.

أولاً: الدائرة المتكاملة لموزع في خط من ثمانية طراز 74138:

الشكل (٣ - ٦٢) يعرض المسقط الأفقي للدائرة المتكاملة 74138 (أ) والرمز  
المنطقي (ب) وجدول الحقيقة (ج).



شكل (٣ - ٦٢)



التعريف بأرجل الدائرة المتكاملة:

$\bar{E}_1 - \bar{E}_2$	مداخل تمكين معكوسة (فعالة عندما تكون منخفضة)
$E_3$	مدخل تمكين (فعال عندما تكون حالته عالية)
$A_0 - A_2$	مداخل العنوان
$\bar{Q}_0 - \bar{Q}_7$	مخارج معكوسة (تكون حالتها منخفضة عندما تكون فعالة)

نظرية عمل الدائرة المتكاملة 74138:

١ - عندما تكون حالة  $\bar{E}_1, \bar{E}_2$  منخفضة وحالة  $E_3$  عالية فإن حالة المخرج الذي عنوانه يكافئ المكافئ العشري لبيانات مداخل العنوان  $A_0-A_2$  يكون منخفضاً.

مثال:

عندما يكون  $A_0 = H, A_1 = H, A_2 = L$  فهذا يعني أن العدد العشري المكافئ لهذا العنوان يساوي:

$$Z = 1 \times 1 + 1 \times 2 + 0 \times 4 = 3$$

وبالتالي تصبح حالة المخرج  $\bar{Q}_3$  منخفضة وباقي المخارج عالية.

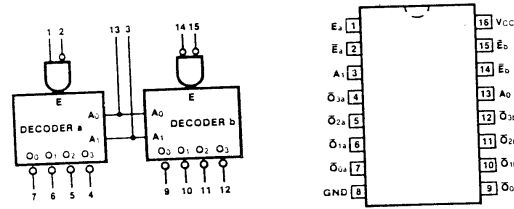
٢ - إذا لم تكن حالة  $\bar{E}_1 - \bar{E}_2$  منخفضة وحالة  $E_3$  عالية فإن حالة جميع المخارج تكون عالية بغض النظر عن حالة مداخل العنوان  $A_0-A_2$ .

ثانياً: الدائرة المتكاملة لموزع في خط من أربعة مزدوج طراز 74155:

الشكل (٣ - ٦٣) يعرض المسقط الأفقي للدائرة المتكاملة 74155 (١) والرمز المنطقي (ب) وجدول الحقيقة (ج).

التعريف بأرجل الدائرة المتكاملة 74155:

$A_0 - A_1$	مداخل العنوان
$\bar{E}_a, \bar{E}_b$	مداخل تمكين (فعالة عندما تكون منخفضة)
$E_a$	مدخل تمكين (فعال عندما يكون عاليًا)
$\bar{O}_0 - \bar{O}_3$	المخارج المعكوسة (فعالة عندما تكون منخفضة)



TRUTH TABLE

ADDRESS		ENABLE a		OUTPUT a				ENABLE b		OUTPUT b			
A <sub>0</sub>	A <sub>1</sub>	E <sub>a</sub>	$\bar{E}_a$	$\bar{O}_0$	$\bar{O}_1$	$\bar{O}_2$	$\bar{O}_3$	$\bar{E}_b$	$\bar{E}_b$	$\bar{O}_0$	$\bar{O}_1$	$\bar{O}_2$	$\bar{O}_3$
X	X	L	X	H	H	H	H	H	X	H	H	H	H
X	X	X	H	H	H	H	H	X	H	H	H	H	H
L	L	H	L	L	H	H	H	L	L	L	H	H	H
H	L	H	L	H	L	H	H	L	L	H	L	H	H
L	H	H	L	H	H	L	H	L	L	H	H	L	H
H	H	H	L	H	H	H	L	L	L	H	H	H	L

H = HIGH Voltage Level  
L = LOW Voltage Level  
X = Immaterial

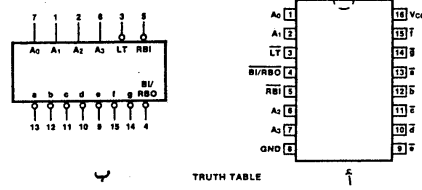
شكل (٣-٦٣)

نظرية عمل الدائرة المتكاملة 74155 :

١ - عندما تكون حالة  $E_a$  عالية وحالة  $\bar{E}_a$  منخفضة فإن حالة المخرج الذي يكافئ المكافئ العشري لبيانات مداخل العنوان  $A_0, A_1$  تكون منخفضة وذلك للـ Decoder a، فمثلاً: إذا كان  $A_0 = H, A_1 = L$  فإن المكافئ العشري للعنوان هو 1 وبالتالي تصبح حالة المخرج  $\bar{O}_1$  منخفضة.

٢ - عندما تكون حالة  $\bar{E}_b, \bar{E}_b$  منخفضة فإن حالة المخرج الذي يكافئ المكافئ العشري لبيانات مداخل العنوان  $A_0, A_1$  تكون منخفضة وذلك بالنسبة للـ Decoder b، فمثلاً: إذا كان  $A_0 = L, A_1 = H$  فإن المكافئ العشري لهذا العنوان هو 2، وبالتالي تصبح حالة المخرج  $\bar{O}_2$  منخفضة.

- ٣ - عندما تكون حالة المداخل  $Ea, \bar{Eb}$  خلاف ما ذكر بالنقطة 1 تصبح حالة جميع مخارج Decoder a عالية.
- ٤ - عندما تكون حالة المداخل  $\bar{Eb}, \bar{Eb}$  خلاف ما ذكر بالنقطة 2 تصبح حالة جميع مخارج Decoder b عالية.
- ثالثا: الدائرة المتكاملة لمشغل وحدة العرض الرقمية طراز 7447:
- الشكل (٣ - ٦٤) المسقط الأفقي (أ) والرمز المنطقي (ب) وجدول الحقيقة (ج) للدائرة المتكاملة 7447.



DECIMAL OR FUNCTION	INPUTS						OUTPUTS										NOTE
	LT	RBI	A <sub>3</sub>	A <sub>2</sub>	A <sub>1</sub>	A <sub>0</sub>	B <sub>1</sub> /R <sub>B</sub> O	a	b	c	d	e	f	g			
0	H	H	L	L	L	L	H	L	L	L	L	L	L	H			1
1	H	X	L	L	L	L	H	L	L	L	H	L	L	H			
2	H	X	L	L	H	L	H	L	L	H	L	L	L	H			
3	H	X	L	L	H	H	H	L	L	L	L	H	L	L			
4	H	X	L	H	L	L	H	H	L	L	H	L	L	L			
5	H	X	L	H	L	H	H	L	H	L	L	L	L	L			
6	H	X	L	H	H	L	H	H	L	L	L	L	L	L			
7	H	X	L	H	H	H	H	L	L	L	H	L	L	L			
8	H	X	H	L	L	L	L	L	L	L	L	L	L	L			
9	H	X	H	L	L	H	H	L	L	L	H	L	L	L			
10	H	X	H	L	H	L	H	H	H	L	L	L	L	L			
11	H	X	H	L	H	H	H	H	L	L	L	L	L	L			
12	H	X	H	H	L	L	H	H	L	H	L	L	L	L			
13	H	X	H	H	L	H	H	L	H	H	L	L	L	L			
14	H	X	H	H	H	L	H	H	H	L	L	L	L	L			
15	H	X	H	H	H	H	H	H	H	H	L	L	L	L			
$\bar{BI}$	X	X	X	X	X	X	L	H	H	H	H	H	H	H			2
R <sub>B</sub> I	H	L	L	L	L	L	L	H	H	H	H	H	H	H			3
$\bar{LT}$	L	X	X	X	X	X	H	L	L	L	L	L	L	L			4

#### NOTES

- $\bar{BI}/RBO$  is wired-AND logic serving as blanking input ( $\bar{BI}$ ) and/or ripple-blanking output ( $RBO$ ). The blanking out ( $\bar{BI}$ ) must be open or held at a HIGH level when output functions 0 through 15 are displayed, and ripple-blanking input ( $RBI$ ) must be open or at a HIGH level if blanking or a decimal 0 is not desired. X = input may be HIGH or LOW.
- When a LOW level is applied to the blanking input forced condition all segment outputs go to a HIGH level regardless of the state of any other input condition.
- When ripple-blanking input ( $RBI$ ) and inputs  $A_0, A_1, A_2$  and  $A_3$  are LOW level, with the lamp test input at HIGH level, all segment outputs go to a HIGH level and the ripple-blanking output ( $RBO$ ) goes to a LOW level (resonance condition).
- When the blanking input/ripple-blanking output ( $\bar{BI}/RBO$ ) is open or held at a HIGH level, and a LOW level is applied to lamp test input, all segment outputs go to a LOW level.

شكل (٣ - ٦٤)

### التعريف بأرجل الدائرة المتكاملة 7447 :

A0 - A3	مداخل BCD
$\overline{RBI}$	مدخل الإطفاء المتموج
$\overline{LT}$	مدخل اختيار اللمبات ( فعال عندما يكون منخفضاً )
$\overline{BI}/\overline{RBO}$	مدخل الإطفاء / مخرج الإطفاء المتموج ( فعال عندما يكون منخفضاً )
$\overline{a} - \overline{g}$	المخارج التي توصل بوحدة العرض الرقمية ( منخفضة عندما تكون فعالة )

### نظرية عمل الدائرة المتكاملة 7447 :

١ - عندما تكون حالة  $\overline{LT}$ ,  $\overline{RBI}$ ,  $\overline{BI}$  عالية فإن الدائرة المتكاملة ستقوم بتحويل أى عدد عشري مكود ثنائياً BCD يدخل على المداخل A0-A3 مما يؤدي إلى ظهور العدد العشري المكافئ على وحدة العرض السباعية Seven Segment Display، عدا أنه إذا زاد العدد العشري المكود ثنائياً عن 9 فإنه يظهر رمزاً معناه كل رقم. الشكل (٣ - ٦٥) يوضح ذلك.

0	1	2	3	4	5	6	7	8	9	a	b	c	d	e	f
0	1	2	3	4	5	6	7	8	9	A	B	C	D	E	F

شكل (٣ - ٦٥)

٢ - يمكن إطفاء وحدة العرض الرقمية، وذلك بالمحافظة على حالة  $\overline{RBI}$  منخفضة وحالة  $\overline{LT}$  عالية.

٣ - يمكن إضاءة جميع الشرائح السبعة لوحدة العرض الرقمية للاختبار، وذلك بالمحافظة على حالة  $\overline{LT}$  منخفضة.

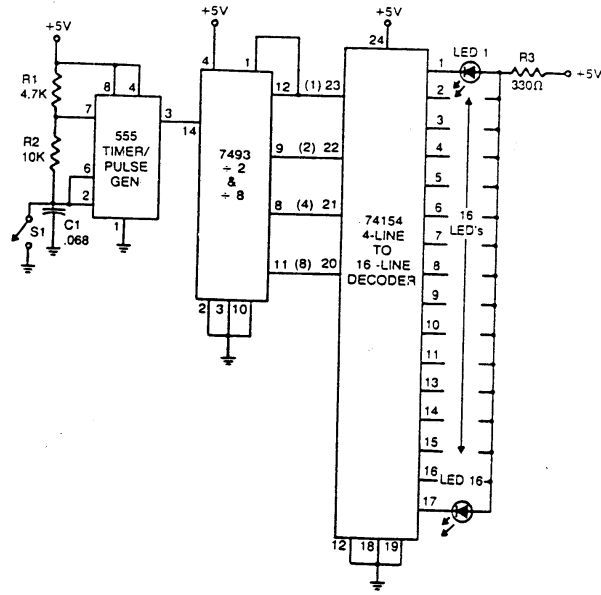
٤ - يمكن التحكم في شدة إضاءة وحدة العرض الرقمية بتغيير حالة المدخل  $\overline{BI}$  بين منخفض وعال بسرعة، ومع تغير النسبة بين زمن بقاء الموجة المربعة عالياً إلى زمن بقاء الموجة المربعة منخفضاً تتغير شدة الإضاءة.

٥ - عندما تكون حالة جميع المداخل A0-A3 منخفضة وحالة  $\overline{LT}$  عالية وحالة  $\overline{RBI}$  منخفضة تصبح حالة  $\overline{a} - \overline{g}$  عالية. وتستخدم هذه الخاصية عند استخدام أكثر من

مشغل وحدة عرض لعرض عدد يتكون من أكثر من خانة مثل خانة الآحاد وأخرى لل عشرات وأخرى للمئات . فعندما يكون العدد الخارج لوحدات العرض 012 مثلاً في هذه الخاصية يمكن منع ظهور الصفر الأيسر ويصبح العدد الظاهر هو 12 .

٣ / ١٠ / ٢ - تطبيق عملي ( لوحة إضاءة متحركة ) :

الشكل ( ٣ - ٦٦ ) يعرض الدائرة الرقمية للوحة إعلانات بستة عشر مخرجاً تضيء إضاءة متحركة مع استخدام ثنائيات مشعة بدلاً من اللمبات .



شكل ( ٣ - ٦٦ )

### نظرية التشغيل :

عندما يكون مفتاح S1 مفتوحاً يعمل المذبذب اللا مستقر المؤلف من المؤقت 555 بتوليد نبضات مربعة ترددها :

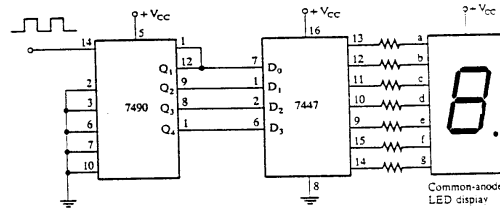
$$p = \frac{1.46}{(R_1 + 2R_2) C_1} = 870 \text{ HZ}$$

ويقوم العداد الثنائي 7493 بعد هذه النبضات وإخراج عددها في صورة ثنائية .

٣ / ١٠ / ٣ - تطبيق عملي (عداد النبضات اللا مستقر من 0-9) :

الشكل (٣ - ٦٧) يعرض دائرة بسيطة لعداد نبضات لا مستقر، حيث يستخدم فيها عداد عشري طراز 7490، والذي يتكون من عدادين: أحدهما: بمخرج واحد Q1 والآخر: بثلاثة مخارج Q2, Q3, Q4، وحتى يعمل العداد كعداد رباعي (باربعة مخارج) يتم إدخال النبضات على مدخل نبضات العداد الأول (الرجل 14)، ويتم توصيل المخرج Q1 (الرجل 12) بمدخل نبضات العداد الثاني (الرجل 1).

ويتم توصيل الأرجل 1, 2, 6, 7, 10 بالأرضى وتوصيل الرجل 5 لتهيئة العداد لعد النبضات الداخلة على مدخل نبضات العداد الأول (الرجل 14).



شكل (٣ - ٦٧)

وعند وصول نبضات للمدخل 14 للعداد 7490 يقوم العداد بعد هذه النبضات ليخرج عدد هذه النبضات في صورة ثنائية على مخارج العداد Q1-Q4، ويقوم مشغل وحدة العرض الرقمية ذات المصعد المشترك للدائرة المتكاملة 7447 بتحويل الشفرة الثنائية إلى شفرة وحدة العرض الرقمية.

والجدير بالذكر أن المخرج السبعة a-g لمشغل وحدة العرض الرقمية توصل بالمداخل السبعة a-g لوحدة العرض الرقمية من خلال مقاومة لتحديد التيار. وعادة فقيمة هذه المقاومة تساوي 330Ω.

ويظهر في وحدة العرض الرقمية الأرقام من 0-9 ولقد سمي هذا العداد بعداد نبضات لا مستقر، لأن الرقم المعروض على وحدة العرض الرقمية يتغير كلما وصل نبضة لمدخل العداد. فإذا وصلت نبضات متلاحقة للعداد فإن هذا الرقم سيتغير بسرعة - وهذا يسبب مضايقة المشاهد - على المخرج 8,9,11,12، حيث إن رتبة المخرج 12 هي (1) ورتبة المخرج 9 هي (2) ورتبة المخرج 8 هي (4) ورتبة المخرج 11 هي (8). وتتكرر دورة عد العداد من 0-15 ويقوم الموزع 74154 بتحويل العدد الثنائي لمكافئه السداسي عشر.

والجدول (٣ - ٦) يبين حالة مخارج الموزع 74154 والتي تتمثل في الثنائيات المشعة LED1: LED16 عند قيم مختلفة للنبضات الداخلة.

الجدول (٣ - ٦)

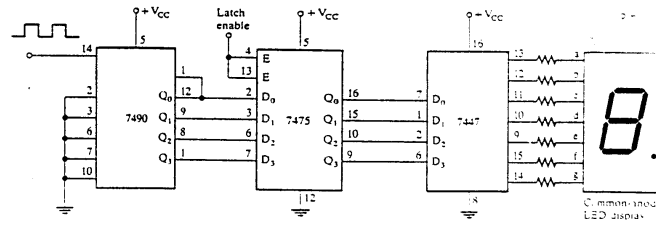
الرقم الثنائي	LED 1	LED 2	LED 3	LED 4	LED 5	LED 6	LED 7	LED 8	LED 9	LED 10	LED 11	LED 12	LED 13	LED 14	LED 15	LED 16
0000	ON	off	off	off	off	off	off	off	off	off	off	off	off	off	off	off
0001	off	ON	off	off	off	off	off	off	off	off	off	off	off	off	off	off
0010	off	off	ON	off	off	off	off	off	off	off	off	off	off	off	off	off
0011	off	off	off	ON	off	off	off	off	off	off	off	off	off	off	off	off
0100	off	off	off	off	ON	off	off	off	off	off	off	off	off	off	off	off
0101	off	off	off	off	off	ON	off	off	off	off	off	off	off	off	off	off
0110	off	off	off	off	off	off	ON	off	off	off	off	off	off	off	off	off
0111	off	off	off	off	off	off	off	ON	off	off	off	off	off	off	off	off
1000	off	off	off	off	off	off	off	off	ON	off	off	off	off	off	off	off
1001	off	off	off	off	off	off	off	off	off	ON	off	off	off	off	off	off
1010	off	off	off	off	off	off	off	off	off	off	ON	off	off	off	off	off
1011	off	off	off	off	off	off	off	off	off	off	off	ON	off	off	off	off
1100	off	off	off	off	off	off	off	off	off	off	off	off	ON	off	off	off
1101	off	off	off	off	off	off	off	off	off	off	off	off	off	ON	off	off
1110	off	off	off	off	off	off	off	off	off	off	off	off	off	off	ON	off
1111	off	off	off	off	off	off	off	off	off	off	off	off	off	off	off	ON
0000	ON	off	off	off	off	off	off	off	off	off	off	off	off	off	off	off

وبلاحظ من الجدول (٣ - ٦) أنه عند أى قيمة لعدد النبضات الثنائى الداخلة على الموزع 74154 فإنه توجد LED واحدة مضيئة، لذلك استخدمت مقاومة واحدة لتحديد تيار الثنائيات وهى  $R_3$ .  
 فإذا وزعت هذه الثنائيات على إطار خارجى للوحة يبدو للناظر أن الضوء يدور فى اتجاه واحد . والجدير بالذكر أنه يمكن زيادة مستوى تيار خرج الموزع 74154 باستخدام ترانزستورات قيادة Drive transistors وذلك للتحكم فى نبضات إشعال ترياتكات تتحكم فى وصل وفصل لمبات متوهجة وبذلك يمكن استخدام هذه الدائرة للتحكم فى لوحة إعلانات واقعية .

٣ / ١٠ / ٤ - تطبيق عملى ( عداد النبضات المستقر من 0-9 ) :

الشكل ( ٣ - ٦٨ ) يعرض دائرة بسيطة لعداد نبضات مستقر . وهذه الدائرة لا تختلف عن دائرة عداد النبضات اللا مستقر إلا فى إضافة دائرة الإمساك 7475 والتي توضع بين الدائرة المتكاملة للعداد العشري 7490 ودائرة مشغل وحدة العرض الرقمية ذات المصعد المشترك 7447 .

والغرض من دائرة الإمساك هو منع حدوث تغير سريع فى الرقم المعروض على وحدة العرض الرقمية لمنع مضايقة المشاهد، حيث تقوم دائرة الإمساك بتثبيت حالة الخارج إلى أن تصل نبضة عالية لمداخل التمكين Latch enable (الأرجل 4,13) فتنتقل الحالة اللحظية للمداخل D0-D3 للمخارج Q0-Q3 . ويمكن استخدام دائرة مذبذب بطيء جداً للحصول على نبضات مداخل التمكين لدائرة الإمساك . وبذلك فإن العدد المعروض على وحدة العرض الرقمية لن يتغير حين وصول نبضة عالية من مذبذب التمكين إلى مداخل التمكين .



شكل (٣ - ٦٨)



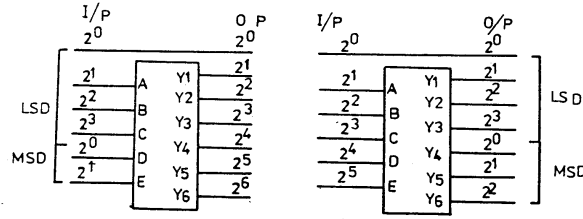
### ٣ / ١١ - مغيرات الشفرة Code Converters :

تنقسم مغيرات الشفرة إلى نوعين :

١ - مغيرات شفرة ثنائية إلى ثنائية مكدودة عشرياً BCD

٢ - مغيرات شفرة ثنائية مكدودة عشرياً إلى ثنائية .

والشكل (٣ - ٦٩) يعرض هذين النوعين .



شكل (٣ - ٦٩)

ففى (الشكل أ) مغير شفرة من ثنائى إلى BCD، ويلاحظ أنه يضاف خط خارجى يمثل مدخلاً ومخرجاً فى آن واحد .

وفى (الشكل ب) مغير شفرة من BCD لثنائى، ويلاحظ أنه يضاف خط خارجى يمثل مدخلاً ومخرجاً إضافياً لمغير الشفرة . والجدير بالذكر أن LSD تعنى الخانة الأقل رتبة (الأحاد) أما MSD تعنى الخانة الأعلى رتبة (العشرات) .

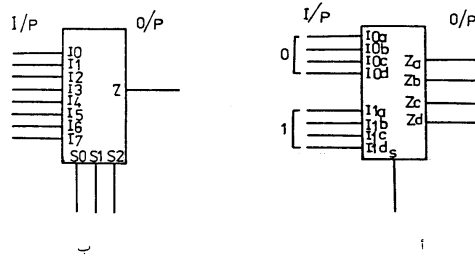
وتوجد دائرتان متكاملتان تحت عائلة TTL سلسلة 74...، الأولى طراز 74185 وتقوم بتغيير الشفرة الثنائية إلى BCD، والثانية طراز 74184 وتقوم بتغيير الشفرة BCD إلى ثنائية .

### ٣ / ١٢ - المجمعات Multiplexer (Mux) :

تحتوى MUX على مجموعة من قنوات الدخل وقناة واحدة للخروج ومدخل للعنوان وتحتوى كل قناة على خط واحد أو مجموعة من الخطوط . ولكل قناة دخل

عنوان محدد بحيث تقوم MUX بنقل بيانات قناة الدخل التي عنوانها يطابق العنوان المدخل من مداخل العنوان إلى قناة الخرج.

والشكل (٣ - ٧٠) يعرض نوعين مختلفين من MUX.



شكل (٣ - ٧٠)

فالشكل (أ) يعرض MUX بقناتين، دخل القناة الأولى (I0a-I0d) والقناة الثانية (I1a-I1d) وقناة خرج (Z0-Z3) ومدخل عنوان S. فعندما تكون حالة مدخل العنوان 0 تنتقل حالة القناة الدخل (I0a-I0d) إلى قناة الخرج. وعندما تكون حالة مدخل العنوان 1 تنتقل حالة القناة الدخل (I1a-I1d) إلى قناة الخرج. والشكل (ب) يعرض MUX بثماني خطوط دخل (I0-I7) وخط خرج واحد Z وله ثلاثة مداخل عنوان (S0-S2)، حيث تنتقل حالة المدخل الذي رقمه يكافئ المكافئ العشري للعنوان المدخل من مداخل العنوان (S0-S2) إلى الخرج.

فمثلاً: إذا كان:

$$S_0 = L, \quad S_1 = H, \quad S_2 = H$$

فإن المكافئ العشري لهذا العنوان هو:

$$Z = 0 \times 2^0 + 1 \times 2^1 + 2^2 = 6$$

وبالتالي تنتقل حالة المدخل I5 إلى الخرج Z وهكذا.

ويمكن تقسيم الدوائر المتكاملة للمجموعات إلى :

- ١ - دوائر متكاملة TTL سلسلة ...74 مجمعات من 8 خطوط لخط واحد، مثل 7435, 74355, 74356, 74357, 74151, 74152, 74251
- ٢ - دوائر متكاملة عائلة TTL سلسلة ...74 مجمعات من 16 خطاً لخط واحد، مثل: 74250, 74150, 74850, 74851
- ٣ - دوائر متكاملة عائلة TTL سلسلة ...74 مجمعات من 2 قناة لقناة واحدة، مثل: 74257, 74258, 74158, 74157, 74298
- ٤ - دوائر متكاملة عائلة TTL سلسلة ...74 مجمعات من 4 قنوات لقناة واحدة، مثل: 74153, 74352, 74353

### ١٣/٣ - الذاكرات Memories :

وهي أداة تقوم بتخزين المعطيات أو المعلومات والتعليمات التي يتطلبها جهاز إلكتروني كالحاسب أو الميكروبروسيسور بشفرة ثنائية. وهناك نوعان من الذاكرات وهما :

١ - الذاكرات الابتدائية Primary Memories وتصنع من أشباه الموصلات وتنقسم بدورها إلى :

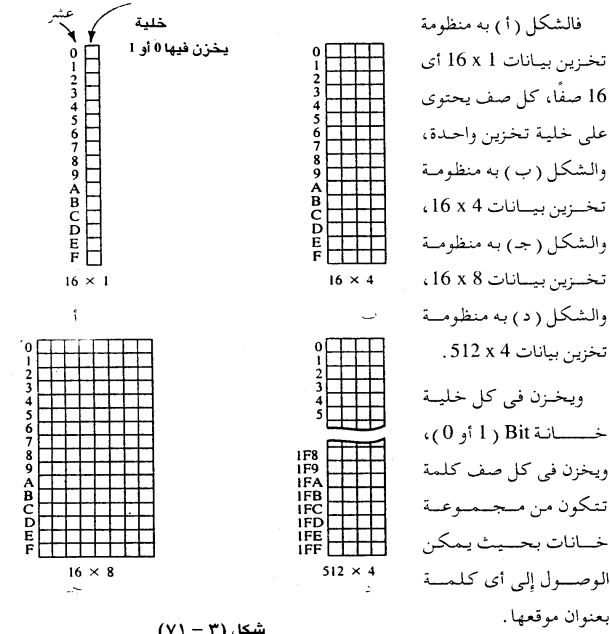
أ - ذاكرات قراءة وكتابة Read/ Write وهذه الذاكرات تفقد محتوياتها، مثل RAM.

ب- ذاكرات القراءة فقط Read only وهذه الذاكرات تتميز بأنها تفقد محتوياتها مثل : ROM, EEPROM, PROM EPROM.

٢ - الذاكرات الثانوية Secondary Memories مثل الذاكرات المغناطيسية Magnetic المستخدمة مع أجهزة الكمبيوتر كالأقراص المرنة والقرص الصلب وشرائط التسجيل... إلخ.

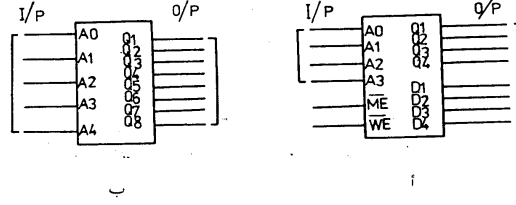
وسنكتفى في هذا الكتاب بإلقاء الضوء على الذاكرات الابتدائية، حيث تخزن البيانات في الذاكرات المصنوعة من أشباه الموصلات في صفوف. كل منها يتألف من خلية واحدة أو أربعة أو 16 خلية، ويخصص لكل صف عنوان.

والشكل (٣ - ٧١) يبين عدة تنظيمات لتخزين البيانات .



ففى ذاكرات RAM يمكن الوصول إلى أى موقع بطريقة عشوائية، وبالتالي يمكن قراءة محتويات RAM بدون ترتيب . فليس من الضرورى البدء بقراءة الكلمة الأولى وصولاً للكلمة المطلوب قراءتها . وقراءة كلمة لا تمحها من الذاكرة، كما أنه يمكن كتابة كلمة جديدة فى أى عنوان بطريقة عشوائية ( بدون ترتيب ) ويقال عن الذاكرة RAM أنها طيارة Volatile لأنها تفقد محتوياتها بمجرد انقطاع المصدر الكهربى عنها .

والشكل (٣ - ٧٢) يبين نموذجاً للذاكرة تخزين RAM, EPROM, EEPROM (الشكل أ) وذاكرة تخزين PROM (الشكل ب).



شكل (٣ - ٧٢)

التعريف بأطراف الذاكرة RAM, EPROM, EEPROM:

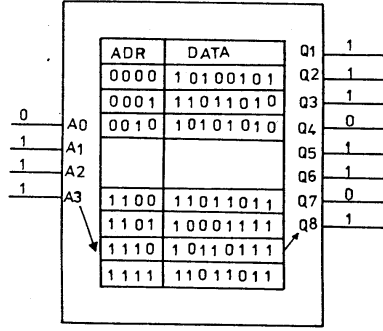
A0-A3	مداخل العنوان
Q1-Q4	مخارج الذاكرة
D1-D4	مداخل البيانات
$\overline{ME}$	مدخل التمكين (اختيار الوظيفة)
$\overline{WE}$	مدخل القراءة والكتابة

فيمكن كتابة أى بيانات مدخلة من المداخل D1-D4 فى الذاكرة عندما تكون حالة  $\overline{ME}, \overline{WE}$  منخفضة. ويمكن قراءة أى بيانات مخزنة فى الذاكرة من المخارج Q1-Q4 عندما تكون  $\overline{ME}$  منخفضة وحالة  $\overline{WE}$  عالية.

التعريف بأطراف الذاكرة PROM:

A0-A4	مداخل العنوان
Q1-Q8	مخارج الذاكرة

والشكل (٣ - ٧٣) يوضح كيفية قراءة كلمة مخزنة فى الذاكرة PROM (أى نقل محتوياتها للخارج) وذلك بتحديد عنوانها من مداخل العنوان.



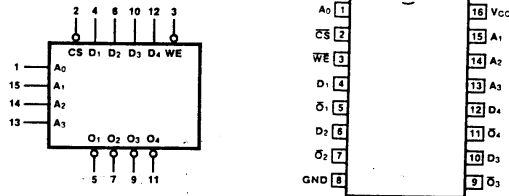
شكل (٣-٧٣)

١ / ١٣ / ٣ - الدوائر المتكاملة للذاكرات :

أولاً: الدوائر المتكاملة للذاكرات RAM :

سنستعرض الدائرة المتكاملة 7489 والتي تصل سعتها إلى (64 bit) منظمة على النحو التالي 4 x 16، أي 16 صفًا وأربعة أعمدة.

والشكل (٣-٧٤) يعرض المسقط الأفقي للدائرة المتكاملة RAM طراز 7489، وكذلك الرمز المنطقي وجدول الوظيفة.



INPUTS		OPERATION	CONDITION OF OUTPUTS
CS	WE		
L	L	Write	Complement of Data Inputs
L	H	Read	Complement of Selected Word
H	L	Inhibit Entry	Undetermined
H	H	Hold	(Off) HIGH

H = HIGH Voltage Level  
L = LOW Voltage Level

شكل (٣ - ٧٤)

التعريف بأرجل الدائرة المتكاملة 7489 :

A0-A3	مداخل العنوان
CS	مدخل تمكين القراءة ويكون فعالاً عندما تكون حالته منخفضة
WE	مدخل تمكين القراءة ويكون فعالاً عندما تكون حالته منخفضة
D1- D4	مداخل البيانات
O1- O4	مخارج البيانات المعكوسة

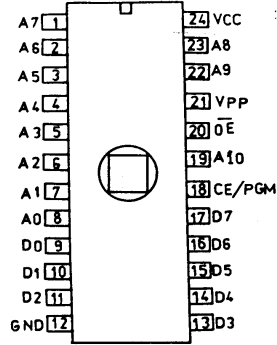
نظرية عمل الدائرة المتكاملة 7489 :

١ - يمكن كتابة أى بيانات مدخلة من المداخل D1-D4 ، وذلك عندما تكون حالة CS, WE منخفضة وتكون حالة المخارج O1-O4 هي معكوس حالة المداخل المقابلة.

٢ - يمكن قراءة أى بيانات مخزنة فى RAM وذلك بالمحافظة على حالة  $\overline{CS}, \overline{WE}$  منخفضة وتكون حالة مخارج الدائرة المتكاملة  $\overline{O}_1, \overline{O}_4$  هى معكوس حالة الكلمة المخزنة داخل RAM.

٣ - يمكن المحافظة على حالة الكلمات المخزنة داخل RAM، وذلك بجعل حالة  $\overline{CS}, \overline{WE}$  عالية.

٤ - عندما تكون حالة  $\overline{CS}$  عالية وحالة  $\overline{WE}$  منخفضة فإن حالة المخارج  $\overline{O}_1, \overline{O}_4$  تكون غير محددة.



شكل (٣ - ٧٥)

ثانياً: الدوائر المتكاملة لذاكرات EPROM :

سنستعرض الدائرة المتكاملة 2716 وهى ذاكرة EPROM، تبلغ سعتها 2KB منظمة على النحو التالى (8 x 256)، أى صفاً وثمانية أعمدة.

والشكل (٣-٧٥) يبين المسقط الأفقى لهذه الذاكرة.

والجدير بالذكر أنه يوجد شبك صغير من الزجاج فى منتصف الدائرة المتكاملة، ويستخدم هذا الشبك فى مسح هذه الذاكرات، وذلك بتعريضه لأشعة فوق بنفسجية تصدر من لمبة أشعة فوق بنفسجية على مسافة 3 cm لفترة زمنية تتراوح ما بين (10-40min)، وهذه الفترة تعتمد على مواصفات المصنعين.

التعريف بأرجل الدائرة المتكاملة 2716 :

D0-D7

A0 - A10

$\overline{CE}/PGM$

$\overline{OE}$

VPP

مخارج الذاكرة

مداخل العنوان

مدخل تمكين الدائرة المتكاملة

مدخل تمكين المخارج

مدخل جهد البرمجة



V<sub>CC</sub> مدخل الجهد الموجب  
GND مدخل الأرضى

والجدول ( ٣ - ٦ ) يبين الحالات المختلفة لتشغيل ذاكرة EPROM طراز 2716 .  
حيث إن :

V<sub>IL</sub> جهد دخل منخفض  
V<sub>IH</sub> جهد دخل مرتفع  
X جهد مرتفع أو منخفض  
Dout خروج البيانات المخزنة على الخارج  
Din تخزين البيانات الداخلة

الجدول ( ٣ - ٦ )

الرجل الحالة	$\overline{CE}/PGM$	$\overline{OE}$	V <sub>PP</sub>	V <sub>CC</sub>	Q0-Q7
قراءة	V <sub>IL</sub>	V <sub>IL</sub>	+ 5 V	+ 5 V	Dout
برمجة	V <sub>IL</sub> نبضة أو نبضة V <sub>IH</sub>	V <sub>IH</sub>	+ 25 V	+ 5 V	DIN
فحص البرنامج	V <sub>IL</sub>	V <sub>IL</sub>	+ 25 V	+ 5 V	Dout

الدوائر المتكاملة للذاكرات PROM :

سنستعرض فى هذه الفقرة الدائرة المتكاملة 74188 وهى ذاكرة PROM تبلغ سعتها 256 bit منظمة على الشكل التالى 32 x 8 .

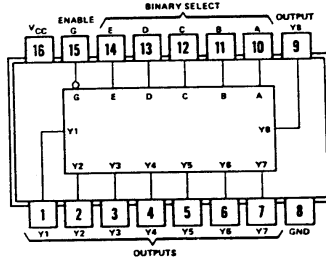
والشكل ( ٣ - ٧٦ ) يعرض المسقط الأفقى لهذه الدائرة المتكاملة .

التعريف بأرجل الدائرة المتكاملة :

Y0 - Y8 مخارج الذاكرة  
A-E مداخل العنوان  
G مداخل التمكين ( فعالة عند الحالة المنخفضة )

Vcc  
GND

مدخل الجهد الموجب  
مدخل الأرضي



شكل (٣ - ٧٦)

وقبل برمجة الذاكرة PROM طراز 74188 تكون حالة جميع خلايا الذاكرة منخفضة.

وهناك عدة خطوات متبعة لبرمجة ذاكرة PROM وهي كالآتي:

١ - صل جهداً 5 V للرجل Vcc وأدخل عنوان الكلمة المطلوب إدخالها على مداخل العنوان A-E.

٢ - صل جهداً منطقياً عالياً لمدخل التمكين G أي 5 V +.

٣ - افصل جميع المخارج عدا المخرج المطلوب جعل حالته عالية.

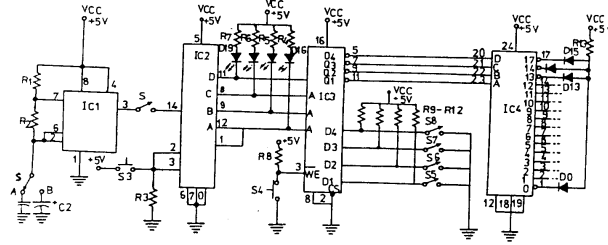
٤ - ارفع جهد الرجل Vcc إلى 10 V وفي نفس الوقت اجعل جهد مدخل التمكين G منخفضاً؛ علماً بأن مصدر القدرة يجب أن يكون قادراً على إمداد تيار مقداره 100 mA عند جهد 10V. وبعد مرور 1s تقريباً أعد جهد مدخل التمكين للحالة المنطقية العالية وكذلك جهد الرجل Vcc إلى 5 V +.

٥ - كرر الخطوات 2,3,4 لكل المخارج المطلوب جعل حالتها عالية لكل عنوان. فمثلاً: إذا كانت الكلمة المطلوب إدخالها على العنوان المختار هي 11010010 فيجب أن تكرر الخطوات 2,3,4 للمخرج Y2, Y5, Y7, Y8 لإدخال هذه الكلمة.

٦ - كرر الخطوات 2,3,4,5 لكل العناوين المطلوب برمجتها بحالة عالية.  
والجدير بالذكر أن طريقة البرمجة لذاكرات PROM تختلف تبعاً لنوع الدائرة المتكاملة، وعلى كل حال فإن طريقة البرمجة تعطى من قبل الشركات المصنعة في كتب البيانات Data books.

١٣ / ١٣ / ٢ - تطبيق عملي (لوحة الإعلانات المبرمجة):

الشكل (٣ - ٧٧) يعرض دائرة التحكم الرقمية في لوحة إعلانات مبرمجة تستخدم ذاكرة RAM



شكل (٣ - ٧٧)

عناصر الدائرة:

R1	مقاومة كربونية 1 M $\Omega$
R2-R3	مقاومة كربونية 1 K $\Omega$
R4-R7	مقاومة كربونية 620 $\Omega$
R13	مقاومة كربونية 620 $\Omega$
R8-R12	مقاومة كربونية 10 K $\Omega$
C1	مكثف كيميائي سعته 5 $\mu$ f وجهده 10 V
C2	مكثف كيميائي سعته 1000 $\mu$ f وجهده 10 V

IC1	مؤقت NE 555
IC2	عداد ثنائي طراز 7493
IC3	ذاكرة RAM سعتها 4 x 16 طراز 7489
IC4	موزع DMUX في خط من ستة عشر طراز 74154
S1	مفتاح قطب واحد سككتين
S2	مفتاح قطب واحد سكة واحدة
S5-S8	مفاتيح قطب واحد سكة واحدة
S3-S4	ضواغط بريشة مفتوحة NO
D0-D15	ثنائيات مشعة قياسية

#### خطوات برمجة الذاكرة RAM :

يوضع المفتاح S1 على وضع A لتشغيل مولد نبضات الساعة المؤلف من المؤقت 555 بمعدل نبضة كل خمس ثوان، وبالضغط على S3 تعود كل مخارج العداد الثنائي 7493 إلى الصفر فتضيء جميع الثنائيات المشعة D16-D19، وهذا يمثل العنوان 0000 للعداد. وباستخدام المفاتيح S5-S8 يتم تجهيز الكلمة المطلوب إدخالها على العنوان 0000 وبالضغط على S1 تنتقل هذه الكلمة في الموضع الذي عنوانه 0000 في ذاكرة RAM، وعند وصول نبضة للمدخل 14 للعداد الثنائي 7493 يصبح خرج العداد مساوياً 0001، حينئذ يتم تجهيز الكلمة المطلوب إدخالها على هذا العنوان بواسطة المفاتيح S5-S8، ثم الضغط على الضاغطة S4 لإدخالها وهكذا.

وبهذه الطريقة يمكن تعبئة الذاكرة RAM طراز 7489 علماً بأن خرج هذه الدائرة المتكاملة هو معكوس الكلمات المخزنة فيها.

والجدول (٣ - ٧) يبين أحد المقترحات للكلمات التي يمكن إدخالها في مواضع الذاكرة المختلفة.

الجدول (٧ - ٣)

العنوان	الثنائي المضىء	الكلمة المدخلة إلى RAM	الكلمة المخرجة من RAM
0000	D0	1111	0000
0001	D1	1110	0001
0010	D2	1101	0010
0011	D3	1100	0011
0100	D4	1011	0100
0101	D5	1010	0101
0110	D6	1001	0110
0111	D7	1000	0111
1000	D8	0111	1000
1001	D9	0110	1001
1010	D10	0101	1010
1011	D11	0100	1011
1100	D12	0011	1100
1101	D13	0010	1101
1110	D14	0001	1110
1111	D15	0000	1111

نظرية التشغيل:

١ - يوضع المفتاح S1 على وضع B فيعمل المؤقت 555 كمذبذب لا مستقر بمعدل نبضة كل ثانية، أى يتردد 1HZ (لمزيد من المعلومات اطلع على الباب الخامس).

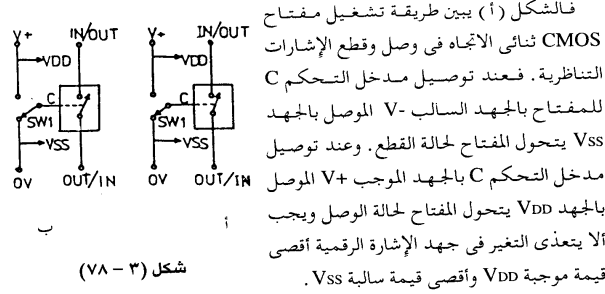
٢ - نضغط على الضاغط S3 لتحرير العداد 7493 والبدء من الصفر فيكون خرج العداد 0000 فى الثانية الأولى، وهذا يمثل عنوان الكلمة المخزنة فى ذاكرة RAM فتخرج الكلمة 0000 على المخرج Q1-Q4 للدائرة المتكاملة للذاكرة (انظر الجدول (٧-٣)) ويقوم الموزع DMUX طراز 74156 بتحويل حالة المخرج الذى عنوانه يكافئ المكافئ العشري لكلمة العنوان من مرتفع لمنخفض فيضئ الثنائى D0. وفى الثانية الثانية يكون خرج العداد 0001 فتخرج الكلمة 0001 على المخرج Q1-Q4 للدائرة المتكاملة للذاكرة 7489 (انظر الجدول (٧-٣)).

ويقوم الموزع DMUX طراز 74154 بتحويل حالة المخرج المكافئ للمكافئ العشري لهذه الكلمة من مرتفع لمنخفض فيضئ الثنائي D1 وهكذا. وعند الثانية السادسة عشر تصل النبضة رقم 16 على مدخل النبضات (14) للعداد 7493 فيصبح خرج العداد الثنائي 1111 فتنتقل الكلمة 1111 للمخرج Q1- Q4 للذاكرة 7489 ويقوم DMUX طراز 74154 بتحويل حالة المخرج المكافئ للمكافئ العشري لهذه الكلمة من مرتفع لمنخفض فيضئ الثنائي Dis. وفي الثانية السابعة عشرة تصل النبضة رقم 17 لمدخل نبضات العداد 7493 فتتحرر جميع مخارج العداد، وتكرر دورة العد للعداد ويضئ الثنائي D0 وتكرر دورة التشغيل من جديد.

### ٣ / ١٤ - المفتاح الثنائي الاتجاه CMOS:

يستخدم هذا المفتاح لتوصيل أو قطع الإشارات الرقمية أو الإشارات التناظرية. ولهذا المفتاح طرفان، كل طرف يمكن أن يكون مدخلاً أو مخرجاً للتيار؛ لذلك سمي بمفتاح ثنائي الاتجاه CMOS Bilateral Switch.

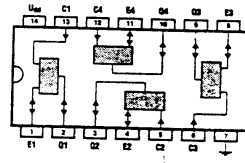
والشكل (٣ - ٧٨) يبين طريقة استخدام المفتاح الثنائي الاتجاه CMOS.



الشكل (ب) يبين طريقة تشغيل مفتاح CMOS ثنائي الاتجاه في وصل وقطع الإشارات الرقمية. فعند توصيل مدخل التحكم C بالجهد الموجب V+ الموصل بالجهد VDD يتحول المفتاح لحالة الوصل ON. وعادة فإن مفتاح CMOS ثنائي

الاتجاه يسبب تشويها مقدار 0.5 % عند استخدامه في وصل وقطع الإشارات التناظرية.

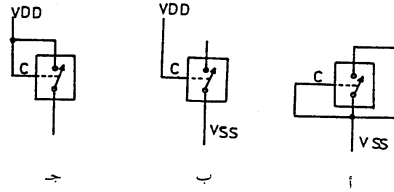
والجدير بالذكر أنه يوجد بعض الدوائر المتكاملة للمفاتيح CMOS ثنائية الاتجاه مصممة للعمل على قطع ووصل الإشارات التناظرية باستخدام جهد تحكم أحادى القطبية ( $+V_{DD}, 0V$ ).



شكل (٣ - ٧٩)

والشكل (٣ - ٧٩) يعرض المسقط الأفقى للدائرة المتكاملة 4066 B والدائرة المتكاملة 40161 B، وكلاهما يحتوى على أربعة مفاتيح CMOS، علماً بأن خطوط التحكم للأربعة مفاتيح CMOS هي  $C_1, C_2, C_3, C_4$

ويجب توصيل أى مفتاح لا يستخدم فى الدائرة المتكاملة بأحد الطرق الموضحة بالشكل (٣ - ٨٠).



شكل (٣ - ٨٠)





**الباب الرابع**  
**مكبرات العمليات**  
**Operational Amplifiers**



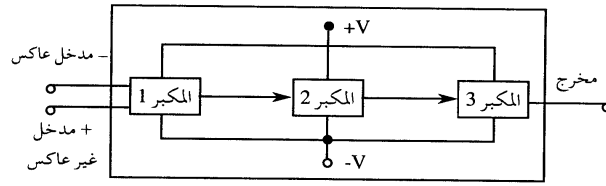
## مكبرات العمليات Operational Amplifiers

٤ / ١ - مقدمة:

يعتبر مكبر العمليات عنصراً أساسياً في بناء معظم دوائر التحكم الاسترجاعي، وهو يتكون من دوائر معقدة مجمعة في دائرة متكاملة IC. وللمكبر العمليات قدرة كبيرة على تكبير إشارات المداخل المستمرة والمتقطعة. والمجدير بالذكر أنه يمكن استخدام مكبر العمليات لأداء العديد من الوظائف باستخدام مجموعة من العناصر الخارجية.

والشكل (٤ - ١) يبين المخطط البلوكي لمكبر العمليات والذي يفهم منه أن مكبر العمليات يتكون من ثلاثة مكبرات وهي:

- ١ - مكبر تفاضلي له مقاومة دخل كبيرة (1).
- ٢ - مكبر جهد له معامل كسب عالي (2).
- ٣ - مكبر بمقاومة خرج صغيرة (3).



شكل (٤ - ١)

ويلاحظ أن المكبر التفاضلي له مدخلان أحدهما: يأخذ إشارة سالبة ويسمى مدخلاً عكسياً *Inverting* والآخر يأخذ إشارة موجبة ويسمى مدخلاً غير عاكس *Non Inverting*.

وفيما يلي أهم خصائص مكبر العمليات:

١ - له مقاومة دخل كبيرة تؤدي إلى تقليل تيار الدخل ليقترب من الصفر. فمثلاً:

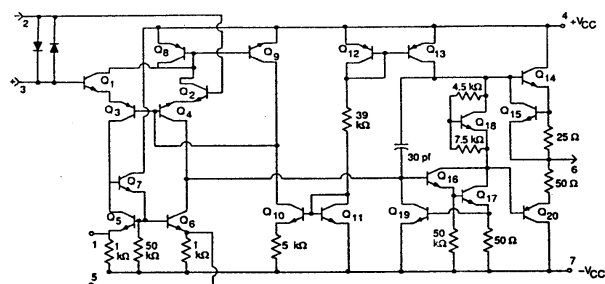
یساوی  $0.08 \mu A$  لمکبر العمليات طراز 741.

٢ - معامل كسب الدائرة المفتوحة كبير جداً، فمثلاً: يساوي 100000 للمكبر

741، لذلك فإن دخلاً صغيراً جداً من الجهد يمكن أن يخرج كبيراً.

٣ - مقاومة خرج صغيرة تتأثر تأثراً صغيراً بدوائر الأحمال الأخرى.

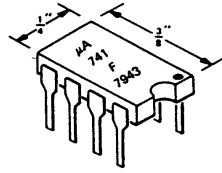
والشكل (٤ - ٢) يعرض الدائرة الإلكترونية لمكبر العمليات 741.



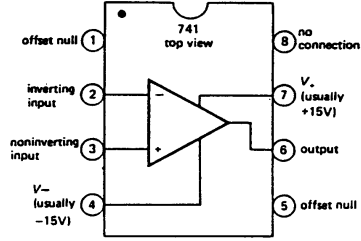
شكل (٤ - ٢)

ولحسن الحظ أنه يمكن استخدام مكبر العمليات بدون الدخول في تفاصيل عن تركيبه الداخلى لصعوبة ذلك. لذلك سوف نتعامل مع الأطراف الخارجية لمكبرات العمليات. ويلاحظ من رمز مكبر العمليات أن مكبر العمليات له مدخلان، أحدهما عاكس (-) والآخر غير عاكس (+) ومخرج output.

والجدير بالذكر أن هناك أطرافاً أخرى لمكبر العمليات لا تظهر في الرمز في أغلب الأحيان، وسوف نتعرض لباقي هذه الأطراف فيما بعد.



والشكل (٤ - ٣) يعرض نموذجًا لمكبر عمليات 741 من نوع DIL (أي له أرجل في صفين) وكذلك مسقطًا أفقيًا يبين جميع المداخل والمخارج ووظيفة كل منها.



شكل (٤ - ٣)

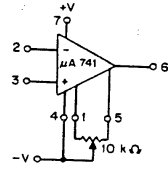
ويلاحظ وجود تجويف نصف دائري على أحد جانبي الدائرة المتكاملة، وحتى يمكن معرفة أرقام أرجل الدائرة المتكاملة نمسك الدائرة المتكاملة باليد بحيث يكون التجويف في اليسار فتكون الرجل اليسرى هي الرجل رقم 1 ويكون العد في عكس اتجاه عقارب الساعة.

التعريف بوظيفة أرجل الدائرة المتكاملة :

الرجل 1	ضبط الخرج عند الصفر
الرجل 2	المدخل العاكس
الرجل 3	المدخل غير العاكس
الرجل 4	منبع الجهد السالب ويساوى -15V
الرجل 5	ضبط الخرج عند الصفر.
الرجل 6	الخرج ويؤخذ من الإشارة المكبرة
الرجل 7	منبع الجهد الموجب ويساوى +15V
الرجل 8	غير مستخدم

ويستخدم الطرفان 5,1 لضبط الخرج عند الصفر، حيث يوصل بينهما مجزئ جهد  $10k\Omega$ ، ويوصل الطرف المنزلق للمجزئ بالطرف السالب للمنع. وعندما ترتفع درجة حرارة المكبر يتواجد خرج للمكبر حتى ولو لم يكن هناك دخل على الطرفين 2,3، وفي هذه الحالة يمكن بواسطة مجزئ الجهد الوصول لخرج مساو للصفر. والشكل (٤ - ٤) يوضح طريقة ضبط الخرج عند الصفر.

#### ٤ / ٢ - المصطلحات الفنية لمكبرات العمليات:



فيما يلي أهم المصطلحات الفنية المستخدمة مع مكبرات العمليات:

١ - جهد الدخل المعادل Input offset Voltage ( $V_{io}$ ): وهو الجهد الواجب تطبيقه بين المدخلين لنحصل على جهد خرج صفري ويساوي  $1\text{ mV}$  لمكبر العمليات  $\mu A 741$ .

شكل (٤ - ٤)

٢ - تيار الدخل المعادل Input offset Current ( $I_{os}$ ): وهو الفرق بين تيارات المدخلين عندما يكون الخرج في حالة جهد صفري ويساوي  $20\text{ nA}$  لمكبر العمليات 741.

٣ - تيار الدخل الانحيازى Input Bias Current ( $I_{io}$ ): وهو متوسط تيارات المدخلين عندما يكون الخرج في حالة جهد صفري.

٤ - جهد الدخل التفاضلي Differential Input Voltage ( $V_{ID}$ ): وهو فرق الجهد الأقصى بين المدخلين العاكس وغير العاكس.

٥ - كسب الجهد للدائرة المفتوحة Open Loop gain ( $A_v$ ): وهو النسبة بين جهد الخرج وجهد الدخل عندما تكون بمقاومة الحمل  $2\text{ K}\Omega$ .

٦ - مقاومة الدخل Input Resistance ( $R_I$ ): وهى المقاومة بين كل من المدخلين والأرضى.

٧ - مقاومة الخرج Output Resistance ( $R_o$ ): وهى المقاومة بين كل من الخرج والأرضى.

٨ - معدل الإمالة (SR) Slew Rate: ويساوى النسبة بين التغير فى جهد الخرج إلى زمن هذا التغير عندما تكون مقاومة الحمل  $R_L$  مساوية  $2\text{ K}\Omega$ .

$$SR = \frac{\Delta V_o}{\Delta t}$$

وهو يساوى  $0.5\text{ V}/\mu\text{S}$  لمكبرات العمليات  $\mu\text{A} 741$ .

٩ - النطاق العرضى للترددات Band width (BW) وهو حدود الترددات التى يعمل عندها المكبر باستقرار.

١٠ - حاصل ضرب النطاق العرضى فى الكسب (GBW) ونحصل عليه من المعادلة التالية:

$$GBW = A_v \times BW$$

وهو يساوى  $1\text{ MHz}$  لمكبر العمليات  $\mu\text{A} 741$ .

والجدول (٤ - ١) يعقد مقارنة بين الخواص الفنية لبعض مكبرات العمليات.

الجدول (٤ - ١)

741	301	201	709	المتغير
500	250	1500	1500	تيار الدخل الانحيازى (IoA) بوحدة (nA)
6	7.5	7.5	7.5	جهد الدخل المعادل $V_{io}$ بوحدة mv
200	50	200	500	تيار الدخل الانحيازى IoS بوحدة nA
1	1	1	1	حاصل ضرب الكسب فى النطاق الترددى GBW بوحدة (MHZ)
0.5	2	2	3	معامل الإمالة SW بوحدة $\text{V}/\mu\text{S}$
2.0	2.0	4.0	0.7	مقاومة الدخل $R_i$ بوحدة ( $\text{M}\Omega$ )

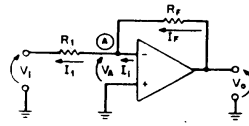
#### ٤ / ٣ - الدوائر الأساسية لمكبرات العمليات:

حيث إن معامل تكبير الدائرة المفتوحة Open Loop لمكبرات العمليات يكون كبيراً ويصل إلى 200000؛ لذا فإن مكبرات العمليات عادة لا تستخدم فى دوائر مفتوحة ولكن تستخدم فى دوائر مغلقة Closed Loop، ولكى يكون المكبر فى

حالة استقرار فإن هذا الغلق يتم بواسطة تغذية خلفية سالبة Negative feed back؛ لذلك يتم توصيل مقاومة بين الخرج والدخل السالب.

وتوجد عدة تطبيقات لمكبرات العمليات سنتناولها في الفقرات التالية.

#### ٤ / ٣ / ١ - المكبر العاكس : Inverting Amplifier

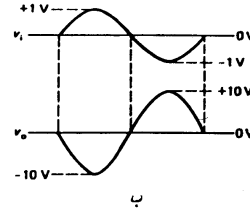
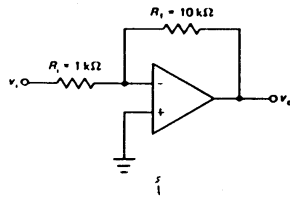


شكل (٤ - ٥)

الشكل (٤ - ٥) يعرض دائرة مكبر عمليات يعمل كمكبر عاكس. وتسمى المقاومة  $R_F$  بمقاومة التغذية الخلفية أما المقاومة  $R_i$  فهي مقاومة توالي توصل بين الطرف السالب - للمكبر وإشارة الدخل المطلوب تكبيرها، ويكون معامل كسب الجهد (معامل التكبير)  $A_v$  مساوياً.

$$A_v = \frac{V_o}{V_i} = \frac{R_F}{R_i} \rightarrow 4.2$$

ولمزيد من الإيضاح إليك المثال الموضح بالشكل (٤ - ٦)



شكل (٤ - ٦)

فإذا كانت إشارة الدخل  $V_i$  عبارة عن موجة جيبية قيمتها العظمى  $1V$  فإن إشارة الخرج  $V_o$  ستكون موجة جيبية أيضاً بإزاحة  $180^\circ$  وقيمتها العظمى  $10V$  حيث إن معامل كسب الدائرة يساوى:

$$A_v = \frac{-R_F}{R_i} = \frac{-10}{1} = -10$$



ويجب ملاحظة أن جهد الخرج في هذه الحالة لن يتعدى جهد منبع التغذية وهو  $\pm 15V$  مهما كانت قيمة جهد الدخل وقيمة معامل الكسب؛ لأن المكبر سوف يكون في حالة تشبع. ومن الناحية العملية فإن الطرف الموجب للمكبر لا يوصل مباشرة بالأرض بل يوصل من خلال مقاومة  $R_p$  تساوى:

$$R_p = \frac{R_1 R_F}{R_1 + R_F} \rightarrow 4.3$$

وهذه المقاومة تعمل على ضبط أى حيود للخرج عن الصفر في حالة ما إذا كان الدخل على طرفى المكبر مساوياً صفراً.

#### ٤ / ٣ - المكبر غير العاكس Non Inverting Amplifier :

الشكل (٤ - ٧) يعرض دائرة مكبر العمليات الذى يعمل كمكبر غير عاكس. ويلاحظ أن إشارة الدخل يسمح لها بالدخول على المدخل غير العاكس للمكبر +.

وفيما يلى معادلة كسب الجهد للمكبر غير العاكس:

$$A_v = \frac{V_0}{V_i} = 1 + \frac{R_F}{R_1} \rightarrow 4.4$$

فإذا كانت  $R_1 = 10 K\Omega$ ,  $R_F = 20 k$

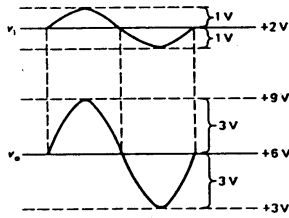
شكل (٤ - ٧)

ودخلت موجة جيبية على المدخل العاكس وكانت القيمة العظمى لها  $\pm 1 V$  فإن القيمة العظمى لجهد الخرج  $V_0$  تساوى:

$$V_0 = A_v V_i = \left(1 + \frac{R_F}{R_1}\right) v_i$$

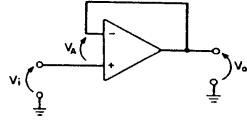
$$= \left(1 + \frac{20}{10}\right) \pm 1 = \pm 3 V$$

والشكل (٤ - ٨) يبين العلاقة بين  $V_i$  مع الزمن، وكذلك  $V_0$  مع الزمن. ويلاحظ أنه لا توجد إزاحة وجهين  $V_0$ ,  $V_i$ .



شكل (٤ - ٨)

### ٤ / ٣ / ٣ - مكبر الوحدة Unity Follower :



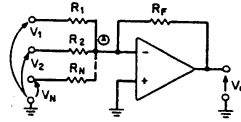
شكل (٩ - ٤)

هذا المكبر يعطى جهد خرج  $V_o$  مساوياً تقريباً لجهد الدخل  $V_i$  فى القيمة وله نفس القطبية، لذلك سمي بمكبر الوحدة، وهو يستخدم عادة فى العزل. والشكل (٩ - ٤) يعرض دائرة مكبر وحدة غير عاكس.

ويكون معامل الكسب مساوياً:

$$A_v = \frac{V_o}{V_i} = 1 \rightarrow 4.5$$

### ٤ / ٣ / ٤ - المكبر الجامع العاكس The summing op. Amp :



شكل (١٠ - ٤)

يعتبر المكبر الجامع هو أحد تطبيقات المكبر العاكس ويجرى المكبر الجامع عملية جمع الجهود الدخل. والشكل (٤ - ١٠) يعرض دائرة جامع بثلاثة مداخل فقط، بالطبع يمكن زيادة عدد المداخل حسب الاستخدام لاي عدد من المداخل.

ونحصل على قيمة جهد الخرج لهذه الدائرة من العلاقة.

$$V_o = - \left( \frac{R_F}{R_1} V_1 + \frac{R_F}{R_2} V_2 + \frac{R_F}{R_N} V_N \right) \rightarrow 4.6$$

$$R_1 = R_2 = R_3 = R_F$$

فإذا كانت

تصبح:

$$V_o = - (V_1 + V_2 + V_3)$$

$$R_1 = R_2 = R_3 = R_F = 10 \text{ K}\Omega$$

فإذا كانت

وكانت جهود المداخل كالتالى:

$$V_1 = 5 \text{ V}, V_2 = 6 \text{ V}, V_3 = 8 \text{ V}$$

فإن جهد الخرج يساوى :

$$V_0 = -(5 + 6 + 8) = -19 \text{ V}$$

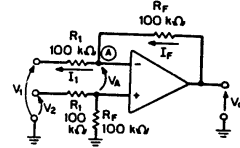
فإذا كان جهد منبع مساوياً  $\pm 15 \text{ V}$  فإن المكبر سوف يتشبع، وبالتالي يصبح جهد الخرج مساوياً جهد التشبع أى  $-V_{sat}$ ، حيث إن جهد التشبع فى هذه الحالة يساوى  $-13 \text{ V}$  تقريباً.

#### : The differential Amplifier

٤ / ٣ - ٥ المكبر الفرقى

فى التطبيقات السابقة لاحظنا أن الإشارة الداخلة تدخل على أحد طرفى الدخل لمكبر العمليات.

أما إذا سمح لإشارتين دخل الدخول معاً على مدخلى مكبر العمليات يسمى المكبر فى هذه الحالة بالمكبر الفرقى (الطرح)، وسمى بهذا الاسم نظراً لأنه يقوم



شكل (٤ - ١١)

بتكبير الفرق بين الدخلىين، وفى الوضع المثالى

لهذه الدوائر فإن الخرج يساوى صفراً عند

تساوى جهد مدخلى الجهد، وتكون دائرة

مكبر العمليات الفرقى كما هو موضح بالشكل

(٤ - ١١). وتكون قيمة جهد الخرج لدائرة

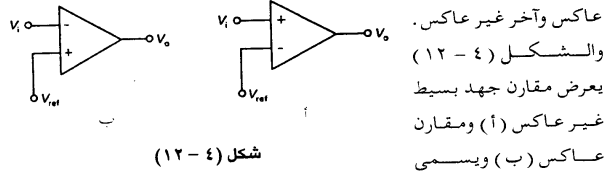
المكبر الفرقى مساوياً:

$$V_0 = \frac{R_F}{R_1} (V_2 - V_1) \rightarrow 4.7$$

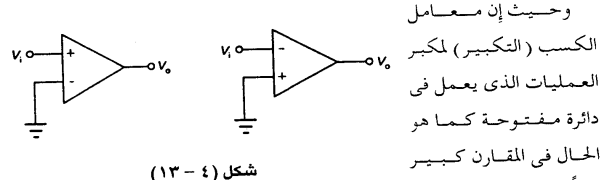
وتقوم المقاومة  $R_F$  بضبط أى حيود للخروج عن الصفر فى حالة تساوى الجهدين  $V_1, V_2$  أو مساواتهما بالصفر.

#### : Voltage Comparator ٤ / ٣ - ٦ مقارن الجهد

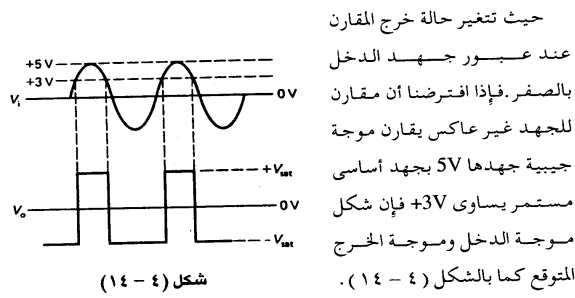
يستخدم مكبر العمليات كمقارن للجهد بحيث يقارن الجهد على أحد المدخل مع جهد الأساس الموجود عند المدخل الآخر. وهناك نوعان من المقارنات وهما مقارن



المقارن بمقارن عاكس عند دخول إشارة الجهد على المدخل العاكس في حين يسمى بمقارن غير عاكس عند دخول إشارة الجهد على المدخل غير العاكس .



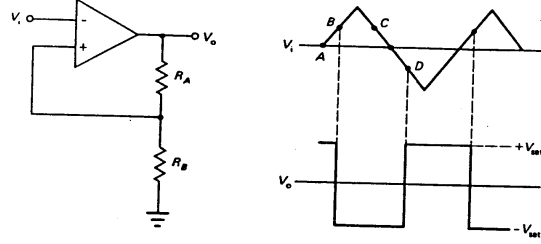
جداً، لذا فإن جهد إشارة بالملي فولت يكفي لتشبع المكبر، لذا فإن خرج مقارن الجهد دائماً جهد التشبع موجباً أو سالباً  $\pm V_{sat}$  . وفي حالة قيام المقارن بمقارنة إشارة جهد مع 0V فإنه يسمى بكاشف عبور الصفر Zero crossing Detector .  
كما بالشكل ( ٤ - ١٣ ) .



ويلاحظ أنه عندما يكون جهد الدخل أكبر من 3V فإن خرج المقارن يكون مساوياً  $+V_{sat}$ . وعندما يكون جهد الدخل أصغر من 3V فإن خرج المقارن يكون مساوياً  $-V_{sat}$ . علماً بأن  $V_{sat}$  تساوي 13 V تقريباً عندما يكون جهد المنبع مساوياً 15 V.

والجدير بالذكر أن المقارن قد يتعرض لتأرجح في خرجه نتيجة لوجود أى جهود صغيرة بفعل الضوضاء في المدخل ويجب تجنب ذلك بإضافة مقاومة تغذية عكسية موجبة (للدخل الموجب).

وهناك نوع آخر من المقارنات تسمى بمقارنات رجوعية، وتستخدم المقارنات ذات الرجوعية في الحاكّم ذات الموضعين Two position controller. والشكل (٤ - ١٥) يعرض دائرة لمقارن رجوعية وشكل الموجة الخارجة  $V_o$  عندما تكون الموجة الداخلة  $V_i$  على شكل أسنان منشار. والمقصود بالرجوعية هو اعتماد خرج الدائرة على الحالة السابقة للدخل.



شكل (٤ - ١٥)

فكما هو واضح أن خرج المقارن يكون مشبّعاً موجباً في المنطقة بين النقطتين A, B تماماً كالحالة السابقة للمقارن، في حين يتحول خرج المقارن ليصبح مشبّعاً سالباً بعد النقطة B، ويظل الخرج مشبّعاً سالباً في المنطقة ED اعتماداً على الحالة السابقة وهكذا.

ويمكن تعيين حدود الرجوعية من المعادلة التالية :

$$V_{ref} = \frac{R_F}{R_A + R_B} (\pm V_{sat}) \rightarrow 4.8$$

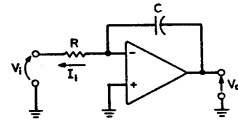
حيث إن :

$V_{ref}$  جهد الأساس وهو جهد النقطة B أو النقطة D

$V_{sat}$  جهد التشبع لمكبر العمليات

#### Integrator المكبر المكامل ٧/٣/٤

تعرف عملية التكامل بأنها جمع قيم إشارة الدخل خلال فترة زمنية معينة. والشكل (٤ - ١٦) يعرض دائرة لمكامل وهي تشبه دائرة المكبر العاكس، عدا أن مقاومة التغذية الخلفية  $R_F$  استبدلت بالمكثف C.



والمعادلة التالية تعرف العملية التي تجريها هذه الدائرة :

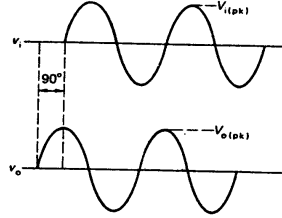
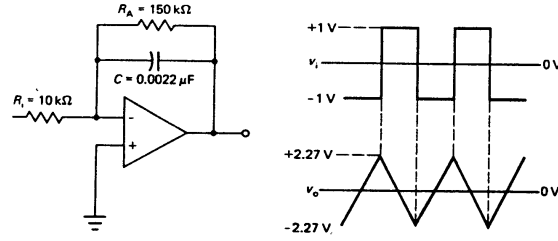
$$V_0 = -\frac{1}{RC} \int_0^t V_i dt \rightarrow 4.9$$

وعادة توصل مقاومة بالتوازي مع مكثف دائرة المكامل للأسباب التالية :

١ - منع المكبر من تكامل الجهود المستمرة حتى ولو صغيرة والتي قد تؤدي لفقدان الدائرة لصفة التكامل.

٢ - تحافظ على معامل كسب لا يقل عن  $\frac{R_A}{R_i}$  عند الترددات القليلة، حيث إن  $R_A$  هي قيمة المقاومة الموصلة بالمكثف على التوازي أما  $R_i$  فهي مقاومة الدخل.

والشكل (٤ - ١٧) يبين دائرة مكامل عملي وشكل الموجة الداخلة والخارجة في حالتين عندما تكون الموجة الداخلة مربعة وعندما تكون الموجة الداخلة جيبية.



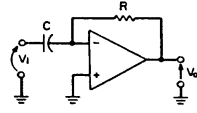
شكل (٤ - ١٧)

وبالاحظ أن الموجة المربعة عند تكاملها تتحول لموجة مثلثة، أما الموجة الجيبية عند تكاملها تكون جيبية ولكن بإزاحة  $90^\circ$  جهة اليسار علماً بأن جهد الخرج الأقصى للمكامل عندما يكون دخله موجة جيبية يساوي:

$$V_{O(pk)} = \frac{V_{i(pk)}}{2\pi F R_i C} \longrightarrow 4.10$$

حيث إن:

$V_{O(pk)}$	جهد الخرج الأقصى
$V_{i(pk)}$	جهد الدخل الأقصى
$F$	تردد الموجة الجيبية الداخلة



الشكل (٤ - ١٨) يعرض دائرة مفاضل للموجة الداخلة، وهى تشبه دائرة المكامل مع تبديل أوضاع المكثف.

والمعادلة التالية تعرف العملية التى تجريها هذه الدائرة:

$$V_o = -RC \frac{dV_i}{dt} \rightarrow 4.11$$

وعادة توصل مقاومة  $R_s$  على التوالى مع المكثف  $C$  للمحافظة على الكسب فى الترددات العالية مساوياً  $\frac{-R}{R_s}$ .

والشكل (٤ - ١٩) يبين دائرة مفاضل عملية وشكل الموجة الداخلة والخارجة فى حالتين، عندما تكون الموجة الداخلة جييبية وعندما تكون الموجة الداخلة مربعة.

وبلاحظ أن الموجة الجيبية عند تفاضلها تكون جييبية، ولكن بإزاحة  $90^\circ$  جهة اليمين، علماً بأن جهد الخرج الأقصى للمفاضل عندما يكون دخله موجة جييبية يساوى:

$$V_{O(pk)} = 2\pi F R_F C V_i (pk) \rightarrow 4.12$$

حيث إن:

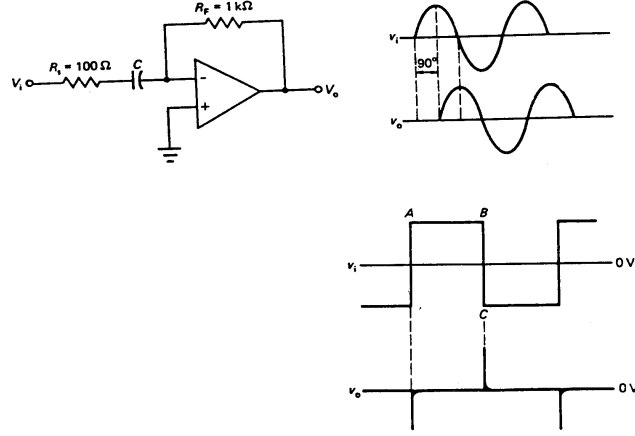
$V_{O(pk)}$  جهد الخرج الأقصى.

$V_i(pk)$  جهد الدخل الأقصى.

$F$  تردد الموجة الجيبية الداخلة.

فى حين أن الموجة المربعة عند تفاضلها تتحول لنبضات موجبة ونبضات سالبة.

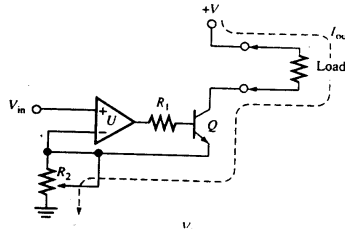




شكل (٤ - ١٩)

٤ / ٣ / ٩ - محول الجهد لتيار:

من المعلوم أن مكبرات العمليات هي مكبرات جهد، وأكثر هذه المكبرات يكون لها خرج تيار محدد. وحيث إن هناك الكثير من عناصر الفعل Actuators يتم التحكم فيها بالتحكم في شدة تيار دخلها، على سبيل المثال الصمامات ذات المحرك Motor Valves، الأمر الذي جعلنا نحتاج إلى طريقة لتحويل الجهد لتيار. والشكل (٤ - ٢٠) يبين دائرة محول جهد لتيار باستخدام مكبر عمليات.



شكل (٤ - ٢٠)

وهذه الدائرة تعطى تيار خرج يتناسب مع جهد الدخل . وعند التدقيق في هذه الدائرة نجد أنها دائرة مكبر عاكس، حيث يتحكم جهد الخرج في الترانزستور Q، فكلما زاد جهد الخرج ازداد تيار مجمع الترانزستور Q. ويصل المكبر لحالة الاتزان عندما يكون الجهد الواقع على الرجل العاكسة يساوى جهد الدخل على الرجل غير العاكسة، أى عندما يكون:

$$V_{in} = I_{out} R_2$$

وبالتالى نحصل على قيمة تيار الخرج من المعادلة التالية:

$$I_{out} = \frac{V_i}{R_2} \rightarrow 4.13$$

ويمكن التحكم فى شدة تيار الخرج المقابل لجهد الدخل بالتحكم فى قيمة المقاومة R2، ويجب اختيار R1 بحيث تكون كافية لتحديد تيار قاعدة الترانزستور. والجدير بالذكر أن الترانزستور Q يعمل على زيادة مستوى تيار خرج المكبر، ولذلك يختار بحيث يكون الجهد +V كافياً لإمرار التيار المطلوب فى الحمل، فإذا كانت مقاومة الحمل 50 KΩ وكان التيار المطلوب هو 2mA فإن الجهد +V يجب أن يكون أكبر من 100 V.

٤ / - تطبيق عملي (التحكم فى سرعة محرك مؤازر تيار مستمر):

الشكل (٤ - ٢١) يعرض دائرة تحكم فى سرعة محرك مؤازر size 9 أو size 8 يعمل عند جهد 12 V.

#### عناصر الدائرة:

R1	10 K $\Omega$	مقاومة كربونية
R2	10 K $\Omega$	مقاومة كربونية
R3	10 K $\Omega$	مقاومة كربونية
R4	5 K $\Omega$	مقاومة كربونية
R5	50 K $\Omega$	مقاومة كربونية
R6	3.9 K $\Omega$	مقاومة كربونية
R7	0.7 K $\Omega$	مقاومة كربونية
R8	10 K $\Omega$	مجزئ جهد دوار
R9	10 K $\Omega$	مقاومة كربونية
C1	16 V و $10 \mu f$ جهده	مكثف كيميائي
C2	16 V و $3.3 \text{ nf}$ جهده	مكثف كيميائي
C3	16 V و $5 \text{ pf}$ جهده	مكثف كيميائي
C4	16 V و $10 \mu f$ جهده	مكثف كيميائي
U1	$\mu A$ 741	مكبر عمليات طراز
U2	$\mu A$ 791	مكبر عمليات طراز
M	size 8 أو size 9	محرك مؤازر

#### نظرية عمل الدائرة:

يعمل المكبر  $U_1$  كمكبر فارق، ويكون خرجة مساوياً.

$$- V_{out1} = V_x - V_w$$

حيث إن:

$V_{out1}$  هو جهد خرج المكبر  $U_1$ .

$V_x$  هو جهد التغذية المرتدة من مجزئ الجهد الدوار ( $R_8$ ) المثبت على عمود إدارة المحرك المؤازر.

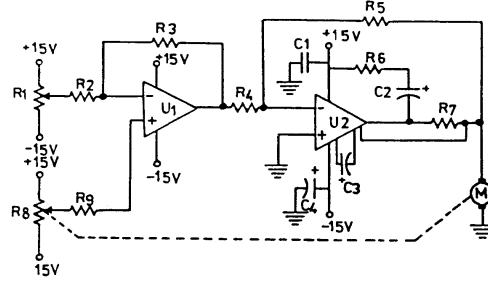
Vw هو جهد الأساس القادم من مجزئ الجهد R1 والمقابل للسرعة المطلوبة.

ويعمل المكبر U2 كمكبر عاكس، يكون خرجه مساوياً.

$$V_{out2} = \frac{R_5}{R_4} V_{out1} = -10 V_{out1}$$

وهذا الجهد يعمل على إدارة المحرك، فإذا كان موجباً يدور المحرك المؤازر جهة اليمين إلى أن يصبح جهد التغذية المرتدة Vx مساوياً لجهد الأساس Vw. في هذه الحالة يصبح جهد خرج المكبر الأول U1 مساوياً صفراً.

وبالتالى يصبح خرج المكبر U2 مساوياً الصفر فيتوقف المحرك. ونفس الكلام يتكرر عندما يكون خرج المكبر U2 سالباً، ولكن يدور المحرك جهة اليسار حتى يصبح خرج المكبر U1 مساوياً الصفر فيتوقف المحرك.



شكل (٤ - ٢١)

## **الباب الخامس**

### **المذبذبات والمؤقتات الزمنية**



## المذبذبات والمؤقتات الزمنية

### ١ / ٥ - مقدمة:

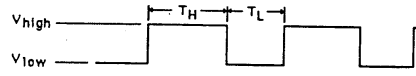
تعتبر المذبذبات القلب النابض في معظم أنظمة التحكم الرقمية. فبعض أنظمة التحكم الرقمية تحتاج لنبضات مربعة حتى يحدث تزامن لعملياتها، والبعض الآخر يحتاج هذه النبضات لإجراء بعض القياسات الزمنية، في حين تحتاج بعض الأنظمة الرقمية لنبضة واحدة بمرور محدد لإجراء بعض العمليات وهكذا.

لذلك سنتناول في هذا الباب المذبذبات العديدة الاستقرار Astable. وهذه المذبذبات تقوم بتوليد نبضات مربعة متكررة.

وكذلك المذبذبات وحيدة الاستقرار Monostable. وهي تقوم بتوليد نبضة واحدة بمرور محدد عند إشعالها وهذه النبضة تكون عالية أو منخفضة.

### ٢ / ٥ - المذبذبات العديدة الاستقرار Astable Multivibrators:

تسمى هذه المذبذبات أحياناً بالمذبذبات الحرة Free Running multivibrators، وتقوم هذه المذبذبات بتوليد موجات مربعة كما بالشكل (٥ - ١).



شكل (٥ - ١)

حيث يتغير جهد هذه الموجات بين قيمتين ثابتتين وهما الجهد العالي  $V_{high}$  والجهد المنخفض  $V_{low}$ . ويكون زمن بقاء الجهد عالياً  $T_H$  وزمن بقاء الجهد منخفضاً  $T_L$ .

ويعرف معامل دورة الخدمة Duty cycle بالمعادلة التالية:

$$D = \frac{T_H}{T_H + T_L} \rightarrow 5.1$$

ويكون زمن الدورة مساوياً:

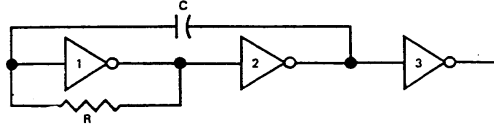
$$T = T_H + T_L \rightarrow 5.2$$

ويكون تردد المذبذب العديم الاستقرار مساوياً:

$$F = \frac{1}{T} \rightarrow 5.3$$

٥ / ٢ / ١ - المذبذبات العديمة الاستقرار والتي تحتوى على عواكس:

الشكل (٥ - ٢) يعرض دائرة مذبذب عديم الاستقرار، مستخدماً دائرة متكاملة رقمية تحتوى على ستة عواكس طراز 7404.



شكل (٥ - ٢)

ويكون تردد هذا المذبذب مساوياً:

$$F = \frac{1}{3 RC} \rightarrow 5.4$$

علماً بأن المقاومة R تتراوح ما بين 150 : 220  $\Omega$ ، فإذا كان:

$$R = 200 \Omega$$

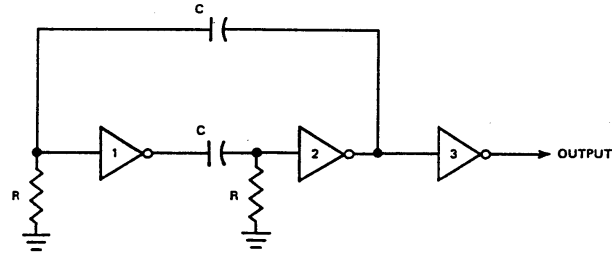
$$C = 170 \mu f$$

فإن:

$$F = \frac{10^6}{3 \times 200 \times 170} = 10 \text{ HZ}$$

والشكل (٥ - ٣) يعرض دائرة أخرى للمذبذب عديم الاستقرار، مستخدماً دائرة متكاملة رقمية تحتوى على ستة عواكس نوع TTL طراز 7404.





شكل (٥ - ٣)

ويكون تردد هذا المذبذب مساوياً:

$$F = \frac{1}{2RC} \rightarrow = 5.5$$

فيذا كانت:

$$R = 230 \Omega, C = 4 \mu f$$

فيان:

$$F = \frac{10^6}{2 \times 230 \times 4} = 544 \text{ HZ}$$

علماً بأن قيمة المقاومة R تتراوح ما بين (200 : 1000  $\Omega$ ). والجدير بالذكر أنه يمكن استبدال العواكس ببوابات NAND مداخلها مقصورة معاً، كما ذكر سالفاً في البوابة العامة NAND في الفقرة (٣ / ٣ / ٩).

ويعاب على دوائر المذبذبات السالفة الذكر أن التردد الخارج يتغير نتيجة للتفاوتات الموجودة في العناصر المستخدمة، ويمكن الحصول على تردد ثابت باستخدام بلورات الكريستال، كما سيتضح في الفقرة التالية.

## ٥ / ٢ / ٢ - المذبذبات البلورية العديمة الاستقرار:

تستخدم بلورات البيزو الكهربائية Piezo electric crystals المصنوعة من الكوارتز في عمل هذه المذبذبات.

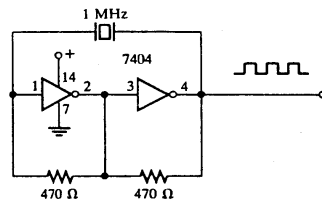
ويعرف تأثير بيزو الكهربى بأنه عند تسليط جهد متردد على هذه البلورات فإنها تهتز بنفس تردد المصدر الكهربى.

وتستخدم بلورات الكوارتز عادة في بناء المذبذبات وذلك لقوتها الميكانيكية العالية وبساطتها في التصنيع، وكل بلورة لها تردد طبيعى وتتواجد بلورات الكوارتز بترددات طبيعية تتراوح ما بين (5 MHZ: 25 KHZ).

وحتى تستخدم بلورات الكوارتز في الدوائر الإلكترونية توضع بين لوحين من المعدن فيشكل مكثف له عزل بلورى.

وعند تعريض لوحى البلورة لجهد كهربى تهتز بتردد يساوى تردد المصدر الكهربى. فإذا كان تردد المصدر الكهربى يساوى التردد الطبيعى للبلورة نحصل على رنين وتهتز البلورة بأعلى معدل اهتزاز.

ويعاب على المذبذبات البلورية باستخدامها في دوائر القدرة الصغيرة لتجنب انبعاثها، كما أن تردد المذبذبات لا يمكن تغييره لأنه يساوى التردد الطبيعى للبلورة ولكن تتميز المذبذبات البلورية بدقتها المتناهية.



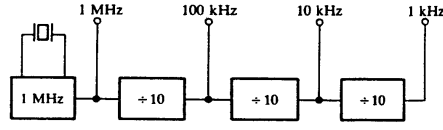
شكل (٥ - ٤)

والشكل (٥ - ٤) يعرض مذبذبا بلوريا يتكون من بلورة كوارتز ترددها الطبيعى 1MHZ ودائرة متكاملة TTL تحتوى على ستة عواكس طراز 7404 ومقاومتين 470  $\Omega$ .

ويكون تردد الموجات المربعة الخارجة من هذا المذبذب حوالى 1 MHZ.

ويمكن تغيير تردد الخرج للحصول على أى تردد باستخدام بلورة كوارتز ترددتها الطبيعي مساوى للتردد المطلوب .

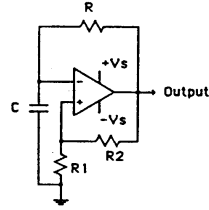
ويمكن الحصول على ترددات منخفضة باستخدام عناصر تقسيم مناسبة مثل العداد العشري المكود ثنائياً طراز 74192 . والشكل ( ٥ - ٥ ) يوضح ذلك .



شكل ( ٥ - ٥ )

٥ / ٢ / ٣ - مذبذبات مكبرات العمليات العدديّة الاستقرار:

الشكل ( ٥ - ٦ ) يعرض دائرة مذبذب عددي الاستقرار يحتوى على مكبر عمليات .



شكل ( ٥ - ٦ )

وهذه الدائرة تعمل كمقارن، حيث إن المكثف C هو مصدر جهد الدخل على المدخل العاكس، وتقوم المقاومات R1, R2 بعمل مجزئ جهد يقوم بعمل تغذية عكسية بجزء من جهد الخرج  $V_O$  للدخل . وسوف ندرس عمل هذه الدائرة فى حالتين:

أولاً:

عندما يكون  $V_o$  مساوياً للجهد التشيع الموجب  $V_{sat}$  + يسمى الجهد على الرجل غير العاكسة + للمكبر عندما يكون  $V_o$  مساوياً  $V_{sat}$  + بجهد الركبة العلوية  $V_{UT}$  ويساوى:

$$V_{UT} = V_{sat} \frac{R_1}{R_1 + R_2} \rightarrow 5.6$$

ويكون الجهد على الرجل العاكسة - للمكبر مساوياً الجهد على أطراف المكثف C والذي يزداد تدريجياً نتيجة لشحن المكثف من خلال المقاومة R حتى يصبح أكبر من جهد الركبة العلوية  $V_{UT}$ ، حينئذ يصبح جهد الخرج  $V_o$  مساوياً  $V_{sat}$  - .  
ثانياً:

عندما يكون  $V_o$  مساوياً للجهد التشيع السالب  $-V_{sat}$  : يسمى الجهد على الرجل غير العاكسة + للمكبر عندما يكون  $V_o$  مساوياً  $-V_{sat}$  - بجهد الركبة السفلية  $V_{LT}$  ويساوى:

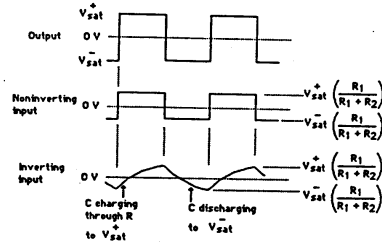
$$V_{LT} = -V_{sat} \frac{R_1}{R_1 + R_2} \rightarrow 5.7$$

ويكون الجهد على الرجل العاكسة - للمكبر مساوياً لجهد أطراف المكثف C والذي يقل تدريجياً نتيجة لتفريغ شحنة المكثف من خلال المقاومة R .  
وعندما يكون جهد المكثف أكثر سالبة من الجهد  $V_{LT}$  يتغير خرج المكبر من  $-V_{sat}$  إلى  $+V_{sat}$  وهكذا .

ويكون تردد الموجة الناتجة مساوياً:

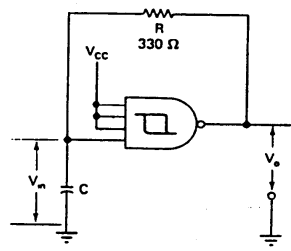
$$F = \frac{1}{2RC} \text{ (HZ)} \rightarrow 5.8$$

شكل ( ٥ - ٧ ) يعرض شكل نبضات جهد الخرج وجهد المدخل العاكس وجهد المدخل غير العاكس .



شكل (٧ - ٥)

٥ / ٢ / ٤ - المذبذب العديم الاستقرار والذي يحتوى على بوابة Schmitt NAND:



شكل (٨ - ٥)

يمكن بناء مذبذب عديم الاستقرار  
مستخدماً بوابة Schmitt NAND  
ومقاومة ومكثف خارجيين كما بالشكل  
(٨ - ٥).

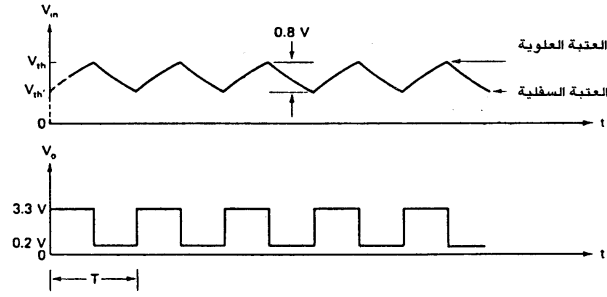
حيث إن تردد خرج هذا المذبذب  
يساوى:

$$F = \frac{0.9}{RC} \rightarrow 5.9$$

والجدير بالذكر أن تردد هذا المذبذب

يتراوح ما بين (0.1 HZ: 10 MZ). وعند استخدام الدائرة المتكاملة 7413 فإن  
المقاومة تكون مساوية 330 Ohm.

والشكل (٩ - ٥) يبين شكل موجة الدخل والخرج لهذا المذبذب.



شكل (٥ - ٩)

ويلاحظ أن جهد الدخل  $V_{in}$  يتأرجح بين قيمتين جهد العتبة العلوية وجهد العتبة السفلية نتيجة لشحن المكثف  $C$  علماً بأن جهد العتبة العلوية يساوى  $1.7 V$ ، وجهد العتبة السفلية يساوى  $0.9 V$ ، والفرق بينهما يساوى  $0.8 V$ .

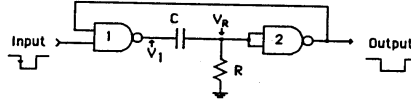
أحياناً يحدث تشوه لخرج هذا المذبذب نتيجة لأن المقاومة  $R$  تمثل حملاً على خرج بوابة المذبذب، وحتى نحصل على خرج ثابت غير مشوه نستخدم بوابة أخرى Schmitt NAND. نستخدم كبوابة NOT وتوصل بمخرج المذبذب الذى نحن بصدده.

### ٥ / ٣ - المذبذبات الأحادية الاستقرار Monostable Multivibrators :

تقوم هذه المذبذبات بتوليد نبضة واحدة بزمّن محدد عند إشعالها، ويطلق على المذبذبات الأحادية الاستقرار أحياناً بالمذبذبات ذات الطلقة الواحدة one Shot Multivibrator.

#### ٥ / ٣ / ١ - المذبذبات الأحادية الاستقرار التى تحتوى على بوابات منطقية :

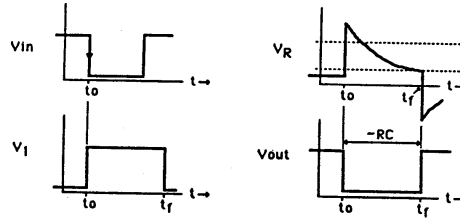
الشكل (٥ - ١٠) يعرض دائرة مذبذب أحادى الاستقرار، يحتوى على بوابتين NAND.



شكل (١٠ - ٥)

ويكون الوضع الطبيعي لدخل وخرج هذه الدائرة عالياً (High) أى يكون دخل البوابة 1 وخرج البوابة 2 عالياً، وبالتالي فإن خرج البوابة 1 ودخل البوابة 2 يكون منخفضاً (Low)، أى أن المكثف C يكون على طرفيه جهداً منخفضاً. فعند وصول نبضة لدخل البوابة 1 وعند الحافة الهابطة فإن خرج البوابة 1 سوف يصبح عالياً، وينتقل هذا الجهد عبر المكثف C إلى مدخل البوابة 2 فيصبح خرج البوابة 2 منخفضاً، ويبقى حالة دخل البوابة 2 عالياً خلال فترة تفريغ المكثف C فى المقاومة R، بعدها يعود خرج البوابة 2 منخفضاً.

والشكل (١١ - ٥) يوضح الجهود عند النقاط المختلفة لهذه الدائرة.



شكل (١١ - ٥)

ويكون زمن النبضة الخارجة مساوياً  $t$

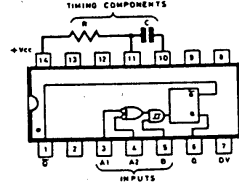
$$t = RC \rightarrow 5.10$$

### ٥/٣/٢ - الدوائر المتكاملة TTL للمذبذبات الأحادية الاستقرار:

توجد أنواع مختلفة من الدوائر المتكاملة TTL تعمل كمذبذبات أحادية الاستقرار مثل الدوائر التالية: 74121, 74122, 74123.

والفرق بين هذه الدوائر المتكاملة في طريقة إشعالها، فبعضها يسمى (محدد الإشعال) Retriggerable، حيث يمكن تكبير نبضة الخرج بإرسال نبضتي إشعال للدخل الزمن بينهما أقل من زمن نبضة الخرج عند إرسال نبضة إشعال واحدة والثاني يسمى غير مجدّد الإشعال Not Retriggerable، أى لا يمكن تغيير زمن نبضة الخرج بإرسال نبضات دخل متلاحقة.

وسوف نتناول في هذه الفقرة الدائرة المتكاملة 74121 وهي غير مجددة للإشعال.



والشكل (٥-١٢) يبين طريقة توصيل مقاومة R ومكثف C مع الدائرة المتكاملة 74121 للحصول على مذبذب أحادى الاستقرار وكذلك جدول الحقيقة لها. وتحدد المدخلات A1, A2, B طريقة الإشعال وهناك ثلاثة طرق مختلفة للإشعال:

INPUTS			OUTPUTS	
$\bar{A}_1$	$\bar{A}_2$	B	Q	$\bar{Q}$
L	X	H	L	H
X	L	H	L	H
X	X	L	L	H
H	H	X	L	H
H	H	H	L	H
L	H	H	L	H
L	L	H	L	H
L	X	L	L	H
X	L	L	L	H

H = HIGH voltage level  
L = LOW voltage level  
X = Don't care  
↑ = LOW-to-HIGH transition  
↓ = HIGH-to-LOW transition

- ١- يوصل A1, A2 بجهد منخفض Low، وبالتالي يمكن إشعال المذبذب عند وصول نبضة للمدخل B عند الحافة الصاعدة.
- ٢- يوصل A1, B بجهد (High)، وبالتالي يمكن إشعال المذبذب بوصول نبضة للمدخل A2 عند الحافة الهابطة.

شكل (٥-١٢)



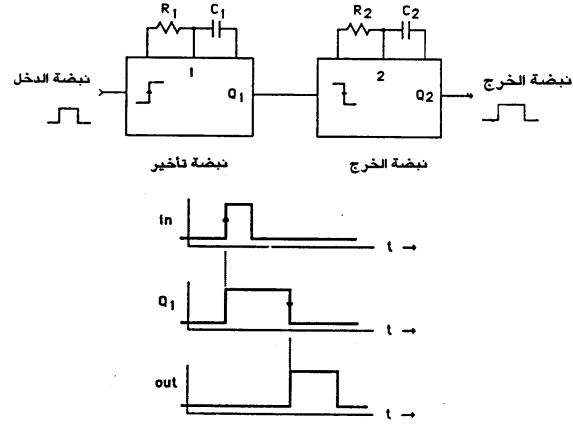
٣ - يوصل A2, B بجهد عال، وبالتالي يمكن إشعال المذبذب بوصول نبضة للمدخل A1 عند الحافة الهابطة، ونحصل على زمن النبضة الخارجة من العلاقة التالية:

$$t = 0.693 RC \longrightarrow 5.11$$

علمًا بأن قيمة R تتراوح ما بين (1.5 KΩ: 40 KΩ)، وقيمة C تتراوح ما بين (10 pf: 10 μf)، ويتراوح هذا الزمن ما بين (30ns: 40 s).

وتستخدم هذه الدائرة المتكاملة في زيادة زمن النبضات القصيرة، وأيضًا لعمل إزاحة زمنية لنبضة ما، مستخدمين فكرة أنه يمكن إشعالها بنبضة عند الحافة الصاعدة ونبضة أخرى عند الحافة الهابطة.

والشكل (٥ - ١٣) يبين المخطط البلوكي للدائرة المستخدمة لعمل إزاحة زمنية لنبضة ما وشكل نبضات الدخل والخروج، حيث يتم إدخال النبضة الداخلة على المدخل B مع توصيل المدخلين A1, A2 بجهد منخفض وذلك للدائرة المتكاملة الأولى، بينما يسمح لخروج الدائرة المتكاملة الأولى بالدخول على المدخل A2 وتوصيل المدخلين A1, B للدائرة المتكاملة الثانية بجهد عال.

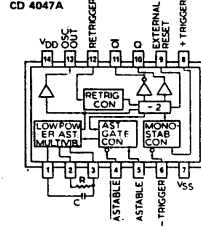


الشكل (٥ - ١٣)

#### ٥ / ٤ - الدوائر المتكاملة CMOS للمذبذبات :

من أشهر الدوائر المتكاملة CMOS للمذبذبات هي الدائرة المتكاملة CD4047A، وتستخدم كمذبذب أحادي الاستقرار ومذبذب لا مستقر. والدائرة المتكاملة CD4528B وتحتوي على مذبذبين لا مستقرين مجددين الإشعال.

والشكل (٥ - ١٤) يعرض المسقط الأفقي للدائرة المتكاملة 4047.



شكل (٥ - ١٤)

التعريف بأرجل الدائرة المتكاملة:

الرجل 1	المكثف C	الرجل 8	إشعال موجب
الرجل 2	المقاومة R	الرجل 9	تحرير
الرجل 3	المكثف C والمقاومة R	الرجل 10	المخرج
الرجل 4	معكوس دائرة لا مستقرة	الرجل 11	معكوس المخرج
الرجل 5	دائرة لا مستقرة	الرجل 12	مجدد إشعال
الرجل 6	إشعال سالب	الرجل 13	خرج المذبذب
الرجل 7	جهد المصدر Vss	الرجل 14	جهد المصدر VDD

#### نظرية التشغيل:

تمتاز هذه الدائرة المتكاملة بأنها يمكن أن تعمل كمذبذب لا مستقر ومذبذب أحادى الاستقرار، كما أنها لا تحتاج إلا لمكثف خارجى واحد عادى وليس كيميائياً ومقاومة واحدة ، ولها ثلاثة مخارج وهى  $Q$ ,  $\bar{Q}$  وخارج المذبذب.

أولاً: استخدامهما كمذبذب لا مستقر:

توصل الأرجل 4,5,6,14 بالجهد  $V_{DD}$  والأرجل 8,9,12 بالجهد  $V_{SS}$  ويكون تردد الخرج على المخارج  $Q, \bar{Q}$  يساوى:

$$F_Q = F_{\bar{Q}} = \frac{0.23}{RC} \rightarrow 5.12$$

ويكون تردد الخرج على مخرج المذبذب (الرجل 13) مساوياً:

$$F_0 = 2F = \frac{0.46}{RC} \rightarrow 5.13$$

ويمكن تحرير خرج المذبذب فى أى لحظة بوصول إشارة عالية لمدخل التحرير 9.

ثانياً: استخدامهما كمذبذب أحادى الاستقرار:

توصل الأرجل 4,14 بالجهد  $V_{DD}$  والأرجل 5,6,7,9,12 بالجهد  $V_{SS}$  وعند الحافة الصاعدة للجهد على مدخل الإشعال 8 تخرج نبضة من المخارج  $Q, \bar{Q}$  زمنها يساوى:

$$T = 2.5 RC \rightarrow 5.14$$

أما عند توصيل الأرجل 4, 8, 14 مع الجهد  $V_{DD}$  والأرجل 5, 7, 9, 12 مع الجهد  $V_{SS}$  وعند الحافة الهابطة للجهد على مدخل الإشعال 6 نحصل على نبضة من المخارج  $Q, \bar{Q}$  زمنها لا يختلف عن الحالة السابقة أى يساوى:

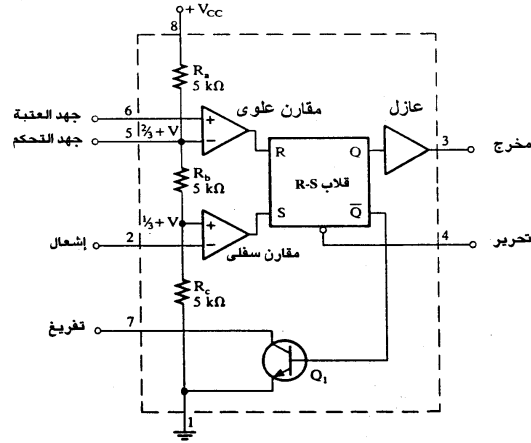
$$T = 2.5 RC$$

ويمكن تحرير خرج المذبذب فى أى لحظة بوصول إشارة عالية لمدخل التحرير 9.

## ٥/٥ - دائرة المؤقت المتكاملة 555 Timer : The 555

يتواجد المؤقت 555 فى صورة دائرة متكاملة تبني من دائرة رقمية وتناظرية، حيث تحتوى على عناصر رقمية وعناصر تناظرية، فهي تحتوى على مكبرى عمليات يستخدمان كمقارنات وتحتوى على قلابين R-S بالإضافة إلى عازل buffer للخروج ويقوم بزيادة مستوى تيار خرج المؤقت، وتحتوى أيضاً على ترانزستور يعمل كمفتاح.

والشكل (٥ - ١٥) يبين التركيب البنائى للمؤقت NE 555.



شكل (٥ - ١٥)

#### التعريف بأرجل المؤقت 555:

- الرجل 1 الأرضى
- الرجل 8 الجهد الموجب  $V_{CC}$  ويتراوح ما بين (+5:15 V) ويجب ألا يتعدى +18V
- الرجل 3 خرج المؤقت وله حالتان منخفض L ويساوى 0V، وعالى H ويساوى  $V_{CC}$ .
- الرجل 2 مدخل الإشعال الذى يتصل بالمقارن السفلى، فعندما يكون الجهد على مدخل الإشعال أقل من  $1/3 V_{CC}$  فإن خرج المقارن السفلى يكون عالياً H فيحدث إمساك للقلاب ويصبح حالة المخرج Q للقلاب عالية.
- الرجل 5 مدخل جهد التحكم، ويستخدم فى التضمين ( انظر الباب السابع ).
- الرجل 6 مدخل جهد العتبة ، فإذا زاد جهد العتبة عن جهد التحكم فإن المقارن العلوى سوف يعطى خرجاً عالياً H يعمل على تحرير القلاب ويصبح خرج القلاب منخفضاً، وعادة يوصل هذا الطرف مع مكثف خارجى بالأرضى.
- الرجل 7 تفريغ المكثف الذى يوصل بالرجل 6، والمستخدم لتحديد زمن الذبذبات، فإذا كان خرج  $\bar{Q}$  عالياً (H) فإن الترانزستور Q1 سيتشبع، مما يجعل المكثف يقوم بتفريغ شحنته خلال مقاومة الترانزستور والتي تكون صغيرة جداً.
- الرجل 4 مدخل التحرير، وعادة يوصل مع الجهد الموجب للمنبع  $V_{CC}$  عندما لا يكون هناك حاجة لتحرير خارجى.

#### ١/٥/٥- عائلة المؤقتات 555:

توجد عدة أشكال للمؤقتات 555 وهى كما يلى:

أ- المؤقت 555 القياسى طراز NE555: ويكون فى صورة دائرة متكاملة مزدوجة الصفوف DIL بثمانية أرجل، ويعمل هذا المؤقت فى مدى واسع من جهد

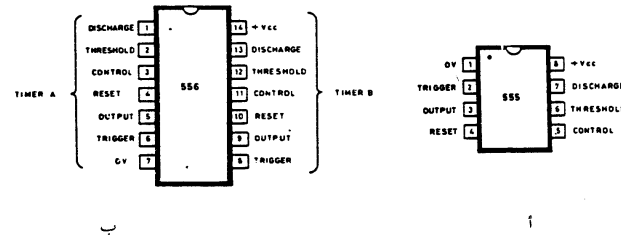
المصدر يتراوح ما بين 4.5 : 18V، وتيار دخله يساوى 3 : 10 mA وتيار خرجه يصل إلى 200mA .

ب- المؤقت 555 القليل القدرة CMOS طراز ICM 7555IP: وهو يكون فى صورة دائرة متكاملة مزدوجة الصفوف DIL بثمانية أرجل، ويعمل هذا المؤقت فى مدى واسع من جهد المصدر يتراوح ما بين 18V : 2 وتيار دخله  $120\mu A$ ، ولكن تيار خرجه صغير ولكنه قادر على تغذية دائرتين متكاملتين TTL.

ج - المؤقت 555 المزدوج طراز NE 555 A: وهذا المؤقت يحتوى على مؤقتين 555 قياسيين ويكون فى صورة دائرة متكاملة مزدوجة الصفوف DIL بأربعة عشر رجلاً. ويمكن استعمال كل مؤقت بشكل مستقل تماماً. والجدير بالذكر أن خواص هذا المؤقت لا تختلف عن خواص المؤقت 555 القياسى.

د - المؤقت 555 المزدوج والقليل الطاقة CMOS طراز ICM7556 IPA: ويحتوى هذا المؤقت على مؤقتين 555 قليلى الطاقة، ويكون فى صور دائرة متكاملة مزدوجة الصفوف DIL بأربعة عشر رجلاً. ويمكن استعمال كل مؤقت بشكل مستقل تماماً. والجدير بالذكر أن هذا المؤقت يتمتع بنفس الخواص الكهربائية للمؤقت ICM7555 IPA.

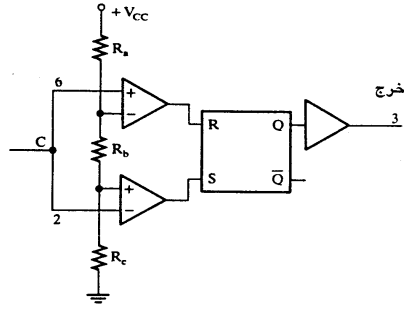
والشكل (٥ - ١٦) يعرض المسقط الأفقى لمؤقت 555 (الشكل ١) وكذلك مؤقت 556 (الشكل ب).



شكل (٥ - ١٦)

## ٥ / ٥ / ٢ - المذبذب العديم الاستقرار باستخدام المؤقت 555 :

حتى يتسنى لنا معرفة كيف يمكن للمؤقت 555 أن يعمل كمذبذب لا مستقر سنبدأ أولاً بدراسة الشكل (٥ - ١٧)، والذي يوضح فكرة عمل المؤقت 555 حيث يتم توصيل الرجل 6 مع الرجل 2.



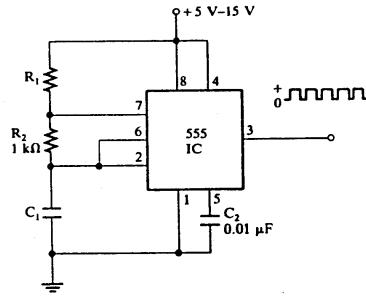
شكل (٥ - ١٧)

والجدول (٥ - ١) يوضح العلاقة بين الخرج المنطقي للمقارن السفلي والمقارن العلوي، والحالة المنطقية لمدخل الإمساك S ومدخل التحرير R والخرج Q عند قيم مختلفة للجهد عند النقطة C.

الجدول (٥ - ١)

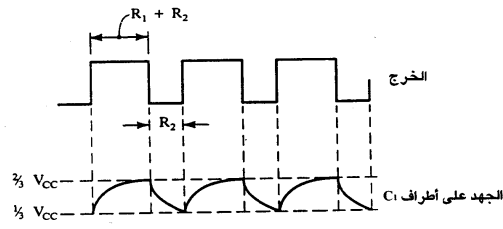
جهد النقطة C	المقارن السفلي	المقارن العلوي	S (set)	R (reset)	Q
0V	1	0	1	0	1
1/3 Vcc	0	0	0	0	1
2/3 Vcc	0	1	0	1	0
Vcc	0	1	0	1	0
2/3 Vcc	0	0	0	0	0
1/3 Vcc	1	0	1	0	1
0V	1	0	1	0	1

والجدير بالذكر أنه يمكن تغيير جهد النقطة C بتوصيل مكثف معها بالأرضي،  
كما هو مبين بالشكل (١٨ - ٥) للحصول على مذبذب لا مستقر.



شكل (١٨ - ٥)

ويكون شكل موجة الخرج  $V_0$  وأيضاً الجهد على أطراف المكثف  $C_1$  كما هو  
مبين بالشكل (١٩ - ٥).



شكل (١٩ - ٥)



ويكون زمن بقاء خرج المؤقت عالياً  $T_H$  مساوياً:

$$T_H = 0.7(R_1 + R_2) C \longrightarrow 5.15$$

ويكون زمن بقاء خرج المؤقت منخفضاً  $T_L$  مساوياً:

$$T_L = 0.7 R_2 C \longrightarrow 5.16$$

وبالتالي يكون الزمن الكلي للدورة مساوياً:

$$T = T_H + T_L$$

$$= 0.7 (R_1 + 2R_2) C \longrightarrow 5.17$$

وبالتالي فإن تردد الذبذبات الخارجة يساوي:

$$F = \frac{1}{T}$$

$$F = \frac{1.44}{(R_1 + 2R_2) C} \longrightarrow 5.18$$

ويكون معامل دورة الخدمة  $D$  مساوياً:

$$D = \frac{T_H}{T_H + T_L}$$

$$D = \frac{R_1 + R_2}{R_1 + 2R_2} \longrightarrow 5.19$$

وتتراوح قيمة المقاومات  $R$  ما بين  $40\text{ K}\Omega$  : 1.5 وقيمة المكثف  $C$  ما بين (10pf :  $10\mu\text{f}$ ).

ويمكن جعل خرج المؤقت 555 موجة مربعة أى لها معامل دورة خدمة يساوي 0.5 بتوصيل ثنائي على التوازي مع المقاومة  $R_2$ ، بحيث يكون مهبطه متصلاً بالرجل 7 مع بقاء  $R_1 = R_2$ .

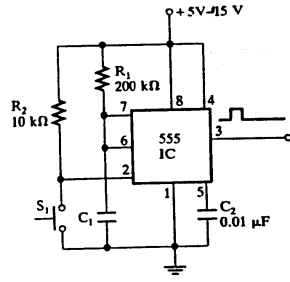
وفيما يلي العلاقات الخاصة بالمؤقت في هذه الحالة:

$$T_H = 0.7R_1C \longrightarrow 5.20$$

$$T_L = 0.7 R_2 C \rightarrow 5.21$$

$$F = \frac{1.44}{C (R_1 + R_2)} \rightarrow 5.22$$

٥ / ٣ - المؤقت 555 كمذبذب أحادي الاستقرار:



شكل (٥ - ٢٠)

يمكن استخدام المؤقت 555 كمذبذب أحادي الاستقرار، كما بالشكل (٥ - ٢٠) فعند الضغط على  $S_1$  ينخفض جهد الإشعال للرجل 2، وعند الحافة الهابطة (نزول الجهد من عالٍ لمنخفض) يصبح خرج المؤقت Q عاليًا، وبعد شحن المكثف  $C_1$  خلال المقاومة  $R_1$  يعود خرج المؤقت Q منخفضًا مرة أخرى لحين الضغط على  $S_1$  مرة ثانية وهكذا.

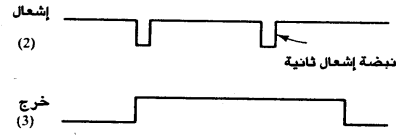
ويكون زمن النبضة مساويًا:

$$T = 1.1 C_1 R_1 \rightarrow 5.23$$

علمًا بأن قيمة المقاومة  $R_1$  تتراوح ما بين (1.5 KΩ: 3.3 MΩ) أما المكثف  $C_1$  فتتراوح سعته ما بين (470 pf: 470 μf)، ويتراوح زمن النبضة ما بين (30: 1 ms) min).

والشكل (٥ - ٢١) يبين شكل موجة الإشعال على الرجل 2 وشكل موجة الخرج المقابلة.

ويلاحظ أن المذبذب الأحادي الاستقرار المؤلف من المؤقت 555 غير مجدّد الإشعال، أي لا يمكن زيادة زمن نبضة الخرج عند وصول عدة نبضات دخل منخفضة متلاحقة للمدخل 2.



شكل (٥ - ٢١)

وبهذه الطريقة يمكن استخدام المؤقت 555 ليعمل كمؤقت زمني - أقصى زمن تأخير له 30 min - ولكن يعاب على المؤقت 555 بعدم إمكانية زيادة زمن تأخيرته عن 30min وأيضاً عدم دقته نتيجة لتيارات التسرب العالية والناجمة عن استخدام مكثفات كيميائية عالية السعة.

والجدير بالذكر أنه يمكن تحرير خرج المؤقت 555 بوصول نبضة تحرير عند الحافة الهابطة لمدخل التحرير حتى ولو لم ينته زمن النبضة.

#### ٥ / ٦ - المؤقت الزمني الدقيق ZN1034 E:

لقد استطاع المؤقت ZN1034E أن يحل مشاكل المؤقت 555 فله زمن تأخير عالٍ يتراوح ما بين (50 ms:22 Week) خمسون ملي ثانية إلى اثنين وعشرين أسبوعاً وله دقة عالية.

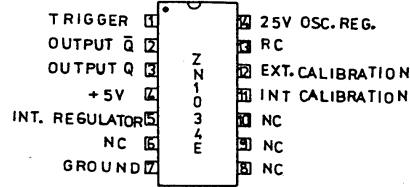
وتصل شدة التيار الخارج أو الداخل لمخارجه إلى 25 mA، ويحتاج لجهد منبع تغذية +5Vdc بتفاوت  $\pm 0.25V$ .

والشكل (٥ - ٢٢) يبين مسقطاً أفقياً للدائرة المتكاملة ZN1034E.

التعريف بأرجل الدائرة المتكاملة:

الرجل 1	إشعال
الرجل 2	المخرج المعكوس $\bar{Q}$
الرجل 3	المخرج Q
الرجل 4	الجهد الموجب للمصدر +5V

الرجل 5	منظم جهد داخلي
الرجل 6	غير مستخدم NC
الرجل 7	الأرضى
الرجل 8,9,10	غير مستخدمة NC
الرجل 11	معايرة داخلية
الرجل 12	معايرة خارجية
الرجل 13	توصل مع المقاومة والمكثف الخارجيين
الرجل 14	منظم المذبذب عند جهد 2.5 V



شكل (٥ - ٢٢)

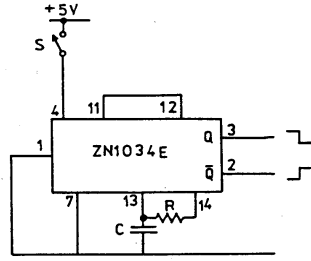
والشكل (٥ - ٢٣) يبين طريقة توصيل المؤقت ZN1034E للحصول على تأخير زمني من لحظة غلق المفتاح S1 يساوي:

$$t = 2735 CR \rightarrow 5.24$$

حيث إن:

$$R = 5 K\Omega : 5 M\Omega$$

$$C = 3.3 nf : 1000\mu f$$



شكل (٢٣ - ٥)

فعند غلق المفتاح S، ترتفع حالة المخرج Q (الرجل 3) خلال فترة تأخير المؤقت t، وتكون حالة المخرج  $\bar{Q}$  (الرجل 2) هي معكوس حالة المخرج Q (الرجل 3)، وهذا موضح في الشكل (٢٤ - ٥).

ويمكن تغذية الدائرة المتكاملة ZN1034E من مصدر جهد يتراوح ما بين (+6: 450VDC) بتوصيل مقاومة على التوالي مع الرجلين 4,5 وتحسب قيمة هذه المقاومة من العلاقة التالية.

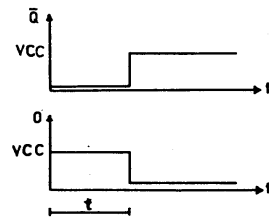
$$R = \frac{V_{CC} - 5}{I_L + 7} \text{ (K}\Omega\text{)} \rightarrow 5.25$$

حيث إن:

$V_{CC}$  جهد المصدر

$I_L$  تيار الحمل بالمللي أمبير

والشكل (٢٥ - ٥) يعرض دائرة مؤقت زمني، يؤخر عند التوصيل (أى وصول الجهد الكهربى له) زمنًا مقداره:

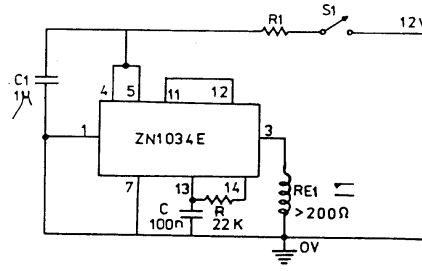


شكل (٢٤ - ٥)

$$t = 2735 CR$$

$$= 2735 \times 100 \times 10^{-9} \times 22 \times 1000 = 65$$

ويعمل هذا المؤقت عند جهد +12V. فعند وصول المفتاح S<sub>1</sub> يقوم الريلاى RE<sub>1</sub> بفتح ريشته الخارجية مدة زمنية 6S.



شكل (٥ - ٢٥)

#### ٥ / ٧ - المؤقت الزمني المبرمج XR-2240 :

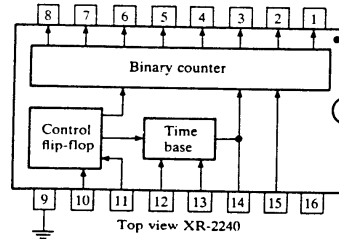
المؤقت الزمني XR-2240 له زمن تأخير يتراوح ما بين (1μS: 1month) أى ميكروثانية إلى شهر، ويعمل عند مدى واسع لجهد التغذية يتراوح ما بين (4:15 V)، ويستخدم مع دوائر TTL وأيضاً مع دوائر CMOS، له زمن تأخير مبرمج يساوى:

$$t = (1RC: 255RC)$$

حيث إن: المقاومة R والمكثف C يتم توصيلهما خارجياً مع المؤقت XR-2240، كما سيتضح فيما بعد. والشكل (٥ - ٢٦) يبين المسقط الأفقى للدائرة المتكاملة XR-2240.

# التعريف بأرجل الدائرة المتكاملة XR-2240 :

الأرجل 1-8	مخارج المؤقت وخرجها ثنائي ويكافئ عشرياً (1:255)
الرجل 9	جهد المنيع السالب GND
الرجل 10	تحرير
الرجل 11	إشعال
الرجل 12	تضمين Modulation
الرجل 13	مقاومة ومكثف
الرجل 14	أساس الزمن الخارج
الرجل 15	خرج منظم الجهد الداخلى
الرجل 16	الجهد الموجب للمنيع +Vcc



1 = 1T	9 = V -
2 = 2T	10 = Reset
3 = 4T	11 = Trigger
4 = 8T	12 = Modulation
5 = 16T	13 = Timing R, C
6 = 32T	14 = Time base output
7 = 64T	15 = Regulator output
8 = 128T	16 = V+ (15 V max.-4 V min.)

شكل (٥ - ٢٦)

ويحسب أساس زمن المؤقت XR-2240 من العلاقة

$$T_B = RC \quad (\text{sec}) \longrightarrow 5.26$$

$$R = 1 \text{ K}\Omega: 10 \text{ M}\Omega$$

$$C = (10 \text{ nF}: 1000 \text{ }\mu\text{F})$$

ويصل شدة تيار خرج المؤقت المبرمج XR-2240 إلى 15 mA .  
والشكل ( ٢٧ - ٥ ) يبين طريقة استخدام المؤقت XR-2240 كمذبذب أحادي  
الاستقرار مبرمج يمكن تغيير زمن تأخيره بواسطة المفاتيح (S1- S8).  
فعند غلق المفتاح S1, S2, S6 - مثلاً - فإن زمن تأخير المؤقت عند وصول نبضة  
عالية للمدخل 11 يساوى:

$$T = nT_B \rightarrow 5.27$$

حيث إن:

n تساوى مجموع رتب المفاتيح المغلقة،  $T_B$  هو أساس الزمن للمؤقت.

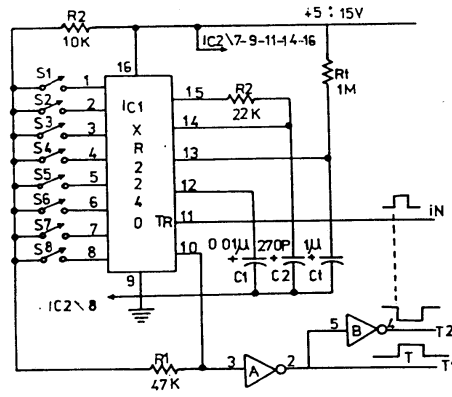
وبالتالى فإن:

$$n = 1 + 2^0 + 2^5 = 35$$

$$T_B = R_i C_i = 1S$$

$$T = 35 \times 1 = 35S$$

فتخرج نبضة منخفضة من المخرج T2 فى حين تخرج نبضة عالية من المخرج T1  
ويكون زمنها مساوياً 35 S.



شكل ( ٢٧ - ٥ )



**الباب السادس**

**مصادر القدرة المستمرة**

**Dc. Power Supplies**



## مصادر القدرة المستمرة

### Dc. Power Supplies

١ / ٦ - مقدمة :

فى هذا الباب سنتعرض لمصادر التيار المستمر، والتي تتألف من محول وعناصر توحيد .

وهذه المصادر تكون إما منتظمة Regulated أو غير منتظمة Unregulated .  
وتتميز مصادر القدرة المنتظمة بثبات الجهد الخارج مهما تغير تيار الحمل .  
والجدير بالذكر أنه توجد عدة عوامل تؤثر على الجهد الخارج من مصدر القدرة  
وهى :

- جهد الخط لمصدر التيار المتردد .

- تيار الحمل .

- درجة الترشيح .

وسوف نقيس أداء مصادر القدرة بالتغيرات التالية :

١ - معامل طرد التموجات **Ripple Rejection Factor** : وهو قدرة المرشح أو  
المنظم على تقليل الذبذبات الموجودة فى الجهد الداخلى عليه، ويعبر عنه  
بالديسيبل .

$$= 20 \log_{10} \left( \frac{V_{ri}}{V_{ro}} \right) \rightarrow 6.1$$

حيث إن :

. Vri قيمة جهد النموذج فى الدخل

. Vro قيمة جهد النموذج فى الخرج

٢ - تنظيم الخط **Line Regulation (LR)** : وهو تغير قيمة جهد الخرج المستمر والناتج عن تغير جهد الخط المتردد مع ثبات باقى المتغيرات، ويساوى:

$$LR = V_{nL} - V_{FL} \rightarrow 6.2$$

حيث إن:

$V_{nL}$  جهد الخرج عند اللا حمل

$V_{FL}$  جهد الخرج عند الحمل الكامل

٣ - تنظيم الحمل **Load Regulation (LDR)** : وهو تغير قيمة جهد الخرج والناتج عن تغير الحمل مع ثبات باقى المتغيرات، ويساوى:

$$LDR = (V_{o \max} - V_{o \min}) \rightarrow 6.3$$

حيث إن:

$V_{o \max}$  جهد الخرج الأقصى

$V_{o \min}$  جهد الخرج الأدنى

علمًا بأن  $V_{o \max}$  و  $V_{o \min}$  يقاسا عند حدود معينة لتيار الخرج  $I_o$ .

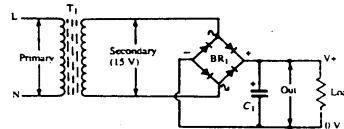
٦ / ٢ - دوائر مصادر القدرة الأساسية غير المنتظمة:

إن أكثر الأجهزة الإلكترونية تستخدم مصادر قدرة تقليدية والتي تتكون من:

١ - محول خفض يقوم بخفض جهد مصدر التيار المتردد للجهد المطلوب. كما أنه يقوم بعزل مصدر التيار المستمر عن مصدر التيار المتغير.

٢ - وحدة التوحيد والترشيح وتقوم بتحويل الجهد المتردد على الجانب الثانوى للمحول لجهد مستمر ناعم

(بدون ذبذبات).



والشكل (٦ - ١) يعرض نموذجاً للدائرة التى يكثّر استخدامها كمصدر قدرة غير

شكل (٦ - ١)

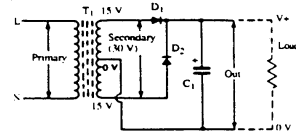
منتظم. وفيما يلي العلاقة بين جهد الخرج المستمر وجهد الملف الثانوي المتردد للمحول:

$$V_o = 1.41 V_s \rightarrow 6.4$$

حيث إن:

جهد الخرج المستمر على أطراف الحمل  $V_o$ .

جهد الملف الثانوي المتردد  $V_s$ .

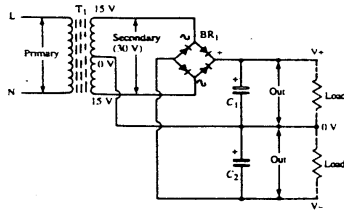


والشكل (٦ - ٢) يعرض نموذجاً آخر لدائرة مصدر قدرة مستمر وغير منتظم باستخدام محول بنقطة تفرع في المنتصف في ملفه الثانوي.

شكل (٦ - ٢)

وفيما يلي العلاقة بين جهد الخرج المستمر وجهد الملف الثانوي المتردد للمحول:

$$V_o = 0.71 V_s \rightarrow 6.5$$



والشكل (٦ - ٣) يعرض نموذجاً لدائرة مصدر قدرة مستمر غير منتظم ومزدوج، أي يعطى جهداً موجباً  $V_+$  وجهداً سالباً  $V_-$  في آن واحد.

شكل (٦ - ٣)

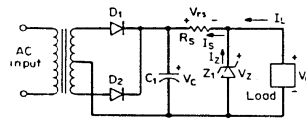
حيث إن:

$$+V_o = -V_o = 0.71 V_s \rightarrow 6.6$$

ولمزيد من التفاصيل ارجع لفقرة دوائر التوحيد (٢ / ٥ / ٢).

### ٣ / ٦ - مصادر القدرة ذات المنظمات المتوازية :

#### Shunt-Regulated power Supplies



شكل (٦ - ٤)

الشكل (٦ - ٤) يعرض مصدر قدرة بمنظم جهد متوازي عبارة عن موحد زينر يوصل بالتوازي مع الحمل، وهذه الدائرة تستخدم في التطبيقات التي تحتاج لتيار منخفض لا يتعدى 100 mA والمعادلات التالية مفيدة عند اختيار عناصر هذه الدائرة.

$$V_o = V_z = V_c - I_s R_s \longrightarrow 6.7$$

$$I_s = I_z + I_L \longrightarrow 6.8$$

حيث إن :

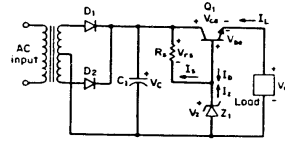
$V_o$	جهد الخرج المستمر
$V_z$	جهد موحد الزينر
$V_c$	الجهد على أطراف المكثف $C_1$
$I_z$	تيار موحد الزينر
$I_L$	تيار الحمل
$I_s$	التيار المار في المقاومة $R_s$

ويقوم موحد الزينر  $Z_1$  بالمحافظة على جهد أطراف الحمل ثابت ولزيد من التفاصيل ارجع للفقرة (٣ / ٥ / ٢).

### ٤ / ٦ - مصادر القدرة ذات المنظمات المتوالية :

#### Series-Regulated Power supplies

الشكل (٦ - ٥) يعرض نموذجاً لمصدر قدرة بمنظم توالي، حيث يستخدم



شكل (٦ - ٥)

الترانزستور  $Q_1$  لا متصا ص الفرق في  
الجهد بين جهد الدخل و جهد الخرج  
ولزيادة تيار الحمل . والمعادلات التالية  
مفيدة عن اختيار العناصر المختلفة لهذه  
الدائرة .

$$V_o = V_c - V_{ce} \rightarrow 6.9$$

$$V_o = V_z - V_{be} \rightarrow 6.10$$

$$I_z = I_s - I_b \rightarrow 6.11$$

$$I_z = \frac{V_c - V_z}{R_s} - \frac{I_L}{H_{FE}} \rightarrow 6.12$$

حيث إن :

$V_o$	جهد الحمل المستمر
$V_c$	الجهد على أطراف المكثف
$V_z$	جهد ثنائي الزينر
$V_{ce}$	فرق الجهد بين مجمع وباعث الترانزستور $Q_1$
$V_{be}$	فرق الجهد بين قاعدة وباعث الترانزستور $Q_1$
$I_z$	تيار الزينر
$I_s$	التيار المار في المقاومة $R_s$
$I_b$	تيار قاعدة الترانزستور $Q_1$
$H_{FE}$	معامل كسب التيار للترانزستور $Q_1$

نظرية عمل الدائرة :

من المعروف أنه عند تحول الترانزستور لحالة التشبع فإن فرق الجهد بين قاعدة  
وباعث الترانزستور  $V_{be}$  يكون ثابتاً ويساوى تقريباً  $0.7\text{ V}$  . وحيث إن جهد ثنائي  
الزينر  $V_z$  ثابتاً لذلك فإن جهد الحمل  $V_o$  سيكون بالطبع ثابتاً ( المعادلة 6.10 ) .  
وعند تغير جهد الخط المتردد سيتغير الجهد على أطراف المكثف  $V_c$  مما يؤدي

لتغير فرق الجهد بين مجمع وباعث الترانزستور  $V_{ce}$  للمحافظة على بقاء  $V_o$  ثابتاً (المعادلة 6.9).

### ٦ / ٥ - منظمات الجهد المتكاملة ذات الأطراف الثلاثة :

#### 3 Terminal Regulators

تنقسم منظمات الجهد المتكاملة ذات الأطراف الثلاثة إلى :

١ - منظمات لها خرج ثابت Fixed Voltage Regulators

٢ - منظمات لها خرج قابل المعايرة Variable Voltage Regulators

وتتميز منظمات الجهد المتكاملة باحتوائها على نظام داخلي يعمل على قطع جهد الخرج عند تعدى تيار الحمل للقيمة العظمى المسموح بها وأيضاً عند ارتفاع درجة حرارتها.

#### ٦ / ٥ / ١ - المنظمات ذات الخرج الثابت :

تنقسم هذه المنظمات إلى عائلتين، وهما :

أ - منظمات الجهد الموجبة طراز ... 78.

ب - منظمات الجهد السالبة طراز ... 79.

علماً بأن هذه المنظمات تتواجد بقيم مختلفة لتيار وجهد الخرج، ويمكن معرفة الجهد المقنن. والتيار الأقصى لمنظم الجهد الثلاثي الأرجل ذات الخرج الثابت من الامتداد... فالتيار الأقصى يشار إليه بالجزء الأول من الامتداد، حيث إن :

$$L = 100 \text{ mA} , S = 2A , I_A = 1A \text{ بدون}$$

بينما الجهد المقنن يشار إليه بالجزأين التاليين من الامتداد، وأهم الجهود المقننة القياسية هي 5, 6, 9, 12, 15, 24 V ..

على سبيل المثال 7805 هو منظم ثلاثي ثابت الخرج يعطى جهد خرج +5V وتيار أقصى 1A في حين أن الدائرة المتكاملة 79L15 هي منظم جهد ثلاثي ثابت الخرج يعطى جهداً مقنناً -15V وتيار أقصى 100 mA وهكذا.



وعادة فإن جهد دخل المنظم نحصل عليه من المعادلة:

$$V_o + 3 \leq V_i \leq V_o + 6$$

حيث إن:

$V_o$  جهد الخرج للمنظم

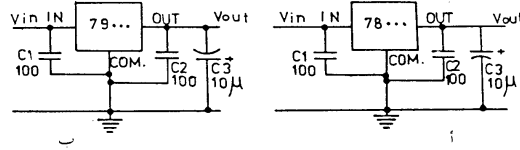
$V_i$  جهد الدخل للمنظم

والجدول (٦ - ١) يعرض خواص منظمات الجهد الثابتة:

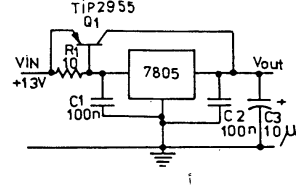
الجدول (٦ - ١)

الطراز	حدود الدخل	تنظيم الخط	تنظيم الحمل	معامل طرد الذبذبات
Mc 7805 CT	7.2 : 35 V	7 mv $7 V \leq V_i \leq 25 V$	40 mv $5 mA \leq I_o \leq 1.5 A$	68dB $8 \leq V_i \leq 18 V$
Mc 7815 CT	14.5V : 35 V	13 mv $14.5 V \leq V_i \leq 30 V$	46 mV $5 mA \leq I_o \leq 1.5 A$	
Mc 78.15 CT	17.6 V: 35V	13 mV $27V \geq V_i \geq 38 V$	52 mV $5 mA \leq I_o \leq 1.5 A$	56 dB $18.5 V \leq V_i \leq 28.5V$
Mc 7905 CT	- 7.2 V : - 35 V	35 mV $-7V \geq V_i \geq -25V$	11 mV $5 mA \leq I_o \leq 1.5 A$	70 dB $I_o = 20 mA$
Mc 7912 CT	- 14.5 V : - 35 V	55 mV $-14.5V \geq V_i \geq -30V$	46 mV $5 mA \leq I_o \leq 1.5 A$	61 dB $I_o = 20 mA$
Mc 7915 CT	- 17.6 : - 35 V	57 mV $-17.5 \geq V_i \geq -30V$	68 mV $5 mA \leq I_o \leq 1.5 A$	60 dB $I_o = 20 mA$

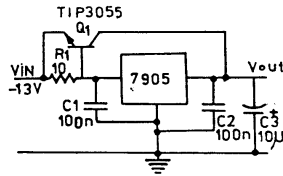
والشكل (٦ - ٦) يعرض دائرتين أساسيتين للمنظمات الثلاثية الأرجل الثابتة الجهد، الأولى (أ) صممت للحصول على جهد خرج موجب؛ والثانية (ب) صممت للحصول على جهد خرج سالب.



شكل (٦ - ٦)



والشكل (٦ - ٧) يعرض دائرتين مختلفتين لزيادة تيار المنظمات الثابتة الجهد الثلاثية الأرجل. فالشكل (أ) يعرض دائرة منظم يعطى تيار خرج 5 A وجهد خرج سالب.



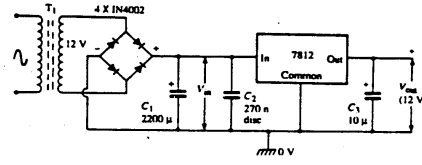
وعادة يتم توصيل مكثفات على التوازي مع مداخل ومخارج المنظمات الثلاثية الأرجل لتجنب عدم الاتزان عند الترددات العالية.

علماً بأن جهد الدخل غير المنظم يجب أن يكون في الحدود الموصى بها من قبل الشركة والمبينة في الجدول (٦ - ١).

شكل (٦ - ٧)

كما أنه يجب تثبيت هذه المنظمات على مشتتات حرارة Heat Sinks بأحجام تعتمد على توصيات الشركات المصنعة.

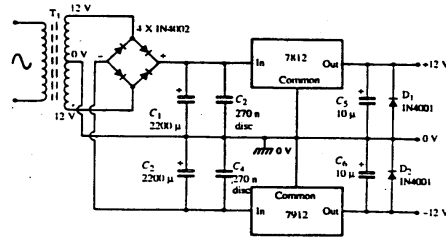
والشكل (٦ - ٨) يبين دائرة لمصدر تيار مستمر بخرج منظم وموجب حيث يستخدم منظم ثلاثي الأرجل بخرج ثابت طراز 7812 لذلك فإن قيمة الجهد المنظم لهذه الدائرة يساوى + 12V والحد الأقصى لتيار الحمل 1A .



شكل (٦ - ٨)

أما الشكل (٦ - ٩) فيبين دائرة مصدر تيار مستمر بخرج منظم ومزدوج حيث يستخدم المنظم 7812 والمنظم 7912 وتعطى هذه الدائرة (+12V, 0V, -12V) وتياراً أقصى 1A .

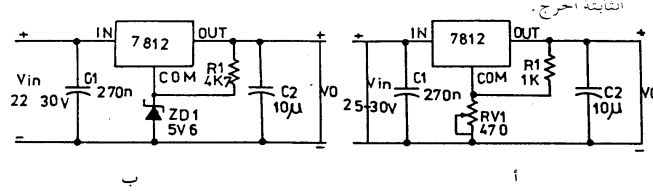
ويعمل الثنائي D1 على حماية المنظم 7812 من التلف عند حدوث قصر على مخرجه، حيث يوقف تفريغ المكثف C5 في المنظم وبالمثل يعمل الثنائي D2 على حماية المنظم 7912 عند حدوث قصر عند مخرجه، حيث يعمل على إيقاف تفريغ المكثف C6 في المنظم .



شكل (٦ - ٩)

والجددير بالذكر أن قيمة جهد خرج المنظمات الثابتة يعتمد على جهد الرجل المشتركة Common والتي عادة تكون مؤرضة. ولكن إذا ارتفع جهد الرجل المشتركة عن الصفر فإن جهد خرج المنظم سوف يزداد، ويمكن تحقيق ذلك باستخدام مقاومة توصل بين الرجل المشتركة والأرضى وحيث إنه يمر عادة تيار صغير بالملى أمبير من المنظمات الثابتة إلى الأرضى خلال الرجل المشتركة لذلك فإن جهد الرجل المشتركة سوف يرتفع معتمداً على قيمة المقاومة، وتباعاً يرتفع جهد خرج المنظم.

والشكل (٦ - ١٠) يوضح طرق زيادة جهد الخرج للمنظمات الثلاثية الأرجل



شكل (٦ - ١٠)

ففى (الشكل أ) فإن جهد خرج المنظم يعتمد على قيمة المقاومة المتغيرة  $RV_1$  ويساوى 12V عندما تكون قيمة المقاومة  $RV_1$  مساوية للصفر، فى حين يساوى 20V عندما تكون قيمة المقاومة  $RV_1$  مساوية  $470\Omega$ .

أما (الشكل ب) فإن جهد خرج المنظم يساوى 17.6 V بدلاً من 12 V، وذلك لأن جهد الخرج يساوى جهد الخرج المعتاد للدائرة المتكاملة 7812 مضافاً إليه جهد الانحياز العكسى الثنائى الزينر ZD1، أى أن:

$$V_o = 12 + 5.6 = 17.6 \text{ V}$$

٦ / ٥ - ٢ - المنظمات ذات الخرج القابل للمعايرة:

الجدول (٦ - ٢) يبين المواصفات الفنية لأهم الدوائر المتكاملة للمنظمات ذات الخرج القابل للمعايرة.

الجدول (٦ - ٢)

LM	LM 317 MP	LM 317 K	LM 317 T	LM 338 K	الطراز المواصفات الفنية
+ 100 mA	+ 500 mA	+ 1.5 A	+ 1.5 A	+ 5 A	أقصى تيار خرج
(1.2: 37V)	(1.2: 37 V)	(1.2: 37 V)	(1.2: 37 V)	(1.2: 32 V)	جهد الخرج
(4: 40 V)	(4: 40V)	(4: 40V)	(4: 40V)	(4: 35 V)	حدود جهد الدخل

ولهذه المنظمات ثلاث أرجل، وهي رجل الدخل Input ورجل الخرج Output ورجل الضبط Adjust.

وتتميز منظمات الجهد الثلاثية الأرجل ذات الخرج القابل للمعايرة بأن فرق الجهد بين رجل الخرج ورجل الضبط يساوى 1.25 V.

والشكل (٦ - ١١) يوضح طريقة توصيل منظمات الجهد ذات الخرج القابل للمعايرة 338 K, 317 K. ويمكن تعيين جهد الخرج من المعادلة التالية:

$$V_{out} = 1.25 \left( 1 + \frac{R_2}{R_1} \right) \longrightarrow 6.13$$

أي أن:

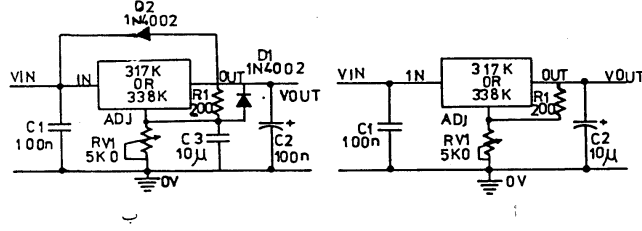
$$V_{out} = 1.25 \left( 1 + \frac{0.5000}{200} \right) = (1.25: 32.5 V)$$

ويمكن الحصول على قيم أخرى لجهد الخرج بتغيير قيم المقاومات  $R_1$ ,  $R_2$  بحيث لا تزيد  $R_1$  عن  $(355 \Omega)$ .

والشكل (٦ - ١١ ب) يوضح طريقة توصيل منظمات الجهد ذات الخرج القابل للمعايرة 318K, 317K مع حماية كاملة للمنظم من القصر عند المدخل والقصر عند المخرج. فعندما يحدث قصر عند المدخل فإن المكثف C2 سوف يفرغ شحنته في

مخرج المنظم، وهذا قد يسبب انهيار المنظم؛ لذلك يوضع الثنائي D2 لعمل مسار بديل لمرور شحنة المكثف C2 خلاله، ويجب أن يكون D2 قادراً على تحمل تيار يصل إلى 15 A وهو تيار القصر.

وبالمثل فإن الثنائي D1 يمرر شحنة المكثف C3 عند حدوث قصر في دخل أو خرج المنظم، وبالتالي يمنع تفريغ المكثف C3 في المنظم.



شكل (٦ - ١١)

#### ٦ / ٦ - المنظمات المتكاملة ذات الجهد والتيار القابل للمعايرة:

من أشهر هذه المنظمات الدائرة المتكاملة L200 C، حيث تعطى خرجاً قابلاً للمعايرة يتراوح ما بين (2.8 V: 36 V) وتياراً قابلاً للمعايرة بحد أقصى 2 A. وهذه الدائرة المتكاملة مزودة بحماية ضد تجاوز جهد الدخل عن 60V ودائرة وقاية ضد القصر.

والشكل (٦ - ١٢) يبين طريقة استخدام الدائرة المتكاملة L200 C لتنظيم الجهد والتيار والمعادلات التالية خاصة بهذه الدائرة:

$$V_{out} = 2.77 \left( 1 + \frac{RV_1}{R_1} \right) (V) \rightarrow 6.14$$

$$(I_{out}) = \frac{0.45}{R_2} (A) \rightarrow 6.15$$

حيث إن:

Vout جهد الخرج للمنظم

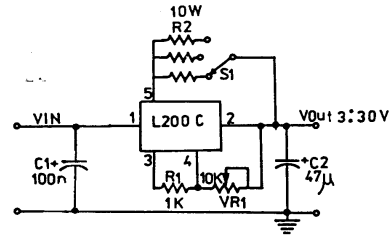
(Iout) max تيار الخرج الأقصى للمنظم

والجدول (٣ - ٦) يبين قيمة  $(I_{out})_{max}$  عند قيم مختلفة للمقاومة  $R_2$ .

الجدول (٣ - ٦)

$R_2 (\Omega)$	0.47	47	470
$(I_{out})_{max}$	1 A	100 mA	10 mA

والجدير بالذكر أنه يمكن تعديل جهد الخرج بواسطة المقاومة المتغيرة  $VR_1$  وتعديل قيمة تيار الخرج الأقصى المسموح به بواسطة المفتاح  $S_1$  حيث يمكن اختيار المقاومة المناسبة  $R_2$  تبعاً للجدول (٣ - ٦).



شكل (٦ - ١٢)





الباب السابع  
التضمين بالنبضات  
**Pulse Modulation**



## التضمين بالنبضات

### Pulse Modulation

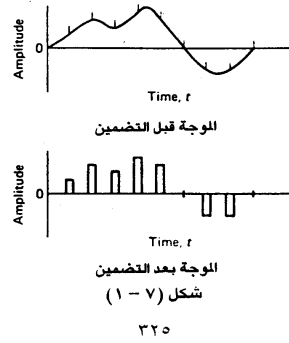
#### ١ / ٧ - مقدمة :

تعرف عملية التضمين بالنبضات بتقطيع الموجات التناظرية إلى نبضات بحيث تحمل هذه النبضات نفس خواص الموجة الأصلية. والجدير بالذكر أن التضمين بالنبضات يعتبر من المواضيع المهمة في التحكم فيسخانات الكهربائية، وكذلك التحكم في سرعة محركات التيار المستمر والمحركات الاستنتاجية. وسوف نتناول أهم طرق التضمين بالنبضات في هذا الباب.

#### ٢ / ٧ - التضمين بنبضات متغيرة في السعة (PAM) :

حيث يتم تقسيم زمن الدورة الكاملة للموجة الأصلية إلى فترات متساوية Samples، ويوضع في كل فترة نبضة، بحيث يكون زمن هذه النبضات ثابتاً، ولكن تختلف هذه النبضات في القيمة بما يتناسب مع قيمة الموجة الأصلية في هذه الفترة.

والشكل (١ - ٧) يوضح شكل الموجة التناظرية قبل وبعد التضمين بنبضات متغيرة السعة (PAM).

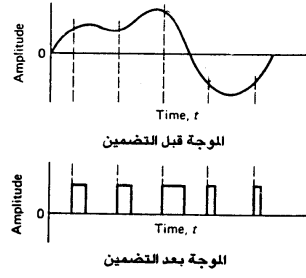


### ٧ / ٣ - التضمين بنبضات متغيرة العرض (PWM):

حيث يتم تقسيم زمن الدورة الكاملة للموجة الأصلية إلى فترات متساوية Samples، ويوضع في كل فترة نبضة، بحيث تكون سعة هذه النبضات ثابتة، ولكن عرض (زمن) هذه النبضات يختلف من نبضة لأخرى، ويتناسب هذا الزمن تناسباً طردياً مع سعة الموجة التناظرية المقابلة في نفس الفترة.

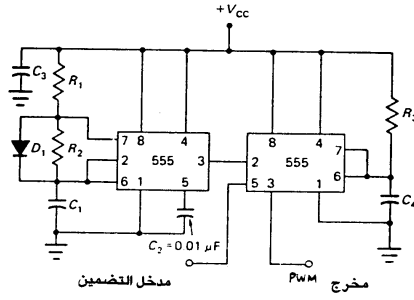
علماً بأن الفترة الزمنية بين بداية كل نبضة والتي تليها ثابتة وتساوي زمن الفترة Sample. والشكل (٧ - ٢) يوضح طريقة تضمين موجة تناظرية بنبضات متغيرة العرض (PWM).

وعادة فإن عرض هذه النبضات يتراوح ما بين (20% : 80%) من عرض الفترة.



شكل (٧ - ٢)

والدائرة الموضحة بالشكل (٧ - ٣) تستخدم لتضمين الموجات التناظرية بنبضات متغيرة العرض PWM.

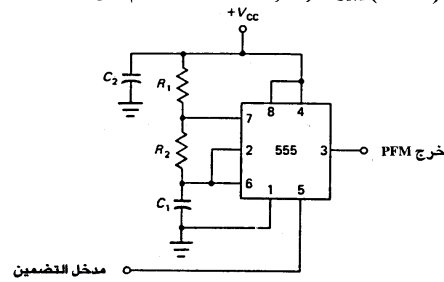


شكل (٧ - ٣)

والجدير بالذكر أن تضمين الموجات التناظرية بنبضات متغيرة العرض من أهم طرق التضمين المستخدمة في التحكم في السخانات الكهربائية ومحركات التيار المستمر والتيار المتردد.

#### ٧ / ٤ - التضمين بنبضات متغيرة التردد (PFM):

حيث يتم تقسيم زمن الدورة الكاملة للموجة الأصلية إلى فترات متساوية Samples، وتتم كل فترة بعدد من النبضات المتساوية في السعة والعرض (الزمن) ولكن بعدد يتناسب طردياً مع سعة الموجة الأصلية في هذه الفترة. والشكل (٧ - ٤) يبين دائرة لتوليد PFM باستخدام دائرة متكاملة 555.



شكل (٧ - ٤)

أما الشكل (٧ - ٥) فيعقد مقارنة بين طرق التضمين المختلفة.

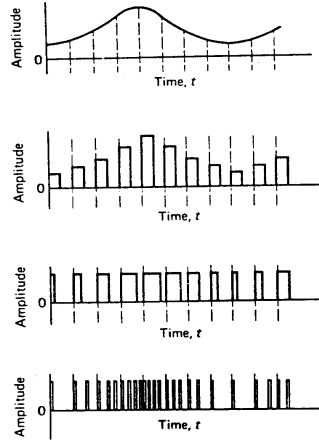
كما يلي:

أ - يعرض موجة تناظرية.

ب - يعرض طريقة التضمين بنبضات متغيرة السعة (PAM).

ج - يعرض طريقة التضمين بنبضات متغيرة العرض (PWM).

د - يعرض طريقة التضمين بنبضات متغيرة التردد (PFM).



شكل (٧ - ٥)

**الباب الثامن**  
**تنفيذ الدوائر الإلكترونية**



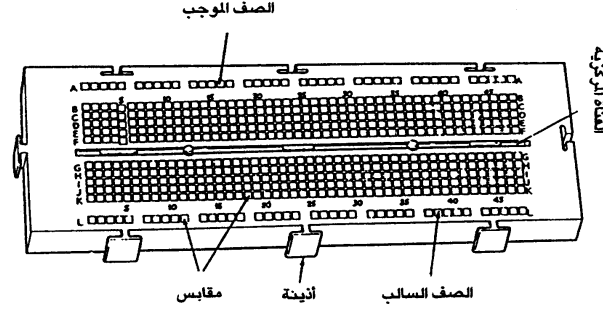


## تنفيذ الدوائر الإلكترونية

### ٨ / ١ - لوحة التجارب Bread Board :

لوحة التجارب هي لوحة تستخدم في تنفيذ الدوائر الإلكترونية بدون لحام، ويمكن بسهولة تبديل عنصر مكان عنصر آخر لمعرفة التأثير الناتج عن هذا التغيير في أداء الدائرة.

والشكل (٨ - ١) يبين أحد نماذج لوحات التجارب.



شكل (٨ - ١)

فيحتوي هذا النموذج على 12 صفًا، والصف العلوي والسفلي يتكون كل منها من 40 قابسًا متصلة فيما بينها لكل صف. ويخصص الصف العلوي عادة للجهد الموجب للدائرة الإلكترونية، في حين يخصص الصف السفلي للجهد السالب، أما باقي الصفوف العشرة فيحتوي كل منها على 50 قابسًا، وتتصل مقاييس كل عمود أعلى القناة المركزية، وكذلك تتصل مقاييس كل عمود أسفل القناة المركزية. فمثلاً تتصل المقاييس B10, C10, D10, E10, F10 معاً، وأيضاً تتصل المقاييس G12, H12

I12, F10, J12, K12 معاً وهكذا. حيث إن F10 تعنى القابس الموجود فى الصف F والعمود رقم 10. ويزود هذا النموذج بمجموعة من الأذينات والشقوق ، فيوجد ثلاث أذينات على امتدادها السفلى وثلاثة شقوق على امتدادها العلوى، وكذلك يوجد أذينة واحدة فى الجهة اليسرى وشق واحد فى الجهة اليمنى. ويستفاد من الأذينات والشقوق فى تجميع أكثر من لوحة تجارب معاً لعمل لوحة تجارب كبيرة للدوائر الإلكترونية الكبيرة.

فيمكن تجميع مجموعة من لوحات التجارب إما بالعرض أو بالطول، حيث تدخل أذينات لوحة التجارب فى شقوق اللوحة الأخرى وهكذا. والجدير بالذكر أن لوحات التجارب لا يمكن الاعتماد عليها بشكل نهائى، فهى تستخدم للتجارب فقط كما هو واضح من اسمها، حيث تستخدم فى اختبار أى دائرة قبل الشروع فى عمل اللوحة المطبوعة لهذه الدائرة الإلكترونية.

#### ٨ / ٢ - لوحات الدوائر المطبوعة Printed Circuit Boards :

تصنع هذه اللوحات من الفايبر أو البكاليت أو الألياف الزجاجية. وهذه المواد عازلة للتيار الكهربى، ويغطى أحد وجهيها أو كلاهما بطبقة رقيقة من النحاس، ويمكن تقسيم لوحات الدوائر المطبوعة إلى:

١ - لوحات بوجه واحد من النحاس.

٢ - لوحات بوجهين من النحاس.

٣ - لوحات بوجه نحاس فوتوغرافى.

٤ - لوحات بوجهى نحاس فوتوغرافيين.

أما النوعان الأول والثانى فيستخدمان لمن يرغب فى إنتاج عدد محدود من الكارتات الإلكترونية Electronic Cards، فى حين يستخدم الثالث والرابع من قبل شركات ومصانع الأجهزة الإلكترونية عند إنتاج أعداد كبيرة من الكارتات الإلكترونية بدقة وسرعة عالية.

## ٨ / ٣ - خطوات تنفيذ دائرة إلكترونية على لوحة بوجه واحد من

النحاس:

هناك عدة مراحل متبعة لتنفيذ الدائرة الإلكترونية على لوحة دائرة مطبوعة بوجه من النحاس العادى سنتناولها فى الفقرات التالية:

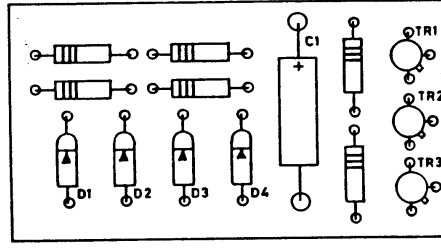
### ٨ / ٣ / ١ - التخطيط على الورقة من جهة تثبيت العناصر:

يستخدم فى ذلك ورقة شفاف تثبت فوق ورقة مربعات صغيرة محدد عليها الأبعاد الحقيقية للوحة المستخدمة، ثم ترسم العناصر الإلكترونية المستخدمة داخل هذا الإطار بشكل يطابق جسم هذه العناصر، ويجب توزيع العناصر توزيعاً مناسباً بالأسلوب الذى يتيح الاستغلال الأمثل لكل مساحة اللوحة، حيث توضع هذه العناصر عادة موازية لأحد أبعاد اللوحة.

وترسم المسارات اللازمة بين العناصر لتنفيذ الدائرة الإلكترونية بشكل هندسى منتظم، مع تفادى وجود أى تقاطعات، وذلك بإمرار مسارات تحت العناصر الإلكترونية.

فمثلاً: يمكن إمرار المسارات بين صفى أرجل الدوائر المتكاملة نوع DIL. فقد يصل عدد المسارات المارة داخل صفى الأرجل إلى ثلاثة مسارات. وكذلك يمكن إمرار مسار بين رجلين من أرجل الدائرة المتكاملة نوع DIL. وبالمثل يمكن إمرار مسارات تحت المقاومات والمكثفات.. إلخ

والشكل (٨ - ٢) يبين طريقة التنظيم الجيد للعناصر الإلكترونية لأحد اللوحات الإلكترونية.



شكل (٨ - ٢)

وعادة توضع الرجل رقم 1 للدوائر المتكاملة في مخطط التوصيل جهة توزيع العناصر لأعلى جهة اليسار.

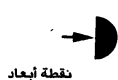
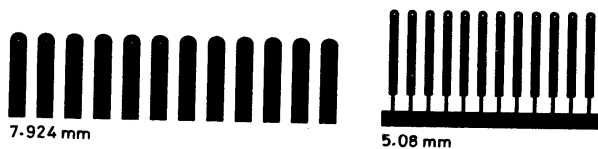
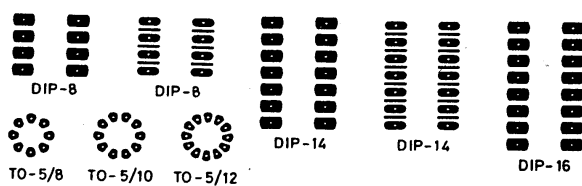
وللحصول على مخطط توصيل العناصر جهة طبقة النحاس (جهة اللحام) نقلب الورقة الشفاف فنحصل على مخطط التوصيل جهة طبقة النحاس، والذي هو مقلوب مخطط التوصيل جهة تثبيت العناصر.

#### ٢ / ٣ / ٨ - نقل مخطط التوصيل جهة لوحة النحاس للوحة:

ويستخدم في ذلك الرموز والمسارات اللاصقة المختلفة. فالشكل (أ) يبين مقاسات مختلفة لنقاط تثبيت المقاومات والمكثفات والتوصيل العام. والشكل (ب) يبين أشكال مختلفة لقواعد الدوائر المتكاملة بصفين على الجانبين بأعداد أرجل مختلفة ومنها معد لإمرار مسار بين رجلين متجاورين.

والشكل (ج) يبين نقاط توصيل لوصلة كابل مرن. والشكل (د) يبين مقاسات مختلفة لمسارات التوصيل. والشكل (هـ) يبين نموذجين مختلفين لقاعدة الترانزستور ونقطة أبعاد ونقطة تثبيت.

3.8mm 4.8mm 6.35mm 7.9mm 12.7mm



شكل (٨ - ٣)

٣٣٥

وتلصق في البداية نقاط المقاومات والمكثفات والترانزستورات... إلخ ثم تلصق قواعد الدوائر المتكاملة، بحيث تكون الرجل 1 جهة اليسار ثم بعد ذلك يتم توصيل هذه النقاط معاً لكي يطابق مخطط التوصيل جهة الطبقة النحاس المرسومة بالقلم الرصاص على الورقة الشفاف، وذلك باستخدام المسارات اللاصقة بمقاس 0.8 mm أو 0.6 mm.

ويجب أن تكون المسارات اللاصقة جيدة على الوجه النحاس لتلافي التقاطعات في التوصيل على اللوحة والذي يحدث بعد التحميص، كما يجب تجنب ملامسة أصابع اليد المجردة الوجه النحاسي؛ لأن هذا يحدث مشاكل عند التحميص، فيفضل ارتداء قفاز أطباء خفيف للوصول للحالة المثلى.

والجدول ( ٨ - ١ ) يبين العلاقة بين شدة التيار المار وعرض المسار.

الجدول ( ٨ - ١ )

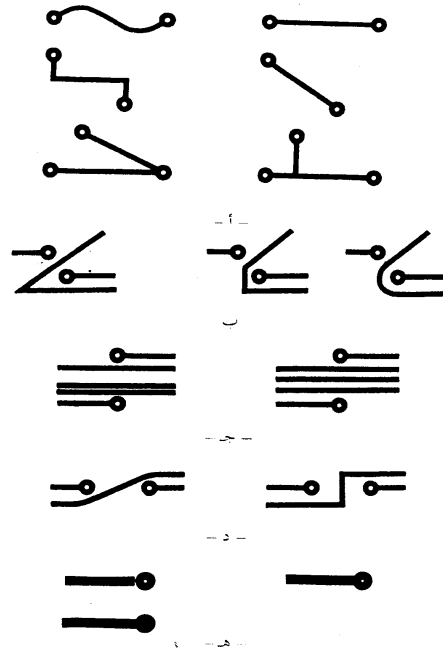
التيار mA	< 500 mA	500 : 1500	1500 : 3000
العرض mm	0.6	1.6	3

والشكل ( ٨ - ٤ ) يبين نماذج مختلفة للمسارات الجيدة والسيئة.

فالشكل ( أ ) : يبين أن المسارات يجب أن تكون أقصر ما يمكن.

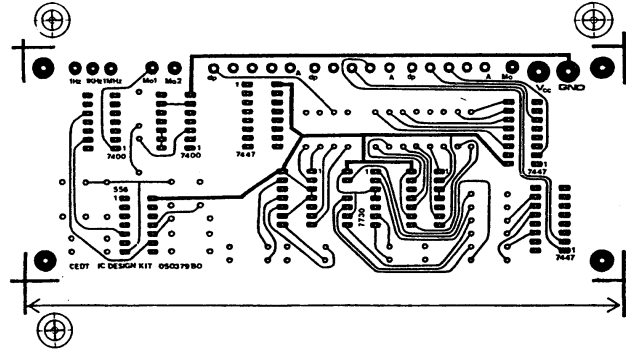
والشكل ( ب ) : يوضح أنه يجب تجنب الزوايا الحادة باستخدام الرموز اللاصقة أما عند استخدام شرائط المسارات الملفوفة فلا يمكن تجنب ذلك.

والشكل ( ج ) : يوضح أنه يجب عدم ترك مسافة كالشعرة بين المسار ونقطة التثبيت، وعدم عمل انسداد لثقب نقطة التثبيت.



شكل (٨ - ٤)

والشكل (٨ - ٥) يبين أحد الدوائر المطبوعة بعد لصق المسارات اللاصقة عليها.



شكل (٨ - ٥)

٣ / ٣ / ٨ - التخميض والتثقيب :

بعد الانتهاء من التوصيل ومقارنته مع مخطط الدائرة المرسوم على الورق الشفاف جهة الوجه النحاس والتأكد من صحتها نقوم بتحضير الحامض المستخدم، حيث يضاف 350 جرام من مسحوق كلوريد الحديد 1 تدريجياً على نصف لتر ماء من الصنبور، ويفضل ارتداء قفازات مطاطية أثناء تحضير الحامض مع التقلب المستمر



بواسطة ساق من البلاستيك، وبعد الانتهاء من تحضير المحلول يمكن حفظه في إناء غير معدني (بلاستيك) مع تغطيته جيداً.

وكلماً أردت تشكيل لوحة مطبوعة توضع اللوحة داخل كيس بلاستيك، ويضاف عليها قليل من هذا المحلول، ثم يغلق هذا الكيس جيداً ويوضع في ماء ساخن لفترة تتراوح ما بين 10 دقائق إلى ربع ساعة.

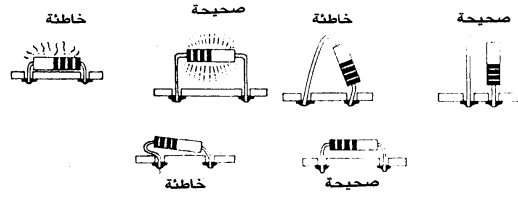
حيث يزال النحاس غير المغطى بالرموز والمسارات اللاصقة، وبعد ذلك يتم التقاط اللوحة بواسطة ملقاط خشبي أو بلاستيكي من داخل الكيس، ثم تغسل اللوحة بعد ذلك بالماء الجاري لإزالة أثر الحامض منها مع مراعاة عدم ملامسة هذا المحلول لأي مكان في جسمك أو ملابسك، وبعد ذلك تزال الرموز والمسارات اللاصقة من على اللوحة. وبعد الانتهاء من عملية التحميض تبدأ عملية التثقيب، حيث تثقب جميع نقاط تثبيت العناصر بواسطة مثقاب ذي منضدة خاص بلوحات الدوائر المطبوعة، ويكون له طرف قطره الأقصى 2.4 mm، ويستخدم في ذلك بنط (ريش) 0.6 mm أو 1mm بحيث يكون الثقب كافياً لإمرار أرجل العناصر المختلفة، ويكون التثقيب من ناحية النحاس.

#### ٨ / ٣ - تثبيت العناصر الإلكترونية:

يفضل تثبيت العناصر الأنبوبية الشكل (المقاومات - الثنائيات) أفقياً، في حين ينصح بالتثبيت الرأسى عندما تكون مساحة اللوحة المطبوعة غير كافية، ويجب المحافظة على مسافة معقولة بين العنصر واللوحة المطبوعة للتهوية والتبريد خصوصاً بالنسبة للمقاومات والثنائيات، وتزداد هذه المسافة بزيادة الجهد والقدرة في حين يجب استخدام مشتتات حرارة Heat sinks لترانزستورات القوى وثنائيات القوى التي تعمل عند تيارات عالية.

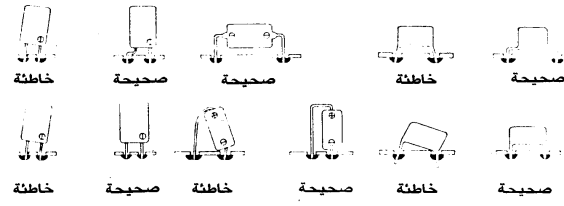
وعادة ينصح بتثبيت العناصر الأقل حساسية لدرجات الحرارة أولاً مثل المقاومات، في حين تثبت العناصر الأكثر حساسية في الآخر.

والشكل (٨ - ٦) يبين طريقة التثبيت الصحيحة والحاططة للمقاومات.



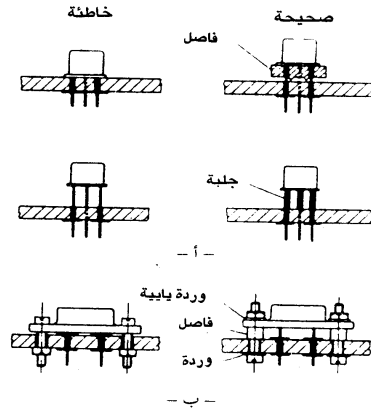
شكل (٦ - ٨)

أما الشكل (٧ - ٨) فيبين طرق التثبيت الصحيحة والخاطئة للمكثفات القرصية (الشكل ١) والمكثفات الكيميائية النصف قطرية والمحورية (الشكل ب) .



شكل (٧ - ٨)

في حين أن الشكل (٨ - ٨) يعرض طرق تثبيت الترانزستورات الصغيرة (الشكل ١) وطرق تثبيت ترانزستورات القدرة (الشكل ب) الصحيحة والخاطئة.



شكل (٨ - ٨)

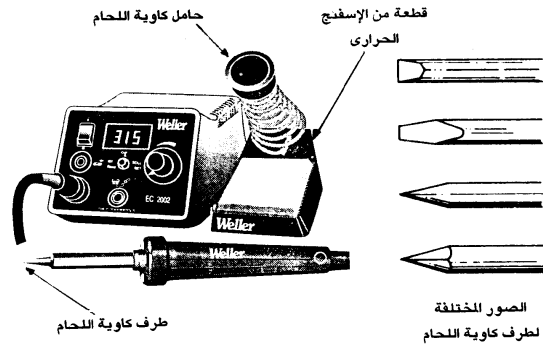
#### ٨ / ٣ / ٥ - لحام المكونات الإلكترونية:

يستخدم القصدير في لحام العناصر الإلكترونية التي يتم تثبيتها على لوحات الدوائر المطبوعة فتوضع العناصر الإلكترونية من جهة الوجه العازل، في حين يتم اللحام من جهة الوجه النحاسي. وعادة يكون القصدير على شكل سلك ملفوف على بكرة صغيرة، وهناك نوعان من قصدير لحام الدوائر الإلكترونية، فالأول يحتوى على مادة الفلوكس (مادة تقوم بتطهير مكان اللحام من الشحوم والشوائب الأخرى)، والثاني يكون بدون فلوكس ويحتاج لفلوكس في عملية اللحام.

ويكون الفلوكس إما على شكل الصمغ الخام في اللون والمظهر، وإما أن يكون على شكل معجون يوضع داخل علبة صغيرة كعلبة الكريم. ولإجراء عملية اللحام نحتاج لكابوية لحام وزرادية ببوز رفيع وقصافة أسلاك، أما كابويات اللحام فهي تتواجد في صورتين إما كابوية عادية، أو تكون في صورة محطة لحام.

والشكل ( ٨ - ٩ ) يعرض محطة لحام يمكن التحكم فى درجة حرارتها  
Antistatic Soldering Station وهى مزودة بالإمكانات التالية :

- ١ - حامل لكاوية اللحام Iron Holder
- ٢ - قطعة من الإسفنج الحرارى لتنظيف كاوية اللحام Tip cleaning sponge
- ٣ - وحدة عرض رقمية لعرض درجة الحرارة اللحظية على طرف كاوية اللحام .
- ٤ - وحدة ضبط درجة حرارة طرف كاوية اللحام Soldering tip
- ٥ - مؤرضة لمنع تجمع الشحنات الاستاتيكية على طرف كاوية اللحام، وبالتالي يمكن استخدامها بأمان للحام الدوائر المتكاملة CMOS.
- ٦ - مزودة ببعض المرفقات مثل أشكال مختلفة لطرف كاوية اللحام، كما هو موضح بالشكل ( ٨ - ٩ ) بالإضافة إلى إمكانية تغيير طرف كاوية اللحام بشفاط قصدير لاستبدال العناصر الإلكترونية التالفة.



شكل ( ٨ - ٩ )

وتجرى عملية اللحام على النحو التالي :

فى البداية يجب مسح الوجه النحاسى للدائرة المطبوعة بقطعة مبللة بالكحول لإذابة كل الدهون وبصمات الأصابع والشوائب التى تعيق عملية اللحام، وينصح بصنفرة أطراف المقاومات والترانزستورات المؤكسدة نتيجة للتقادم . ثم يوصل التيار الكهربى بمحطة اللحام، وعادة يتم ضبط درجة الحرارة عند  $250^{\circ}\text{C}$ ، علماً بأن درجة الحرارة يجب رفعها كلما زادت قدرة العنصر المراد لحامه . ويجب خفضها إلى  $100^{\circ}\text{C}$  عند اللحام المباشر للدوائر المتكاملة .

وبعد ذلك يتم تنظيف طرف كاوية اللحام بقطعة الإسفنج المزودة مع كاوية اللحام، علماً بأنه إذا لم يتم تنظيف طرف كاوية اللحام عند كل مرة لحام فإن ذلك يقلل من إمكانية الحصول على لحام جيد .

بعد ذلك يوضع طرف كاوية اللحام على الوصلة المراد لحامها لرفع درجة حرارتها لتكون مهيأة لاستقبال القصدير المنصهر الناتج عن تلامس سلك القصدير مع طرف كاوية اللحام .

وبعد التأكد من انصهار القصدير حول الوصلة نرفع طرف كاوية اللحام عن الوصلة .

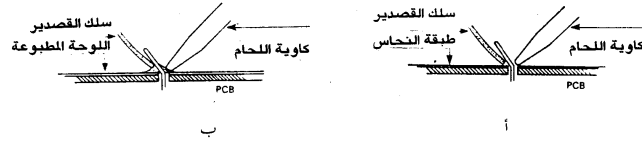
والجدير بالذكر أنه إذا كانت درجة حرارة طرف كاوية اللحام غير كافية فإن نقطة اللحام تكون ذات لون رمادى غامق ومفتتة وعلى شكل كرة، وهذه مواصفات نقطة اللحام السيئة . فى حين تكون نقطة اللحام ناصعة وعلى شكل جرس صغير عندما تكون جيدة .

والشكل ( ٨ - ١٠ ) يبين مراحل لحام العناصر الإلكترونية على الدوائر المطبوعة .

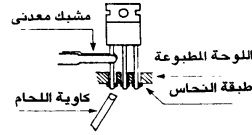
علماً بأنه يجب اختيار طرف كاوية اللحام المناسب تبعاً لمساحة نقطة اللحام المطلوبة، فكلما قلت مساحة نقطة اللحام المطلوبة احتجنا لطرف لحام بيزو مدبب .

وللمحافظة على العناصر شبه الموصلة كالترانزستورات ومنظمات الجهد والدوائر المتكاملة من ارتفاع درجة حرارتها خصوصاً عند استخدام كاويات اللحام العادية،

يمكنك عند إجراء عملية اللحام أن تمسك الطرف الذي تجرى عليه اللحام بواسطة زراعية ذات بوز رفيع، حتى لا تتسرب الحرارة للعنصر الإلكتروني، بل تمتص الحرارة الزائدة ويمكن استعمال مشبك معدني لتأدية نفس الغرض.



شكل (٨ - ١٠)



شكل (٨ - ١١)

والجدير بالذكر أن هذه العملية في غاية الأهمية لأن الحرارة الزائدة إذا لم تسبب تلف العنصر الإلكتروني فإنها على الأقل تؤدي لتغيير خواصه.

والشكل (٨ - ١١) يبين طريقة تشييت منظم جهد مستخدماً مشبكاً معدنياً لتشتيت الحرارة الزائدة.

علماً بأنه يجب فصل التيار الكهربى عن كاوية اللحام إذا لم تستخدم حتى لا يتأكسد طرفها فلا تستقبل القصدير. ويمكن إزالة طبقة الأكسدة بواسطة صنفرة طرف كاوية اللحام أو مسحها بقطعة مبللة من الإسفنج.

٨ / ٣ / ٦ - طريقة استبدال العناصر الإلكترونية التالفة:

أحياناً يلزم الأمر نزع بعض العناصر الإلكترونية من اللوحات المطبوعة إذا كانت

تالفة، ويستخدم فى ذلك إما شفط قصدير يثبت بدلاً من طرف كاوية محطة اللحام، كما سبق ذكره، أو كاوية لحام عادية مع شفط عادى .

وتتواجد الشفطات العادية Solder Suckers فى صورتين:

الأولى : تشبه قطارة دواء العيون .

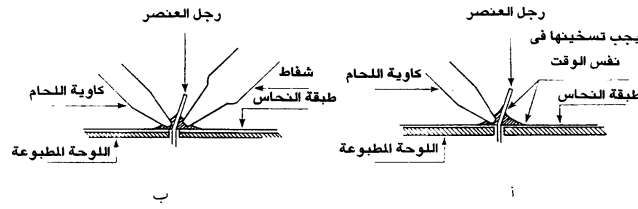
الثانية : تشبه الحقنة المستخدمة فى حقن المرضى .

والشكل ( ٨ - ١٢ ) يبين مراحل إزالة نقطة اللحام باستخدام كاوية لحام عادية وشفط عادى، حيث يوضع طرف كاوية اللحام عند نقطة اللحام، ثم يوضع طرف شفط القصدير فى الجهة الأخرى للوصلة، مع الضغط على الانتفاخ المطاطى الخاص بالشفط .

وعند انصهار قصدير نقطة اللحام يتم إزالة الضغط عن الانتفاخ المطاطى للشفط فينتقل القصدير المنصهر من الوصلة للشفط، وعند شفط كل قصدير نقطة اللحام نرفع كلاً من كاوية اللحام والشفط، ثم يعاد الضغط على الانتفاخ المطاطى للشفط لطرده القصدير الموجود بداخل الشفط للخارج .

أما عند استخدام محطة لحام لإزالة نقطة لحام يتم استبدال طرف كاوية اللحام بطرف شفط، ثم يتم ملاسة طرف الشفط لنقطة اللحام مع الضغط على الانتفاخ المطاطى للشفط، وعند انصهار قصدير نقطة اللحام بفعل حرارة طرف شفط محطة اللحام يزال الضغط عن الانتفاخ المطاطى له، فينتقل القصدير المنصهر من الوصلة للشفط، وعند الانتهاء من شفط كل قصدير نقطة اللحام نرفع طرف شفط محطة اللحام، ثم نتخلص من القصدير المسحوب داخل الشفط بالضغط على الانتفاخ المطاطى للشفط، أى أن شفط محطة اللحام يعمل ككاوية وشفط فى نفس الوقت .

وبعد شفط قصدير نقطة اللحام ينزع الإلكترونى بلطف باستخدام سكينه، وإذا شعرت أن العنصر ما زال ملتصقاً باللوحه المطبوعة فيجب إعادة عملية شفط القصدير حتى تصبح عملية نزع العنصر سهلة، وذلك حفاظاً على اللوحه المطبوعة من الكسر .



شكل (٨ - ١٢)

ولاستبدال الدوائر المتكاملة التالفة بأخرى سليمة نتبع الآتى :

١ - نزع الدائرة المتكاملة التالفة بإحدى الطريقتين التاليتين :

أ - نقص أرجل الدائرة المتكاملة بقصافة، ثم ننزع جسم الدائرة المتكاملة، ثم ننزع أرجلها الواحدة تلو الأخرى بتسخين كل رجل بالكاوية وسحب الرجل الساخنة من الجهة الأخرى بواسطة زرادية مذبذبة، وبعد ذلك يتم سحب القصدير باستخدام الشفاط من أماكن أرجل IC، ثم يتم تنظيف ثقوب اللحام بواسطة صنفرة ناعمة.

ب - تسخين كل رجل من أرجل الدائرة المتكاملة بكاوية اللحام من ناحية واستخدام الشفاط في سحب القصدير المنصهر من الجانب الآخر مع مراعاة عدم المبالغة في التسخين. وبعد إزالة القصدير من على جميع الأرجل IC يتم نزع IC باستخدام وسيلة مناسبة، فإذا كانت الدائرة المتكاملة ما زالت ملتصقة مع اللوحة المطبوعة فيجب الحذر من العنف لئلا تنكسر اللوحة المطبوعة.

٢ - تثبيت الدائرة المتكاملة الجديدة، فبعد نزع الدائرة المتكاملة المثبتة تثبيتاً مباشراً على اللوحة المطبوعة أى بدون قاعدة تثبيت Socket، يتم تثبيت الدائرة المتكاملة الجديدة بالوضع السليم ويسترشد بالتجوييف النصف دائري الموجود فى أحد جانبي الدائرة المتكاملة، ثم بعد ذلك يتم لحام الدائرة المتكاملة مع عدم الإفراط في التسخين أثناء اللحام واستخدام كاوية مؤرضة فى حالة لحام دوائر CMOS المتكاملة.

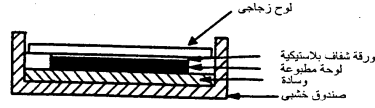


#### ٨ / ٤ - خطوات تنفيذ دائرة إلكترونية بوجه واحد من النحاس

##### الفوتوغرافى:

عادة تتبع نفس الخطوات المتبعة فى الفقرة (٣/٧) عدا ما يلى:

بدلاً من نقل مخطط التوصيل جهة الطبقة النحاس من على الورقة الشفاف إلى وجه لوحة الدائرة المطبوعة النحاس، فإننا ننقل هذا المخطط على ورقة بيضاء باستخدام الرموز والمسارات اللاصقة، ثم نصور المخطط الناتج على ورقة شفافة بلاستيكية Transparent وبعد ذلك توضع هذه الورقة الشفاف التى تحتوى على مخطط التوصيل جهة الوجه النحاسى فى مقابلة لوحة الدائرة المطبوعة ذات الوجه النحاسى الفوتوغرافى داخل صندوق له غطاء زجاجى، كما هو مبين بالشكل (٨-١٣) وتعرضه لأشعة الشمس لمدة ربع ساعة.



شكل (٨-١٣)

والجدير بالذكر أنه فى حالة غياب أشعة الشمس يمكن استخدام مصباح أشعة فوق بنفسجية 300W، وينبغى تعليق المصباح على بعد 40cm فوق الصندوق، مع الحذر من النظر للأشعة فوق البنفسجية المنبعثة من هذا المصباح واستخدام نظارات غامقة لحماية العينين من الأشعة.

وبعد الانتهاء من التعريض تؤخذ اللوحة وتغمر فى محلول هيدروكسيد الصوديوم الذى يعمل كمظهر، ويتم تحضير هذا المحلول بمزج 500 مللى لتر من الماء عند درجة حرارة 20 درجة مئوية مع ملعقة كبيرة من بلورات هيدروكسيد الصوديوم، ويوضع هذا المحلول فى وعاء بلاستيكى، ويجب ارتداء قفازات بلاستيكية أو مطاطية أثناء التعامل مع هذا المحلول. ويجب القيام بعملية التطهير بعد تعريض اللوحة لأشعة الشمس أو الأشعة فوق البنفسجية مباشرة. مع مراعاة

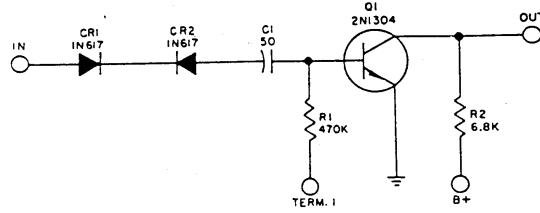
عدم تعريض اللوحة للضوء المنبعث من المصابيح الكهربائية بعد تعرضها لأشعة الشمس أو الأشعة فوق البنفسجية.

ويجب تحريك اللوحة بلطف أثناء غمرها في هذا المحلول المظهر، كما يجب ترك اللوحة في المحلول فترة كافية لإظهار المسارات بوضوح على السطح النحاسي، وتعتمد فترة التظهير على درجة حرارة المحلول المظهر، وتتراوح ما بين 30 إلى 40 ثانية، وبعد الانتهاء من عملية التظهير تظهر صورة مخطط التوصيل جهة الوجه النحاسي واضحة على اللوحة. وبعد ذلك يجب غسل اللوحة بعناية تحت ماء جارٍ، وينصح بعدم حك أو لمس اللوحة تفادياً لحدوث خدش للسطح النحاسي، وبعد ذلك يتم تلميع اللوحة تماماً، كما هو الحال في لوحات الدوائر المطبوعة ذات الوجه النحاس العادي.

والجدير بالذكر أن اللوحة النحاسية الحساسة للضوء لها فترة صلاحية عند تخزينها عند درجة حرارة  $20^{\circ}\text{C}$  تساوي سنة تقريباً؛ لذلك ينبغي استخدام هذه اللوحات قبل انتهاء فترة صلاحيتها.

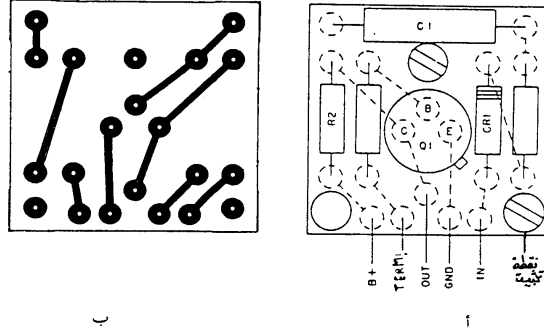
#### ٨ / ٥ - تطبيق عملي على تنفيذ اللوحات المطبوعة بوجه نحاس عادي:

يمكن تنفيذ مخطط الدائرة الإلكترونية المبين بالشكل (٨ - ١٤) باستخدام لوحة بوجه واحد من النحاس باتباع الخطوات التالية:



شكل (٨ - ١٤)

- ١ - استنتاج العناصر الإلكترونية المطلوبة من مخطط الدائرة الإلكترونية ثم توفيرها.
- ٢ - اختيار أبعاد اللوحة المناسبة تبعاً لحجم العناصر المستخدمة ولتكن (5x 5cm).
- ٣ - تحديد أبعاد اللوحة المستخدمة على ورقة شفاف، ثم رسم توزيع العناصر الإلكترونية على الورقة الشفاف، كما بالشكل (٨ - ١٥).
- ٤ - تحديد نقاط التوصيل والمسارات على الوجه النحاسي باستخدام الرموز والمسارات اللاصقة، علماً بأن مخطط توصيل العناصر جهة الوجه النحاسي يطابق مقلوب المخطط المرسوم على الورقة الشفاف جهة تثبيت العناصر.



شكل (٨ - ١٥)

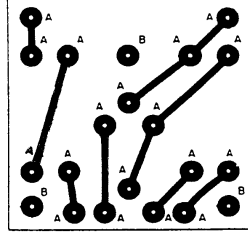
- ٥ - إزالة النحاس الزائد، وذلك بوضع اللوحة المرسومة داخل كيس بلاستيك وإضافة قليل من محلول كلوريد الحديد، ثم يغلق هذا الكيس جيداً ويوضع في ماء ساخن لمدة 10 دقائق أو ربع ساعة، حيث يزال النحاس غير المغطى بالرموز والمسارات اللاصقة، وبعد ذلك يتم التقاط اللوحة بواسطة ملفقات خشبي أو بلاستيكي من داخل الكيس، ثم تغسل اللوحة بالماء الجاري لإزالة أثر المحلول من عليها ثم تزال الرموز اللاصقة من على اللوحة.

٦ - تحديد مراكز الثقوب وإجراء عملية الشق. والشكل (٨ - ١٦) يبين أبعاد البنت المستخدمة.

حيث إن:

$$B = 2.4 \text{ mm}$$

$$A = 0.8 \text{ mm}$$



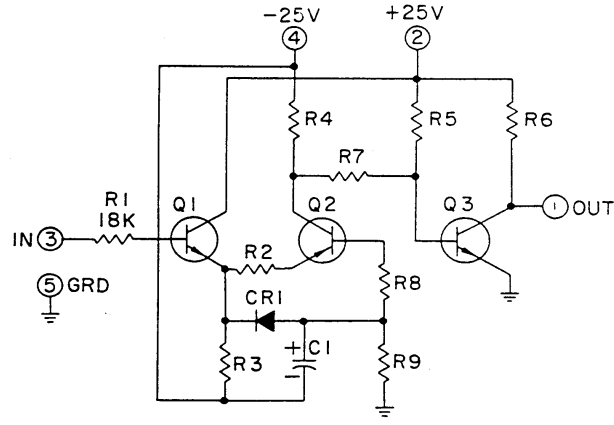
شكل (٨ - ١٦)

٧ - تثبيت العناصر من جهة توزيع العناصر، ثم اللحام من جهة التوصيلات الخلفية (اللوحة النحاسية).

٨ / ٦ - تطبيق عملي على تنفيذ اللوحات المطبوعة بوجهي نحاس:

توصف اللوحات المطبوعة ذات الوجهين بما يلي:

- أكثر تكلفة من اللوحات المطبوعة ذات الوجه الواحد.
  - تستخدم عندما تكون المساحة التي ستوضع فيها اللوحة المطبوعة محددة.
  - توزع العناصر في جانب واحد أو في جانبي اللوحة.
  - تكون مسارات التوصيل على جانبي اللوحة.
  - تحتاج لدقة عالية عند التنفيذ.
- ويمكن تجهيز لوحة مطبوعة بوجهي نحاس للدائرة الإلكترونية الموضحة بالشكل (٨ - ١٧) باتباع الخطوات التالية:



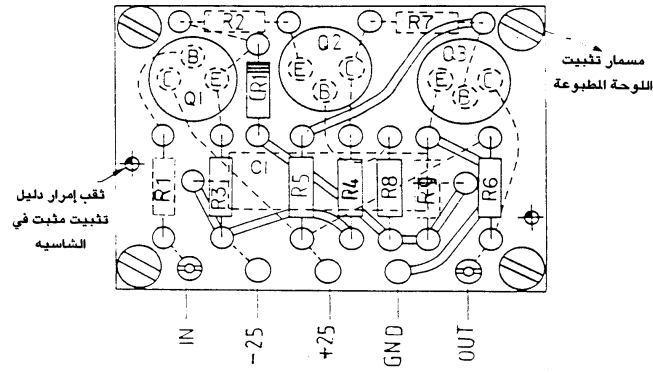
شكل (٨ - ١٧)

١ - توفير العناصر المطلوبة التالية:

$R_1 = 18\text{ K}$	$R_5 = 220\text{ K}\Omega$	$R_9 = 820\text{ K}$	$C_1 = 22\text{ }\mu\text{f}, 35\text{V}$
$R_2 = 12\text{ K}$	$R_6 = 8.2\text{ K}\Omega$	$Q_1 = 2\text{N}338$	$CR_1 = 1\text{N}483\text{ A}$
$R_3 = 6.8\text{ K}$	$R_7 = 180\text{ K}\Omega$	$Q_2 = 2\text{N}1305$	
$R_4 = 220\text{ K}$	$R_8 = 33\text{ K}\Omega$	$Q_3 = 2\text{N}1304$	

٢ - اختيار أبعاد اللوحة المطبوعة بما يتناسب مع العناصر المستخدمة ومكان تثبيت اللوحة، ولتكن أبعاد اللوحة المطبوعة التي سنستخدمها هي (9 x 6.5 Cm).

٣ - رسم مخطط توزيع العناصر على ورقة شفاف أبعادها داخل إطار أبعاده 9cm x 6.5 cm بحيث إن الرموز المتقطعة تعني أنها في الجانب السفلي والخطوط المستمرة تعني أنها في الجانب العلوي كما بالشكل (٨ - ١٨).



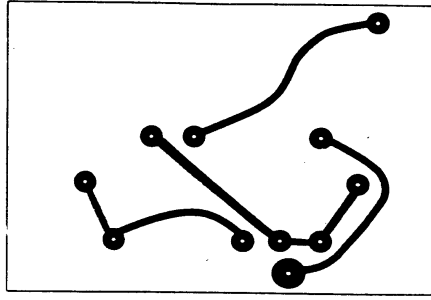
شكل (٨ - ١٨)

٤ - تحديد نقاط التوصيل والمسارات على جانبي اللوحة المطبوعة كما بالشكل (٨ - ١٩).

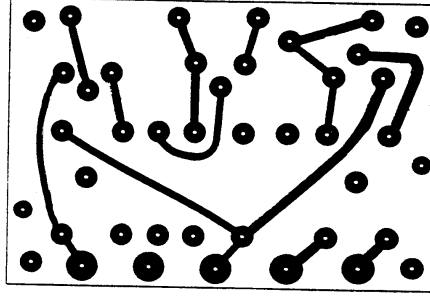
٥ - حفر اللوحة لإزالة النحاس الزائد باستخدام محلول كلوريد الحديد بنفس الطريقة المتبعة في التطبيق السابق.

٦ - تحديد مراكز الثقوب ثم إجراء الثقب باستخدام بنطة قطرها 0.8 mm لجميع نقاط تثبيت العناصر وقطرها 2.4 mm لنقاط تثبيت اللوحة.

٧ - تثبيت العناصر الإلكترونية من أعلى اللوحة المطبوعة، ثم يتم لحام أرجل العناصر الإلكترونية مع نقاط تثبيتها الواقعة على المسارات الموجودة في الجانب السفلي من أسفل فقط، في حين يتم تثبيت أرجل العناصر مع نقاط تثبيتها الواقعة على المسارات الموجودة في الجانب العلوي من أعلى وأسفل.



الجانب العلوى



الجانب السفلى

شكل (٨ - ١٩)

#### ٨ / ٧ - العدد وأجهزة القياس : Tools and Measuring Instruments

توجد مجموعة من العدد وأجهزة القياس الضرورية اللازمة لإنشاء واختبار الدوائر الإلكترونية وهى كما يلى :

أولاً: قائمة العدد الضرورية:

- ١ - زرادية ببوز طويل Long nose cutting plier
- ٢ - قصافة وقشارة أسلاك Slant Edge Cutting Nipper
- ٣ - طقم من المفكات المبطة Minus Screw Driver Set
- ٤ - طقم من المفكات المربعة Cross Screw Driver Set
- ٥ - طقم من المفكات المسدسة للضبط الدقيق للمقاومات المتغيرة والمكثفات الصغيرة trmming.
- ٦ - مثقاب يدوى صغير Hand Drill مزود بالبنت ( الريش ) مقاسات (0.5, 0.6, 0.8, 1, 1.2 mm).
- ٧ - كاوية لحام Soldering Iron من النوع الذى يمكن التحكم فى درجة حرارته أو من النوع العادى قدرته ( 25W أو 15 ).
- ٨ - شفاط لحام Solder Suckers، ويستخدم لإزالة النقاط غير المرغوب فيها أو نزع العناصر التالفة. ولمزيد من التفاصيل ارجع للفقرة ( ٦ / ٣ / ٨ ).

ثانياً: قائمة العدد الإضافية:

- ١ - طقم مفك ساعاتى.
- ٢ - طقم مبادر صغيرة Small File set
- ٣ - منجلة ( ملزمة ) Bench Vise صغيرة تثبت على المنضدة.
- ٤ - طقم ملاقط دقيقة Precision Tweezers
- ٥ - مثقاب بمنضدة Drill Stands
- ٦ - عدسة تكبير بيد Magnifying Lens with Handle
- ٧ - سكين دقيقة Precision Knife
- ٨ - منشار يدوى Hack Saw
- ٩ - مطرقة Hammer
- ١٠ - زينة علام.



١١ - شريط قياسى Tape Measurement طوله متران .

ثالثاً: أجهزة القياس الضرورية:

١ - جهاز آفوميتر (رقمى أو تناظرى دقيق) Avometer ولمزيد من التفاصيل ارجع للفقرة (١٤/١) .

٢ - أوسيلوسكوب بقناتين 2 Channel Oscilloscope ولمزيد من التفاصيل ارجع للفقرة (١٥/١) .

٣ - مجس منطقى Logic probe ، ويستخدم فى تحديد الحالة المنطقية للدوائر الرقمية منخفض - عالٍ .

٤ - نابض منطقى ( حاقن نبضات ) Pulser ، ويستخدم لحقن الدوائر الرقمية بالنبضات لاختبارها .

٥ - كاشف مسار تيار Current Tracer ، ويستخدم فى تتبع مسار التيار فى الدوائر الرقمية .

٦ - مصدر قدرة مستمر يمكن تعديل خرجة .

رابعاً: أجهزة القياس الإضافية:

١ - محلل منطقى Logic Analyser ويكون له عدد كبير من القنوات . ويستخدم لعرض عدد يصل إلى ثمانى نبضات رقمية فى آن واحد ، ويستخدم فى إصلاح الدوائر الرقمية واختبارها .

٢ - جهاز قياس تردد رقمى Digital frequency Counter .

٣ - مولد دوال Frequency Generator ( ارجع للفقرة (١٦/١) ) .

٤ - جهاز اختبار ترانزستور Transistor checker .

٥ - جهاز اختبار ملف ومكثف ومقاومة .



الملاحق



## ملحق رقم (١)

الرموز الالكترونية المستخدمة تبعاً للنظام الأمريكي (ANSI)

### ١ - الموصلات:

كابل يحتوي على خمسة موصلات	
كابل يحتوي على خمسة موصلات وله غلاف معدني مؤرض	
مولد	
محرك	
موصل بغلاف معدني مؤرض	
تقاطع بدون اتصال كهربائي	
وصلة بين موصلين مع وجود اتصال كهربائي	
وصلة مزدوجة	

### ٢ - رموز عامة:

لمبة بيان (إشارة)	
لمبة بيان	
لمبة نيون تعمل بالتيار المستمر	
لمبة نيون تعمل بالتيار المتردد	
يعمل بالتيار المستمر	
يعمل بالتيار المتردد	
يعمل بالتيار المتردد والمستمر	
بطارية بخلية واحدة	
بطارية بخلايا متعددة	
سلك متصل بجسم الجهاز	

### ٤ - المقاومات:

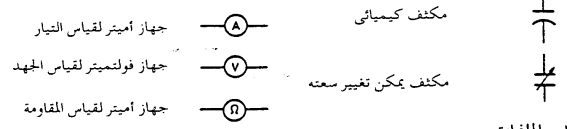
مقاومة ثابتة	
مقاومة بنقطة تفرع	
مجزئ جهد	
وصلة مع جسم الجهاز	
طرف مشترك يمكن أن يكون موجيا أو أرضيا	
بلورة كهرستال نوع بيرو	
مكبر عمليات	

#### ٨ - المفاتيح والضواغط :



#### ٥ - المكثفات :

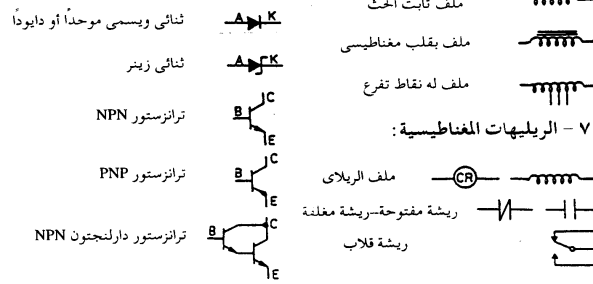
#### ٩ - أجهزة القياس :



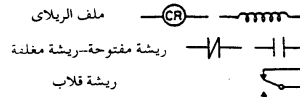
#### ٦ - الملفات :

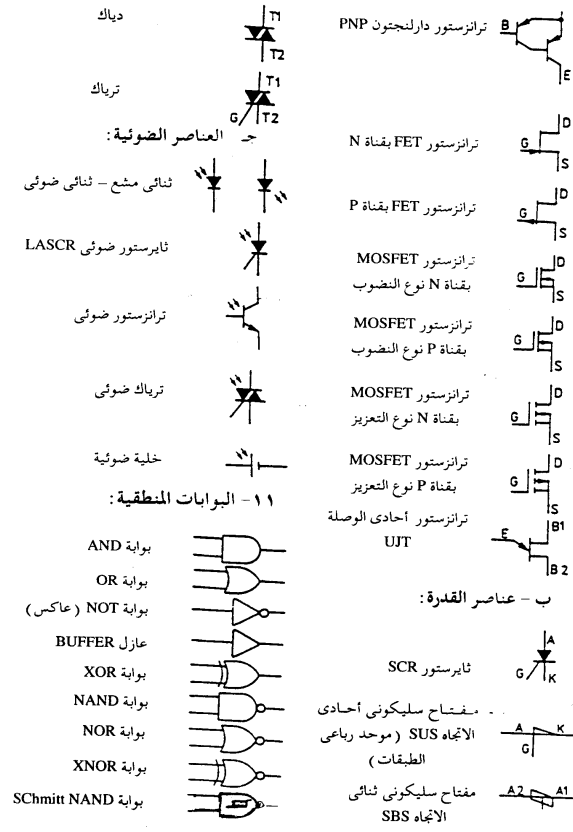
#### ١٠ - أشباه الموصلات :

#### أ - الثنائيات والترانزستورات :



#### ٧ - الريليات المغناطيسية :





ملحق رقم ( ٢ )

قاموس المصطلحات الإلكترونية (إنجليزي - عربي)

(A)

Active filter	مرشح فعال
Active high	فعال عند المستوى العالى
Active Low	فعال عند المستوى المنخفض
Alternating current (Ac)	تيار متردد
Alternator	مولد تيار متردد
Amplifier	مكبر
Amplitude	سعة
Analog Signal	إشارة تماثلية ( تناظرية )
Analog- to- Digital Converter	محول من تماثلى لرقمى
Analog Avometer	آفوميتر بمؤشر
AND gate	بوابة و
Anode	مصعد
Astable Oscillator	مذبذب غير مستقر
Asynchronous	غير متزامن
Average Value	قيمة متوسطة
Axial type	النوع المحورى

(B)

Band width (BW)	عرض النطاق الترددى
Base	قاعدة



Bias	انحياز
Binary number	عدد ثنائي
Binary system	نظام ثنائي
Bipolar Transistor	ترانزستور ثنائي القطبية
Breakdown voltage	جهد انهيار
Breakover voltage	جهد الانهيار الفوقي
Buffer	عازل
Push button	ضاغط

(C)

Can type	النوع المقلب ( يشبه العلبة )
Capacitance	سعة
Capacitor	مكثف
Cathode	مهبط
Carry	الباقى
Charging	شحن
Clamp Avometer	آفوميتر بكماشة
Clearing input	مدخل المسح
Clipping	قص
Clock pulses	نبضات ساعة
Code	شفرة
Collector	مجمع
Comparator	مقارن

Commutation	إطفاء
Counter	عداد
Crystal Controlled oscillator	مذبذب بلوري ( كريستال )
Cut off region	منطقة قطع
Current	تيار
Curve	منحنى

(D)

Darlington Circuit	دائرة دار لنجتون
Data word	كلمة بيانات
Decade Counter	عداد عشري
Decoder	مفسر شفرة
D-flip flop	قلاب D
De multiplexer (DMUX)	مفرق
Depletion Mosfet	ترانزستور MOSFET نوع النضوب
Diac	دياك
Digital signal	إشارة رقمية
Digital Avometer	آفوميتر رقمي
Differentiator	مفاضل
Diode	ثنائي ( موحد )
Direct current (DC)	تيار مستمر
Display	عرض
Down Counter	عداد تنازلي

Driver	مشغل
Drain	المصرف
DIL- IC	دائرة متكاملة بصفين من الأرجل
(E)	
Electrolytic Capacitor	مكثف كيميائي
Emitter	باعث
Enable Input	باعث تمكين
Encoder	مشفر
Enhancement Mosfet	ترانزستور Mosfet. نوع التعزيز
Exclusive NOR Gate (EXNOR)	بوابة نفى أو المنفردة
Exclusive OR Gate (EXOR)	بوابة أو المنفردة
(F)	
Fan- in	عدد المداخل
Fan- out	عدد المخرجات
Feed back	تغذية مرتجعة (عكسية)
FET	ترانزستور تأثير المجال
Filter	مرشح
Fins	زعانف
Flip flops (FF)	قلاب
Floating Inputs	مداخل عائمة
Forward bias	انحياز أمامي
Frequency	تردد

Frequency Divider	مقسم تردد
Function	وظيفة
Function Generator	مولد الإشارات الأساسية
Function table	جدول الوظيفة
Fuse	مصهر

(H)

Harmonics	توافقيات
Heat sink	مبدد حرارة (مشتت حرارة)
Hexadecimal	سداسي عشر
Hex. Inverter IC	دائرة متكاملة بستة عواكس
High	المستوى العالي

(I)

Impedance	معاوقة
Inductance	حث
Integrator	مكامل
Inverter	عاكس
I GFET	ترانزستور تأثير المجال ذات البوابة المعزولة
Integrated Circuit (IC)	دائرة متكاملة

(J)

J-K flip flop	قلاب J-K
JFET	ترانزستور تأثير المجال الانصافي

	(K)	
Key board		لوحة مفاتيح
	(L)	
LAD		ثنائي حساس للضوء
Latches IC		دوائر إمساك
LDR		مقاومة ضوئية
Leakage Current		تيار تسرب
Leading edge		الحافة الأمامية
LED		ثنائي مشع للضوء
Linear		خطي
Load		حمل
Logic		منطقي
Logic Circuit		دائرة منطقية
Logical high		المستوى المنطقي العالي
Logical Low		المستوى المنطقي المنخفض
Loop		مسار مغلق
LSB		الرقم الثنائي الأقل رتبة
	(M)	
Maximum value		قيمة قصوى
Memory		ذاكرة
Memory Adress		عنوان الذاكرة
Memory enable input		مدخل تمكين الذاكرة

MOSFET	ترانزستور أو أكسيد المعدن شبه الموصل
Minimum Value	قيمة صغرى
Modulation	تضمين
Monstable oscillator	مذبذب أحادى الاستقرار
MSB	الرقم الثنائى الأقصى أهمية
Multiplexer (MUX)	مجمع
Multivibrator (MV)	مذبذب
(N)	
NAND gate	بوابة نفى و
Negative edge	الحافة السالبة
Node	نقطة تفرع
NOR gate	بوابة نفى أو
NOT gate	بوابة النفى
(O)	
Octal	ثمانى
Offset null	إزالة الحيود
Open circuit	دائرة مفتوحة
Operational amplifier	مكبر عمليات
Oscilloscope	أوسيلو سكوب
Output	مخرج
(P)	
PAM	التضمين بنبضات متغيرة السعة

Parallel	توازي
Parallel inputs	مداخل توازي
Parallel outputs	مخارج توازي
PAM	التضمين بنمطيات متغيرة السعة
Passive filter	مرشح غير فعال
PCB	لوحة دائرة مطبوعة
Peak Value	القيمة القصوى (العظمى)
Peak to peak value	قيمة القمة للقمة
Period	فترة
Periodic time	الزمن الدوري
Phase angle	اختلاف الوجه
Photo coupled isolator	وحدة عزل ضوئية
Potentiometer	مجزئ جهد
Positive edge	الحافة الموجبة (الصاعدة)
Power Dissipation	تشتيت القدرة
Power supply	مصدر القدرة
Primary	ابتدائي
PROM	ذاكرة القراءة فقط القابلة للبرمجة
Propagation	انتشار
Pulse	نبضة
Pull- up resistor	مقاومة جذب الخرج
PUT	ترانزستور أحادي الوصلة مبرمج

PWM

التضمين بنبضات متغيرة العرض

(R)

Radial type

نوع نصف قطري

Range

مدى

Rectification circuit

دائرة توحيد

Reference

أساس ( مرجع )

Rheostat

مقاومة متغيرة

Relay

ريلاي

Relaxation oscillator

مذبذب متراخي

R-S flipflop

قلاب إمساك وتحرير

Resistance

مقاومة

Response

استجابة

Reverse - biased

منحاز عكسياً

Rise time

زمن الصعود

RMS

القيمة الفعالة

ROM

ذاكرة القراءة فقط

Rotary switch

مفتاح دوار

(S)

Samples

فترات متساوية

Saturation region

منطقة تشبع

SBS

المفتاح السليكوني الثنائي الاتجاه

Secondary

ثانوى



Semi Conductor	شبه موصل
Series	توالي
Serial data input	مدخل بيانات متتالية
Serial in	بيانات
Serial out	مخرج بيانات
Servo motor	محرك مؤازر
Seven - segment display	وحدة عرض بسبع شرائح
Shift register	مسجل إزاحة
Short circuit	دائرة قصر
Signal	إشارة
Sinusoidal	جيبى
Stability	استقرار
Solar Cell	خلية شمسية
Source	مصدر
Strobe	تمكين
SUS	مفتاح سليكونى أحادى الاتجاه
Switch debouncing	إزالة ارتداد المفاتيح
synchronous	متزامن
system	نظام
(T)	
Tapped resistors	مقاومات بنقاط تفرع
Temperature	درجة حرارة

Terminal	طرف
Thermistor	مقاومة حرارية
Threshold	عتبة
Thyristor (SCR)	ثايرستور
Time Lag	تأخير زمنى
Time Constant	ثابت الزمن
Timing	توقيت
Timing diagram	المخطط الزمنى
Toggle	تبادلى
Tolerance	تفاوت
Trailing edge	الحافة الخلفية
Transformer	محول
Transient	عابر
Triac	ترياك
Trigger	إشعال
Trouble shooting	اكتشاف الأعطال
Truth table	جدول الحقيقة
Turn off	فصل - قطع
(U)	
UJT	ترانزستور أحادى الوصلة
universal gate	بوابة عامة
up/ down Counter	عداد تصاعدى تنازلى

	(V)	
Voltage		جهد
Voltage gain		كسب الجهد
Voltage reference		جهد المرجع (الأساسي)
Voltage regulator		منظم جهد
	(W)	
Wave form		شكل موجي
Word		كلمة
	(Z)	
Zener diode		ثنائي زينر

## المراجع

### References

- 1 - Miltonkdufman Arthurh. Seidman, ed. 1988. Hand book of Electronics (Calculations For Engineer And Technicians). New york. Mc Graw - Hill.
- 2 - V.K. Mehta, ed. 1980. Principles of Electronics. New Delhi. S.chand & Company Ltd.
- 3 - Mike Tooley BA, ed. 1990. Every day Electronics Data Book. New Delhi. BPB Book Centre.
- 4 - John. Lackey, Jerryl. Massey, ed. 1986. Solid State Electronics. New york. CBS College Publishing.
- 5 - Timothy J. Maloney, ed. 1986. Industrial solid-state Electronics Devices and Systems. New Jersey Prentice - Hall, Inc., Englewood cliffs.
- 6 - Paul Horowit J, win field Hill, ed. 1980. The Art of Electronics. London. New york. Cambridge university press.
- 7 - James T.Humpheries, Leslie P.Sheets, ed. 1983. Industrial Electronics- California. Breton Publishers.
- 8 - Fredrick W.Hughes, ed. 1984. Basic electronics Theory and Experimentation. New Jersey. Prentics- Hall, Inc., Englewood cliffs.
- 9 - R.M.Marston, ed. 1990. Power Control Circiut Manual. Oxford. Heinemann Professional publishing ltd.

- 10 - M.Morris Mano, ed. 1984. Digital design. New Jersey. Prentice-Hall, Inc., Eng Lwood cliffs.
- 11 - David L.Wagner, ed, 1988. Digital Electronics San Diego. Har court Brace Javonovich, Publishers.
- 12 - Ronald A. Reis, ed. 1991. Digital Electronics. Throngh Project Analysis. New york. Macmill am Publishing Company.
- 13 - Boy dlarson, ed. 1983. Power Coitrol electroaics New Jersey. Prentice- Hall, Inc., Eng lewood cliffs.
- 14 - Te xas Instruments In corporated, ed. 1973.The TTL Data Book for Design Engineers. USA.
- 15 - Fairchila Camera and Instrument Corporation, ed. 1978. TTL Data Book. USA.
- 16 - RS Components Ltd, ed. 1992. RS Catalogue. London.

مطابع دار الطباعة والنشر الإسلامية/الماتر من رمضان/المنطقة الصناعية بـ ٢ تليفاكس : ٣٦٣٣١٤ - ٣٦٣٣١٣  
Printed in Egypt by ISLAMIC PRINTING & PUBLISHING Co. Tel.: 015 / 363314 - 362313  
مكتب القاهرة : مدينة نصر ١٢ في ابن هانيء الأتلمسي ت : ٤٠٣٨١٣٧ - تليفاكس : ٤٠١٧٠٥٣

